

АКАДЕМИЯ НАУК СССР

ЖУРНАЛ ФИЗИЧЕСКОЙ ХИМИИ

ТОМ
XXXIII

ВЫПУСК 11

НОЯБРЬ

ИЗДАТЕЛЬСТВО АКАДЕМИИ НАУК СССР
МОСКВА · 1959

ЖУРНАЛ ФИЗИЧЕСКОЙ ХИМИИ

Редакционная коллегия:

В. Я. АНОСОВ, К. В. АСТАХОВ, А. И. БРОДСКИЙ, Г. К. БОРЕСКОВ,
Я. И. ГЕРАСИМОВ, С. В. ГОРБАЧЕВ, Г. С. ЖДАНОВ,
Л. А. НИКОЛАЕВ, Н. Н. СЕМЕНОВ, А. Н. ТЕРЕНИН, А. Н. ФРУМКИН,
К. В. ЧМУТОВ

Главный редактор Я. И. ГЕРАСИМОВ

Заместители главного редактора С. В. ГОРБАЧЕВ, К. В. ЧМУТОВ

Отв. секретарь Л. А. НИКОЛАЕВ

Адрес редакции: Москва, Подсосенский пер., 21

МАТЕРИАЛЫ ВСЕСОЮЗНОГО СОВЕЩАНИЯ
ПО ТЕРМОДИНАМИКЕ И СТРОЕНИЮ РАСТВОРОВ

(Январь 1958 г.) *

ПРИМЕНЕНИЕ ВАРИАЦИОННОГО МЕТОДА ДЛЯ РАСЧЕТА
ФУНКЦИЙ РАСПРЕДЕЛЕНИЯ МОЛЕКУЛ В ЖИДКОСТИ

В. В. Ватолло

В последнее время высказывается много соображений по поводу так называемой вариационной теории систем взаимодействующих частиц [1, 2].

Как показано рядом авторов [3—5], эта теория в отличие от остальных является самосогласованной теорией. Дело в том, что даже самая строгая теория Боголюбова — Борна — Грина основывается на «суперпозиционном приближении» Кирквуда, справедливость которого на малых расстояниях сомнительна [6]. Поэтому теоретически вычисляемая бинарная функция распределения приводит к большим ошибкам в термодинамических величинах [7].

Недавно было показано, что для теоретически подсчитанных давления и энергии не выполняется соотношение:

$$\frac{\partial}{\partial T} \left(\frac{P}{T} \right) = \frac{\partial}{\partial V} \left(\frac{E}{T^2} \right),$$

т. е. не выполняется условие полной интегрируемости свободной энергии системы [3].

В 1955 г. Ричардсоном была предложена вариационная теория [2], основная идея которой состоит в нахождении бинарных функций распределения из условия минимума свободной энергии ($\delta F = 0$) при термодинамическом равновесии.

Однако при этом возникает трудность, связанная с обычным для статистической механики предельным переходом $N \rightarrow \infty$, $V \rightarrow \infty$, так как конечные интегралы становятся несобственными, для которых не выполняются условия сходимости.

Действительно, для систем конечного объема бинарная функция распределения отличается от единицы на величину порядка $1/V$, а для сходимости несобственного интеграла необходимо, чтобы степень $1/V$ была хотя бы на две единицы больше его кратности.

Описанная трудность является вполне естественной, так как рассматривается конечная система с заданным числом частиц (малый ансамбль Гиббса). Можно поэтому ожидать, что рассмотрение большого канонического ансамбля не приведет к указанной трудности.

Итак, рассмотрим классическую систему с переменным числом одинаковых частиц с нецентральным законом взаимодействия. Для определенности рассмотрим систему, состоящую из нейтральных аксиальносимметричных двухатомных молекул.

* В этом номере публикуются материалы Всесоюзного Совещания по термодинамике и строению растворов (январь 1958 г.) и Конференции по физике и физико-химии катализа (апрель 1958 г.), поступившие в редакцию ЖФХ.

Пусть $P_{N,v}$ — функция распределения вероятности положения и ориентации N частиц внутри объема V , составляющего часть бесконечно простирающейся системы, нормированная так, что

$$\sum_{N \geq 0} \int \dots \int P_{N,v} dq_1 \dots dq_N d\omega_1 \dots d\omega_N = 1, \quad (1)$$

$$\sum_{N \geq 0} \int \dots \int N P_{N,v} dq_1 \dots dq_N d\omega_1 \dots d\omega_N = \bar{N},$$

где dq_i — элементарный объем, $d\omega_i$ — элементарный телесный угол i -й частицы.

Конфигурационную часть термодинамического потенциала Ω можно представить в виде функционала от $P_{N,v}$

$$\Omega[P_{N,v}] = \sum_{N \geq 0} \int \dots \int P_{N,v} (kT \ln P_{N,v} + U_N - \mu N) dq_1 \dots dq_N d\omega_1 \dots d\omega_N \quad (2)$$

где $U_N = \sum \Phi(i, j)$ — потенциальная энергия системы, $\Phi(i, j)$ — потенциал взаимодействия пары частиц i и j .

Из условия $\delta\Omega = 0$ легко найти, что «минимизирующая» функция $P_{N,v}$ будет иметь вид:

$$D_{N,v} = \frac{\exp\left(-\frac{U_N - \mu N}{kT}\right)}{\sum_{N \geq 0} \int \dots \int \exp\left(-\frac{U_N - \mu N}{kT}\right) dq_1 \dots dq_N d\omega_1 \dots d\omega_N},$$

т. е. функции распределения для большого ансамбля Гиббса.

Ввиду того что для исследования термодинамических свойств реальных систем в предположении аддитивности межмолекулярных сил особое значение имеет бинарная функция распределения, введем коррелятивные функции:

$$P_n^*(1, 2, \dots, n) = \left(\frac{4\pi V}{N}\right)^n \sum_{N \geq 0} \frac{N!}{(N-n)!} \int \dots \int P_{N,v} dq_{n+1} \dots dq_N d\omega_{n+1} \dots d\omega_N \quad (3)$$

удовлетворяющее условию нормировки:

$$\lim_{V \rightarrow \infty} \left[\frac{1}{(4\pi V)^n} \int \dots \int P_n^* dq_1 \dots dq_n d\omega_1 \dots d\omega_n \right] = 1, \quad (4)$$

а также вспомогательные функции f_n , определяемые соотношением:

$$\ln P_{N,v} = \sum f_1(i) + \sum \sum f_2(i, j) + \dots + f_n(1, 2, \dots, n). \quad (5)$$

Тогда выражение (2) можно при помощи (3) и (5) представить в виде функционала от P_n и f_n :

$$\Omega[P_n, f_n] = kT \frac{\rho}{4\pi} \int f_1(1) P_1(1) dq_1 d\omega_1 +$$

$$+ \frac{1}{2} \left(\frac{\rho}{4\pi}\right)^2 \iint P_2^*(1, 2) [kT f_2(1, 2) + \Phi(1, 2)] dq_1 dq_2 d\omega_1 d\omega_2 +$$

$$+ \frac{kT}{6} \left(\frac{\rho}{4\pi}\right)^3 \iiint P_3^*(1, 2, 3) \cdot f_3(1, 2, 3) dq_1 dq_2 dq_3 d\omega_1 d\omega_2 d\omega_3 + \dots + \mu N. \quad (6)$$

Легко показать, что если ввести приближение, предложенное Мейером [8] т. е. $f_n = 0$, при $n \geq 3$, то «минимизация» функционала (6) приводит

к следующему выражению для бинарной функции распределения:

$$F_2(1, 2) = \text{const} \exp\left(-\frac{1}{kT} \Phi(1, 2)\right),$$

что показывает слабое соответствие рассмотренного приближения действительности. Поэтому вполне естественно сделать в этом направлении следующий шаг, а именно — рассмотреть приближение вида:

$$\begin{aligned} f_n &= -\gamma = \text{const}; \\ f_n &= 0 \text{ при } n \geq 4, \end{aligned} \quad (7)$$

что соответствует «суперпозиционному приближению» Кирквуда с некоторой поправкой:

$$P_3(1, 2, 3) = P_2(1, 2) \cdot P_2(1, 3) P_2(3, 2) (1 - \gamma). \quad (8)$$

Подставляя (8), а также (7) в (6), получим для неравновесного значения термодинамического потенциала Ω следующее выражение:

$$\begin{aligned} 2[P_2(1, 2)] &= \frac{1}{2} \frac{\rho}{4\pi} \int dq_2 d\omega_2 \left\{ P_2(1, 2) \left[\ln P_2(1, 2) + \frac{1}{kT} \Phi(1, 2) - \frac{2\mu}{NkT} 4\pi \right] - \right. \\ &\quad \left. - \frac{1}{3} \frac{\rho}{4\pi} \int [P_2(1, 2) - 1][P_2(1, 3) - 1][P_2(3, 2) - 1] dq_3 d\omega_3 \right\} \quad (9) \end{aligned}$$

Прежде чем искать «минимизирующую» (9) бинарную функцию распределения, совершим предельный переход $N \rightarrow \infty$, $V \rightarrow \infty$. Однако при этом не выполняются условия сходимости получающихся при этом несобственных интегралов, что можно устранить, вычитая из правой части (9) несобственный интеграл вида:

$$\frac{1}{2} \frac{\rho}{4\pi} \int [P_2(1, 2) - 1] dq_2 d\omega_2.$$

Окончательно получим функционал:

$$\begin{aligned} 2[P_2(1, 2)] &= \frac{1}{2} \frac{\rho}{4\pi} \int dq_2 d\omega_2 \left\{ P_2(1, 2) \left[\ln P_2(1, 2) + \frac{1}{kT} \Phi(1, 2) - 1 \right] + 1 - \right. \\ &\quad \left. - \frac{1}{3} \frac{\rho}{4\pi} \int [P_2(1, 2) - 1][P_2(1, 3) - 1][P_2(3, 2) - 1] dq_3 d\omega_3 \right\}, \quad (10) \end{aligned}$$

минимизация которого осуществляется бинарной функцией распределения $F_2(1, 2)$, являющейся решением интегрального уравнения:

$$P_2(1, 2) + \frac{1}{kT} \Phi(1, 2) - \frac{\rho}{4\pi} \int [P_2(1, 3) - 1][P_2(3, 2) - 1] dq_3 d\omega_3 = 0. \quad (11)$$

Таким образом, в отличие от теории Ричардсона, в которой на бинарную функцию распределения накладывается дополнительное ограничение о существовании предела $\lim_{r_{12} \rightarrow \infty} r_{12}^3 [P_2(1, 2) - 1]$, что является необходимым условием сходимости несобственного интеграла $\int [P_2(1, 2) - 1] dq_2 d\omega_2$, предлагаемом варианте теории сходимость его вытекает из условия нормировки (4).

Полученное интегральное уравнение (11) отличается от обычного уравнения для бинарных функций распределения (9) тем, что, как показано Ричардсоном, в последнее входит просто потенциал межмолекулярного взаимодействия $\Phi(1, 3)$ а в интегральный член уравнения (11) — «потенциал средней силы» $\Phi_{\text{ср}}(1, 3)$. Это является следствием обобщения «суперпозиционного приближения» на область малых расстояний.

Следовательно, по соображениям, высказанным в [7], можно надеяться, что термодинамические величины можно будет подсчитать точнее.

Кроме того, полученное интегральное уравнение позволяет учитывать ориентационное взаимодействие. Для этого достаточно выбрать конкретный

вид ориентационного потенциала и применить подходящий метод для численного интегрирования задачи.

В заключение выражаю глубокую благодарность доктору хим. наук проф. М. И. Шахпаронову за помощь, оказанную при выполнении данной работы.

Выводы

1. Постулирование «суперпозиционного приближения» для всевозможных моделей жидкости представляется неверным.

Условие его применимости — либо низкая плотность, либо малость энергии взаимодействия, т. к. только при одном из этих условий потенциал средней силы $\Phi(1, 2)$ переходит в потенциал взаимодействия пары молекул и уравнение (11) сводится к уравнению Боголюбова — Борна — Грина.

2. На основе обобщения «суперпозиционного приближения» получено интегральное уравнение для бинарной функции распределения. Можно ожидать, что это уравнение точнее описывает поведение бинарной функции распределения на сравнительно близких расстояниях, чем соответствующие уравнения теорий, опирающихся на «суперпозиционное приближение».

3. Преимуществом изложенного вывода является то, что трудности, связанные с расходимостью интегралов при предельном переходе $N \rightarrow \infty$, $V \rightarrow \infty$ в теории Ричардсона [2], автоматически устраняются соответствующей нормировкой коррелятивных функций распределения.

ЛИТЕРАТУРА

1. И. П. Базаров, Ж. эксперим. и теор. физ., **32**, 1065, 1957.
2. J. Richardson, J. Chem. Phys., **23**, 2304, 1956.
3. K. Hiroike, J. Phys. Soc. Japan, **12**, 326, 1957.
4. G. S. Rushbrooke, H. J. Scoins, Proc. Roy. Soc., **A216**, 293, 1953.
5. B. R. A. Nijboer, L. van Hove, Phys. Rev., **85**, 777, 1952.
6. А. Е. Глауберман, В. П. Цветков, Докл. АН СССР, **106**, 623, 1956.
7. И. З. Фишер, В. С. Крылович, Уч. зап. Белорусск. ун-та, вып. 32, 207, 1957.
8. J. Mayer, J. Chem. Phys., **15**, 187, 1947.
9. Н. Н. Боголюбов, Динамические проблемы в статистической физике, ГИИЛ, 1946.

USE OF THE VARIATION METHOD IN CALCULATING THE DISTRIBUTION FUNCTION OF MOLECULES

V. V. Vatollo (Moscow)

Summary

It is considered erroneous to postulate «superpositional approximation» for all possible models of liquids. The conditions for its applicability are either a low density or a low interaction energy, since only on fulfillment of one of these conditions does the mean force potential pass over to the potential of interaction of molecular pairs and equation (14) reduces to the Bogolyubov — Born — Green equation.

Based on a generalization of «superpositional approximation» an integral equation has been obtained for the binary distribution function. It is to be expected that this equation will describe more exactly the behavior of the binary distribution function for close distances than does the corresponding equation following from theories resting on «superpositional approximation».

The conclusion presented has the merit that the difficulties connected with divergence of the integrals on passing over to the limit $N \rightarrow \infty$, $V \rightarrow \infty$ in the theory of Richardson (2) are automatically eliminated by the corresponding normalization of the relative distribution functions.

АССОЦИАЦИЯ И КОНЦЕНТРАЦИОННАЯ ЗАВИСИМОСТЬ ФИЗИЧЕСКИХ СВОЙСТВ БИНАРНЫХ СМЕСЕЙ

А. Е. Луцкий и Е. М. Обухова

О состоянии микрочастиц в смеси (молекулы, их комплексы, молекулярные соединения) часто судят по знаку $\Delta y_{1,2,\dots,r} = y_{1,2,\dots,r} - \sum_{i=1}^r N_i y_i$

(y_i — любое макрофизическое свойство компонентов смеси, r — число компонентов смеси, N_i — мольная доля). Так, для бинарных смесей из неполярного и ассоциированного (фенола, спирта, кислоты) компонентов характерным считают расширение системы ($+\Delta v_{1,2}$ [1]), отрицательное отклонение вязкости ($-\Delta \gamma_{1,2}$) [2, 3] и диэлектрической проницаемости ($-\Delta \epsilon_{1,2}$) [4]. Объясняют это обычно тем, что при добавлении неполярного вещества к ассоциированному имеет место разрушение комплексов с ростом числа микрочастиц и уменьшении их энергии активации вязкого течения и дипольного момента. Однако зависимости, отражающие суммарный эффект свойств микрочастиц на данное $y_{1,2,\dots,r}$ смеси [5], как и приближенные статистические теории растворов неэлектролитов [6], предполагают для смесей того же типа различные знаки $\Delta y_{1,2,\dots,r}$ в зависимости от разницы в свойствах микрочастиц компонентов [7]. Это следует и из поведения бинарных смесей, состоящих из того же неполярного компонента и отличающихся лишь вторым компонентом, принадлежащим к тому же ряду изопериодических соединений. Последние, обладая почти теми же значениями поляризуемости, размера и массы молекул, заметно отличаются друг от друга лишь дипольным моментом и у некоторых — склонностью к образованию комплексов за счет водородных связей. Измеренные значения плотности ($d_{1,2}$), вязкости ($\gamma_{1,2}$) и диэлектрической проницаемости ($\epsilon_{1,2}$) такого рода бинарных смесей из бензола и членов двух указанных рядов соединений (жирного ряда: диэтилового эфира, диэтиламина, метилацетата, этилформиата, метилэтилкетона, пропионовой кислоты, бутанола, и ароматического ряда: этилбензола, анизола, бензильового спирта, бензальдегида, бензонитрила, ортокрезола) при разных N_2 пригедены в [5, 8].

Из полученных данных (рис. 1—3) следует, что смеси бензола с нормальными веществами жирного ряда (кроме смеси бензол — метилэтилкетон) обнаруживают расширение системы, а с веществами ароматического ряда (кроме смеси с этилбензолом), наоборот, — сжатие системы. Различие в знаке $\Delta v_{1,2}$ ($v_{1,2}$ — удельный объем), в согласии с следствиями из теории «свободного» объема [6], вызвано, по-видимому, тем, что в ряду смесей бензола с жирными соединениями превалирует разница в форме и размере молекул компонентов, а в ряду смесей бензола с его монозамещенными превалирует эффект разницы в силах сцепления. Справедливость этого следует и из того, что в согласии с указанной теорией у смесей с жирными соединениями $|\Delta v_{1,2}|N_2$ по мере роста дипольного момента молекул снижается и уже у смеси с метилэтилкетон становится отрицательной, а у смесей с ароматическими соединениями $|\Delta v_{1,2}|N_2$, наоборот, растет с моментом молекул. Различие в по-

ведении смесей с жирными и ароматическими соединениями наблюдается и в отношении знака $\Delta\varepsilon_{1,2}$: первые дают $-\Delta\varepsilon_{1,2}$, а вторые $+\Delta\varepsilon_{1,2}$; в отличие от $d_{1,2}$ и $\varepsilon_{1,2}$ все изученные смеси обнаруживают отрицательное $\Delta\eta_{1,2}$ (рис. 4—6). Таким образом смеси с нормальными веществами могут иметь разные знаки $\Delta\nu_{1,2}$ и $\Delta\varepsilon_{1,2}$. Это справедливо, по-видимому, и для $\Delta\eta_{1,2}$, поскольку, например, смеси четыреххлористого углерода и тетрахлоэтана [3] или хлорбензола и хлороформа [8] дают $+\Delta\eta_{1,2}$.

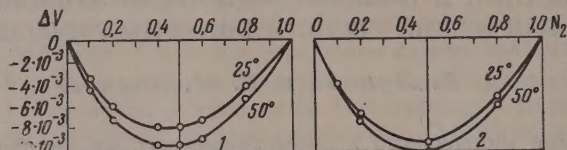


Рис. 1. 1 — $\text{C}_6\text{H}_5\text{CHO} + \text{C}_6\text{H}_6$; 2 — $\text{C}_6\text{H}_5\text{CH}_2\text{OH} + \text{C}_6\text{H}_6$

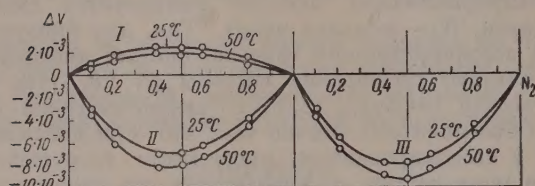


Рис. 2. I — $\text{C}_6\text{H}_5\text{C}_2\text{H}_5 + \text{C}_6\text{H}_6$; II — $\text{C}_6\text{H}_5\text{OCH}_3 + \text{C}_6\text{H}_6$;
III — $o\text{-C}_6\text{H}_4\text{CH}_2\text{OH} + \text{C}_6\text{H}_6$

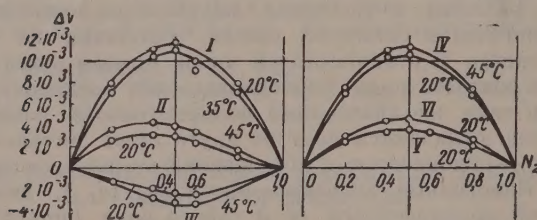


Рис. 3. I — $(\text{C}_2\text{H}_5)_2\text{NH} + \text{C}_6\text{H}_6$; II — $n\text{-C}_4\text{H}_9\text{OH} + \text{C}_6\text{H}_6$;
III — $\text{CH}_3\text{COC}_2\text{H}_5 + \text{C}_6\text{H}_6$; IV — $\text{HCO}_2\text{C}_2\text{H}_5 + \text{C}_6\text{H}_6$; V — $(\text{C}_2\text{H}_5)_2\text{O} + \text{C}_6\text{H}_6$;
VI — $\text{C}_2\text{H}_5\text{CO}_2\text{H} + \text{C}_6\text{H}_6$

Изученные смеси бензола с соединениями, молекулы которых образуют в смеси комплексы, обнаруживают (кроме ортокрезоло и бензилового спирта в части $\Delta\varepsilon_{1,2}$) те же знаки $\Delta\nu_{1,2}$, $\Delta\varepsilon_{1,2}$ и $\Delta\eta_{1,2}$, что и смеси с нормальными членами указанных рядов (рис. 1—6). При этом смеси обоих типов с достаточной степенью точности, особенно в случае $\Delta\nu_{1,2}$ и $\Delta\varepsilon_{1,2}$, подчиняются соотношению типа зависимости Бирона для отклонения от аддитивного молярного объема $|\Delta\nu_{1,2}|_T = \text{const } N_1 N_2$ [9]. Очевидно, и смеси с ассоциированными веществами в зависимости от разницы в свойствах молекул компонентов могут давать разные знаки $\Delta\nu_{1,2}$. Это справедливо как для $\Delta\nu_{1,2}$, так, по-видимому, и для $\Delta\eta_{1,2}$, поскольку смесь бензол—бензойная кислота дает почти линейное изменение $\lg \eta_{1,2}$, а нафталин—уксусная кислота положительное отклонение от аддитивного [10].

Если по знаку $\Delta y_{1,2}$ смеси с ассоциированными компонентами не могут быть однозначно различаемы от смесей с нормальными веществами, то по абсолютному значению $|\Delta y_{1,2}|_{N_2}$, как и по значению $\partial \Delta y_{1,2} / \partial N_2|_T$, первые существенно отличаются от вторых. Это следует

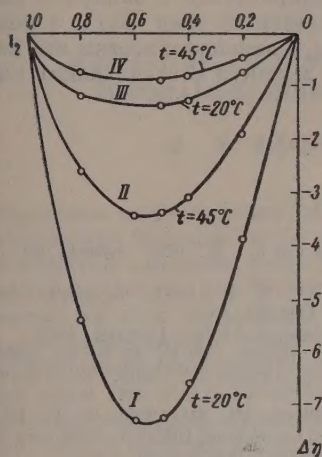


Рис. 4

Рис. 4. I и II — $C_4H_9OH + C_6H_6$; III и IV — $C_2H_5CO_2H + C_6H_6$

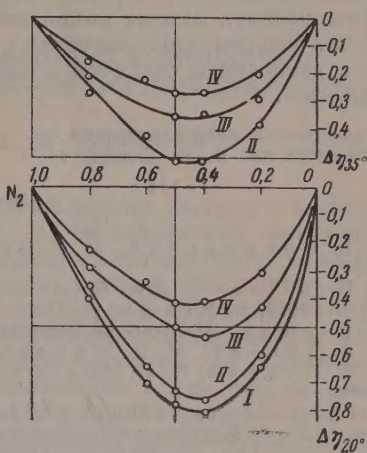


Рис. 5

Рис. 5. I — $(C_2H_5)_2O + C_6H_6$; II — $(C_2H_5)_2NH + C_6H_6$; III — $HCO_2C_2H_5 + C_6H_6$; IV — $CH_3COC_2H_5 + C_6H_6$

полученных данных для $|\Delta \varepsilon_{1,2}|_{N_2}$ и $|\Delta \gamma_{1,2}|_{N_2}$ и из значений const указанной зависимости для изменения $|\Delta y_{1,2}|_T$ с N_2 . Как оказалось, $\Delta y_{1,2}|_{N_2, T}$ изученных свойств в случае смесей с нормальными веществами почти линейно растет или уменьшается с ростом дипольного момента молекул второго компонента [5, 8]. Смесей же с членами соответствующих рядов изоэриодических соединений, склонными к образованию комплексов за счет водородных связей, не подчиняются этой зависимости и обнаруживают аномально повышенные или аномально пониженные значения $|\Delta y_{1,2}|_{N_2, T}$. При этом в случае $|\Delta \gamma_{1,2}|_{N_2, T}$ наблюдается заметное количественное, а в случае $|\Delta \varepsilon_{1,2}|_{N_2, T}$ качественное (противоположное отклонение от прямой) различие в поведении смесей с кислотами, с одной стороны, и со спиртами и фенолами, — с другой. Это свидетельствует о том, что рассматриваемая аномалия в поведении смесей с ассоциированными веществами связана не только с образованием эффекта разрушения комплексов, но и с особенностями самих комплексов — их размера, формы, дипольного момента и пр. Очевидно, именно закономерности изменения $|\Delta y_{1,2}|_{N_2, T}$ или $|\partial \Delta y_{1,2} / \partial N_2|_T$ с изменением свойств микрочастиц компонентов смеси (в нашем случае с дипольным моментом молекул второго компонента), а не их знак или само абсолютное значение могут служить однозначным критерием наличия ассоциации молекул в смеси.

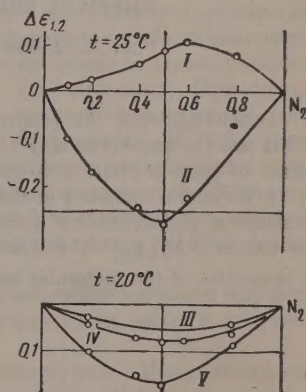


Рис. 6. I — $C_6H_5OCH_3 + C_6H_6$; II — $o-C_6H_4(CH_3)OH + C_6H_6$; III — $(C_2H_5)_2O + C_6H_6$; IV — $(C_2H_5)_2NH + C_6H_6$; V — $C_2H_5CO_2H + C_6H_6$

Выводы

1. Бинарные смеси того же типа в зависимости от различия в свойствах микрочастиц компонентов могут давать различные знаки $\Delta y_{1,2}$ — отклонения от аддитивного значения их физических свойств.

2. Однозначным критерием состояния микрочастиц в бинарной смеси (наличие молекул или их комплексов) является не знак $\Delta y_{1,2}$, а подчинение или неподчинение значения $|\Delta y_{1,2}|_{N_2, T}$ закономерностям его изменения с изменением различия в свойствах молекул составляющих смеси компонентов.

Харьковский политехнический
институт им. В. И. Ленина

ЛИТЕРАТУРА

1. К. Б. Яцимирский, И. И. Заславский, Ж. общ. химии, **20**, 391, 1950.
2. A. Dunstan, Z. phys. Chem., **56**, 370, 1906; O. Faust, Z. phys. Chem., **79**, 97, 1912; A. Bramley, J. Chem. Soc., **109**, 10, 1916.
3. R. Kremann, Mechanische Eigenschaften flüssiger Stoffe, Leipzig, 1928.
4. А. А. Брандт, М. И. Шапаронов, Вестн. МГУ, № 9, 45, 1954.
5. А. Е. Луцкий, Е. М. Обухова, Ж. физ. химии, **31**, 1693, 1957; Ж. общ. химии, **28**, 2386, 1958.
6. J. Prigogine, V. Mathot, J. Chem. Phys., **20**, 49, 1952; М. И. Шапаронов, Введение в молекулярную теорию растворов, ГИТТЛ, 1956, стр. 391.
7. J. Prigogine, V. Mathot, J. Chem. Phys., **18**, 765, 1950; V. Mathot, A. Desmyter, J. Chem. Phys., **21**, 782, 1953; R. Thacker, J. Rowlinson, J. Chem. Phys., **21**, 2242, 1953; Trans. Faraday Soc., **50**, 1036, 1954.
8. Е. М. Обухова, Диссертация, 1956, Ин-ка Харьковск. политехн. ин-та им. В. И. Ленина.
9. Е. В. Бирон, ЖРХО, **41**, 569, 1909; **42**, 135, 163, 167, 1910.
10. H. Bose, J. Indian Chem. Soc., **25**, 33, 39, 1948.

ASSOCIATION OF BINARY MIXTURES AND THE DEPENDENCE OF THEIR PHYSICAL PROPERTIES ON THE CONCENTRATION

A. E. Lutskiĭ and E. M. Obukhova (Kharkov)

Summary

Depending upon the properties of the component microparticles of binary mixture of one and the same type may have different signs $\Delta y_{1,2}$ of deviation from the additive values of their physical properties.

A unilateral criterion of the state of the microparticles in the binary mixture (the existence of molecules or of their complexes) is not the sign $\Delta y_{1,2}$ but whether or not the values $|\Delta y_{1,2}|_{N_2, T}$ follow the criterion in its change with change in difference of properties of the molecules comprising the mixture.

ИЗУЧЕНИЕ ГИДРАТАЦИИ ИОНОВ С ПОМОЩЬЮ
ИНФРАКРАСНЫХ СПЕКТРОВ ПОГЛОЩЕНИЯ

Л. Д. Щерба и А. М. Сухотин

Изучению инфракрасных спектров поглощения растворов электролитов посвящено большое число работ [1—8]. Об изменениях валентной полосы воды под влиянием растворенных веществ трудно судить из-за сложности структуры полосы. Валентная полоса жидкой воды состоит из двух азмытых за счет водородной связи, сильно перекрывающихся компонент, соответствующих симметричному ν_1 и антисимметричному ν_3 колебаниям [9]. Более определенные результаты получены для полосы поглощения воды при $4,7 \mu$, отвечающей комбинации $\nu_2 + \nu_R$, где ν_2 — частота деформационного, а ν_R — частота межмолекулярного вибрационного колебания H_2O . В работах [1, 2, 5, 7] обнаружены закономерные смещения полосы $4,7 \mu$; величина смещения растет при увеличении концентрации соли. Ионы малого радиуса действуют на полосу аналогично понижению температуры, ионы большого радиуса — аналогично повышению температуры, что согласуется с представлениями Бернала и Фаулера [10] о строении ионных растворов.

Вальдрон [8] исследовал влияние растворенных солей на инфракрасный спектр полутяжелой воды. В этом случае условия для изучения валентной полосы более благоприятны, так как полосы, относящиеся к колебаниям ν_1 и ν_3 , не перекрываются. Вальдрон пришел к выводу, что катионы почти не влияют на валентные OH- и OD-полосы HDO, в то время как приода аниона влияет как на положение, так и на интенсивность полос.

Подобного рода работы дают мало сведений о механизме гидратации ионов. Чтобы изменения в спектре воды были значительными, необходимо брать большие концентрации соли. Во всех упоминавшихся выше работах концентрация составляла несколько молей соли на литр воды. При таких высоких концентрациях вода, связанная в сольватные группировки, так же как и «свободная» вода, находится под одновременным воздействием ионов многих анионов и катионов. Спектроскопически наблюдается суммарная картина, интерпретация которой весьма затруднительна, если еще принять во внимание сложность структуры самой жидкой воды, каждая молекула которой связана четырьмя водородными связями с соседними молекулами.

В настоящей работе предпринята попытка спектроскопически изучать взаимодействие молекул воды с ионами при растворении воды и соответствующих соли в органическом растворителе.

В качестве растворителя был выбран ацетонитрил. Исследовались растворы воды и солей в области концентраций от 0,01 до 0,1 М. При таких концентрациях, как показали измерения электропроводности, соли практически полностью диссоциированы. Вода при столь низких концентрациях существует в растворе в виде мономера и ассоциирована посредством слабой водородной связи с ацетонитрилом.

Изучалось влияние катиона на валентную полосу легкой и тяжелой воды. Чтобы по возможности исключить влияние аниона, были выбраны иодиды и перхлораты, так как большие, симметричные анионы I^- и ClO_4^- , так известно, обладают весьма малой склонностью к сольватации.

Спектры снимались на спектрометре ИКС-11 с призмой из LiF в области от 3300 до 3800 см^{-1} для растворов H_2O и от 2400 до 2800 см^{-1} для растворов D_2O . В связи с большой гигроскопичностью растворов приготовление их и наполнение кювет производилось в сухой камере.

Валентная полоса воды, растворенной в ацетонитриле (рис. 1), состоит из двух относительно узких и хорошо разделенных компонент. Коротковолновая более интенсивная компонента (3635 см^{-1} для H_2O и 2696 см^{-1} для D_2O) соответствует колебанию ν_3 , длинноволновая менее интенсивная (3546 см^{-1} для H_2O и 2596 см^{-1} для D_2O) — колебанию ν_1 . Кривые 2 и 3

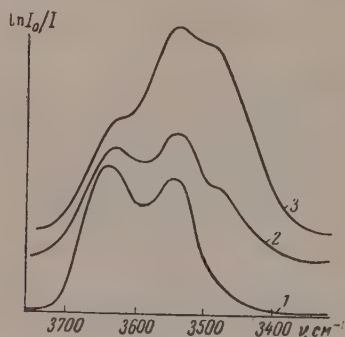


Рис. 1

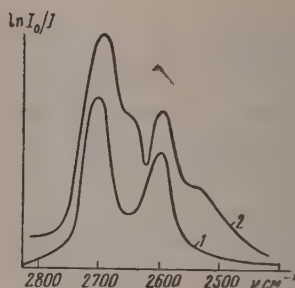


Рис. 2

Рис. 1. Инфракрасный спектр H_2O в ацетонитриле: 1—0,045 M H_2O ; 2—0,045 M H_2O + 0,030 M LiClO_4 ; 3—0,045 M H_2O + 0,110 M LiClO_4

Рис. 2. Инфракрасный спектр D_2O в ацетонитриле: 1—0,072 M D_2O ; 2—0,072 M D_2O + 0,100 M NaJ

3 (рис. 1) показывают влияние растворенной соли LiClO_4 . Со стороны меньших частот появляется дополнительная полоса, интенсивность которой растет при увеличении концентрации соли. Одновременно наблюдается понижение интенсивности антисимметричной полосы и увеличение интенсивности симметричной. Добавление в раствор LiJ вызывает такой же эффект, как и добавление LiClO_4 . Подобные изменения наблюдаются также и на валентной полосе тяжелой воды при добавлении в раствор солей лития.

NaJ также вызывает появление дополнительной, хотя и менее интенсивной, полосы со стороны низких частот. Относительная интенсивность симметричной и антисимметричной полос при этом практически не изменяется, но наблюдается общее увеличение интенсивности обеих компонент. На рис. 2 представлено изменение валентной полосы тяжелой воды при добавлении в раствор NaJ . Незначительное дополнительное поглощение на краю антисимметричной полосы, возможно, связано с неточной компенсацией поглощения ацетонитрила, очень интенсивного в этой части спектра.

Были получены также спектры растворов $\text{Mg}(\text{ClO}_4)_2$, MgJ_2 и BaJ_2 . Присутствие солей магния сильно сказывается на спектре воды, как это видно из рис. 3. Смещение дополнительной полосы больше, чем в случае солей лития, и сильные изменения в спектре наблюдаются при меньших концентрациях соли.

На примере солей лития и магния было показано, что наблюдающиеся изменения в спектре одинаковы для анионов J^- и ClO_4^- . Естественно отнести эти изменения за счет воздействия катиона на молекулы воды. Для окончательной проверки этого предположения были сняты спектры растворов йодистого тетраэзоамиламмония и йодистого бутилхинолина. Принято считать, что катионы этих солей не имеют прочно прикрепленной

сольватной оболочки. При малых концентрациях этих солей не наблюдается изменений в спектре воды. Однако, когда содержание соли в несколько раз превышает концентрацию воды, появляется слабая дополнительная полоса со стороны меньших частот. Одновременно происходит понижение общей интенсивности симметричной и антисимметричной полос. На рис. 4 представлены эти изменения в спектре в случае раствора бутилхинолин-йодида.

Учитывая незначительное влияние йодидов четвертичных аммониевых соединений на спектр воды, можно утверждать, что в растворах солей LiJ , aJ и MgJ_2 эффект вызван влиянием катиона.

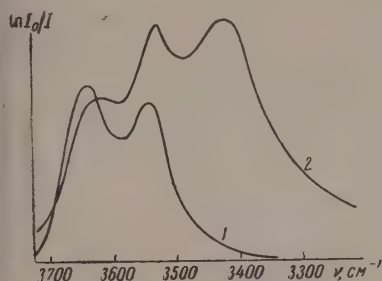


Рис. 3

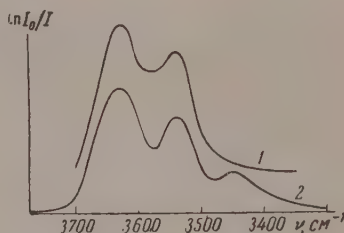


Рис. 4

Рис. 3. Инфракрасный спектр H_2O в ацетонитриле: 1—0,045 М H_2O ; 2—0,045 М H_2O + 0,010 М $\text{Mg}(\text{ClO}_4)_2$

Рис. 4. Инфракрасный спектр H_2O в ацетонитриле: 1—0,030 М H_2O ; 2—0,030 М H_2O + 0,130 М йодистого бутилхинолина

В пределах исследованной области концентраций воды и солей существует равновесие между водой, связанной с катионом, и свободно растворенной в ацетонитриле. На присутствие свободной воды указывает рост интенсивности новых полос при увеличении концентрации соли, а также неизменность положения симметричной и антисимметричной полос. Естественно приписать новую низкочастотную полосу молекулам воды, входящим в сольватную оболочку катиона. Вторая полоса связанной воды, очевидно, накладывается на полосы свободной воды, вызывая перераспределение их интенсивности. Такая интерпретация требует, однако, дополнительной проверки.

Чем больше поляризующая способность иона, тем сильнее сдвинуто равновесие в сторону образования гидратного комплекса. Смещение полос связанной воды к меньшим частотам вызвано, очевидно, поляризацией молекулы H_2O в поле иона. Тем не менее зависимость величины смещения дополнительной полосы от поляризующей способности иона не монотонна. Поляризующая способность (отношение заряда иона к его радиусу) падает в ряду Mg^{2+} , Li^+ , Na^+ , $(\text{C}_5\text{H}_{11})_4\text{N}^+$. Величина смещения составляет соответственно 120, 83; 103; 108 cm^{-1} .

Приведенные данные являются первыми, предварительными результатами изучения гидратации ионов описанным методом. Многие из наблюдаемых фактов, как об этом говорилось выше, не находят себе простого объяснения. Можно только утверждать, что таким методом удастся раздельно наблюдать полосы свободной воды и воды, связанной с ионом. Тем самым создается возможность спектроскопически изучать взаимодействие воды с ионом. Кроме того, в принципе, по интенсивности соответствующих полос можно изучать равновесие между водой, входящей и не входящей в сольватную оболочку иона.

Выводы

1. Изучено влияние LiClO_4 , LiJ , NaJ , $\text{Mg}(\text{ClO}_4)_2$, MgJ_2 , $(\text{iso-C}_6\text{H}_{11})_4\text{NJ}$ и йодистого бутилхинолина на инфракрасный спектр воды, в небольшом количестве растворенной в ацетонитриле.

2. Установлено, что в спектрах растворов минеральных солей наряду с валентными полосами поглощения свободно растворенной воды появляются смещенные в сторону меньших частот новые полосы, приписанные молекулам H_2O , вошедшим в сольватные оболочки катионов. Соли четвертичных аммониевых оснований, катионы которых известны своей малой склонностью к гидратации, не вызывают этого эффекта.

ЛИТЕРАТУРА

1. E. K. Plyler, E. S. Barr, Phys. Rev., **51**, 1017, 1937.
2. E. K. Plyler, E. S. Barr, J. Chem. Phys., **6**, 316, 1938.
3. A. M. Buswell, R. C. Gore, W. H. Rodebush, J. Phys. Chem., **43**, 1181, 1939.
4. A. M. Buswell, R. C. Gore, W. H. Rodebush, J. Phys. Chem., **45**, 545, 1941.
5. T. N. Gautier, D. Williams, Phys. Rev., **56**, 616, 1939.
6. D. Williams, W. Millett, Phys. Rev., **66**, 6, 1944.
7. U. Liddel, J. chim. phys., **45**, 82, 1948.
8. R. D. Waldron, J. Chem. Phys., **26**, 809, 1957.
9. М. О. Булакин, Оптика и спектроскопия, **2**, 557, 1957.
10. Д. Бернал, Р. Фаулер, Успехи физ. наук, **14**, 586, 1934.

STUDIES OF IONIC HYDRATION WITH THE AID OF INFRARED ABSORPTION SPECTRA

L. D. Scherba and A. M. Sukhotin (Leningrad)

Summary

The effect of LiClO_4 , LiJ , NaJ , $\text{Mg}(\text{ClO}_4)_2$, MgJ_2 , $(\text{iso-C}_6\text{H}_{11})_4\text{NJ}$ and butylquinolinium iodide on the infrared spectrum of water dissolved in small amounts in acetonitrile has been investigated. It has been found that in spectra of mineral salts solutions alongside valency bands of free dissolved water new bands appear ascribed to water molecules linked with cations. Quaternary ammonium salts of which the cations are known to have little inclination towards hydration do not cause this effect.

ОБ АССОЦИАЦИИ ИОНОВ В РАСТВОРАХ

А. М. Сухотин

Ассоциация ионов под влиянием электростатических сил является общим свойством ионных растворов. Наиболее плодотворно изучать закономерности ассоциации ионов на примере растворов в растворителях малой диэлектрической проницаемостью, где многие свойства растворов практически полностью определяются ионной ассоциацией. Всего отчетливее ионная ассоциация отражается на электропроводности растворов.

Совместно с Э. Н. Тимофеевой нами была изучена зависимость электропроводности растворов NaI в смесях этилового спирта с четыреххлористым углеродом (рис. 1). Аналогичные исследования растворов NaI, LiI, LiBr, LiCl и (изо- C_5H_{11})₄NJ в смесях бутанола с гексаном были выполнены совместно с Е. М. Рыжковым (рис. 2—6). Цифры около кривых на этих рисунках показывают величину диэлектрической проницаемости растворителей.

Характер изменения электропроводности с концентрацией и диэлектрической проницаемостью растворителя во всех изученных случаях одинаков и подобен картине, полученной Фуоссом и Краусом при изучении электропроводности растворов (изо- C_5H_{11})₄NNO₃ в смесях воды с диоксаном [1]. Полученные результаты еще раз подтверждают, что наличие минимума и максимума на изотермах проводимости следует считать нормальным общим свойством растворов с низкой диэлектрической проницаемостью, а не аномалией. В области малых концентраций изотермы проводимости представляют собой прямые с наклоном, равным $-1/2$, что говорит о приложимости в этой области закона разбавления Оствальда и дает возможность вычислить значения констант диссоциации ионных пар. Этот вопрос подробнее рассмотрен в статье Е. М. Рыжкова.

Для объяснения минимума на кривых λ — c обычно привлекается теория ионных тройников Фуосса и Крауса [2]. Никакими прямыми экспериментальными путями предположение о существовании ионных тройников не проверялось. Нам кажется, что вопрос о существовании ионных тройников может быть решен путем изучения чисел переноса ионов. Нами разработана методика измерения чисел переноса, пригодная для исследования растворов с высоким удельным сопротивлением. С ее помощью были измерены числа переноса ионов в 0,002 N и в 0,1 N LiBr в смеси 40% бутанола и 60% гексана (диэлектрическая проницаемость 4,77). Числа переноса катиона в этих растворах равны 0,453 и $0,461 \pm 0,014$, соответственно. Разница между этими значениями лежит в пределах ошибок опыта. Выбранные концентрации растворов LiBr лежат по обе стороны от минимума на изотерме проводимости (рис. 4). Согласно теории Фуосса и Крауса, диссоциированная часть электролита в 0,1 N LiBr должна состоять почти исключительно из ионных тройников, в то время как в 0,002 N растворе существуют только простые ионы Li^+ и Br^- . Можно показать, что в этом случае измеренные числа переноса в обоих растворах должны значительно отличаться друг от друга. Совпадение их говорит, по-видимому, об отсутствии ионных тройников в 0,1 N LiBr. Такой вывод заставляет искать новое объяснение минимума на кривых λ — c . Нам кажется, что такое объяснение может быть дано без привлечения представлений об ионных тройниках.

Согласно выражению для термодинамической константы диссоциаций

(K_d) степень диссоциации ионных пар (α) равна (при $\alpha \ll 1$)

$$\alpha = \frac{K_d^{1/2}}{c^{1/2} f_{\pm}}, \quad (1)$$

где f_{\pm} — средний ионный коэффициент активности.

В области малых концентраций, где $f_{\pm} \approx 1$, изменение степени диссоциации практически полностью определяется изменением $c^{1/2}$. При возрастании концентрации f_{\pm} уменьшается. Уравнение (1) показывает, что

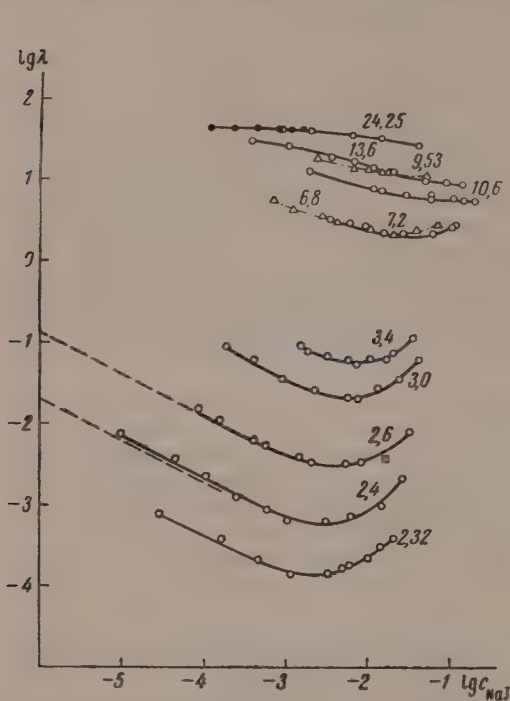


Рис. 1

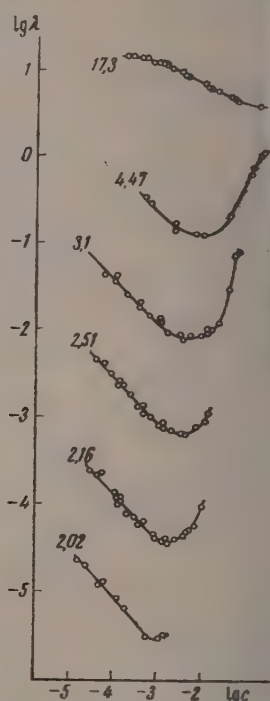


Рис. 2

Рис. 1. Эквивалентная электропроводность растворов NaJ в смешанных растворах $C_2H_5OH - CCl_4$: светлые кружки — наши данные, черные кружки — данные Баррака и Хартли и треугольники — H_2O — диоксан при 25°

Рис. 2. Эквивалентная электропроводность растворов NaJ в смесях бутанола с гексаном при 25°

из-за уменьшения f_{\pm} степень диссоциации может пройти через минимум и начать возрастать с ростом концентрации. Ниже мы остановимся на причинах быстрого уменьшения f_{\pm} с ростом c в растворах с малой диэлектрической проницаемостью.

Для многих растворов наблюдается резкий подъем изотерм проводимости в области средних концентраций. Измерение диэлектрической проницаемости этих растворов, проведенное совместно с Е. М. Рыжковым, показало, что в этой области концентраций диэлектрическая проницаемость быстро возрастает. Для одной из изученных систем это показано на рис. 7. Увеличение диэлектрической проницаемости раствора должно приводить к резкому возрастанию проводимости. В области концентрации, где изотермы сближаются, диэлектрическая проницаемость раствора определяется уже, главным образом, концентрацией соли, а не составом растворителя. Следует подчеркнуть, что в области минимума электропроводности влияние соли на диэлектрическую проницаемость раствора не существен-

о. Максимум на кривых λ — с вызывается увеличением вязкости растворов (рис. 7).

Определив степень диссоциации солей в изученных растворах из данных по электропроводности, мы рассчитали по уравнению (1) средние ионные коэффициенты активности f_{\pm} . Проверка показала, что первое и второе приближения теории Дебая — Гюккеля, так же как и приближение ронвела, Ламера и Сэндведа, не могут служить для описания зависимости f_{\pm} от ионной концентрации (ac).

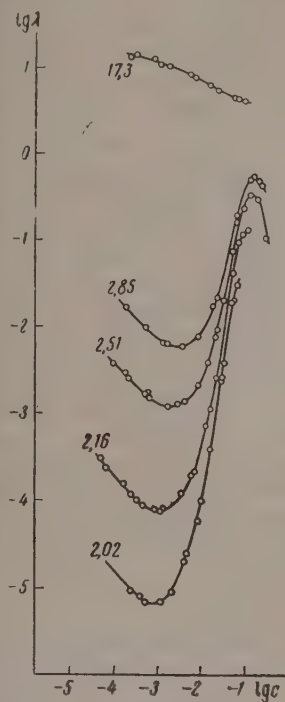


Рис. 3

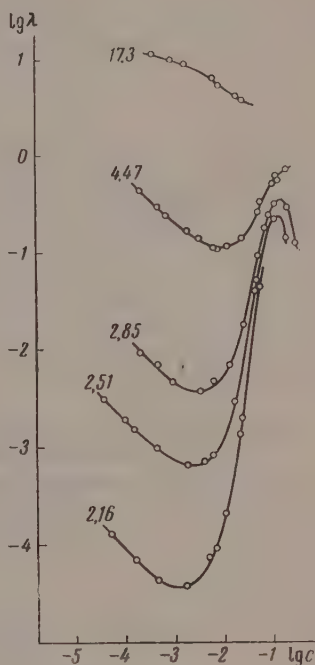


Рис. 4

Рис. 3. Эквивалентная электропроводность растворов LiI в смесях бутанола с гексаном при 25°

Рис. 4. Эквивалентная электропроводность растворов LiBr в смесях бутанола с гексаном при 25°

Более удовлетворительные результаты были получены при помощи теории Г. И. Микулина [3], которая опирается на те же исходные положения, что и теория Дебая — Гюккеля, но в значительной степени свободна от математических несовершенств последней.

На рис. 8 приведена зависимость $\lg f_{\pm}$ от \sqrt{ac} для растворов LiBr и HCl в смеси бутанола с гексаном (диэлектрическая проницаемость 4,77), рассчитанная по уравнению (1). Там же нанесены кривые, вычисленные по уравнению Г. И. Микулина [3], исходя из предположения, что расстояния максимального сближения ионов (a) в растворах LiBr и HCl равны соответственно 7,33 и 6,35 Å. Эти значения a разумны и близки к величинам, рассчитанным из констант диссоциации (см. статью Е. М. Рыжкова; там же приведены опытные данные для HCl).

Соответствие между опытной и теоретической зависимостью $\lg f_{\pm}$ от c подтверждает предположение об отсутствии ионных тройников в растворах и показывает, что теория Г. И. Микулина может с успехом применяться

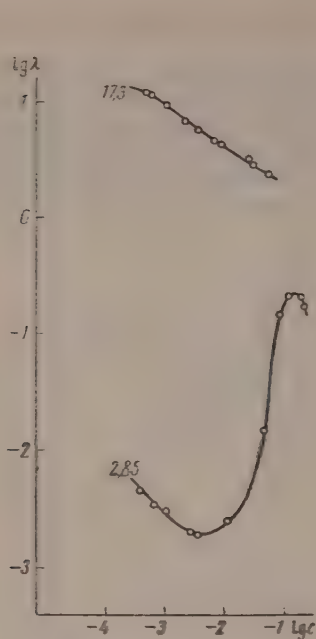


Рис. 5

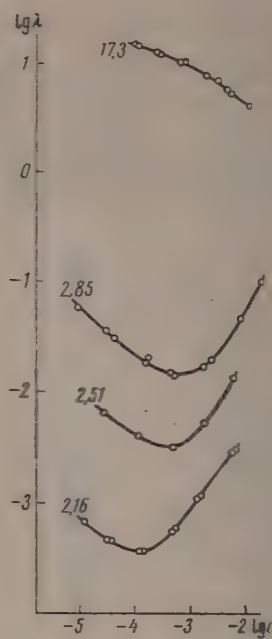


Рис. 6

Рис. 5. Эквивалентная электропроводность растворов LiCl в смесях бутанола с гексаном при 25°

Рис. 6. Эквивалентная электропроводность растворов (изр.-C₅H₁₁).N J в смесях бутанола с гексаном при 25°

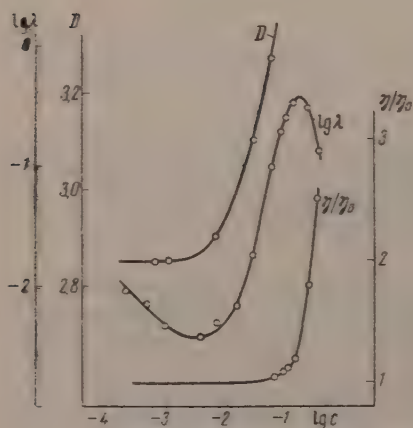


Рис. 7

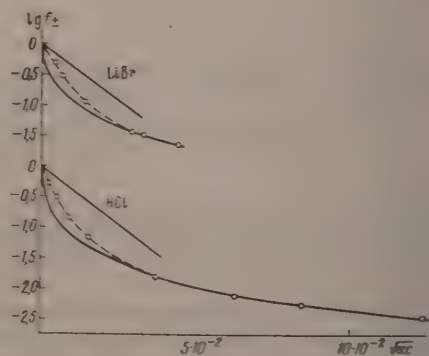


Рис. 8

Рис. 7. Электропроводность (λ), диэлектрическая проницаемость (D) и относительная вязкость (η/η_0) растворов LiBr в смесях 25% бутанола и 75% гексана (диэлектрическая проницаемость 2,85). 25°

Рис. 8. Экспериментальная зависимость $\lg f_+$ от ионной концентрации (пунктирные линии) и результаты расчета: прямые линии — по предельному закону Дебая-Гюккеля, а сплошные кривые — по формуле Г. И. Миклулина, для растворов LiBr и HCl в смеси 40% бутанола + 60% гексана, 25°

я описания свойств растворов с диэлектрической проницаемостью, близкой к четырем.

Для растворов с диэлектрической проницаемостью 3,4 теория Г. И. Микулина приводит к значениям $a \approx 11-18 \text{ \AA}$. При дальнейшем уменьшении диэлектрической проницаемости значения a возрастают до $30-40 \text{ \AA}$ и т.д. При очень малых значениях диэлектрической проницаемости теория Дебая — Микулина требует значительно более интенсивных межмолекулярных взаимодействий, чем это имеет место на самом деле. Согласно этой теории, концентрация противоположно заряженных ионов вблизи данного иона должна быть неосуществимо высокой. Поэтому учет собственного объема ионов по способу Айгена и Вика [4] или иным аналогичным путем для систем с низкой диэлектрической проницаемостью уже не является достаточной поправкой, как в случае водных растворов, а превращается в необходимое условие построения теории.

Выводы

1. Проведено систематическое исследование электропроводности растворов NaJ, LiJ, LiBr, LiCl и $(iso-C_5H_{11})_4NJ$ в смесях бутанола с гексаном (д. п. 17,3—2,02) и NaJ в смесях этанола с четыреххлористым углеродом (д. п. 24—2,32) в зависимости от концентрации солей и состава растворителя. Кроме того, изучена вязкость, плотность и диэлектрическая проницаемость перечисленных растворов в смесях бутанола с гексаном.

2. В области малых концентраций во всех случаях, равновесие между парами и ионными парами описывается законом разведения Оствальда.

3. Если д. п. растворителя достаточно низка, на изотермах проводимости всегда появляется минимум. Это явление объяснено уменьшением ионных коэффициентов активности.

Прежнее объяснение Фуосса и Крауса (теория ионных тройников) не подтверждается нашими данными по числам переноса ионов.

4. Резкий подъем после минимума, наблюдаемый на многих изотермах, связан с ростом д. п. раствора при увеличении концентрации соли.

5. Появление максимумов электропроводности при высокой концентрации вызвано возрастанием вязкости растворов.

6. Результаты расчетов, основанных на теории Г. И. Микулина [3], в общем согласуются с величинами средних ионных коэффициентов активности, полученными из кондуктометрических данных.

ЛИТЕРАТУРА

1. R. Fuoss, Ch. Kraus, J. Amer. Chem. Soc., 55, 21, 1933.
2. R. Fuoss, Ch. Kraus, J. Amer. Chem. Soc., 55, 2387, 1933.
3. Г. И. Микулин, Укр. хим. ж., 21, 435, 1955.
4. E. Wicke, M. Eigen, Z. Elektrochem., 56, 551, 1952.

ON ASSOCIATION OF IONS IN SOLUTIONS

A. M. Sukhotin (Leningrad)

Summary

A systematic study has been made of the electroconductivity of solutions of NaJ, LiJ, LiBr, LiCl and $(iso-C_5H_{11})_4NJ$ in butanol-hexane mixtures (DC equal 17.3—2.02) and of NaJ in ethanol-carbon tetrachloride mixtures (DC equal 24—2.32) with respect to the salt concentration and solvent composition. In addition determinations were made of the viscosity, density and dielectric constants of the solutions in the butanol-hexane mixtures.

In all cases, in the region of low concentrations, ion and ionic pair equilibrium obey Ostwald's dilution law.

If the DC of the solvent is sufficiently low a minimum always appears on the conductivity isotherms. This effect is explained by a decrease in the ion activity coefficients. An earlier explanation by Fuoss and Krause (theory of ionic triplets) is not confirmed by our data on the transfer numbers of ions.

The sharp increase following the minimum, observed on many isotherms, is connected with growth in the DC of the solution with increase in concentration of the salt.

The appearance of electroconductivity maxima at high concentrations is due to increase in viscosity of the solutions.

The results of calculations based on G. I. Mikulin's theory (3) are in general in agreement with the values for the mean ion activity coefficients obtained from conductimetric data.

ЛЮМИНЕСЦЕНТНЫЙ МЕТОД ОПРЕДЕЛЕНИЯ ОБЪЕМОВ СОЛЬВАТНЫХ ОБОЛОЧЕК МОЛЕКУЛ В РАСТВОРАХ

А. М. Саржевский и А. Н. Севченко

Известно, что в конденсированной системе, особенно в растворе, молекула не может рассматриваться как изолированная. Она почти всегда образует комплекс с окружающими ее молекулами растворителя. При этом нужно отметить, что сольватация в растворах сильно влияет на спектрально-люминесцентные свойства растворенных молекул. Определение толщины слоя или объема сольватной оболочки растворителя, прилегающего к растворенной молекуле, имеет важное значение не только при исследовании оптических свойств, но и для развития учения о жидкости и познания многих вопросов кинетики растворов.

Мы не будем приводить обзора существующих методов определения сольватных оболочек (по диффузии, осмотическому давлению, вязкости, ультразвуку и ряд других), так как они хорошо известны и подробно описаны в литературе [2, 3].

Предлагаемый нами метод измерения объема сольватных оболочек основан на изучении анизотропии фотолюминесценции растворов. Если плоско-поляризованный световой поток направлен на кювету с раствором, то в результате анизотропии излучателя внутри отдельных люминесцирующих систем (молекул) излучение будет также плоско-поляризованным. Поляризация фотолюминесценции обусловлена тем, что растворенные молекулы имеют фиксированные оси, вдоль которых преимущественно расположены элементарные осцилляторы. Степень поляризации люминесценции растворов сильно зависит не только от положения поглощающих и излучающих осцилляторов, но и от вязкости среды. Молекула, излучающая поляризованную люминесценцию, за время возбужденного состояния может повернуться вследствие броуновского вращательного движения на некоторый угол. Направление ротации в растворах различно у разных молекул и обусловлено статистическим законом. Степень поляризации будет тем больше, чем больше вязкость среды.

В соответствии с теорией, развитой Смолуховским и Эйнштейном, сферическая молекула объема V поворачивается в жидкости с вязкостью η за короткое время Δt на $\Delta\varphi$. Средняя величина угла поворота определяется равенством:

$$\overline{\Delta\varphi^2} = \frac{1}{3} \frac{RT}{\eta V} \Delta t. \quad (1)$$

Заменив в этом равенстве Δt временем средней длительности свечения в возбужденном состоянии τ , можно при его помощи получить соотношение для степени поляризации в зависимости от вязкости, температуры, объема молекулы и других молекулярных параметров. Впервые это соотношение было предложено В. Л. Левшиным [4], а затем Ф. Перреном. В наиболее простом виде эта связь выражается формулой:

$$\frac{1}{P} - \frac{1}{P_0} = \left(\frac{1}{P_0} - \frac{1}{3} \right) \tau \frac{B}{B_0} \frac{kT}{\eta V}, \quad (2)$$

з P — измеряемая степень поляризации люминесценции; P_0 — предельная степень поляризации, т. е. поляризация при $\eta \rightarrow \infty$; T — температура створа в абсолютной системе; V — объем растворенной молекулы вместе с сольватной оболочкой; B_0 и B — квантовый выход люминесценции в отсутствие и при наличии процесса тушения; τ — длительность возбужденного состояния.

Формула (2) линейно связывает $1/P$ и T/η , причем при $T = \text{const}$ прямая пересекает ось ординат в точке $P = P_0$. Как показывает опыт, квантовый выход люминесценции для многих красителей не зависит от вязкости, тогда в формуле (2) отношение $B/B_0 = 1$.

Формула Левшина — Перрена может быть применена как новый метод экспериментального определения объема сольватной оболочки, тем более, что длительность возбужденного состояния τ сейчас точно измеряется при помощи флуорометров [5].

Вязкость η , входящая в формулу (2), есть молекулярная вязкость. На быте обычными вискозиметрическими методами мы измеряем молярную вязкость, т. е. вязкость, имеющую смысл только для внутреннего трения в жидкости: Эйнштейн распространил понятие вязкости и на случай движения отдельных молекул, предположив, что частицы имеют сферическую форму. Многочисленные опытные данные показывают, что уравнения броуновского движения, составляемые на основе классических гидродинамических уравнений для достаточно больших частиц идеальной жидкости, оказываются применимыми к объектам, размеры которых сопоставимы или лишь немного превосходят размеры частиц, образующих жидкую среду. Флуоресценция растворов является именно такой областью применения гидродинамических формул к молекулярным явлениям. Как это показано рядом авторов, абсолютные значения молекулярных и соответствующей молярной вязкости совпадают [6, 7].

Для проверки предлагаемого метода были исследованы флуоресцеин, родамин В и хлорофилл, молекулярные объемы которых известны из литературных данных. Маринеско [1] диффузионным методом получил следующие данные для этих веществ: флуоресцеин в глицерине $480\text{--}500\text{ см}^3$, родамин В в глицерине 520 см^3 , хлорофилл в касторовом масле 2600 Å^3 . Наши измерения этих веществ в тех же растворителях дали следующие значения: флуоресцеин — 490 см^3 , родамин В — 508 см^3 , хлорофилл — 500 Å^3 .

В качестве исследуемых объектов нами были взяты производные фталимида*.

В табл. 1 собраны измеренные значения τ и P_0 для различных растворов и разных производных фталимида. Анализ табличных данных свидетельствует о сильной зависимости τ и P_0 от химической природы растворителя.

В табл. 2 приведены данные граммолекулярных объемов ряда производных фталимида в твердом состоянии, рассчитанные, исходя из межмолекулярных расстояний, а также значения граммолекулярных объемов тех же молекул красителей в различных растворителях и их смесях, полученные описанным методом.

Анализ табличных данных свидетельствует, что объем в твердом состоянии значительно меньше объема молекулы в растворе. Относительно малое увеличение молекулярного объема для некоторых фталимидов в глицерине, этиленгликоле, циклогексанол, по-видимому, объясняется тем, что вокруг молекулы фталимида образуется мономолекулярный слой растворителя.

* Все исследованные производные фталимида были синтезированы и любезно предоставлены в наше распоряжение В. В. Зелинским, за что авторы приносят ему искреннюю благодарность.

Таблица

Длительность возбужденного состояния $\tau \cdot 10^{-9}$ в разных растворителях и предельная поляризация P_0 , %

Вещество	Растворитель		Глицерин	Изобутиловый спирт	Изоамиловый спирт	Водоглицер. раствор	Метил. глиц. раствор	Этил. глицерин. раствор	Изобутил. глиц. раствор	
	Этилен-гликоль	Циклогексанол								
3-Диметиламино-6-аминофталимид	9,7	10,6	9,4	7,4	10,1	10,6	10,4	9,7	9,2	39
3,6-Диацетиламино-N-метилфталимид	12,2	10,4	11,6	11,7	11,0	11,8	12,2	11,8	11,6	39
3,6-Диамино-N-метилфталимид	14,0	13,0	10,3	12,2	12,3	12,2	12,2	11,5	11,3	36
3-Окси-N-метилфталимид	11,7	9,0	7,5	8,3	6,2	13,0	11,3	12,4	9,6	35
3-Аминофталимид	13,5	15,0	13,6	14,2	15,0	13,0	14,3	14,8	14,6	32
3-Монометиламинофталимид	6,6	9,5	4,0	7,7	9,5	3,2	4,1	4,4	4,8	40
3-Амино-N-метилфталимид	14,2	15,7	14,0	15,5	14,8	13,8	15,6	15,6	15,5	35
3-Ацетиламино-N-метилфталимид	3,9	4,6	4,0	3,3	4,6	4,5	4,0	4,0	3,8	39
4-Аминофталимид	8,2	12,6	4,6	10,3	12,7	3,6	4,9	5,1	5,9	39
4-Формиламино-N-метилфталимид	18,7	15,7	18,7	16,5	17,0	18,3	17,9	18,2	18,5	32
4-Амино-N-метилфталимид	8,9	12,3	4,3	9,8	12,1	2,6	4,5	4,7	5,6	40

Таблица 2

Молекулярные объемы фталимидов в различных растворителях и их смесях V_0 , с

Вещество	Растворитель		Глицерин	Изобутилов. спирт	Изоамиловый спирт	Водоглиц. раствор	Метилглиц. раствор	Этилглиц. раствор	Изобутил. раствор	V_0 в твердом
	Этил-гликоль	Циклогексанол								
3-Диметиламино-6-аминофталимид	765	161	269	414	572	993	653	438	346	70
3,6-Диацетиламино-N-метилфталимид	182	86	157	334	281	253	145	139	91	76
3,6-Диамино-N-метилфталимид	343	159	83	340	307	191	124	95	79	66
3-Окси-N-метилфталимид	183	96	93	210	221	142	138	117	111	59
3-Аминофталимид	281	235	78	261	146	125	122	120	151	60
3-Монометиламинофталимид	110	120	78	189	143	131	110	86	117	64
3-Амино-N-метилфталимид	204	216	83	—	236	138	142	133	136	64
3-Ацетиламино-N-метилфталимид	126	123	170	—	146	143	90	83	81	69
4-Аминофталимид	331	316	109	977	511	290	201	198	247	60
4-Формиламино-N-метилфталимид	354	221	259	—	—	266	260	259	249	69
4-Амино-N-метилфталимид	281	330	121	920	356	241	206	132	163	64

Предлагаемый люминесцентный метод определения размеров сольватных оболочек позволяет с достаточной точностью вычислять не только объемы сольватных оболочек, но и количество молекул растворителя, разрывающих сольватную оболочку.

Выводы

Предложен метод измерения сольватных оболочек, основанный на изучении анизотропии фотолюминесценции растворов.

Метод применен к исследованию растворов фталимидов.

Академия наук БССР
Институт физики
Минск

ЛИТЕРАТУРА

- N. S. Marinenco, J. Chim. Phys., 572, 1927.
А. Думанский, Люофильность дисперсных систем. Воронеж, 1940.
А. Пасынский, Коллоидн. ж., 8, 53, 1946.
В. Л. Левшин, Фотолюминесценция жидких и твердых веществ. ГИТТЛ, 1951.
А. М. Бонч-Бруевич, В. А. Молчанов, В. И. Шпроков. Изв. АН СССР, сер. физ., 20, 596, 1956.
С. И. Вавилов, Соч., т. 2, ст. 1.
А. Н. Севченко, Тр. Гос. оптич. ин-та, 15, 65, 1941.

LUMINESCENCE METHOD OF DETERMINING THE SOLVATE ENVELOPES OF MOLECULES IN SOLUTIONS

A. M. Sarzhevskii and A. N. Serchenko (Minsk)

S u m m a r y

A method has been proposed for measuring the solvate sheaths of molecules based on measuring the photoluminescence anisotropy of the solutions. The method has been applied to a study of phthalimide solutions.

ЭЛЕКТРОХИМИЧЕСКОЕ ИССЛЕДОВАНИЕ НЕВОДНЫХ РАСТВОРОВ ХЛОРИСТОГО ВОДОРОДА

Е. М. Рыжков и А. М. Сухотин

А. М. Сухотиным исследовалась электропроводность ряда солей в средах с низкой диэлектрической проницаемостью. Представляет интерес изучение электролитов другого типа, а именно: одноосновных кислот, типичным представителем которых является хлористый водород.

При изучении электропроводности HCl в смесях бутанола с гексаном (рис. 1) применялась методика, несколько отличная от обычной. Отличалось в том, что разбавление растворов производилось не смесью бутанола с гексаном определенного состава, а только одним из компонентов смешанного растворителя. Основным преимуществом этого приема является то, что, проводя измерения электропроводности во всех областях концентрации HCl, мы имеем возможность рассчитать изотерму электропроводности для любого соотношения компонентов растворителя.

Сравнение изотерм электропроводности HCl в смешанных растворителях с соответствующими изотермами для солей показывает, что характер этих кривых одинаков для электролитов различного типа. В области малых концентраций изотермы электропроводности представляют собой прямые с наклоном $-1/2$, что неоднократно наблюдалось и раньше. Существование этого наклона говорит о возможности применения закона разбавления Оствальда для расчета $K_{\text{дисс}}$. Действительно, если $K_{\text{дисс}} = \alpha^2 c (\alpha \ll 1)$, то $\lg(\lambda/\lambda_0) = 1/2 \lg K_{\text{дисс}} - 1/2 \lg c$ или $\lg \lambda = 1/2 \lg \lambda_0 K_{\text{дисс}} - 1/2 \lg c$.

Проверка применимости уравнений (1) и (2) для растворов электролитов в смесях $n\text{-C}_4\text{H}_9\text{OH} + n\text{-C}_6\text{H}_{14}$, 25°

Электролит	% $n\text{-C}_4\text{H}_9\text{OH}$	D	$K_{\text{дисс}}$	α , А ур-ние (1)	r_0 , А ур-ние (2)
HCl	10,0	2,08	$4,0 \cdot 10^{-10}$	5,90*	5,9
	12,65	2,16	$5,9 \cdot 10^{-10}$	6,06	6,0
	25,0	2,85	$3,0 \cdot 10^{-10}$	6,23	6,2
	40,0	4,77	$1,72 \cdot 10^{-9}$	5,09	5,0
	70,0	10,1	$1,41 \cdot 10^{-5}$	3,93	3,7
	100	17,3	$5,4 \cdot 10^{-8}$	6,63	3,7
NaJ	7,0	2,02	$4,50 \cdot 10^{-10}$	6,11	6,10
	12,65	2,16	$1,08 \cdot 10^{-10}$	6,55	6,52
	20,0	2,51	$5,20 \cdot 10^{-10}$	6,74	6,69
	40,0	4,77	$7,60 \cdot 10^{-9}$	5,52	5,42
LiJ	7,0	2,02	$1,44 \cdot 10^{-10}$	6,29	6,26
	12,65	2,16	$2,70 \cdot 10^{-10}$	6,73	6,69
	20,0	2,51	$1,17 \cdot 10^{-10}$	6,94	6,88
	25,0	2,85	$4,80 \cdot 10^{-10}$	6,95	6,87
LiBr	12,65	2,16	$6,90 \cdot 10^{-17}$	6,46	6,44
	20,0	2,51	$3,58 \cdot 10^{-14}$	6,65	6,60
	25,0	2,85	$2,25 \cdot 10^{-12}$	6,74	6,67
	40,0	4,77	$9,35 \cdot 10^{-9}$	5,59	5,47
изо-Am ₄ NJ	12,65	2,16	$2,90 \cdot 10^{-16}$	6,74	6,72
	20,0	2,51	$7,35 \cdot 10^{-14}$	6,82	6,77
	25,0	2,85	$2,75 \cdot 10^{-13}$	6,79	6,72

Примечание: Данные этого столбца внесены автором при корректуре.

Используя закон разбавления Оствальда, мы рассчитали $K_{\text{дисс}}$ HCl в смесях различного состава (от 70 до 10 % бутанола) в интервале значений электрической проницаемости от 10,1 до 2,08. Результаты этих расчетов приведены в таблице.

Изучение электропроводности различных электролитов в неводных растворителях проводилось и раньше, однако систематическое исследование проводимости в широком диапазоне значений диэлектрической проницаемости на примере одного и того же смешанного растворителя было

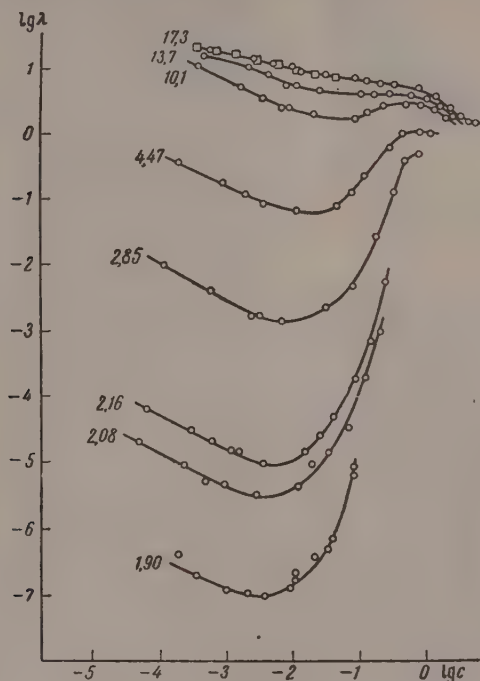


Рис. 1

проведено только Фуоссом и Краусом в их известной работе по определению электропроводности растворов азотнокислого тетраизоамилламмония в водно-диоксипановых смесях [1].

Для объяснения зависимости $K_{\text{дисс}}$ от диэлектрической проницаемости (D) Фуосс и Краус использовали теорию ассоциации ионов Бьеррума [2]:

$$K_{\text{дисс}}^{-1} = \frac{4\pi N}{1000} \left(\frac{\epsilon^2}{DkT} \right)^3 Q(b); \quad b = \frac{\epsilon^2}{DakT}, \quad (1)$$

где a — межионное расстояние в ионной паре.

Фуосс и Краус показали [3], что теория Бьеррума может служить для описания зависимости $K_{\text{дисс}}$ от D . Однако эта теория, как указывает сам Бьеррум, опирается на допущения, не имеющие физического обоснования.

А. М. Сухотиним [4] был предложен новый путь теоретического вычисления $K_{\text{дисс}}$ ионных пар в растворах с различной диэлектрической проницаемостью, основанный на использовании закона Кулона и статистического выражения для констант равновесия. Окончательное выражение зависимости $K_{\text{дисс}}$ от D имеет следующий вид:

$$K_{\text{дисс}} = \frac{10^3 \epsilon^2}{N} \left(\frac{n-1}{32\pi^3 r_0^2 DkT} \right)^{1/2} e^{-\epsilon^2/r_0 DkT}, \quad (2)$$

где r_0 — межионное расстояние в ионной паре; n — показатель степени в выражении для борновского потенциала отталкивания ионов, близкий к десяти.

Мы видим известное преимущество в том, что вывод этой зависимости основан на совершенно ясных физических допущениях. Они сводятся, во-

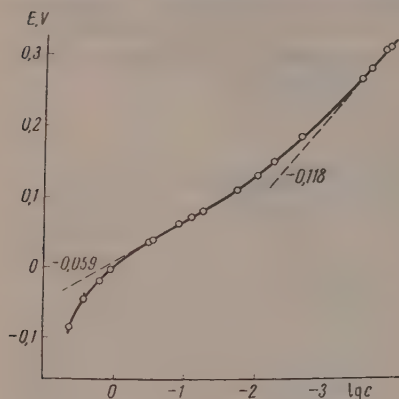


Рис. 2

первых, к тому, что работа диссоциации ионной пары тратится в первом приближении только на преодоление сил кулоновского взаимодействия ионов; во-вторых, сила взаимодействия ионов, даже в самой ионной паре, пропорциональна $1/D$.

Для сравнения этих двух теорий нами были произведены расчеты межионных расстояний по уравнениям (1) и (2) как для HCl , так и для ряда солей. Результаты расчетов, которые приведены в таблице, показали, что обе эти теории удовлетворительно описывают зависимость $K_{\text{дисс}}$ от D . Важно подчеркнуть при этом, что результаты этих расчетов для HCl существенно не отличаются от результатов, полученных для солей. Это го-

ворит о том, что ионы H^+ и Cl^- находятся в равновесии не с ковалентными молекулами HCl , а с ионными парами, т. е., что большая часть растворенной HCl находится в виде ионных пар.

Рассчитать $K_{\text{дисс}}$ HCl в чистом бутаноле только из данных по электропроводности невозможно. Закон разбавления Оствальда в этом случае неприменим, а известный метод Фуосса и Крауса [5], часто используемый для оценки $K_{\text{дисс}}$ электролитов в средах со значительной диэлектрической проницаемостью, в случае такого малополярного растворителя, как бутанол, не следует использовать, так как он основан на использовании первого приближения теории Дебая и Гюккеля для расчета средних ионных коэффициентов активности f_{\pm} .

Не зная $K_{\text{дисс}}$, мы не можем рассчитать f_{\pm} из уравнения термодинамической константы диссоциации:

$$K_{\text{дисс}} = \frac{\alpha^2 c_{\pm}^2}{(1-\alpha)f_{\text{HCl}}}, \quad (3)$$

так как это мы делали для систем с более низким значением D . Поэтому нами была предпринята попытка рассчитать $K_{\text{дисс}}$ HCl в чистом бутаноле, используя несколько иной путь.

Для этого была изучена зависимость э. д. с. (E) цепи: $\text{Pt}(\text{H}_2) | \text{HCl}$ в бутаноле $|\text{AgCl}-\text{Ag}$ от концентрации HCl в бутаноле (рис. 2). Взяв за основу выражение (3), можно показать, что э. д. с. такой цепи описывается двумя тождественными уравнениями:

$$E = E^0 - \frac{RT}{F} \ln c - \frac{RT}{F} \ln (1-\alpha) f_{\text{HCl}}; \quad (4)$$

$$E = E^0 - 2 \frac{RT}{F} \ln c - 2 \frac{RT}{F} \ln \alpha f_{\pm}. \quad (5)$$

При помощи значений $E^{0'}$ и $E^{0''}$ можно рассчитать $K_{\text{дисс}}$ по уравнению

$$\lg K_{\text{дисс}} = \frac{E^{0''} - E^{0'}}{0,059}. \quad (6)$$

Рассмотрим уравнение (5). В том случае, когда $\alpha \approx 1$ и $f_{\pm} \approx 1$, зависимость E от $\lg c$ должна представлять собой прямую с наклоном $-0,118$. Эксперимент в области малых концентраций дает именно этот наклон. Экстраполируя на $\lg c = 0$, мы получим $E^{0'}$.

В области средних концентраций экспериментальная зависимость $-\lg c$ представляет собой прямую с наклоном $-0,059$. Этот наклон может иметь место в том случае, когда диссоциации очень мало изменяется с изменением концентрации HCl , а $\alpha \approx 1$ [см. уравнение (4)]. Таким образом, для того чтобы оценить величину $E^{0'}$, необходимо рассчитать α . Из имеющихся в нашем распоряжении данных по электропроводности HCl в бутаноле, используя теорию электропроводности Онзагера и способ расчета α , предложенный Шидловским [6], мы оценили значение α . Полученную таким образом α подставляем в уравнение (4) и рассчитываем $E^{0'}$. Подставляя в уравнение (5) полученные значения $E^{0'}$ и $E^{0''}$, мы рассчиты-

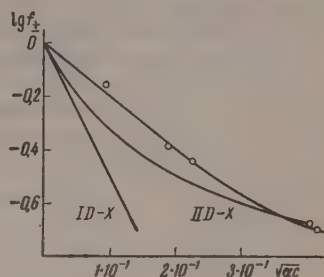


Рис. 3

вали $K_{\text{дисс}} \text{HCl}$ в бутаноле (см. таблицу). Используя уравнения (4) и (5) для $E^{0'}$ и $E^{0''}$, можно рассчитать f_{\pm} в области концентраций, где $f_{\text{HCl}} = 1$. Результаты вычислений приведены на рис. 3. На этом же рисунке приведена прямая, отвечающая предельному закону Дебая и Гюккеля, и результаты расчета по формулам второго приближения этой теории (средний ионный диаметр принят равным $6,8 \text{ \AA}$). Из графика видно, что оба приближения теории Дебая и Гюккеля не описывают экспериментальной зависимости. Это не вызывает удивления, так как диэлектрическая постоянная нашей системы достаточно мала. Кривая $E - \lg c$, начиная примерно от $0,5 \text{ M}$, отклоняется вниз. Это, по-видимому, происходит за счет уменьшения коэффициента активности недиссоциированных молекул HCl . Как показывает опыт, упругость пара HCl над концентрированными растворами быстро возрастает с ростом концентрации, что свидетельствует об увеличении f_{HCl} . Ориентировочная оценка значения f_{HCl} показала, что коэффициент активности недиссоциированной части в растворе с концентрацией $4,15 \text{ M}$ достигает значения шесть.

Выводы

1. Изучена электропроводность растворов HCl в смесях бутанола с хлоридом и э. д. с. элемента $\text{Pt}(\text{H}_2)|/\text{HCl}$ в бутаноле/ $|\text{AgCl}-\text{Ag}$.
2. Из данных по электропроводности вычислены константы диссоциации хлористого водорода и ряда 1—1-валентных солей в смесях бутанола с гексаном. Зависимость констант диссоциации от диэлектрической проницаемости растворителя может быть удовлетворительно описана теоретическими уравнениями Бьеррума [2] и А. М. Сухотина [4].
3. Путем сочетания кондуктометрических и потенциометрических измерений найдена константа диссоциации и средние ионные коэффициенты активности HCl в бутаноле при 25° .

ЛИТЕРАТУРА

- R. Fuoss, Ch. Kraus, J. Amer. Chem. Soc., 55, 21, 1933.
 N. Bjerrum, Det. Kgl. Danske Vid. Selskab Mat.-fys. Medd., 7, 3, 1926.
 R. Fuoss, Ch. Kraus, J. Amer. Chem. Soc., 55, 2387, 1933.
 А. М. Сухотин, Ж. физ. химии, 31, 792, 1957.
 R. Fuoss, Ch. Kraus, J. Amer. Chem. Soc., 55, 476, 1933; R. Fuoss, J. Amer. Chem. Soc., 57, 488, 1935; Trans. Faraday Soc., 32, 594, 1936.
 T. Shedlovsky, J. Franklin Inst., 225, 739, 1938.

ELECTROCHEMICAL INVESTIGATION OF NON-AQUEOUS HYDROGEN
CHLORIDE SOLUTIONS*E. M. Ryzhkov and A. M. Sukhotin (Leningrad)*

S u m m a r y

The electroconductivity of HCl solutions in butanol-hexane mixtures has been measured and the emf determined of the cell $\text{Pt (H}_2\text{)} | \text{HCl (in butanol)} | \text{AgCl} - \text{Ag}$.

From the electroconductivity data the dissociation constants of HCl and a number of 1 — 1 valent salts in butanol-hexane mixtures have been calculated. The dependence of the dissociation constant upon the dielectric constant may be satisfactorily described by the theoretical equations of Bjerrum (2) and Sukhotin (4).

By combining the conductimetric and potentiometric data the dissociation constants and mean ion coefficients of activity of HCl in butanol at 25° C have been found.

ЭФФЕКТ ДИЭЛЕКТРИЧЕСКОГО НАСЫЩЕНИЯ РАСТВОРИТЕЛЯ
В ЭЛЕКТРОСТАТИЧЕСКОЙ ТЕОРИИ РАСТВОРОВ

Г. И. Микулин

Теория растворов Дебая—Гюккеля учитывает лишь силы взаимодействия между ионами и не принимает во внимание поляризацию молекул растворителя и сольватацию ионов. Нами развита теория, учитывающая уменьшение диэлектрической постоянной растворителя вблизи от иона, дана оценка реального значения такой поправки к теории Дебая—Гюккеля.

В основе теории оставлено представление о растворителе, как о непрерывной изотропной среде, так как использование модельных представлений пока еще неосуществимо. Мы принимаем, что диэлектрическая постоянная молекул растворителя ϵ в окрестностях иона не является постоянной, а изменяется по некоторой непрерывной кривой $\epsilon = f(E)$ зависимости от напряженности электрического поля (E) в соответствующей точке.

В основу нашей теории для бинарных симметричных электролитов положено уравнение

$$\frac{1}{r^2} \frac{d}{dr} \left(\epsilon \frac{d\psi}{dr} \right) = -8\pi nze \operatorname{sh} \frac{ze\psi}{kT}, \quad (1)$$

вытекающее из уравнения Максвелла и формулы Больцмана и являющееся обобщением теории Дебая—Гюккеля на случай переменной ϵ при сохранении неизменными других исходных положений этой теории. Уравнение (1) отличается от уравнения Дебая—Гюккеля тем, что диэлектрическая постоянная находится в левой части уравнения под знаком дифференциала. Пограничное условие на границе «ионного шара» принимает следующий вид

$$\left(-\epsilon \frac{d\psi}{dr} \right)_a = \frac{\bar{z}e}{a^2}. \quad (2)$$

Уравнение (1) не удовлетворяет требованию «самосогласованности» [1], однако мы считаем, что это требование не является обоснованным, если учесть, что в ходе решения задачи та часть энергии поляризации растворителя, которая соответствует энергии иона, «размазанного» в виде ионной атмосферы, отбрасывается, а часть, соответствующая энергии центрального иона, удваивается. Подтверждением последнего является то, что «несамосогласованное» решение Гронвола, Ла Мера и Сэндвед дает значительно лучшие результаты, чем «самосогласованное» решение Дебая—Гюккеля.

Для решения уравнения (1) нами предложен [2] новый метод, основанный на замене гиперболического синуса несколько иной функцией, весьма мало от него отличающейся, с таким расчетом, чтобы решение уравнения приняло вид:

$$\psi = A \frac{\exp \{-(\kappa + B\psi)(r - a)\}}{\epsilon_\psi r}, \quad (3)$$

отличающийся от соответствующей формулы классической теории тем что в показателе в качестве коэффициента при r — a стоит не характеристическая величина κ Дебая—Гюккеля, а линейная функция потенциала $\kappa + B\psi$. Такой приближенный способ решения уравнения (1) дает, как показало специальное исследование, ошибку не более 1%.

Величины A и B — постоянные, определяемые из предельных условий при $r = a$; величина ϵ_ψ — это «интегральная» диэлектрическая постоянная, являющаяся непрерывной функцией от E и определяемая таким образом, чтобы формула для электрического потенциала поля центрального иона (в отсутствие ионной атмосферы) в неоднородно-поляризованной среде:

$$\psi = \frac{ze}{\epsilon_\psi r} \quad (4)$$

имела формальную аналогию с соответствующей формулой для однородно-поляризованной среды.

Если для упрощения формул ввести в рассмотрение безразмерные параметры α , β и θ согласно следующим определениям:

$$\alpha = \frac{z^2 e^2}{\epsilon_\psi a k T}; \quad \beta = 8\pi n a^3; \quad \theta = \frac{\epsilon_\psi a \psi}{ze}, \quad (5)$$

то численное значение потенциала ψ_a на границе «ионного шара» находится из уравнения

$$(K_1 + K_2 \theta) \beta \theta \operatorname{sh}(\alpha \theta) + K_3 \beta^2 \theta^2 \operatorname{sh}^2(\alpha \theta) - K_4 \alpha \beta \theta \operatorname{ch}(\alpha \theta) - \\ - (K_5 - K_6 \theta + K_7 \theta^2) + K_8 \theta \sqrt{\alpha \beta} = 0, \quad (6)$$

где восемь коэффициентов K зависят только от ze/a^2 и вычисляются при помощи кривой $\epsilon = f(E)$.

Соответствующая энергия заряжения иона для заданных значений «ионного диаметра» и концентрации раствора определяется как энергия поляризации растворителя путем численного интегрирования.

С целью применения нашей теории к водным растворам электролитов были рассмотрены различные теоретические формулы $\epsilon = f(E)$ для воды, согласно теориям поляризации диэлектриков Онзагера, Кирквуда, Дебая и др. Сопоставление расчетных и опытных значений для ϵ при насыщении и для относительного уменьшения ϵ в сильном электрическом поле показало, что практически наилучшей является теория Онзагера (рис. 1, кривая 1) в интерпретации Оделевского [3]. Для того чтобы судить о том, какое влияние на результаты расчетов оказывает характер кривой $\epsilon = f(E)$, использована также кривая (рис. 1, кривая 2), соответствующая старой теории поляризации Дебая.

В теории концентрированных растворов электролитов удобно пользоваться не коэффициентами активности, а «избыточным» термодинамическим потенциалом раствора $Z_{\text{изб}}$, представляющим собой разность между значениями Z для реального и идеального раствора. Применяя наш метод решения уравнения (1), можно построить кривые:

$$-\frac{Z_{\text{изб}}}{NkT} = f(C) \quad (7)$$

для различных «ионных диаметров» и различных вариантов функциональной зависимости диэлектрической постоянной воды от напряженности электрического поля. Сопоставление этих кривых с опытными данными оказывается возможным лишь для тех электролитов, ионы которых в водном растворе не ассоциированы и не образуют жидких гидратов определенного химического состава (т. е. таких гидратов, которые должны считаться самостоятельными «термостатическими индивидуумами» [4]).

числу таких ионов мы относим [5] ионы K^+ , Rb^+ , Cs^+ , Ag^+ , NO_3^- , $H_2PO_4^-$ и некоторые другие.

На рис. 2 построены кривые для $a = 2,8 \cdot 10^{-8} \text{ см}$ при 25° , вычисленные по формулам Гронвола, Ла Мера и Сэндвед (кривая 1) и на основе нашей теории, для двух вариантов теории поляризации воды — старой теории Дебая (кривая 2) и теории Онзагера (кривая 3). Там же нанесены опытные данные для водного раствора $AgNO_3$ при 25° — прямая 4, почти совпадающая с соответствующими прямыми для KNO_3 , $RbNO_3$ и $CsNO_3$.

Ни одна из теоретических кривых не совпадает с опытными данными, однако сдвиг кривой 3 по отношению к кривой 1, связанный с учетом диэлектрического насыщения воды вблизи

иона, направлен в надлежащую сторону. Можно полагать, что истинная кривая $\epsilon = f(E)$ лежит где-то посередине между кривыми 1 и 2 рис. 1. Если бы мы приняли основу расчетов такую кривую поляризации, то теоретическая и эксперимен-

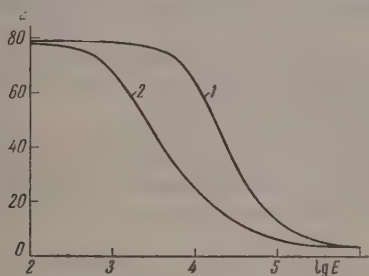


Рис. 1

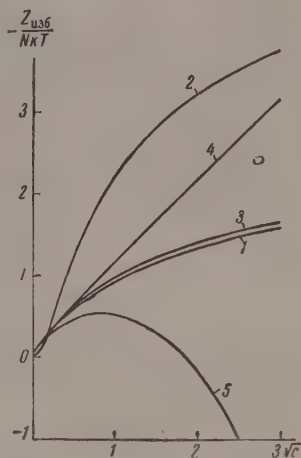


Рис. 2

Рис. 1. Зависимость диэлектрической постоянной воды от напряженности электрического поля для различных теорий поляризации: 1 — теория Онзагера-Оделева; 2 — старая теория Дебая

Рис. 2. Сопоставление теоретических и экспериментальной кривой $-Z_{изб}/NkT = f(Vc)$ для водного раствора $AgNO_3$ при 25° : 1 — по теории Дебая — Гюккеля; 2 — с учетом диэлектрического насыщения воды по формуле Дебая; 3 — то же по формуле Онзагера-Оделева; 4 — по опытным данным для $AgNO_3$; 5 — по опытным данным для $LiCl$

тальная кривые на рис. 2 могли бы совпасть. Это позволяет нам считать, что электростатическое взаимодействие между ионами и поляризация молекул воды являются основным фактором, определяющим, наряду с химической гидратацией, зависимость термодинамических свойств концентрированных растворов сильных электролитов от концентрации раствора.

Эффект химической гидратации, приводящей к уменьшению числа «свободных» молекул воды [5], выражается в том, что экспериментальная кривая для растворов таких солей, как, например, $LiCl$ (рис. 2, кривая 5), имеет загиб вниз, который не может иметь места на теоретической кривой ни при какой форме исходной кривой $\epsilon = f(E)$.

Так как ход теоретической кривой на рис. 2 существенно зависит от принятой в основу расчета функции $\epsilon = f(E)$, то следует считать неполноценными все те теории растворов, в которых используется постоянное макроскопическое значение ϵ и не учитывается ее уменьшение вблизи от иона. Неполноценными являются также и те теории, которые не принимают во внимание химическую гидратацию.

Необходимо создание, на базе модельных представлений о структуре раствора, такой физической теории концентрированных растворов силь-

ных электролитов, которая бы подтвердила теоретическую справедливость эмпирической формулы:

$$-\frac{Z_{\text{Физ}}}{NkT} = a + b\sqrt{C}, \quad (8)$$

и выявила бы теоретическую зависимость постоянных a и b от водных ионных радиусов и заряда ионов.

Выводы

1. Развита электростатическая теория растворов электролитов, учитывающая уменьшение диэлектрической постоянной растворителя в электрическом поле вблизи от иона и дана оценка реального значения такой поправки к теории Дебая—Гюккеля.

2. Показано, что теоретические кривые зависимости термодинамического потенциала раствора от концентрации, выведенные на основе электростатических теорий растворов, можно сопоставлять с опытными данными для водных растворов лишь таких электролитов (например KNO_3 , AgNO_3 и др.), ионы которых не образуют жидких гидратов определенного стехиометрического состава.

3. Построены и сопоставлены теоретические и экспериментальная кривые зависимости «избыточного» термодинамического потенциала водных растворов AgNO_3 при 25° от концентрации раствора.

4. Установлено, что для тех электролитов, ионы которых не образуют жидких гидратов, электростатическое взаимодействие между ионами и поляризация молекул воды являются основным фактором, определяющим зависимость термодинамических свойств концентрированных растворов от концентрации.

5. Найдено, что ход теоретической кривой очень существенно зависит от принятой в основу расчета функциональной зависимости $\epsilon = f(E)$ для уменьшения диэлектрической постоянной воды в сильном электрическом поле. Кривая, построенная по экспериментальным данным, проходит где-то посередине между кривыми, отвечающими теории поляризации Онзагера и старой теории Дебая.

6. При построении общей теории концентрированных водных растворов сильных электролитов обязательно необходимо учитывать как поляризацию молекул воды вблизи от иона, так и химическую гидратацию ионов. Теории растворов, игнорирующие оба эти фактора или один из них, являются неполноценными.

ЛИТЕРАТУРА

1. Р. Фаулер, Э. Гуггенгейм, Статистическая термодинамика, ИИЛ, М., 1949, стр. 403.
2. Г. И. Микულიн, Укр. хим. ж., **21**, 435, 1955; **22**, 295, 1956; Труды Н.-и. ин-та основн. химии, **12**, 5, 1959.
3. В. И. Оделевский, Докл. АН СССР, **69**, 349, 1949.
4. И. Д. Ван-дер-Ваальс, Ф. Констант, Курс термостатики, ч. 1, Общая термостатика, ОНТИ, М., 1936, стр. 294.
5. Г. И. Микულიн, Укр. хим. ж., **20**, 602, 1954.

THE EFFECT OF DIELECTRIC SATURATION OF THE SOLVENT IN THE ELECTROSTATIC THEORY OF SOLUTIONS

G. I. Mikulin (Khar'kov)

Summary

An electrostatic theory of electrolytic solutions has been developed, accounting for the decrease in value of the dielectric constant of the solvent in an electrical field in the vicinity of an ion and the true significance of the correction in the Debye-Hückel theory has been evaluated. The theoretical curves depicting the thermodynamical potential as

function of the concentration, derived on the basis of electrostatic theories of solutions, have been shown to be comparable with experimental data only for solutions of such electrolytes (e. g. KNO_3 , AgNO_3 , etc.) the ions of which form liquid hydrates of given stoichiometric composition.

The theoretical and experimental curves expressing the dependence of the «excess» thermodynamic potential of aqueous AgNO_3 at 25° upon the solution concentrations have been plotted and compared.

It has been found that for electrolytes of which the ions do not form liquid hydrates the electrostatic interaction between ions and the polarization of water molecules are the chief factors determining the relation between the thermodynamic properties of concentrated solutions upon the concentration.

The shape of the theoretical curve has been found to depend to a considerable extent upon the function $\epsilon=f(E)$ for the decrease in the dielectric constant of water in a strong electrical field, taken as the basis of the computation. The curve plotted from the experimental data passes somewhere within the curves corresponding to Onzager's theory of polarization and the old theory of Debye.

In constructing a general theory for concentrated aqueous solutions of strong electrolytes it is necessary to take into account both polarization of water molecules near the ions, as well as chemical hydration of the ions. Theories of solutions ignoring both one of these factors are inadequate.

ТЕРМОДИНАМИЧЕСКАЯ ИНТЕРПРЕТАЦИЯ ГИДРАТНОЙ ТЕОРИИ РАСТВОРОВ ЭЛЕКТРОЛИТОВ

Г. И. Микулин

Одной из основных задач теории концентрированных растворов сильных электролитов является вывод формулы для термодинамического потенциала раствора в зависимости от концентрации электролитов. Решая эту проблему, мы исходим из представлений Д. И. Менделеева [1] о растворах, как о «жидких непрочных химических соединениях в состоянии диссоциации».

Термодинамический потенциал концентрированного раствора сильного электролита может быть выражен формулой только такого вида

$$Z = \Phi_0 + RT \ln \Phi_1 + \Phi_2, \quad (1)$$

состоящей из трех независимых слагаемых.

Аддитивный член Φ_0 складывается из термодинамических потенциалов воды и ионов электролита в условиях бесконечно разбавленного раствора.

Логарифмический член, содержащий функции Φ_1 , связан с изменением энтропии при смешении различных частиц, образующих раствор, при диссоциации или ассоциации этих частиц и при образовании в растворе новых видов частиц — определенных химических соединений, и проявляется в характерной форме закона действующих масс.

Для любого раствора, как идеального, так и неидеального, функции Φ_1 , как известно, имеет вид:

$$\Phi_1 = \frac{N_1^{N_1} N_2^{N_2} N_3^{N_3} \dots N_s^{N_s}}{(N_1 + N_2 + N_3 + \dots + N_s)^{(N_1 + N_2 + N_3 + \dots + N_s)}}, \quad (2)$$

где $N_1, N_2, N_3, \dots, N_s$ — концентрации различных компонентов, так называемых «термостатических индивидуумов» ([2], стр. 294), входящих в состав раствора.

Мы полагаем, что в растворах электролитов образуются жидкие гидраты ионов различного стехиометрического состава, способные к диссоциации и характеризующиеся целым гидратным числом и константой нестойкости. Тогда к числу «термостатических индивидуумов» должны быть отнесены «свободные» молекулы воды, недиссоциированные молекулы электролита, негидратированные (в смысле образования химического соединения с водой) ионы и гидратированные ионы различного состава.

Физическое взаимодействие частиц раствора, не вызывающее образования каких-либо новых «термостатических индивидуумов», помимо ионов электролита и молекул воды, не влияет на Φ_1 , в то время как образование жидких гидратов ионов определенного стехиометрического состава вызывает существенное изменение вида и численного значения этой функции.

Если в простейшем случае при растворении 1—1-валентного электролита MR , один из ионов (например, M) образует жидкий гидрат $M \cdot nH_2O$ а другой ион (R) химически не гидратируется, то «термостатическими индивидуумами» являются «свободные» молекулы воды, негидратирован-

ые ионы R и гидратированные ионы $M \cdot nH_2O$. При этом в формуле (2) следует положить

$$N_1 = N_0 - nN; \quad N_2 = N; \quad N_3 = N, \quad (3)$$

где N_0 и N — концентрации воды и электролита в растворе.

Если ион M гидратируется неполностью, то в формуле (2) будут фигурировать частицы четырех видов — «свободные» молекулы воды, негидратированные ионы R , гидратированные ионы $M \cdot nH_2O$ с концентрацией $N_{\text{гидр}}$ и негидратированные ионы M с концентрацией $N - N_{\text{гидр}}$. При этом

$$N_1 = N_0 - nN_{\text{гидр}}; \quad N_2 = N; \quad N_3 = N_{\text{гидр}}; \quad N_4 = N - N_{\text{гидр}}. \quad (4)$$

Концентрация $N_{\text{гидр}}$ не является произвольной, а определяется, исходя из условий (2), стр. 286) минимума термодинамического потенциала при заданных P , T , N_0 и N , выражающегося уравнением:

$$\left(\frac{\partial Z}{\partial N_{\text{гидр}}} \right)_{P, T, N_0, N} = 0, \quad (5)$$

откуда вытекает следующая формула закона действующих масс:

$$\frac{N - N_{\text{гидр}}}{N_{\text{гидр}}} \left(\frac{N_0 - nN_{\text{гидр}}}{N_0 - nN_{\text{гидр}} + 2N} \right)^n = K, \quad (6)$$

где K — константа равновесия реакции диссоциации жидкого гидрата



В более сложных случаях, когда оба иона способны образовывать одновременно несколько различных гидратов, формулы усложняются, вместо одного уравнения (6) появляются несколько аналогичных уравнений, каждое со своей константой равновесия.

Таким образом для правильного изображения функции Φ_1 необходимо такое представление о числе и составе различных жидких гидратов ионов, образующихся в растворе электролита.

Входящая в выражение (1) функция Φ_2 связана с природой и величиной сил физического взаимодействия между частицами раствора, в первую очередь электростатических сил взаимодействия ионов и поляризации молекул воды.

Уже давно эмпирически установлена приближенная линейная зависимость от \sqrt{C} парциальных и кажущихся молярного объема, теплоемкости, сжимаемости и расширяемости концентрированных водных растворов электролитов, которая соблюдается почти для всех сильных электролитов в очень широком диапазоне концентраций, вплоть до насыщенных растворов. Многие исследователи ошибочно связывают эту зависимость с аналогичной формулой, вытекающей из теории Дебая—Гюккеля, для очень разбавленных растворов и рассматривают ее как курьезный пример слишком хорошей применимости этой теории. В действительности обе эти зависимости ничего общего между собой, кроме внешней формы, не имеют.

Все молярные свойства растворенного электролита выражаются через частные производные различных порядков от Z по P , T и N . Из чисто математических соображений вытекает, что линейная зависимость молярных свойств от \sqrt{C} может иметь место только в том случае, если функция Φ_2 для концентрированных водных растворов сильных электролитов имеет вид

$$\Phi_2 = -NRT(a + b\sqrt{C}), \quad (8)$$

где a и b — константы, зависящие от водных ионных радиусов и заряда ионов, а также от температуры и давления.

Так как функция Φ_1 почти не зависит от температуры и давления, то при последовательном дифференцировании Z по P и T логарифмический член исчезает; молярные объем, теплоемкость и т. д. оказываются не связанными с явлением химической гидратации и находятся поэтому (в первом приближении) в линейной зависимости от \sqrt{C} .

Основываясь на формулах (1), (2) и (8), можно путем обработки экспериментальных данных о термодинамических свойствах концентрированных растворов электролитов рассчитать гидратные числа и константы a , b и K для различных ионов. Как показали наши расчеты, некоторые

ионы, как, например, K^+ , Rb^+ , Cs^+ , Ag^+ , NO_3^- , $H_2PO_4^-$, не образуют жидких гидратов, как химических соединений.

Формулу (1) легко обобщить на смешанные растворы, причем для подсчетов можно использовать константы n , K , a и b , найденные для индивидуальных растворов. Такая проверка теории [3] дает отличные результаты. На рисунке изображены сплошными линиями кривые совместной растворимости двух солей с общим ионом в системе K^+ , $Na^+ \parallel Cl^-, NO_3^- + H_2O$ при 25° , вычисленные на базе нашей теории, по опытным данным о коэффициентах активности водных растворов каждой из этих солей в отдельности. Пунктирные кривые и кружки изображают экспериментальные данные. Несмотря на то, что в основу расчета кривых было положено простейшее предположение о том, что все ионы каждого вида образуют гидраты лишь одного определенного состава и что для этого гидрата $K=0$, мы видим на рисунке хорошее количественное совпадение расчетных и опытных кривых.

Кривые растворимости в системе K^+ , $Na^+ \parallel Cl^-, NO_3^- + H_2O$ при 25° . Концентрации выражены в г-молях соли на 1000 г воды

Более углубленное исследование показывает, что такие одновалентные ионы, как Na^+ , Li^+ , H_3O^+ , Cl^- , Br^- , I^- и др., образуют жидкие гидраты с четырьмя молекулами воды, которые частично диссоциируют по уравнению (7), причем константа K имеет численное значение порядка 0,1—0,2. Кажущееся гидратное число этих ионов в бесконечно разбавленном растворе составит, исходя из уравнения (6):

$$n_{\text{каж}} = \frac{n}{1+K} = \frac{4}{1+0,15} \sim 3,5, \quad (9)$$

что довольно хорошо сходится со значениями гидратных чисел, вытекающими из современных представлений [4] о структуре водных растворов электролитов.

Для объяснения особенностей в последовательности кривых, изображающих коэффициенты активности водных растворов едких щелочей приходится допустить, что ионы OH^- способны замещать одну или несколько молекул воды, входящих в гидратную оболочку катиона.

Хотя наше исследование еще не закончено, но уже полученные результаты свидетельствуют о том, что сочетание метода термодинамических функций с гидратной теорией растворов Д. И. Менделеева оказывается весьма плодотворным как в теоретическом, так и в практическом отношении.

Выводы

1. Предложена формула для термодинамического потенциала концентрированного раствора сильного электролита

$$Z = \Phi_0 + RT \ln \Phi_1 + \Phi_2,$$

которой член Φ_0 характеризует свойства растворителя и ионов электролита в бесконечно-разбавленном растворе, функция Φ_1 связана с изменением энтропии при смешении различных частиц, образующих раствор, при диссоциации или ассоциации этих частиц и при образовании в растворе новых видов частиц — определенных химических соединений, слагаемое Φ_2 определяется природой и величиной сил физического взаимодействия между частицами раствора.

2. Исходя из представления о том, что в растворах электролитов разуты жидкие гидраты ионов различного стехиометрического состава, способные к диссоциации, выведен вид функции Φ_1 в тех или иных случаях и даны уравнения закона действующих масс, позволяющие рассчитывать константы нестойкости жидких гидратов.

3. Путем анализа и обобщения опытных данных о термодинамических свойствах концентрированных водных растворов электролитов показано, что для таких растворов функция Φ_2 находится в линейной зависимости от \sqrt{C} и имеет вид $\Phi_2 = -NRT(a + b\sqrt{C})$.

4. С помощью выведенных формул подсчитаны значения гидратных сел, констант нестойкости жидких гидратов и констант a и b для которых электролитов при 25°. Показано, что некоторые ионы, как, например, K^+ , Rb^+ , Cs^+ , Ag^+ , NO_3^- , $H_2PO_4^-$, не образуют жидких гидратов определенных химических соединений, а также ионы как H_3O^+ , Na^+ , Cl^- , Br^- , I^- образуют жидкие гидраты с четырьмя молекулами воды, стично (на 10—20%) диссоциированные.

5. Для проверки предложенных формул они обобщены на смешанные створы и с их помощью вычислены кривые совместной растворности в воде двух солей с общим ионом по опытным данным о эффициентах активности водных растворов каждой из этих солей отдельности. Для многих соляных пар получается хорошее количественное совпадение расчетных и опытных кривых диаграмм тройной стемы.

ЛИТЕРАТУРА

- Д. И. Менделеев, Растворы, ОНТИ, М.—Л., 1937.
И. Д. Ван-дер-Ваальс, Ф. Констамм, Курс термостатики, ч. I, Общая термостатика, ОНТИ, М., 1936.
Г. И. Микulin, Укр. хим. ж., 20, 602, 1954.
О. Я. Самойлов, Структура водных растворов электролитов и гидратация ионов, Изд-во АН СССР, М., 1957.

THERMODYNAMIC INTERPRETATION OF THE HYDRATE THEORY OF ELECTROLYTE SOLUTIONS

G. I. Mikulin

Summary

A formula has been presented for the thermodynamic potential of a concentrated solution of a strong electrolyte

$$Z = \Phi_0 + RT \ln \Phi_1 + \Phi_2$$

which the term Φ_0 characterizes the property of the solvent and of the ions of the electrolyte in an infinitely dilute solution, the function Φ_1 is connected with change in entropy on shift of the various particles forming the solution, on dissociation or association—

of the particles, and on formation of new types of particles — definite chemical compounds — and the term φ_1 is determined by the nature and magnitude of the forces of interaction between the solution particles.

Based on the conception that in electrolytic solutions liquid ion hydrates of differing stoichiometric composition are formed, capable of dissociation, the function φ_1 for given cases has been derived and equations for the law of mass action have been presented permitting calculation of the instability constants of the hydrates.

By analysis and generalization of experimental data concerning the properties of concentrated aqueous solutions of electrolytes it has been shown that for such solutions the function φ_1 depends linearly upon \sqrt{c} and has the form $\Phi_1 = -NRT \ln \pm b \sqrt{c}$.

With the aid of the formulas derived the instability constants of the liquid hydrate and the constants a and b of a number of electrolytes at 25°C have been calculated. It has been shown that a number of ions, for instance, K^+ , Rb^+ , Cs^+ , Ag^+ , NO_3^- , $H_2PO_4^-$ do not form liquid hydrates in the form of definite chemical compounds and that such ions as H_3O^+ , Na^+ , Li^+ , Cl^- , Br^- , I^- form liquid hydrates with four molecules of water partially by 10—20% dissociated.

In order to check the formulas suggested they have been extended to mixed solution and with their aid the curves have been plotted for the joint aqueous solubility of two salts with a common ion from the activity coefficients of each of the salts separately. For many pairs of salts good quantitative agreement is obtained between the calculated and experimental curves for the ternary system diagram.

ИССЛЕДОВАНИЕ ТЕРМОДИНАМИЧЕСКИХ СВОЙСТВ ЖИДКИХ МЕТАЛЛИЧЕСКИХ РАСТВОРОВ КАЛИЯ С ТАЛЛИЕМ, СВИНЦОМ И ВИСМУТОМ

М. Ф. Лантратов и А. Ф. Алабышев

Исследование термодинамических свойств жидких металлических растворов является важным звеном в развитии общей теории растворов. Особое значение в связи с этим представляют системы, характеризующиеся сильным взаимодействием компонентов раствора. К таким системам относятся сплавы, содержащие щелочные металлы, в частности, калий.

Исследование сплавов щелочных металлов, особенно содержащих натрий и калий, представляет большой практический интерес в связи с разработкой нового метода получения этих металлов путем электрохимического выделения их на жидком свинцовом катоде с последующей вакуумной дистилляцией сплава.

В настоящей работе были исследованы термодинамические свойства жидких сплавов калия с таллием, свинцом и висмутом.

При исследовании был использован метод э. д. с.

Термодинамические свойства вычислялись из значений э. д. с. концентрационных цепей:

калий | электролит с ионами калия | сплав калия.

Для каждой системы вычислялись парциальные величины обоих компонентов соответствующие интегральные значения. За стандартное состояние принималось состояние чистого компонента. При вычислении парциальных величин калия были использованы общеизвестные термодинамические соотношения.

Термодинамические данные для второго компонента раствора получались путем графического интегрирования по уравнению Гиббса—Дюгема:

$$\lg \gamma_K = - \int_0^{N_K} \frac{N_K}{N_2} d \lg \gamma_K, \text{ где } \gamma_K = \frac{a_K}{N_K}.$$

Интегральные значения рассчитывались, исходя из уравнения:

$$\Delta G = (1 - N_K) \int_0^{N_K} \frac{\Delta \bar{G}_{K'}}{(1 - N_K')^2} dN_{K'},$$

где $\Delta \bar{G}_{K'}$ — любая парциальная термодинамическая функция состояния.

В качестве электролита использовалось стекло, содержащее K_2O .

Впервые стекло в качестве твердого электролита применил Хауффе [1] при исследовании активности натрия в сплавах натрия — калием и натрия — ртуть. Далее Кубашевский и Хуглер [2], исследуя систему золото — серебро, применили в качестве растворителя ионов серебра твердое стекло. В дальнейшем Вьерк [3] использовала стекло, содержащее окись таллия, при исследовании свойств сплавов таллия с висмутом и оловом. Хауффе и Вьерк [4] успешно применили стекло как электролит при исследовании сплавов натрия со свинцом, оловом и таллием и сплавов калия с ртутью. Иаконец, А. Ф. Алабышев и А. Г. Морачевский использовали стекло для исследования термодинамических свойств ряда двойных и тройных сплавов натрия [5—7] и сплавов калия с ртутью и свинцом [8].

Конструкция ячейки и методика достаточно подробно описаны в работах Хауффе [1] и А. Ф. Алабышева и А. Г. Морачевского [7]. Наша ячейка показана на рис. 1. В качестве защитной атмосферы был применен чистый аргон.

Система калий — таллий. Э. д. с. цепей: калий | стекло сплав калия с таллием линейно зависит от температуры в интервале 475—525° С. Исследованием охвачена область концентраций от атомной доли калия $N_K = 1,0$ до $N_K = 0,05$. Всего исследованы сплавы 30 составов.

На рис. 2 представлены изотермы активности и коэффициента активности калия и таллия при 525° С.

Активность калия (кривая 1) сложно зависит от состава. Для растворов с $N_K > 0,75$ наблюдаются положительные отклонения от закона Рауля, а для сплавов, содержащих калия менее $N_K = 0,75$, — большие отрицательные отклонения. Соответственно сложный ход имеют и изотермы коэффициента активности калия (кривая 2). Для сплавов с $N_K > 0,75$ коэффициент активности больше единицы, а для сплавов, бедных калием, он значительно меньше единицы. С другой стороны, изотерма активности таллия (кривая 3) расположена полностью ниже прямой идеального поведения. Соответственно располагается и изотерма коэффициента активности таллия (кривая 4). С повышением температуры отклонения уменьшаются.

На рис. 3 приведены кривые интегральных молярных свободной энергии (ΔF), избыточной свободной энергии (ΔF^*), избыточной энтропии смешения (ΔS^*) и теплоты смешения (ΔH).

Интегральные кривые имеют четкий экстремум при атомной доле калия 0,4. Максимальные значения равны: $\Delta H = -3560$ кал, $\Delta F = -2680$ кал, $\Delta F^* = -1510$ кал и $\Delta S^* = -2,44$ кал град⁻¹. Образование сплавов калий — таллий сопровождается выделением значительного количества тепла. Следует отметить, что в выражении $\Delta H = \Delta F + T\Delta S$ энтропийный член $T\Delta S$ значительно меньше ΔF .

Из рис. 3 также видно, что величины теплот смешения для всех составов больше соответствующих значений избыточной свободной энергии. В силу этого растворы калий — таллий не могут быть отнесены к числу так называемых «регулярных» растворов, для которых парциальная молярная теплота смешения $\Delta \bar{H}_K$ приравнивается к избыточной свободной энергии $\Delta \bar{F}_K^*$.

На рис. 4 представлены кривые парциальных и интегральных значений молярной энтропии смешения. Парциальная энтропия смешения $\Delta \bar{S}_K$ (кривая 1) резко уменьшается, начиная с областей составов с $N_K = 0,67$ и меньше, т. е. с области составов, отвечающих образованию в системе соединения K_2Tl . Соответственно изменяется и парциальная избыточная энтропия смешения $\Delta \bar{S}_K^*$ (кривая 2).

Из рис. 4 особенно наглядно видно, что $\Delta \bar{S}_K$ не может быть приравнена идеальному значению $\Delta \bar{S}_{ид}$ (кривая 3). Это подтверждает вывод о том, что растворы К — Тl не подчиняются правилам регулярных растворов.

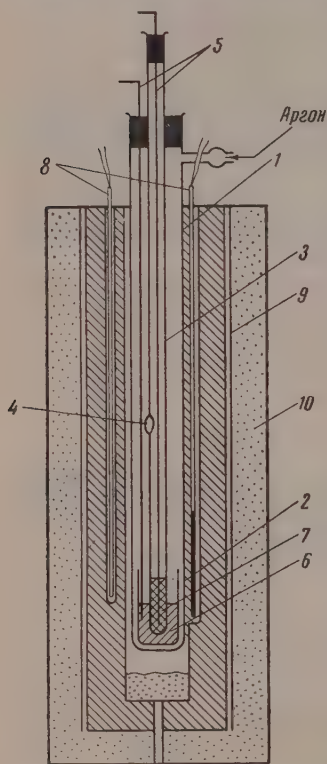


Рис. 1. Измерительная ячейка: 1 — широкая пробирка; 2 — короткая пробирка; 3 — узкая пробирка с отверстием; 4, 5 — токоотводы; 6 — калий; 7 — сплав калия; 8 — термопары; 9 — алюминиевый блок и 10 — электроцепь

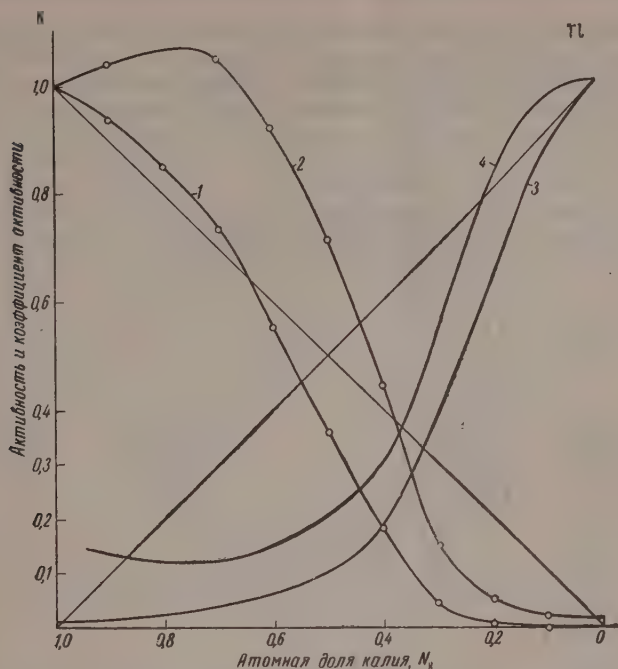


Рис. 2. Активность и коэффициент активности при 525°С. Активность: 1 — калия; 3 — таллия; коэффициент активности: 2 — калия, 4 — таллия

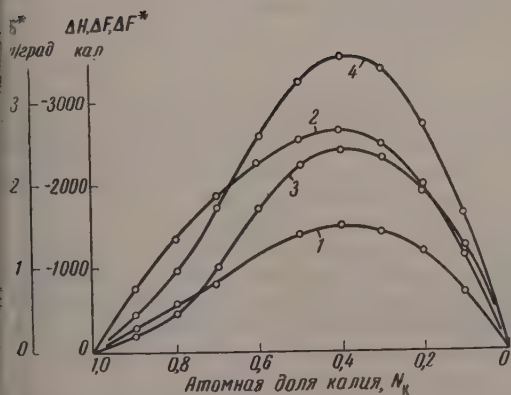


Рис. 3

ис. 3. Интегральные величины при 525°С] в системе К — Тl: 1 — ΔF^* ; 2 — ΔF ; 3 — ΔS^* ; 4 — ΔH

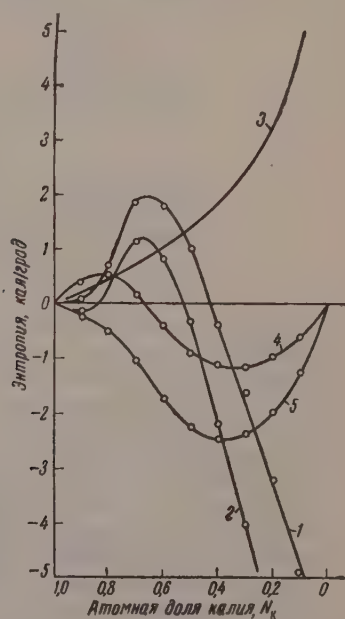


Рис. 4

ис. 4. Энтропия смешения в системе К — Тl: 1 — парциальная калия; 2 — парциальная избыточная калия; 3 — идеальная; 4 — интегральная и 5 — интегральная избыточная

В заключение необходимо отметить, что поведение растворов К—Тl может быть объяснено существованием в жидком сплаве структурных групп металлических соединений. Допущение существования такой упорядоченности подтверждается, например, рентгенографическими исследованиями структуры жидких металлических растворов [9—11].

Система калий — свинец. Исследование сплавов К—Рb было выполнено А. Ф. Алабышевым и А. Г. Морачевским [8] при 575°C . Так как система представляет большой практический интерес, то нами она была изучена в более широком интервале температур (от 525 до 600°C) и концентраций (от $N_K = 1.0$ до $N_K = 0.05$).

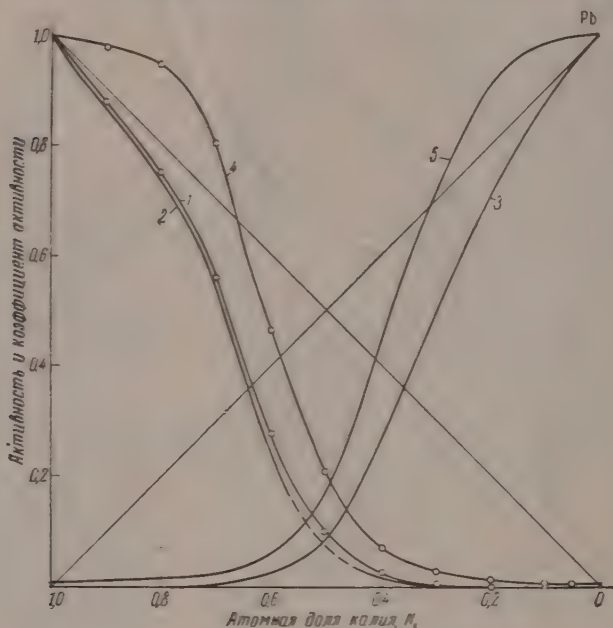


Рис. 5. Активность и коэффициент активности при 600 и 550°C в системе К—Рb: Активность: калия при 1— 600°C , 2— 550°C ; 3—свинца при 600°C ; коэффициент активности при 600°C : 4 — калия, 5 — свинца

Э. д. с. пепей: калий | стекло | сплав калия со свинцом линейно изменяется с температурой для всех исследованных составов сплавов.

На рис. 5 приведены изотермы активности компонентов при 550 и 600°C . Изотермы активности как калия, так и свинца полностью лежат в области отрицательных отклонений. Соответственно располагаются изотермы коэффициентов активности (кривые 5 и 6).

Следует отметить, что, вопреки имеющимся в литературе сведениям [12], в системе не обнаружено расслоение в жидком состоянии. Это подтверждается исследованиями кривой ликвидуса, выполненными за последнее время Д. Н. Шойхетом, А. Г. Морачевским и А. Ф. Алабышевым. Они показано, что в системе наиболее прочным соединением является соединение К Рb с температурой конгруэнтного плавления 570°C .

На рис. 6 приведены интегральные значения ΔH , ΔF , ΔF° и ΔS° . Кривые имеют четкий экстремум в области $N_K = 0.5$. Это показывает, что характер отклонений в системе определяется соединением К Рb.

Максимальные значения равны: $\Delta H = -4890$ кал, $\Delta F = -4090$ кал, $\Delta F^{\circ} = -2890$ кал и $\Delta S^{\circ} = -2,4$ кал·град $^{-1}$. Отметим также, что соот-

вствующие максимальные значения в системе К—Рб больше, чем в системе К—Тl.

Система калий—висмут. Принятая нами методика не позволяет проводить измерения при температурах выше 600° С. Поэтому

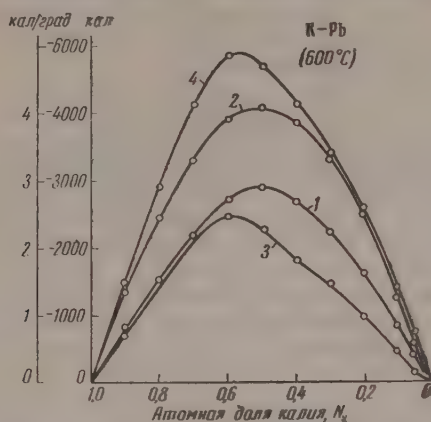


Рис. 6. Интегральные величины при 600° С в системе К—Рб: 1 — ΔF^* ; 2 — ΔF ; 3 — ΔS^* ; 4 — ΔH

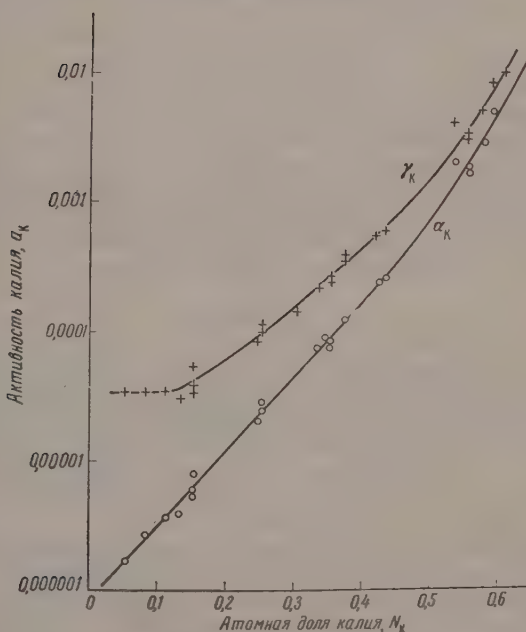


Рис. 7. Активность и коэффициент активности калия при 575° С: 1 — активность; 2 — коэффициент активности

система К—Вl изучена нами подробно только в богатой висмутом области составов (575° С).

Из терм активности калия показывает чрезвычайно сильные отклонения от идеального поведения (рис. 7). Так, при $N_K = 0,5$ и меньше

активность в 1000 — 100 000 раз меньше соответствующих атомных долей.

Образование сплавов сопровождается выделением большого количества тепла. Кривые интегральных величин ΔH , ΔF , ΔF° и ΔS° имеют очень резкий экстремум при $N_K = 0.7 - 0.8$. Максимальные значения: $\Delta H^\circ = -13\,000$ кал, $\Delta F^\circ = -7000$ кал и $\Delta S^\circ = -6,2$ кал град⁻¹.

Такое поведение сплавов K—Bi связано с существованием в системах исключительно прочного соединения K_3Bi .

Выводы

Методом э. д. с. исследованы термодинамические свойства двойных жидких сплавов калия с таллием, свинцом и висмутом.

Для всех систем установлены значительные отрицательные отклонения от закона Рауля, что объясняется существованием в жидких сплавах структурных металлических соединений калия с таллием, свинцом и висмутом. Значительные отрицательные отклонения избыточной энтропии смешения связаны с частично полным характером связей в соединениях.

ЛИТЕРАТУРА

1. K. Hauffe, Z. Elektrochem., **46**, 348, 1940.
2. O. Kubaschewski, O. Hugler, Z. Elektrochem., **52**, 170, 1948.
3. A. L. Vierk, Z. Elektrochem., **54**, 436, 1950.
4. K. Hauffe, A. L. Vierk, Z. Elektrochem., **53**, 151, 1949; **54**, 383, 1950.
5. А. Г. Морачевский, Научно-техн. информ. бюл. №3, Металлургия, ЛПИ, 1957.
6. А. Ф. Алабышев, А. Г. Морачевский, Докл. АН СССР, **111**, 369, 1956.
7. А. Ф. Алабышев, А. Г. Морачевский, Ж. неорган. химии, **2**, 669, 1957.
8. А. Г. Морачевский, Ж. прикл. химии, **30**, 1239, 1957.
9. В. И. Данилов, Рассеяние рентгеновых лучей в жидкостях, ОНТИ, Л.-М., 1935.
10. В. И. Данилов, В кн. Строение и физические свойства вещества в жидком состоянии, Материалы Совещания, Киев. Изд-во КГУ. 1954: Проблемы металлургии и физики металлов, Металлургиздат, М., № 4, 1955.
11. N. S. Gingrich, Rev. Mod. Phys., **15**, 90, 1943; Успехи химии, **14**, 297, 1946.
12. D. P. Smith, Z. anorgan. Chem., **56**, 133, 1907.

INVESTIGATION INTO THE THERMODYNAMIC PROPERTIES OF LIQUID METAL SOLUTIONS OF POTASSIUM WITH THALLIUM, LEAD AND BISMUTH

M. F. Lantrotov and A. F. Alabysher (Leningrad)

Summary

The thermodynamic properties of the binary liquid potassium alloys with thallium, lead and bismuth have been studied with the aid of the emf method.

For all systems considerable deviations from the Raoult Law have been established, which is explained by assuming the existence in the liquid alloys of structural groups of metallic compounds between potassium and thallium, and lead and bismuth. Large negative deviations in the excess entropy of mixing are connected with the ionic character of the bonds in the compounds.

Электротехнический
институт им. В. И. Ульянова (Ленина)
Ленинград

РАВНОВЕСИЕ ЖИДКОСТЬ — ПАР

ПРЯМОЕ АЛГЕБРАИЧЕСКОЕ ВЫРАЖЕНИЕ РАВНОВЕСНОГО СОСТАВА ФАЗ
В МНОГОКОМПОНЕНТНЫХ СИСТЕМАХ*Эдуард Гала*

Большинство методов разделения, применяемых в химической технологии, основано на том, что в многокомпонентных системах фазы, обладающие различным составом, находятся в равновесии. Примерами таких систем являются дистилляция и ректификация, абсорбция газов, адсорбция из газообразной и жидкой фаз, экстракция и кристаллизация. Поэтому взаимозависимость равновесных составов фаз представляет практический интерес. Знание этой зависимости необходимо, например, для определения числа тарелок, необходимого для разделения смеси до требуемой степени чистоты. В литературе описано большое число методов, пригодных для расчета равновесного состава жидкой и газообразной фаз; можно в основном разделить на три группы.

Первая группа методов, наиболее хорошо разработанных, в значительной степени использует термодинамический путь, вводя, во-первых, понятия идеального раствора и поведения реальных систем, характеризуя термодинамическую функцию дополнительной свободной энтальпией, или коэффициентами активности; здесь внимание сосредоточивается главным образом на выражении зависимости этих функций от переменных состояния. Практически этим путем приходят к отношениям, выражающим коэффициенты активности как функцию состава жидкой фазы, температуры и давления. Константы соответствующих уравнений определяются из экспериментальных данных.

Методы второй группы стремятся полно охарактеризовать равновесие жидкость — пар в реальных системах при помощи косвенных данных, которые получить обычно бывает легче, чем прямые.

Методы третьей группы выражают взаимную зависимость равновесных составов фаз непосредственно при помощи алгебраических уравнений или введением вспомогательных функций таких, какими являются коэффициенты разделения, относительная летучесть и т. д.

Отношения всех трех групп должны отвечать ряду основных требований:

- они должны находиться в согласии с физико-химическими законами;
- должны точно определять поведение идеальных и реальных систем;
- должны отвечать требуемой практикой простоте и при этом наибольшей информации при наименьшем количестве опытных данных.

С практической точки зрения методы третьей группы имеют некоторые преимущества, давая возможность применять простое алгебраическое решение при технических расчетах.

В настоящей работе представлено развернутое уравнение, выражающее взаимную зависимость равновесных составов фаз в реальных системах при наличии любого количества составных частей.

Это уравнение имеет вид:

$$x_{i,j,\dots,w} = \frac{y_i}{x_i} \frac{x_j}{y_j} = \frac{1 + \sum_{r=1}^w a_{ir} x_r + \sum_{r=1}^w \sum_{s=1}^w a_{irs} x_r x_s + \sum_{r=1}^w \sum_{s=1}^w \sum_{t=1}^w a_{irst} x_r x_s x_t + \dots}{1 + \sum_{r=1}^w a_{jr} x_r + \sum_{r=1}^w \sum_{s=1}^w a_{jrs} x_r x_s + \sum_{r=1}^w \sum_{s=1}^w \sum_{t=1}^w a_{jrst} x_r x_s x_t + \dots} \quad (1)$$

где x_i , x_j и x_r обозначают молярные доли составных частей i , j и r жидкой фазе, y_i и y_j — молярные доли составных частей i и j в газовой фазе, a_i — константу, характерную для данной системы; суммирующие символы дают сумму всех членов данного типа за исключением члена, обозначенного нижним индексом; например, для системы из четырех компонентов имеем:

$$\sum_{r=1}^w a_{ir} x_r = a_{i1} x_1 + a_{i2} x_2 + a_{i3} x_3. \quad (2)$$

Если известны относительные летучести составных частей как функции состава одной из фаз, можно легко вычислить состав другой фазы из уравнения

$$y_i = \frac{x_i}{\sum_{j=1}^w \frac{a_{ij} x_j}{x_j}} \quad (3)$$

где индексы i, j, \dots, w обозначают компоненты системы, состоящей из w составных частей.

Рассмотрение основного уравнения (1)

Из уравнения (1) видно, что его правая сторона является отношением двух функций с $(w-1)$ переменными (где w обозначает число компонентов системы), которые разложены в ряд.

На основании фазового закона система, состоящая из двух фаз, имеет число степеней свободы $(w-1)$ также же, как и число компонентов (w) . Из них $(w-1)$ служит для выражения состава одной из фаз: здесь остается одна степень свободы, что говорит о том, что можно иметь в виду или систему при постоянной температуре или систему при постоянном давлении.

В первом случае константы a являются функциями только температуры; во втором случае — функциями только давления.

Следует обратить внимание на то, что обе эти зависимости практически проявляются очень незначительно. Поэтому можно для не очень больших интервалов температур и давления принимать константу a не зависящую от температуры и особенно от давления.

Возвратимся снова к основному уравнению (1). Рассмотрим, можно ли из него определить поведение системы из двух фаз при наличии любого числа компонентов. Разберем сначала систему из двух компонентов.

Система из двух компонентов — двухиндексное уравнение.

Для системы из двух компонентов уравнение в простейшем случае имеет вид:

$$x_{1,2} = \frac{y_1}{x_1} \frac{x_2}{y_2} = \frac{1 + a_{11} x_1}{1 + a_{22} x_2}. \quad (4)$$

можно просто показать, что константы a_{ij} и a_{ji} находятся в очень простом соотношении с предельными величинами относительных летучестей:

$$1 + a_{ij} = \lim_{x_j \rightarrow 0} \alpha_{ij}, \quad (5a)$$

$$1 + a_{ji} = \lim_{x_j \rightarrow 0} \alpha_{ji}. \quad (56)$$

Идеальная система с двумя компонентами

Если иметь в виду идеальную систему, ее относительная летучесть является постоянной, не зависящей от состава, и поэтому должна соответствовать:

$$1 + a_{ij} = \frac{1}{1 + a_{ji}}, \quad [*] \quad (6)$$

где [*] обозначает идеальное поведение.

Мы измеряли при помощи расходомера равновесие жидкость — пар в системе из двух составных частей: стирол (1) — этилбензол (2) при давлении 50 мм рт. ст. [1]

Таблица 1

Этилбензол (1) — стирол (2)
 $p = 50,0$ мм рт. ст.

x_1	y_1 эксп.	y_1 выч.	Δy_1
0,105	0,145	0,144	—0,001
0,313	0,405	0,394	—0,011
0,450	0,538	0,539	+0,001
0,505	0,600	0,593	—0,007
0,610	0,680	0,691	+0,011
0,835	0,880	0,879	—0,001
0,912	0,932	0,937	+0,005
0,965	0,970	0,978	+0,008

Таблица 2

Бензол (1) — циклогексан (2)
 $t = 39,99^\circ \text{C}$

x_1	y_1 эксп.	y_1 выч.	Δy_1
0,1282	0,1657	0,1672	+0,0015
0,2354	0,2766	0,2766	$\pm 0,0000$
0,3685	0,3912	0,3922	+0,0010
0,4932	0,4950	0,4913	—0,0037
0,6143	0,5905	0,5874	—0,0031
0,7428	0,6979	0,6979	$\pm 0,0000$
0,8656	0,8205	0,8223	+0,0018

В табл. 1 приведены экспериментально установленные величины равновесных переменных.

Подставляя эти данные в уравнение (4), получим

$$\alpha_{12} = \frac{1 + 0,430x_2}{1 - 0,301x_1}. \quad (7)$$

Константы уравнения отвечают условию (6). Отсюда видно, что система стирол (1) — этилбензол (2) ведет себя как идеальная система.

Реальная система с двумя компонентами

Из простого двухиндексного уравнения (4) можно установить и поведение ряда реальных систем.

В качестве примера в табл. 2 приведены данные равновесия жидкость — пар в системе бензол (1) — циклогексан (2) при температуре $39,99^\circ \text{C}$, полученные с сотрудниками [2]; эти данные сравниваются с величинами Скоттгарда, полученными при помощи уравнения

$$\alpha_{12} = \frac{1 + 0,5336 x_2}{1 - 0,5676 x_1}. \quad (8)$$

Из таблицы видно, что схождение измеренных и рассчитанных величин является очень хорошим: в среднем расхождение равно $\pm 0,16$ мол. %.

Следующая система подобрана таким образом, чтобы обе фазы (жидкая и газообразная) были реальными. В табл. 3 приведены данные равновесия жидкость — пар в системе азот (1) — кислород (2) при высоких давлениях, полученные Додж [3]. Эти данные сравниваются со значениями полученными путем расчета из уравнения:

Таблица 3

$$\frac{N_2(1) - O_2(2)}{t = -153,0^\circ \text{C}}$$

x_1	y_1 эксп.	y_1 выч.	Δy_1
0,0500	0,0995	0,0981	-0,0014
0,1000	0,1850	0,1849	-0,0001
0,2000	0,3320	0,3320	+0,0000
0,3000	0,4520	0,4527	+0,0007
0,4000	0,5536	0,5548	+0,0012
0,5000	0,6422	0,6406	-0,0016
0,6000	0,7220	0,7212	+0,0008
0,7000	0,7936	0,7947	+0,0011
0,8000	0,8633	0,8633	+0,0000
0,9000	0,9321	0,9307	-0,0014

$$\alpha_{12} = \frac{1 + 1,093 x_2}{1 - 0,85 x_1} \quad (3)$$

Из сравнения видно, что сходство между рассчитанными и измеренными величинами очень хорошее ($\pm 0,08$ мол. %).

Теперь коснемся определения значений констант a_{ij} и a_{ji} из экспериментальных данных.

Уравнение (4) можно преобразовать к виду:

$$\frac{x_i}{x_j} - \alpha_{ji} = (1 + a_{ji}) \alpha_{ij} \frac{x_i}{x_j} - (1 + a_{ij}), \quad (10)$$

из которого ясно, что для характеристики системы будет достаточно двух констант.

Если точки лежат на прямой линии, двухиндексное уравнение (4) является пригодным, и константы определяются или из графика соответствующего масштаба, или одним из методов приближенного вычисления.

Если точки не лежат на прямой линии, для данной системы недостаточно двух констант и нужно применять трех- или четырехиндексное уравнение.

Система из двух компонентов — трехиндексное уравнение

Трехиндексное бинарное уравнение имеет вид:

$$\alpha_{ij} = \frac{1 + a_{ij}x_j + a_{ijj}x_j^2}{1 + a_{ji}x_i + a_{jii}x_i^2}; \quad (11)$$

понятно, что уравнение (11) является гораздо более удобным, чем уравнение (4), потому что имеет четыре константы.

Применение этого уравнения показано на системе уксусная кислота (1) — этилбензол (2). Данные, приведенные в табл. 4, были получены в нашей лаборатории [4] при помощи расходомера при температуре 60°C . Следует напомнить, что речь идет о системах, которые очень неудобно интерпретировать при помощи коэффициентов активности, так как уксусная кислота в парах находится в ассоциированном состоянии и для паровой фазы нельзя поэтому применить закон Дальтона.

Из табл. 4 видно, что сходство между непосредственно измеренными данными равновесного состава системы и рассчитанными при помощи

Таблица 4

Уксусная кислота (1) — этилбензол (2)
 $t = 50,0^\circ \text{C}$

x_1	y_1 эксп.	y_1 выч.	Δy_1
0,048	0,118	0,210	-0,092
0,123	0,385	0,373	+0,012
0,190	0,474	0,457	+0,017
0,351	0,578	0,578	+0,000
0,462	0,625	0,637	-0,012
0,548	0,661	0,678	-0,017
0,648	0,710	0,725	-0,015
0,780	0,792	0,792	+0,000
0,794	0,800	0,800	+0,000
0,888	0,860	0,864	-0,004

внения

$$\alpha_{12} = \frac{1 + 5,662 x_2 - 0,462 x_2^2}{1 + 2,860 x_1 - 1,907 x_1^2}, \quad (12)$$

яется достаточно хорошим (в среднем $\pm 0,85$ мол. %).

Как показывает опыт, для характеристики большей части реальных бинарных систем достаточно простого двухиндексного уравнения (4). В нахождении данных для некоторых неидеальных систем пришло трехиндексное уравнение (11). Системы, для определения которых необходимо применять четырехиндексное уравнение:

$$\alpha_{ij} = \frac{1 + a_{ij}x_j + a_{ijj}x_j^2 + a_{ijjj}x_j^3}{1 + a_{jii}x_i + a_{jiii}x_i^2 + a_{jiiiii}x_i^3}, \quad (13)$$

встречаются очень редко.

Системы с тремя и большим числом компонентов

В системах, состоящих из трех и более компонентов, должны выполняться условия, которые вытекают из определения относительной летучести и которые можно писать в виде:

$$\alpha_{ij...w} = \frac{y_i}{x_i} \frac{x_j}{y_j} = \frac{\alpha_{ik...w}}{\alpha_{jk...w}}, \quad (14)$$

где $\alpha_{ij...w}$ и $\alpha_{ik...w}$ обозначают относительные летучести компонентов i и k в системе из w компонентов.

В бинарной системе условие (14) не выполняется, но оно выполняется для основного уравнения (1).

Система из трех компонентов — двухиндексное уравнение

В системе из трех компонентов основное уравнение (1) в простейшем случае имеет вид:

$$\alpha_{ikj} = \frac{1 + a_{ik}x_k + a_{ij}x_j}{1 + a_{ki}x_i + a_{kj}x_j}, \quad (15a)$$

$$\alpha_{jki} = \frac{1 + a_{jk}x_k + a_{ji}x_i}{1 + a_{kj}x_j + a_{ki}x_i}. \quad (15б)$$

Все константы, которые имеются в двухиндексных уравнениях (15 а), б), можно определить из бинарных данных, что с практической точки

Таблица 5

n-Гептан (1) — метилциклогексан (2)
P = 760 мм Hg

x_1	y_1 эксп.	y_1 выч.	Δy_1	x_1	y_1 эксп.	y_1 выч.	Δy_1
0,0310	0,0350	0,0335	-0,0015	0,5990	0,6180	0,6179	-0,0001
0,0580	0,0620	0,0625	+0,0005	0,6470	0,6660	0,6650	-0,0010
0,0950	0,1030	0,1020	-0,0010				
0,1330	0,1430	0,1424	-0,0006	0,7090	0,7280	0,7251	-0,0029
0,1800	0,1920	0,1920	$\pm 0,0000$	0,7560	0,7710	0,7704	-0,0006
				0,7960	0,8100	0,8086	-0,0014
0,2160	0,2290	0,2297	+0,0007	0,8430	0,8535	0,8533	-0,0002
0,2715	0,2890	0,2874	-0,0016	0,8790	0,8900	0,8872	-0,0028
0,3170	0,3330	0,3344	+0,0014				
0,3630	0,3810	0,3815	+0,0005	0,9060	0,9130	0,9126	-0,0004
0,4010	0,4200	0,4202	+0,0002	0,9310	0,9400	0,9430	+0,0030
				0,9540	0,9625	0,9574	-0,0051
0,45	0,4750	0,4757	+0,0007	0,9800	0,9860	0,9815	-0,0045
0,5010	0,5210	0,5208	-0,0002				
0,5590	0,5780	0,5785	+0,0005				

зрения выгодно. Можно доказать при помощи уравнений (15а), (15б) что для идеальных трехкомпонентных систем можно написать:

$$\alpha_{ijk}^* = \alpha_{ij}^*, \quad (1)$$

что опять свидетельствует о правильности уравнения (1).

Как пример применения двухиндексного уравнения для характеристики трехкомпонентных реальных систем, в табл. 5—8 приведены изм

Таблица 6

n-Гептан (1) — толуол (3)
 $P = 760$ мм Hg

x_1	y_1 эксп.	y_1 выч.	Δy_1
0,025	0,048	0,044	−0,004
0,062	0,107	0,104	−0,003
0,129	0,205	0,202	−0,003
0,185	0,275	0,274	−0,001
0,235	0,333	0,332	−0,001
0,250	0,349	0,349	±0,000
0,286	0,396	0,388	−0,008
0,354	0,454	0,455	+0,001
0,412	0,504	0,509	+0,005
0,448	0,541	0,541	±0,000
0,455	0,540	0,547	+0,007
0,497	0,577	0,583	+0,006
0,568	0,637	0,641	+0,004
0,580	0,647	0,650	+0,003
0,692	0,742	0,739	−0,003
0,843	0,864	0,859	−0,005
0,940	0,948	0,943	−0,005
0,975	0,976	0,976	±0,000
0,994	0,993	0,994	+0,001

Таблица 7

Метилциклогексан (2) — толуол (3)
 $P = 760$ мм Hg

x_2	y_2 эксп.	y_2 выч.	y_2
0,050	0,075	0,076	+0,001
0,100	0,143	0,146	+0,003
0,150	0,210	0,211	+0,001
0,200	0,270	0,270	±0,000
0,250	0,326	0,326	±0,000
0,300	0,378	0,378	±0,000
0,350	0,424	0,428	+0,004
0,400	0,470	0,476	+0,006
0,450	0,515	0,521	+0,006
0,500	0,560	0,565	+0,005
0,550	0,604	0,608	+0,004
0,600	0,650	0,650	±0,000
0,650	0,694	0,692	−0,002
0,700	0,737	0,733	−0,004
0,750	0,778	0,775	−0,003
0,800	0,818	0,817	−0,001
0,850	0,860	0,860	±0,000
0,900	0,906	0,905	−0,001
0,950	0,954	0,951	−0,003
			±0,23%

Таблица 8

n-Гептан (1) — метилциклогексан (2) — толуол (3)
 $P = 760$ мм Hg

x_1	x_2	y_1 эксп.	y_2 эксп.	y_1 выч.	y_2 выч.	Δy_1	Δy_2
0,0460	0,7385	0,0550	0,7635	0,0517	0,7514	−0,0033	−0,0121
0,1025	0,6805	0,1120	0,7045	0,1138	0,6898	+0,0018	−0,0147
0,1590	0,5930	0,1765	0,6045	0,1769	0,6016	+0,0004	−0,0029
0,2040	0,5355	0,2230	0,5500	0,2268	0,5421	+0,0038	−0,0079
0,2540	0,5005	0,2810	0,5075	0,2812	0,5050	+0,0002	−0,0025
0,2890	0,4705	0,3185	0,4750	0,3166	0,4698	−0,0019	−0,0052
0,3240	0,4395	0,3550	0,4395	0,3533	0,4368	−0,0017	−0,0027
0,3575	0,4000	0,3885	0,4005	0,3890	0,3966	+0,0005	−0,0039
0,4070	0,3485	0,4425	0,3445	0,4407	0,3438	−0,0018	−0,0007
0,4475	0,3005	0,4835	0,2985	0,4883	0,2928	+0,0048	−0,0057
0,4790	0,2565	0,5180	0,2570	0,5174	0,2521	−0,0006	−0,0049
0,5170	0,2225	0,5600	0,2200	0,5555	0,2176	−0,0045	−0,0024
0,5500	0,1730	0,5790	0,1825	0,5889	0,1702	+0,0099	−0,0123
0,6030	0,1360	0,6470	0,1340	0,6421	0,1317	−0,0049	−0,0023
0,6235	0,1000	0,6720	0,0975	0,6650	0,0969	−0,0070	−0,0006
0,6605	0,0795	0,7065	0,0750	0,6988	0,0764	−0,0077	+0,0014
0,6885	0,0445	0,7390	0,0385	0,7274	0,0527	−0,0116	+0,0032

нные и вычисленные значения равновесных составов фаз в системе н-тан(1) — метилциклогексан(2) — толуол(3) (см. 5, 6, 7).

Из табл. 5—8 видно, что двухиндексное уравнение (15 а,б) хорошо описывает данную трехкомпонентную систему.

Система из трех составных частей — трехиндексное уравнение

Если в уравнение (1) подставить и другие суммирующие члены, это уравнение переходит для трехкомпонентной системы в выражения

$$\alpha_{ikj} = \frac{1 + a_{ik}x_k + a_{ij}x_j + a_{ikh}x_k^2 + a_{ijj}x_j^2 + 2a_{ijk}x_jx_k}{1 + a_{ki}x_i + a_{kj}x_j + a_{kjj}x_j^2 + a_{kjj}x_i^2 + 2a_{kij}x_i x_j}, \quad (17a)$$

$$\alpha_{jki} = \frac{1 + a_{jk}x_k + a_{ji}x_i + a_{jkk}x_k^2 + a_{jii}x_i^2 + 2a_{jik}x_i x_k}{1 + a_{kj}x_j + a_{ki}x_i + a_{kjj}x_j^2 + a_{kii}x_i^2 + 2a_{kij}x_i x_j}. \quad (17б)$$

Уравнения (17а), (17б) имеют всего 15 постоянных; из них только 1 нужно высчитать из данных для трехкомпонентной системы. Можно считать, что в некоторых системах можно будет для их вычисления применить комбинированные приемы.

Распространение этих выводов на четырех- и многокомпонентные системы и на четырех- и многоиндексные уравнения является аналогичным предыдущему решению.

Выводы

При помощи уравнения (1) можно рационально выражать взаимную зависимость равновесных составов жидких и газообразных фаз в реальных системах для какого угодно числа компонентов с какой угодно степенью точности. Ясно, что чем большая требуется точность, тем большее число постоянных входит в соответствующие уравнения.

Практическое значение уравнения заключается в том, что оно ограничивает количество экспериментальных данных, необходимых для характеристики системы; большинство постоянных (у двухиндексных уравнений все постоянные) можно определить из экспериментальных данных бинарных систем. Преимущество этого метода заключается в том, что его можно применять и к системам, у которых обе фазы являются не идеальными.

Высшая химико-технологическая школа
Прага, Чехословакия

ЛИТЕРАТУРА

- V. Fried, J. Pick, Chem. listy, 50, 1039, 1956; E. Hala, O. Wilim. Coll. 21, 1535, 1956.
G. Scatchard, S.E. Wood a. J. M. Mochel, J. Phys.Chem., 43, 119, 1939.
W. F. Dodge, Chem. met. Engng, 35, 624, 1928.
O. Wilim, E. Hala, J. Pick a. V. Fried. Chem. listy, 48, 989, 1954.
E. C. Bromley a. D. Quiggle. Industr. and Engng, Chem., 25, 1136, 1933.
H. H. Steinhauser a. E. H. White. Industr. and Engng. Chem., 41, 2912, 1949.
D. Quiggle a. M. R. Fenske. J. Amer. Chem. Soc., 55, 1829, 1937.

VAPOR — LIQUID EQUILIBRIUM

Eduard Hála (Praga)

Summary

An expansion is proposed suitable for expressing to any desired accuracy the mutual dependence of the equilibrium compositions of phases in systems with an arbitrary number of constituents. The number of constants in the appropriate relations increases naturally with the required accuracy. The practical significance of the expansion is in the fact that it enables the use of algebraic methods in engineering calculations, and that it limits the number of experiments required for the complete characterization of the system. In systems of three and more components the majority of the constants can be evaluated from binary data. In the frequent case of two-suffix-equations all the constants can thus be derived. The proposed expansion can be used even in systems where both phases are strongly non-ideal.

МАТЕРИАЛЫ КОНФЕРЕНЦИИ ПО ФИЗИКЕ
И ФИЗИКО-ХИМИИ КАТАЛИЗА

(Март 1958 г.)

ВЛИЯНИЕ СОРБИРОВАННЫХ ПРИМЕСЕЙ
НА КАТАЛИТИЧЕСКИЕ СВОЙСТВА ОКИСИ ЦИНКА

Г. М. Жаброва, В. И. Владимирова и Е. В. Егоров

Влияние микропримесей на свойства гетерогенных катализаторов является общепризнанным фактом. В ряде случаев примеси дозируются и вводятся в катализатор путем соосаждения или пропитки и распределяются как в объеме, так и на поверхности катализатора. Это может приводить к образованию твердых растворов, микрогетерогенному включению добавок в катализатор и т. д.

Весьма распространенным случаем является сорбция примесей на поверхности катализаторов. Последнее имеет место при осаждении катализаторов, где неизбежен контакт образующейся твердой фазы (гидроокисей, солей и т. д.) с растворами электролитов.

Следует заметить, что за исключением ионообменных смол и силикагелей процессы сорбции ионов на катализаторах изучены недостаточно. Сорбция на окисных и гидроокисных катализаторах может сопровождаться растворением самого катализатора. Этот случай типичен для окисей гидроокисей магния, цинка, алюминия, кобальта и др.

В качестве одного из наиболее распространенных представителей такого рода катализаторов нами была выбрана окись цинка. Было проведено изучение зависимости между закономерностями сорбции примесей, ее характером, прочностью связи с данным окисным катализатором, химической природой примесей и их влиянием на активность и селективность катализатора. Исследование явилось продолжением ряда работ, проводимых ранее [1—3]. В качестве образца окиси цинка была использована окись цинка марки («ч.д.а.»). Удельная поверхность окиси цинка, определенная по абсорбции *n*-гептана по БЭТ, равна $7 \text{ м}^2/\text{г}$.

Были исследованы процессы сорбции фосфорной и серной кислот, хлоридного натра, хлористого натрия и серноокислого цинка. Сорбция проводилась в широком диапазоне концентрации электролитов и концентрации водородных ионов. Контроль за количеством сорбированных ионов осуществлялся при помощи радионуклидов: Zn^{65} , Cl^{36} , S^{35} , P^{32} , Na^{24} . Параллельно с сорбционными измерениями радиохимически была определена растворимость окиси цинка в растворах исследуемых электролитов.

Заметим, что термин сорбция не совсем точно выражает характер взаимодействия электролитов с окисью цинка. Окись цинка и образовавшаяся в водных растворах на ее поверхности гидроокись не только сорбируют электролиты, но и вступают с ними в химическое взаимодействие. Однако для простоты изложения мы будем в дальнейшем употреблять этот термин, подразумевая под ним также и химическое взаимодействие электролитов с сорбентом.

Было установлено, что характерной чертой сорбции кислот (фосфорной и серной) на окиси цинка является плохая обратимость. Так, при разбавлении раствора над окисью цинка в 2—3 раза десорбция не наблю-

ется. Как ранее было показано [2—3], аналогичный характер имеет и сорбция на окиси цинка кислых солей (кислого сернокислого натрия) и солей, гидролизующихся с кислой реакцией (сульфата цинка). Сорбция едкого натра на окиси цинка является полностью обратимой, и при извлечении раствора над адсорбентом десорбционная точка ложится на соответствующий участок изотермы.

Представляло интерес выяснить возможность ионного обмена на окиси цинка. Опыты были поставлены с одновременным использованием метода радиоактивных индикаторов и метода отдельных навесок [4], основанного на измерении сорбции при постоянной концентрации катионов и анионов и при измерении pH раствора. В качестве нейтральной соли

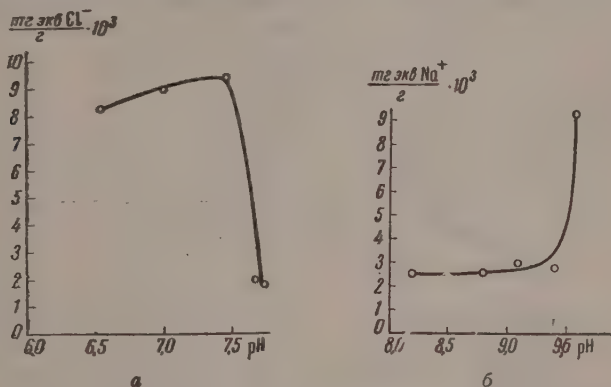


Рис. 1. Зависимость: а — анионного и б — катионного обмена на окиси цинка от концентрации водородных ионов в растворе

был использован хлористый натрий, к которому добавлялось определенное количество соляной кислоты или едкого натра до постоянного объема, таким образом, чтобы при изменении pH в кислой среде концентрация ионов хлора была постоянной (0,1 N) и при изменении pH в щелочной среде концентрация ионов натрия оставалась также постоянной (0,1 N).

Были приготовлены две серии растворов, меченных радиохлором и дионатрием. Навески окиси цинка погружались в меченый раствор и держивались в нем определенное время для установления сорбционного равновесия; после чего определялись концентрации водородных ионов в растворах pH-метром ЛП-5 со стеклянным и каломельным электродами и при непрерывном перемешивании мешалкой.

Определение количества ионов натрия и хлора на поверхности окиси цинка производилось радиохимически путем измерения радиоактивности сорбента (окиси цинка), предварительно тщательно промытого диоксаном и в некоторых случаях безводным изопропиловым спиртом. Исследуемая система не допускала возможности точного определения количества сорбированных ионов натрия и хлора по изменению pH раствора до и после сорбции вследствие того, что изменение pH обуславливалось не только процессами ионного обмена, но и растворением образовавшейся гидроокиси цинка.

Зависимость анионного и катионного обменов на окиси цинка от pH среды графически представлена на рис. 1, а и 1, б.

Как следует из приведенных данных, зависимости количества сорбированных на окиси цинка ионов натрия и хлора от pH соответствующих растворов являются характерными для ионного обмена [5]; а именно — количество сорбированных ионов натрия возрастает с увеличением pH раствора, а количество сорбированных ионов хлора возрастает

с уменьшением pH раствора. Способность окиси цинка к полному обмену была подтверждена другой серией опытов, в которых меченый радиоактивной меткой катион или анион, сорбированный по поверхности окиси цинка, обменивался на соответствующий ион в водном растворе электролита, приводимого в соприкосновение с окисью цинка. Так был установлен достаточно полный обмен ($\sim 90\%$) сорбированных ионов натрия и ионы калия и сорбированных ионов хлора на ионы йода, брома и фтора [6].

Представляло интерес изучить зависимость процессов сорбции кислот и щелочи от pH растворов в более широком диапазоне. Эта зависимость графически представлена на рис. 2. Как следует из рисунка, количество сорбируемых электролитов возрастает при pH, большем 9 и меньше 6.

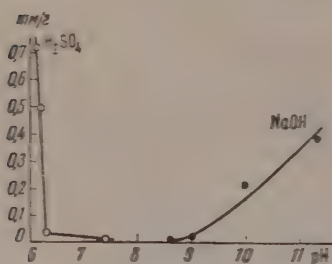


Рис. 2. Зависимость сорбции серной кислоты и едкого натра от изменения pH раствора в широких пределах

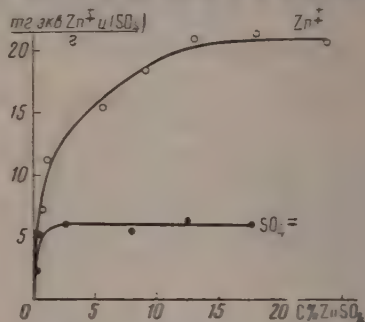


Рис. 3. Изотерма сорбции сульфата цинка, меченного двойной меткой: по цинку и сере, на окиси цинка

Напомним, что область pH от 6,5 до 9,5 соответствует области ионного обмена на окиси цинка. Сопоставляя данные по характеру сорбции кислот и щелочи, в частности, по необратимости сорбции кислоты и обратимости сорбции щелочи с зависимостью сорбции от pH, можно высказать предположение, что на окиси цинка, очевидно, имеют место три типа сорбции.

Первым типом является необратимая, по-видимому, химическая сорбция в области кислых растворов ($pH < 6,5$). Это — сорбция анионов из растворов кислот, кислых солей и солей, гидролизующихся с кислой реакцией. Необратимый характер сорбции дает основание полагать, что в данном случае имеет место химическое взаимодействие кислых сорбируемых соединений с окисью цинка. При сорбции сульфата цинка на поверхности окиси цинка, по-видимому, образуется в виде новой фазы основной сульфат цинка — $nZn(OH)_2 \cdot ZnSO_4$, о чем свидетельствуют опыты, проведенные с двойной меткой: по радиационному и радиосере (рис. 3). Изотерма сорбции, построенная на основании радиохимических измерений по Zn^{2+} , значительно выше построенной на основании измерений SO_4^{2-} .

Заметим, что образование основного сульфата цинка при взаимодействии сульфата цинка с едким натром в области малых pH было установлено И. В. Тананаевым и Н. В. Мзареулишвили [7] методами физико-химического анализа. В нашем случае образовавшийся основной сульфат цинка является устойчивым в растворе сульфата цинка в определенном интервале концентрации и pH раствора. При отмывке окиси цинка происходит гидролитическое разрушение основного сульфата. Отношение Zn^{2+}/SO_4^{2-} при этом значительно увеличивается.

Вторым типом сорбции является химическая обратимая сорбция в области щелочных растворов ($pH > 9$). Этот тип сорбции, по всей вероятности, связан с образованием смеси цинката натрия и гидроксида цинка на поверхности окиси цинка. Можно полагать, что связь цинката натрия

окисью и гидроокисью цинка является непрочной, что приводит к его сорбции при уменьшении концентрации щелочи над окисью цинка. При отмывке цинкат натрия разлагается с образованием гидроокиси цинка и удалением с поверхности окиси цинка большей части ионов натрия и гидроксил-ионов.

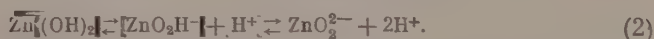
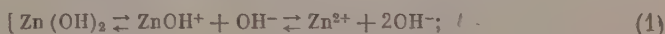
Наконец, третьим типом сорбции на окиси цинка является поппный мен, имеющий место в области рН от 6,5 до 9,5.

Попробуем представить возможный механизм как понообменной сорбции на окиси цинка, так и других наблюдаемых типов сорбции.

При погружении окиси цинка в водный раствор, содержащий катионы и анионы, происходят сложные электрохимические явления, сопровождающиеся заряджением поверхности и образованием двойного слоя ионов.

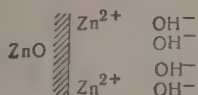
Остановимся сначала на поведении окиси цинка, погруженной в воду, содержащую посторонних ионов. Окись цинка при погружении в воду уменьшает концентрацию водородных ионов (увеличивает рН раствора) вследствие образования некоторого количества гидроокиси цинка. Через определенный промежуток времени устанавливается равновесие между гидроокисью цинка, находящейся на поверхности окиси цинка и в растворе. Этому равновесию соответствует значение рН, равное по нашим измерениям 8,4, а по измерениям других авторов 8,42 [8].

Возможно предположить при этом протекание следующих реакций двойном слое у поверхности окиси цинка:



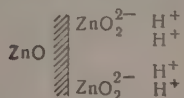
Первая реакция связана с уменьшением концентрации водородных ионов (с увеличением рН), вторая — с возрастанием концентрации водородных ионов (с уменьшением рН). В кислых растворах при низких значениях рН равновесного раствора будет протекать, в основном, реакция (1), а реакция (2) будет подавлена; наоборот, в щелочных растворах, обладающих повышенным значением рН, создадутся благоприятные условия для протекания реакции (2). Упомянем, что аналогичная схема была предложена Б. П. Никольским [9] для объяснения сорбционных свойств гидроокиси алюминия.

Можно представить, что в кислых растворах частицы окиси цинка окружены двойным слоем ионов цинка и гидроксил-ионов следующим образом:



В этом случае гидроксил-ионы могут обмениваться на анионы, и ZnO работает, как анионообменник.

Напротив, в щелочных растворах двойной слой у поверхности окиси цинка имеет другое строение:



Протоны могут обмениваться на катионы, и окись цинка работает, как катионообменник.

Таким образом увеличение концентрации гидроксил-ионов в растворе или уменьшение концентрации водородных ионов сопровождается повышением величины отрицательного заряда поверхности, что должно приводить к увеличению сорбции катионов и выводу ионов водорода из двойного слоя в раствор (т. е. к уменьшению рН раствора после сорбции).

Как следует из зависимости сорбции иона натрия, меченного радионатрием, от pH (рис. 1, б), этот вывод подтверждается экспериментальными данными.

В противоположном случае при увеличении концентрации водородных ионов в растворе (и уменьшении концентрации гидроксил-ионов) происходит повышение положительного заряда поверхности окиси цинка, что должно приводить к сорбции анионов и выводу гидроксил-ионов из двойного слоя в раствор (т. е. к увеличению pH раствора после сорбции). Действительно, мы видим на рис. 1, а увеличение сорбции хлор-иона, меченного радиохлором, с уменьшением равновесного pH раствора над окисью цинка. После сорбции происходит заметное увеличение pH раствора.

При увеличении концентрации водородных ионов в растворе ($\text{pH} < 6,5$) оболочка гидроокиси цинка растворяется, и начинается образование различных поверхностных соединений цинка.

Переход от сорбции типа анионообменной к химической обратимой сорбции характеризуется резким изломом при $\text{pH} = 6,5$ на кривой зависимости сорбции от концентрации водородных ионов (рис. 2). Как уже указывалось ранее, при сорбции сульфата цинка в этой области концентрации водородных ионов происходит образование на поверхности окиси цинка новой фазы — основного сульфата цинка.

Как следует из рис. 1, б, катионный обмен на окиси цинка совершается в более широком диапазоне pH. Перелом на кривой зависимости количества сорбируемых электролитов от pH начинается при $\text{pH} = 9,5$ (рис. 1, б), что соответствует, очевидно, также образованию новой фазы, а именно — цинката натрия. Связь цинката натрия с гидроокисью и окисью цинка является непрочной, что приводит к десорбции данного соединения при уменьшении pH раствора. При отмывке водой цинкат натрия, по-видимому, разлагается с образованием гидроокиси цинка и удалением большей части ионов натрия и гидроксил-ионов с поверхности.

Таковы закономерности трех типов сорбции, протекающей на окиси цинка в водных растворах электролитов.

Обращаясь к влиянию сорбированных примесей на каталитические свойства окиси цинка, следует заметить, что перед проведением кинетических измерений все исследуемые образцы окиси цинка подвергались прокалке при 550°C , при продувании струи очищенного сухого воздуха. Эта операция обеспечивала разложение образовавшейся гидроокиси цинка и удаление гигроскопической влаги.

Радиометрически было установлено, что при прокалке удаление ионов SO_4^{2-} , PO_4^{3-} , Cl^- не имело места.

После операции прокалки и дегидратации поверхность образцов окиси цинка с сорбированными ионами хлора, введенными путем анионного обмена, по-видимому, содержала микропримесь хлористого цинка.

Поверхность образцов окиси цинка с введенными путем катионного обмена ионами натрия, по всей вероятности, обогащалась поверхностным раствором окиси натрия в окиси цинка или микровключениями окиси натрия. Что касается химической обратимой сорбции едкого натра на окиси цинка, то после отмывки образцов и прокалки здесь, очевидно, имело место включение примеси по типу катионного обмена. Введение примесей сульфата цинка и фосфорной кислоты приводило к некоторому увеличению удельной поверхности (например до $8,6 \text{ м}^2/\text{г}$ для образца $\text{ZnO} + 2,5\% \text{ZnSO}_4$).

Образцы окиси цинка с сорбированными примесями были испытаны на каталитическую активность по отношению к реакции разложения изопропилового спирта как в динамической установке при $270\text{—}330^\circ\text{C}$, так и в адсорбированном слое при $100\text{—}170^\circ\text{C}$.

Данные по каталитическому разложению изопропилового спирта в динамической установке на образцах окиси цинка с различными добавками представлены на рис. 4. Введение добавки серноокислого цинка при-

ило к резкому торможению гидрирования (кривая 1). Наряду с м, в согласии с ранее опубликованными данными [1—3], наблюдалось чительное усиление дегидратирующих свойств окиси цинка.

Примеси ионов хлора и натрия, введенные в катализатор путем ион- обмена, усиливали дегидрирующие свойства окиси цинка.

Интересно сравнить данные по разложению изопропилового спирта, ученные в динамических условиях с данными, полученными при про- зии этой реакции в адсорбированном слое (табл. 1).

Таблица 1

изменение селективности ZnO-катализаторов с сорбированными примесями при испытании в динамических условиях и в адсорбированном слое

3-	Катализатор	Динамические усло- вия			Адсорбированный слой		
		t, °C	H ₂ , %	C ₂ H ₅ , %	t, °C	H ₂ , %	C ₂ H ₅ , %
	ZnO без примесей	320	96	4	150	85	15
	ZnO + Cl ⁻ ($8 \cdot 10^{-3} \frac{\text{мг-экв}}{\text{г}}$) 0,028%	320	99	1	150	—	—
	ZnO + Cl ⁻ ($2 \cdot 10^{-2} \frac{\text{мг-экв}}{\text{г}}$) 0,071%	320	99,3	0,7	150	81	19
	ZnO + Na ⁺ ($1 \cdot 10^{-2} \frac{\text{мг-экв}}{\text{г}}$) 0,023%	320	99	1	150	81	19
	ZnO + 7nSO ₄ (2,5%)	320	12	88	150	57	43
	ZnO + H ₃ PO ₄ (0.1%)	320	91,5	8,5	150	77	23

истая окись цинка и окись цинка с добавлением ионов натрия и ра, оставаясь преимущественно дегидрирующими катализаторами,

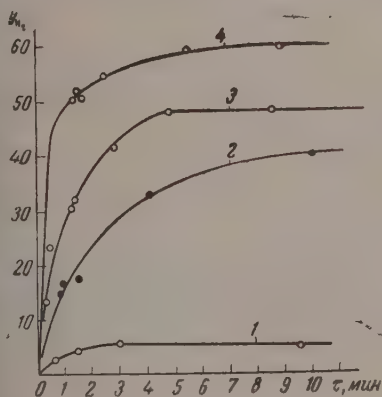


Рис. 4

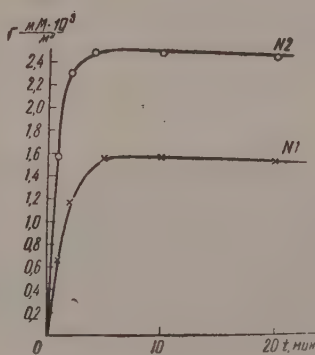


Рис. 5

4. Кинетические кривые дегидрирования изопропилового спирта при 320°C в бразцах окиси цинка, с сорбированными добавками микропримесей: 1 — окись а с добавкой 0,8% ZnSO₄; 2 — чистая окись цинка; 3 — окись цинка с добавкой в Na⁺ ($1 \cdot 10^{-2} \frac{\text{мг-экв}}{\text{г}}$), введенных путем катионного обмена из раствора NaCl; окись цинка с добавкой Cl⁻-ионов ($2 \cdot 10^{-2} \frac{\text{мг-экв}}{\text{г}}$), введенных путем анионного обмена из раствора NaCl

5. Кинетические изотермы сорбции ацетона на окиси цинка при 100°C: 1 — чи- стая окись цинка; 2 — окись цинка с добавкой 2,5% ZnSO₄

ивали. при проведении реакции в адсорбированном слое, дегидрати- щие свойства. То же относится и к окиси цинка с добавкой фос- кой кислоты. В противоположность этому образец окиси цинка с

добавкой сульфата цинка, работающий в динамических условиях, в основном, как дегидратирующий катализатор, в адсорбированном слое изменял селективность в сторону дегидрирования.

Для выяснения закономерностей действия введенных добавок на селективность и активность окисноцинкового катализатора были поставлены опыты по изучению хемосорбции как изопропилового спирта, так продуктов, образующихся при его дегидрировании и дегидратации: ацетона, водорода, пропилена и воды. Было установлено, что при температурах, близких к температуре каталитического процесса в адсорбированном слое (100—200° С), хемосорбция водорода и пропилена незначительна по сравнению с хемосорбцией изопропилового спирта и ацетона. Хемосорбированный ацетон более прочно связан с поверхностью, чем изопропиловый спирт, и только незначительная часть его удаляется при длительной откачке.

При заполнении даже небольшой доли поверхности (0,01—0,1) хемосорбированным ацетоном наблюдается торможение процесса дегидрирования. На скорость процесса дегидратации хемосорбированный ацетон влияет слабее.

Таким образом хемосорбция ацетона является одним из факторов регулирующих селективность окиси цинка по отношению к реакции разложения изопропилового спирта.

Кислые добавки, усиливающие дегидратирующие свойства окиси цинка, оказывают значительное влияние и на хемосорбцию ацетона. Как видно из рис. 5, скорость хемосорбции и количество хемосорбированного ацетона на образце окиси цинка с примесью сернистого цинка больше, чем на чистой окиси цинка.

По-видимому, одной из причин, обуславливающих различное действие изучаемых примесей на селективность окисноцинкового катализатора является различная способность к хемосорбции ацетона образцов окиси цинка с введенными примесями и, возможно, различная температурная зависимость десорбции ацетона.

Было установлено, что кинетика процесса дегидрирования изопропилового спирта в адсорбированном слое подчиняется степенному уравнению, типичному для неоднородной поверхности

$$q = kt^{1/n},$$

где q — прореагировавшее количество спирта; k — константа скорости; t — время; $1/n$ — степенной показатель.

Кажущаяся энергия активации дегидрирования, рассчитанная кинетических опытов, проведенных в динамических условиях для чистой окиси цинка и для образцов окиси цинка с введенными добавками, больше величины энергии активации, определенной из опытов, проведенных в адсорбированном слое.

Так, для чистой окиси цинка

$$E_{\text{дин}} = 12,5 \text{ ккал / моль};$$

$$E_{\text{сл}} = 29,0 \text{ ккал / моль},$$

для ZnO с добавкой Na_2O (образец 4 табл. 1).

$$E_{\text{дин}} = 11 \text{ ккал / моль};$$

$$E_{\text{сл}} = 24 \text{ ккал / моль},$$

для ZnO с добавкой ZnCl_2 (образец 3 табл. 1)

$$E_{\text{дин}} = 15 \text{ ккал / моль};$$

$$E_{\text{сл}} = 25 \text{ ккал / моль}.$$

Следует заметить, что в работе О. В. Крылова и Е.А. Фокиной [10], кже имеются данные, указывающие, что величины энергии активации гидрирования изопропилового спирта на сульфиде цинка и окиси цинка, определенные при проведении процесса в динамических условиях, выше, чем в адсорбированном слое.

Полученные данные позволяют предполагать, что в адсорбированном слое в каталитическом процессе принимают участие центры, характеризующиеся высокой энергией активации реакции и, по-видимому, хемосорбции спирта, в то время как участки с меньшей энергией активации акции и хемосорбции заняты хемосорбированным ацетоном.

Таблица 2

Значения констант скорости дегидрирования изопропилового спирта (в адсорбированном слое) и величин энергии активации без предварительной хемосорбции ацетона и после хемосорбции ацетона. Образец 4 окиси цинка

t, °C	Без предварительной хемосорбции ацетона		Предварительно хемосорбирован ацетон ($\theta = 20\%$)		Хемосорбция спирта, а затем хемосорбция ацетона $k \cdot 10^2$ ($\theta = 3\%$ ацетона)
	$k \cdot 10^2$	$E, \frac{\text{ккал}}{\text{моль}}$	$k \cdot 10^2$	$E, \frac{\text{ккал}}{\text{моль}}$	
120	1,27	24,0	0,107	36,0	0,48
150	19		4		
165	22		8		
180	97		30		

Для проверки этого предположения была проведена серия опытов по гидрированию изопропилового спирта на окисноцинковом катализаторе (образец 4), на котором предварительно было хемосорбировано определенное количество ацетона (около 20% заполнения монослоя). В этом случае наблюдалось значительное снижение скорости дегидрирования и величины энергии активации с 24 до 36 ккал/моль. Опыты, проведенные в том же образце катализатора при последовательном впуске и адсорбции на поверхности сначала спирта, а затем ацетона, также показали подавление реакции дегидрирования. Эти результаты, очевидно, подтверждают высказанное предположение о вытеснении хемосорбированным ацетоном хемосорбированного спирта с центров, характеризующихся малой энергией активации реакции, на центры, характеризующиеся высокой энергией активации реакции.

Таким образом наблюдаемые различия в энергиях активации дегидрирования изопропилового спирта при проведении ее в адсорбированном слое динамических условиях можно объяснить неоднородностью поверхности окиси цинка и антибатностью энергии активации каталитической реакции и энергии десорбции образующегося продукта реакции — ацетона.

Выводы

1. Методом радиоактивных индикаторов исследованы процессы химического взаимодействия и сорбции электролитов на окиси цинка.
2. Установлено, что в зависимости от химической природы, концентрации электролита и pH раствора имеют место три типа сорбции: химическое взаимодействие, равновесное химической необратимой сорбции; ионный обмен и химическая обратимая сорбция.
3. Сорбция электролитов из растворов дает возможность регулировки микрохимического состава поверхности окиси цинка и ее каталитических свойств. Так, сорбированные ионы натрия и хлора, введенные путем ионного обмена, сдвигают реакцию разложения изопропилового спирта в сторону дегидрирования. Сорбция сернистого цинка, фосфорной кисло-

ты и других «кислых» примесей приводит к усилению реакции дегидратации.

4. Показано, что при проведении каталитического процесса в адсорбированном слое реакция разложения изопропилового спирта на большинстве исследованных образцов сдвигается в сторону дегидратации по сравнению с динамическими условиями.

5. Энергия активации дегидрирования изопропилового спирта в адсорбированном слое выше, чем энергия активации в динамических условиях.

6. Высказаны соображения о возможном влиянии хемосорбированного ацетона на кинетические закономерности процесса дегидрирования изопропилового спирта и на селективность разложения изопропилового спирта.

Академия наук СССР
Институт физической химии
Москва

ЛИТЕРАТУРА

1. Г. М. Жаброва, Л. Н. Куцева и С. З. Рогинский, Докл. АН СССР, 92, 569, 1953; 94, 78, 1954.
2. Г. М. Жаброва, Проблемы кинетики и катализа, Изд-во АН СССР, 8, 209, 1955.
3. Г. М. Жаброва, Успехи химии, 24, 598, 1955.
4. Б. П. Никольский и В. И. Парамонова. Успехи химии, 8, 1935, 1939.
5. Е. А. Матерова и В. И. Парамонова, Сб. «Теория и практика применения ионообменных материалов», т. 5, Изд-во АН СССР, 1955.
6. Г. М. Жаброва и Е. В. Егоров, Радиохимия, 5, 538, 1959.
7. И. В. Тананаев, Н. В. Мзареулишвили, Ж. неорган. химии, 1, 2216, 1956.
8. Л. Г. Майдановская, В. В. Соколов и Ф. К. Волюнец, Тр. Томского ун-та, 126, 171, 1954.
9. Б. П. Никольский Ж. физ. химии, 5, 266, 1934.
10. О. В. Крылов и Е. А. Фокина, Изв. АН СССР, Отд. хим. н., № 3, 266, 1958.

THE EFFECT OF SORBED IMPURITIES ON THE CATALYTIC PROPERTIES OF ZINC OXIDE

G. M. Zhabrova, V. I. Vladimirova and E. V. Egorov (Moscow)

Summary

The chemical interaction and sorption of electrolytes on zinc oxide have been investigated with the aid of the radioactive indicator method. It has been found that depending upon the chemical nature, electrolyte concentration and pH of the solution impurities may be captured in accordance with the mechanisms of chemical interaction, ion exchange and irreversible chemical sorption.

The sorption of impurities from electrolyte solutions makes it possible to control the microchemical composition of the zinc oxide surface and its catalytic properties. Thus the sorbed sodium and chlorine ions incorporated by means of ion exchange shift the reaction of isopropyl alcohol decomposition in the direction of dehydrogenation. Incorporation of zinc sulfate, phosphoric acid and other «acid» impurities leads to intensification of dehydration.

When the catalytic process is carried out in the sorption layer the selectivity of the former changes in comparison with dynamic conditions. The activation energy of dehydrogenation of isopropyl alcohol in the sorption layer is higher than under dynamic conditions.

Suggestions have been made concerning the possible effect of chemisorbed acetone on the kinetic relationships in the dehydrogenation of isopropyl alcohol.

ИЗОТОПНЫЕ ДАННЫЕ О РОЛИ ПЛОСКИХ ЦЕПЕЙ В СИНТЕЗЕ
УГЛЕВОДОРОДОВ ИЗ ОКИСИ УГЛЕРОДА И ВОДОРОДАО. А. Головина, М. М. Сахаров, С. З. Рогинский
и Е. С. Докукина

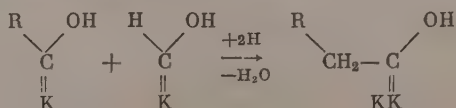
Вопрос о роли цепных механизмов в гетерогенном катализе поднят впервые давно [1]. Долгое время этот вопрос отождествлялся с вопросом о роли объемных цепей, зарождающихся на поверхности катализатора и развивающихся в объеме. В результате работ, выполненных в основном советскими исследователями [2], было показано, что гетерогенно-гомогенные цепи действительно играют существенную роль в ряде процессов, но распространенность гетерогенно-гомогенных цепных механизмов в гетерогенном катализе сравнительно невелика и в основном ограничивается высокотемпературными процессами.

Вопрос о цепях, полностью развивающихся на поверхности катализатора, до настоящего времени остается неясным. В последнее время к нему вновь привлечено внимание исследователей в связи с работой Н. Семенова и В. В. Воеводского [3], рассматривающих плоские цепи как один из общих механизмов гетерогенного катализа.

Методы, обычно применяемые в гомогенной кинетике для доказательства действия цепей, не дают однозначных результатов в гетерогенном катализе, так как резкое влияние микродобавок, света и радиации на скорость гетерогенных каталитических реакций может быть обусловлено не только цепным механизмом соответствующих процессов, но и изменениями поверхности катализатора. Для процессов, в которых по косвенным данным можно предполагать существование закрепленных цепей или цепей нарастающих [4], перспективным представляется изучение распределения изотопных меток в продуктах реакции. К гетерогенным каталитическим процессам такого рода относится синтез углеводородов из СО и Н₂.

Цепные схемы наращивания углеродного скелета продуктов синтеза в этом процессе неоднократно предлагались ранее [5—7]. Однако убедительных прямых доказательств существования плоских цепей в синтезе углеводородов до недавнего времени не было.

Поворотным пунктом в этом отношении явились опыты Куммера и Метта с соотр. [8] по синтезу углеводородов с добавлением меченых атомов к смеси СО и Н₂, которыми было обнаружено постоянство молярной радиоактивности углеводородов, с несомненностью свидетельствующее о цепном механизме наращивания углеводородных молекул на поверхности катализатора. Спиртам авторы указанной работы приписывали роль инициаторов цепного наращивания, а всю сумму полученных данных рассматривали как подтверждение дегидратационно-конденсационной схемы синтеза, предложенной Сторчем, Голамбиком и Андерсоном [7]. По этой схеме из СО и Н₂ первично возникает оксиметиленовый комплекс, рост углеродного скелета продуктов синтеза происходит в результате повторения конденсации дегидратационного типа с гидрированием:



Работа американских исследователей [8] оставила невыясненным ряд существенных вопросов. Так, обнаруженное постоянство молярной радиоактивности могло быть вызвано не иницированием роста углеводородных молекул, а его обрывом. Остался невыясненным также вопрос, только ли меченые спирты могут приводить к постоянству молярной радиоактивности продуктов синтеза. Опыты с мечеными спиртами были проведены только на железных катализаторах, и потому оставалось неясным, насколько общей является обнаруженная закономерность.

В предпринятом нами исследовании роли плоских цепей в синтезе углеводородов из CO и H_2 круг меченых соединений, добавляемых к ис-

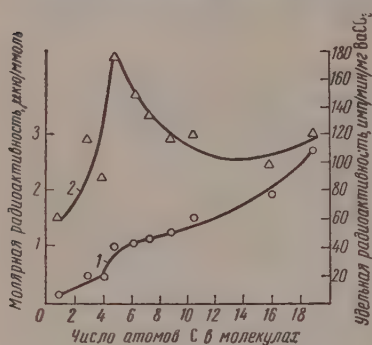


Рис. 1. 1 — молярная и 2 — удельная радиоактивность углеводородов в опыте с добавлением к исходному газу синтеза 4,8 объема. % меченого C_2H_4 (1,53 $\mu\text{кюри/моль}$)

CO и H_2 [9—11]. Постоянство молярной радиоактивности углеводородов было обнаружено не только при добавлении этилового спирта к исходной смеси газов, но и в опытах с добавлением малых количеств ацетальдегида и этилена, причем было установлено большее участие этилена в образовании углеводородов по сравнению с этиловым спиртом. Это позволило сделать вывод, что для цепного паразипирования углеводородных молекул и Со-катализатора дегидратационно-конденсационная схема неверна.

В последнее время мы исследовали синтез углеводородов над Со-катализатором с добавлением к исходной смеси газов ($\text{CO} : 2\text{H}_2$) пропилен и более значительных количеств этилена, меченных C^{14} . Опыты, как и раньше, проводились в струевой установке при 195° и объемной скорости подачи газа $80\text{—}100 \text{ час}^{-1}$. В реактор загружалось 25 мл катализатора. Как показывает рис. 1, при повышении концентрации этилена до 4,8 объема. % приблизительное постоянство молярной радиоактивности соблюдается лишь для углеводородов $\text{C}_5\text{—C}_9$. Для более тяжелых углеводородов молярная радиоактивность растет с увеличением молекулярного веса. Это говорит против обрыва цепей как причине постоянства молярной радиоактивности в прежних опытах [11] с меньшим содержанием этилена и показывает, что этилен уже при сравнительно небольшой концентрации в исходной смеси газов наряду с участием в реакциях иницирования начинает участвовать и в реакциях роста углеводородных молекул. Участие в последних, как следует из работ Я. Т. Эйдуca и Н. Д. Зелинского с сотр., становится преобладающим при дальнейшем повышении концентрации этилена до условий, соответствующих его гидроконденсации с CO [12]. Таким образом существует непрерывный переход от функций этилена в синтетическом процессе к его функциям в реакции гидроконденсации олефинов с окисью углерода.

Как следует из сопоставления молярной радиоактивности исходного этилена (1,53 $\mu\text{кюри/моль}$) и углеводородов $\text{C}_5\text{—C}_9$ ($\sim 1 \mu\text{кюри/моль}$, рис. 1).

менее, чем каждая из 1—2 молекул этих углеводородов образовалась участием меченого этилена. В состав каждой молекулы более тяжелых углеводородов входила в среднем более чем одна молекула этилена, так как их молярная радиоактивность превосходила молярную радиоактивность исходного этилена. Существенно, что, несмотря на такое значительное участие этилена в образовании углеводородов, выход жидких углеводородов в этом опыте практически не отличался от выхода их в опытах с добавлением 0,8 и 1,45 объемн. % этилена (соответственно 8,2; 7,5 и 8,2 г на 100 л исходной смеси газов), в которых этилен участвовал в образовании соответственно каждой из 10 и каждой из 4—5 молекул углеводородов [11]. Этот результат указывает на отсутствие влияния малых

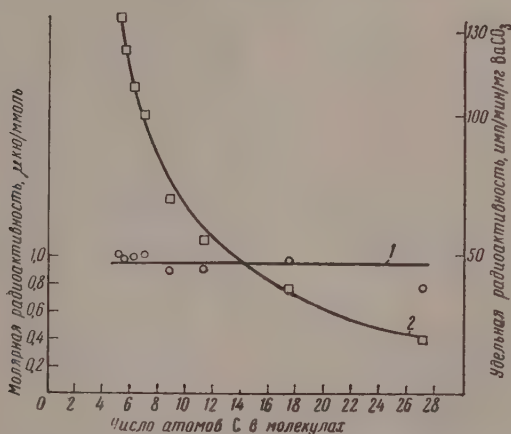


Рис. 2. 1 — молярная и 2 — удельная радиоактивность углеводородов в опыте с добавлением к исходному газу синтеза 1,5 объемн. % меченого C_2H_4 (11,0 мкюри/ммоль)

количеств этилена на скорость синтеза при сравнительно больших глубинах превращения СО (70—75%). Нам не удалось обнаружить влияния добавления этилена на скорость синтеза и при значительно меньших глубинах превращения СО (4—5%). В этой связи отметим, что по данным последних работ Эмметта с сотр. [13] малые количества спиртов, добавляемые к смеси СО и Н₂, также не оказывают заметного влияния на скорость синтеза. Неожиданное отсутствие влияния на скорость синтеза малых добавок этилена, способного, как было показано ранее [11], инициировать рост углеводородных молекул, становится понятным, если допустить, что образование радикала, инициирующего цепи, из этилена происходит со скоростью, близкой к скорости образования этого радикала непосредственно из СО и Н₂ при полном заполнении активных центров, ведущих синтез.

Результаты опыта с меченым пропиленом свидетельствуют, что способность участвовать в инициировании цепей нарастания, по-видимому, является общим свойством олефинов. При добавлении 1,5 объемн. % пропилена к исходной смеси газов, молярная радиоактивность синтезированных углеводородов C_2 и выше, так же как и в соответствующих опытах этиленом, практически не зависит от длины молекул (рис. 2). Однако пропилен заметно уступает этилену в степени участия в синтезе углеводородов. При той же концентрации в исходной смеси газов этилен превращается в углеводороды C_2 и выше на 19%, участвуя в образовании каждой из 4—5 молекул углеводорода, пропилен превращается соответственно на 5% и участвует в образовании лишь одной из каждых 12 син-

тезированных молекул. Пониженная иницирующая способность пропана, возможно, обусловлена неравноценностью углеродных атомов, связанных двойной связью, которая может быть причиной образования из него радикала или ионорадикала (наряду с радикалом, идентичным радикалу из этилена), значительно менее активного как инициатор цепи нарастания, чем радикал, образующийся из этилена.

Рядом исследователей было высказано предположение, что синтез углеводородов из CO и H_2 протекает через промежуточное образование карбидов, возникающих при взаимодействии CO с металлом катализатора [7]. Представлялось интересным выяснить, не может ли карбидный углерод, аналогично спиртам, этилену и пропилену, участвовать в иницировании роста

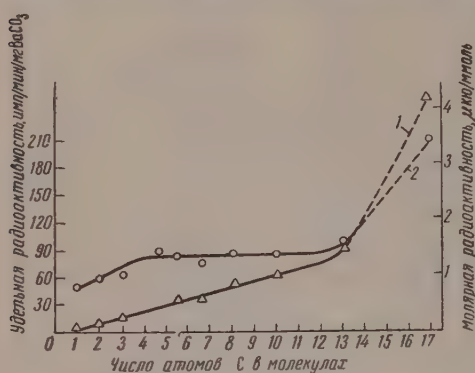


Рис. 3. Распределение радиоактивности в углеводородах, полученных из смеси 1 CO : 2 H_2 над обуглероженным меченой CO (45 $\mu\text{кю/ммоль}$) $\text{Co} - \text{ThO}_2$ -катализатором (1 — удельная радиоактивность, 2 — молярная радиоактивность)]

молекул в интервале $\text{C}_1 - \text{C}_{13}$ свидетельствует, что карбидный углерод может участвовать в росте углеводородных молекул. Однако замеченная радиоактивность, обнаруженная в непрореагировавшей CO (~19% от исходной радиоактивности углерода, вошедшего в состав катализатора), позволяет считать возможным участие карбидного углерода в синтезе углеводородов вследствие его предварительного обмена с CO . возможно, по реакции, обратной реакции $2\text{CO} + 2\text{Co} \rightarrow \text{Co}_2\text{C} + \text{CO}_2$ [14].

Полученные нами изотопные данные позволяют сделать вывод, что рост углеводородных молекул на поверхности Co -катализатора происходит за счет цепного присоединения CO к метиленовой или метинной группе, которой оканчивается недостроенная углеводородная молекула и которая, будучи связанной с катализатором, сохраняет свойства радикала или ионорадикала. Такой радикал или ионорадикал, регенерирующийся после каждого акта присоединения, может образоваться как при адсорбции спиртов, так и олефинов, причем образование активных форм из олефинов происходит легче. Именно этой способностью олефинов превращаться на поверхности катализатора (S) в радикал типа $S \cdots \dot{\text{C}}\text{H}_2 - \text{R}$ ($S - \dot{\text{C}}\text{H} - \text{R}$) или ионорадикал типа $\bar{S} \cdots \overset{+}{\text{C}}\text{H}_2 - \text{R}$ ($\bar{S} - \overset{+}{\text{C}}\text{H} - \text{R}$), по-види-

* Величины удельной и молярной радиоактивности метана, показанные на графике, отвечают средней его радиоактивности с начала образования жидких углеводородов на катализаторе. С учетом метана, выделенного из неконденсирующихся газов в период образования на катализаторе лишь газов и воды (~3% от всего количества метана), его средняя молярная радиоактивность равна 0,15 $\mu\text{кю/ммоль}$.

ЛИТЕРАТУРА

1. М. В. Поляков, Изв. ИФХ АН СССР, **1**, 212, 1925.
2. Н. Н. Семенов, Цепные реакции, ОНТИ, 1934; Я. Б. Зельдович, С. З. Рогинский, Ж. физ. химии, **4**, 132, 1932; Z. phys. Chem., **18**, 36, 1932; М. Л. Богоявленская, А. А. Ковальский, Ж. физ. химии, **20**, 1325, 1946; П. Ю. Бутягин, С. Ю. Елович, Докл. АН СССР, **54**, 607, 1946.
3. Н. Н. Семенов, В. В. Воеводский, Гетерогенный катализ в химической промышленности, Госхимиздат, 1955, стр. 233; В. В. Воеводский, Проблемы кинетики и катализа, **8**, 97, 1955; В. В. Воеводский, Ф. Ф. Волькенштейн, Н. Н. Семенов, Вопросы химической кинетики и катализа и реакционной способности, 1955, стр. 423.
4. С. З. Рогинский, Изотопы и излучения в химии, М., 1958, стр. 42.
5. E. F. G. Herington, Trans. Faraday Soc., **35**, 947, 1939.
6. Я. Т. Эйбус, Изв. АН СССР, Отд. хим. н., № 1, 65, 1943; Успехи химии, **2**, 54, 1951.
7. Г. Сторч, Н. Голамбик, Р. Андерсон, Синтез углеводов окиси углерода и водорода, ИЛ, 1954, стр. 480—500.
8. J. T. Kummer, H. H. Podgurski, W. B. Spencer, P. H. Emmett, J. Amer. Chem. Soc., **73**, 564, 1951; J. T. Kummer, P. H. Emmett, J. Amer. Chem. Soc., **75**, 5177, 1953.
9. О. А. Головина, С. З. Рогинский, М. М. Сахаров, Я. Т. Эйбус, Докл. АН СССР, **108**, 253, 1956.
10. О. А. Головина, С. З. Рогинский, М. М. Сахаров, Я. Т. Эйбус, Е. С. Докукина, Проблемы кинетики и катализа, **9**, 76, 1957.
11. О. А. Головина, Е. С. Докукина, С. З. Рогинский, М. М. Сахаров, Я. Т. Эйбус, Докл. АН СССР, **112**, 864, 1957.
12. Я. Т. Эйбус, Н. Д. Зелинский, К. В. Пузцкий, Н. И. Ешов, Изв. АН СССР, Отд. хим. н., № 1, 110, 1949.
13. W. Keith Hall, R. J. Kokes, P. H. Emmett, J. Amer. Chem. Soc., **79**, 2983, 1957.
14. J. J. Mitchell, J. Chem. Phys., **21**, 1153, 1953.
15. С. З. Рогинский, Проблемы кинетики и катализа, **10**, 1959.

ISOTOPIC DATA ON THE PART PLAYED BY TWO-DIMENSIONAL
CHAINS IN THE SYNTHESIS OF HYDROCARBONS FROM CARBON
MONOXIDE AND HYDROGEN

O. A. Golovina, M. M. Sakharov, S. Z. Roginsky and E. S. Dokukina
(Moscow)

Summary

The distribution of radioactivity between hydrocarbons synthesized from CO and H₂ over a cobalt-thorium catalyst on addition of labelled ethylene and propylene to the initial gas mixture has been investigated. A study has also been made of the distribution of radioactivity between hydrocarbons synthesized from CO and H₂ over a catalyst carbonized with labelled carbon monoxide. An increase in radioactivity with increasing length of molecules has been revealed in the experiment with labelled ethylene addition and in the experiment with the carbided catalyst. The molar radioactivity of hydrocarbons in the experiment in which 1.5% labelled propylene was added was found to be constant and not to depend upon the length of the molecules. The results obtained show that ethylene, in 4.8% concentration in the initial gas, besides participation in initiation reactions also takes part in reactions of molecular chain growth and that propylene participates in initiation of chain growth of hydrocarbon molecules.

It has been suggested that the participation of carbide carbon in hydrocarbon molecule growth as revealed by the tracer atom method, is due to preliminary exchange of carbide carbon with carbon monoxide. A stepwise mechanism has been proposed for the process of formation of hydrocarbons from CO and H₂ over a Co — ThO₂ catalyst for the case when the process is initiated by ethylene molecules.

О МЕХАНИЗМЕ ВЫСОКОТЕМПЕРАТУРНОГО КРЕКИНГА
ЭТАНА

*А. М. Бродский, Р. А. Калинин, Е. П. Лавровский
и В. Б. Титов*

Задачей настоящей работы являлось выяснение механизма реакции крекинга углеводородных газов при температурах 770—890° С. Изучению механизма крекинга при более низких температурах (550—700°) в последнее время было посвящено большое число работ [1—7]. В области же более высоких температур (700—900°) такие исследования почти полностью отсутствуют. Между тем именно эта область температур является наиболее интересной с прикладной точки зрения, так как пиролиз углеводородных газов в промышленности ведут при этих высоких температурах.

Для решения поставленной задачи нами была разработана специальная методика эксперимента с использованием меченых атомов. Для достаточно быстрого нагрева газа и сохранения постоянства температуры по длине зоны реакции был применен интенсивный теплообмен с «кипящим слоем» порошкообразного теплоносителя, не применявшийся до последнего времени в кинетических исследованиях подобного рода. Использование кипящего слоя значительно облегчает также обработку экспериментов, так как в этом случае происходит интенсивное перемешивание продуктов выравнивание их концентраций вдоль реакционной зоны, и сложная система дифференциальных уравнений, описывающих совокупность протекающих при крекинге процессов, заменяется на систему конечных уравнений, точное решение которых не вызывает серьезных затруднений.

Применение меченых атомов позволило проследить некоторые элементарные реакции, протекающие при крекинге, а упрощение метода расчета в связи с проведением реакции в «кипящем слое» дало возможность выделить константы скорости суммарной реакции и некоторых элементарных процессов, а также определить энергии активации этих процессов и концентрации радикалов в изученной системе.

Изучение проводилось [8, 9] на смесях C_2H_6 с небольшими добавками (2%) меченого метана $C^{14}H_4$ в проточной вакуумной установке при давлении ~90 мм рт. ст.

Схема установки приведена на рис. 1.

Смесь исходных газов хранилась в колбах 5, общая емкость которых составляла примерно 40 л. Подача газов из колб 5 в реактор осуществлялась через краны с капиллярами разного диаметра. Скорость подачи газов определялась по показанию ротаметра 1. Ошибка в определении скорости по показанию ротаметра в таких условиях не превышала 3%. Основной частью рабочей установки являлся кварцевый реактор 10. Нижняя часть его 11, наполненная осколками кварца, служила подогревателем. Температура здесь поддерживалась на 300—350° С ниже, чем в реакционной зоне. Непосредственно крекинг осуществлялся в средней части реактора, заполненной теплоносителем — корундом. Диаметр частиц корунда варьировался от 0,1 до 0,8 мм, в зависимости от скорости газового потока. Для быстрой остановки реакции после выхода газа из псевдоожиженного слоя в реактор сверху над слоем подавалась холодная углекислота из колбы 7 в соотношении крекируемый газ /углекислота = 1/6 по объему. Измерение температуры в нижней и верхней частях реакционной зоны, а также в реакционной зоне производилось голым спаем платино-платинородневых термопар 9, 15. Показания термопар записывались быстродействующим электронным по-

тениометром ЭПП-09. Точность задания температуры во время опытов составляла $\pm 2-3^\circ$. Давление в реакторе определялось манометром и поддерживалось постоянным при помощи специального клапана 30 [10].

Перед началом опыта установка откачивалась диффузионным вакуумным насосом до 10^{-4} мм рт. ст., а реактор нагревался до нужной температуры. Затем газ из колб 5 через капиллярные краны 2 пускался в реактор, а сверху в зону над пиролизным слоем подавалась углекислота для охлаждения. Температура над реакционной зоной поддерживалась на $200-250^\circ$ ниже, чем в реакционной зоне. При этом специальными опытами было проверено, что углекислота не попадала в реакционную зону, и продукты конверсии углекислоты CO и H_2O в выходящих из реактора газах не обнаруживались.

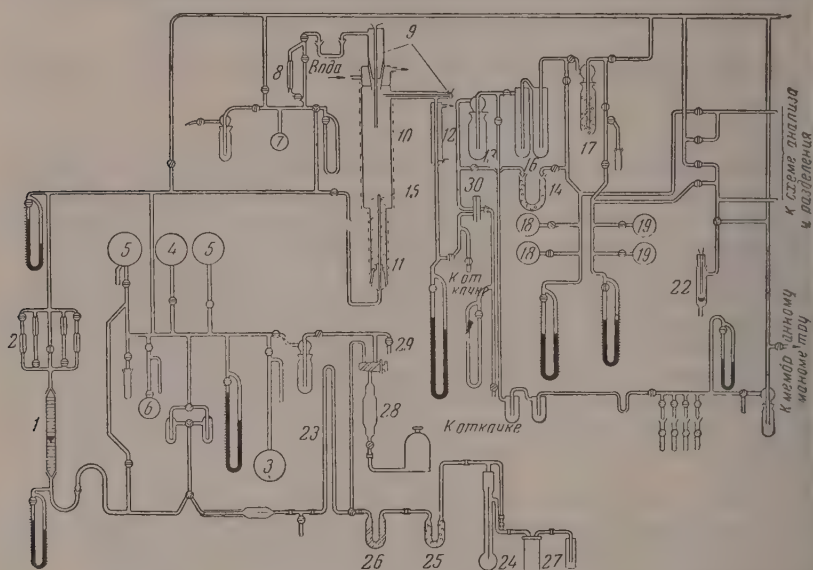


Рис. 1. Схема установки для крекинга. 1 — ротаметр; 2 — система капилляров с кранами; 3, 4, 5 — емкости с исходными газами; 6 — емкость для хранения C^*H_4 ; 7 — емкость с CO_2 ; 8 — капилляр для подачи CO_2 ; 9, 15 — термометры; 10 — реактор; 11 — подогреватель; 12 — холодильник; 13, 16, 20 — ловушки; 14 — ловушка с аскаритом; 17 — ловушка с активированным углем; 18, 19 — колбы для хранения полученных газов; 21 — пальцы на шифтах; 22 — пипетка с платиновой петлей для сожжения газов; 23 — колонка с углем для хроматографической очистки C^*H_4 ; 24 — реометр; 25, 26 — осушительные трубки; 27 — сосуд Дьюара с твердой углекислотой; 28 — решетка для отбора исходного C^*H_4 для очистки; 29 — линия для отбора C^*H_4 ; 30 — клапан для поддержания постоянного давления в реакторе.

Первые порции выходящего газа пускались в холостую линию, пока в реакторе не устанавливался стационарный поток газа. При этом регулировкой краном давление в реакторе поддерживалось на $10-15$ мм ниже давления в клапане, вследствие чего продукты реакции не проходили через клапан в рабочую линию. После установления стационарного потока холостая линия отключалась, давление в реакторе возрастало и клапан открывался. Одновременно включался секундомер. Отбор газа продолжался обычно $10-30$ сек.

Проходящие через клапан продукты реакции направлялись в ловушки. Первые три ловушки 13, 16 охлаждались жидким азотом и служили для улавливания конденсирующихся газов. Метан и водород собирались в четвертой ловушке 17, наполненной активированным углем и также охлаждаемой жидким азотом. После окончания опыта первые три ловушки отключались от четвертой, и газ размораживался в колбы известного объема. Для полной десорбции метана и водорода с угля четвертая ловушка длительное время прогревалась печкой при $200-250^\circ C$. Выделившиеся C^*H_4 и H_2 собирались в колбы 19 известного объема. Затем конденсирующаяся фракция отщепалась от углекислоты пропусканием ее через ловушку с аскаритом 14.

После окончания опыта реактор наполнялся кислородом и в нем выжигался кокс при $700^\circ C$. Затем кислород прокачивался через ловушки, охлаждаемые жидким азотом.

где вымораживалась углекислота от сгоревшего кокса. После операции выжи- кокса реактор наполнялся водородом и выдерживался при 900° 1, 5—2 часа для ния следов кислорода.

Исходная смесь этана и активного метана составлялась по давлению и пригото- вить сразу на большую серию опытов. Основная часть опытов была проведена на их

$$98\% \text{C}_2\text{H}_6 + 2\% \text{C}^{14}\text{H}_4 \left(\text{активность } 5,35 \cdot 10^3 \frac{\text{ИМП}}{\text{см}^3 \text{ и х. смеи}} \right)$$

$$97,0\% \text{C}_2\text{H}_6 + 3,0\% \text{C}^{14}\text{H}_4 \left(2,83 \cdot 10^4 \frac{\text{ИМП.}}{\text{см}^3 \text{ и х. смеи}} \right).$$

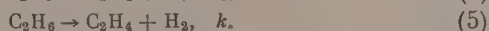
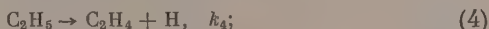
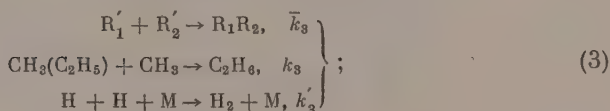
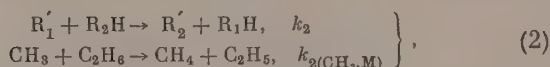
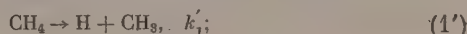
Этан получался электролизом уксуснокислого натрия. Очистка его осуществля- путем пропускания через бромную воду, щелочь и осушительную смесь и много- го вымораживания в жидком азоте с откачкой некоонденсирующихся примесей. чный этан не содержал примесей в пределах точности хроматографического ана-

Для анализа состава реакционных смесей и разделения их на отдельные компо- ны с учетом известных литературных данных была разработана хроматографиче- методика, и собран прибор, позволявший проводить операции отбора и замера в вакууме с высокой степенью точности. Искользованный метод позволял анализи- ть и количественно выделять из смеси следующие компоненты: H_2 , CH_4 , CO , C_2H_2 , C_3H_8 , C_3H_6 , $n\text{-C}_4\text{H}_{10}$, $i\text{-C}_4\text{H}_{10}$, C_4H_8 , C_4H_6 .

Подробное описание прибора и метода анализа здесь не приводится, так как оно тся в работах [11].

Активности полученных продуктов определялись в счетчиках Гейгера-Мюллера ренного наполнения.

Исходя из общепринятой [6] радикально-цепной схемы крекинга, ассматриваемом случае необходимо учитывать следующие реакции:



Поскольку крекинг проводился в условиях полного или почти полно- перемешивания, для определения концентраций различных продуктов ходу реакции достаточно написать уравнения сохранения. Так, для $[\text{C}_2\text{H}_6]$ имеем

$$[\text{C}_2\text{H}_6]_0 w_0 F = [\text{C}_2\text{H}_6] w F + k [\text{C}_2\text{H}_6] V \epsilon, \quad (6)$$

$[\text{C}_2\text{H}_6]_0$ — концентрация этана на входе, $[\text{C}_2\text{H}_6]$ — концентрация на оде из реактора, w_0 — отнесенная к температуре реакции скорость ового потока на входе в кипящий слой, w — средняя линейная ско- сти газового потока в кипящем слое, F — сечение реактора, V — объем ящего слоя, ϵ — доля свободного объема, k — суммарная константа ости крекинга этана.

Из (6) получаем

$$\frac{[\text{C}_2\text{H}_6]_0}{[\text{C}_2\text{H}_6] \alpha} = 1 + kt, \quad (7)$$

$\alpha = w/w_0$ — коэффициент расширения газа в результате крекинга, $V \epsilon / w F$ — приведенное время реакции.

Аналогичным образом можно написать соответствующие уравнения для продуктов

$$[\text{CH}_3] = \frac{2k_1 [\text{C}_2\text{H}_6] t + k_2 [\text{R}] t [\text{CH}_4]}{1 + k_2 (\text{CH}_3, \text{M}) [\text{M}] t + \bar{k}_3 [\text{R}] t}, \quad (6)$$

где $[\text{R}] = [\text{H}] + [\text{CH}_3] + [\text{C}_2\text{H}_5] + \dots$; $[\text{M}]$ — общая концентрация молекул;

$$[\text{CH}_3^*]^* = \frac{k_2 [\text{CH}_4^*] [\text{R}] t}{1 + k_2 (\text{CH}_3, \text{M}) [\text{M}] t + \bar{k}_3 [\text{R}] t};$$

$$[\text{C}_2\text{H}_5] = \frac{k_2 [\text{C}_2\text{H}_6] [\text{R}] t}{1 + k_2 (\text{C}_2\text{H}_5, \text{M}) [\text{M}] t + \bar{k}_3 [\text{R}] t + k_4 t};$$

$$[\text{R}] = \frac{1}{4\bar{k}_3 t} (\sqrt{1 + 16k_1\bar{k}_3 t [\text{C}_2\text{H}_6]} - 1);$$

$$\Delta = [\text{CH}_4^*]_0 - [\text{CH}_4^*] \alpha = [\text{CH}_4^*]_0 k_2 [\text{R}] t \left(1 - \frac{k_2 (\text{CH}_3, \text{M}) [\text{M}] t}{1 + k_2 (\text{CH}_3, \text{M}) [\text{M}] t + \bar{k}_3 [\text{R}] t} \right),$$

где Δ/α — сумма активностей единицы объема (см^3) продуктов крекинга, кроме метана, $[\text{CH}_4^*]_0$ и $[\text{CH}_4^*]$ — начальная и текущая концентрация меченого метана.

Константа скорости цепного образования C_2H_4 из C_2H_6 по реакции (4) определяется формулой:

$$k_c = \frac{k_4 [\text{C}_2\text{H}_5]}{[\text{C}_2\text{H}_6]} = \frac{k_4 k_2 [\text{R}] t}{1 + k_2 (\text{C}_2\text{H}_5, \text{M}) [\text{M}] t + \bar{k}_3 [\text{R}] t + k_4 t}.$$

Рассмотрим теперь опытные данные (табл. 1). Значения суммарной константы крекинга k определялись по формуле (7) и оказались равными 0,5 сек.⁻¹ при 770° С, 6 сек.⁻¹ при 840° С и 31 сек.⁻¹ при 890°. Эти значения не изменялись с увеличением глубины превращения (рис. 2). Таким

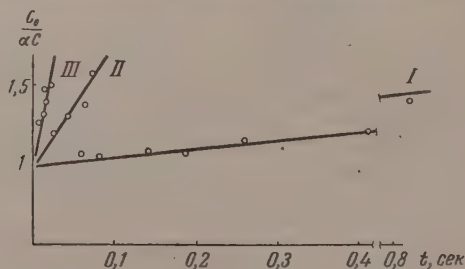


Рис. 2. Зависимость $\frac{C_0}{\alpha C} = \frac{[\text{C}_2\text{H}_6]_0}{\alpha [\text{C}_2\text{H}_6]}$ от t : I — 770°; II — 840°; III — 890° С

разом, в указанных условиях не наблюдалось известное для более низких температур явление самоторможения реакции. По найденным значениям k была вычислена энергия активации суммарного процесса -82 ± 2 ккал. Это значение примерно на 12—13 ккал больше энергии активации, определенной для более низких температур, что может быть объяснено изменением механизма крекинга в указанной области температур. В газах крекинга были найдены также C_3H_8 , C_3H_6 , газы фракции C_4 , C_2H_2 . Количество этих продуктов составляли 0,05% — 0,1%.

Кинетика накопления последних продуктов снималась только по изменению активности в соответствующих фракциях (табл. 3). Распределение активности в продуктах крекинга представлено в табл. 2.

* Звездочкой отмечены молекулы и радикалы, содержащие атом C^{14} .

Таблица 1

Приведенное время конт., сек.	T, °C	α	Состав отходящих газов в объемн. %*				
			C ₂ H ₆	C ₂ H ₄	CH ₄	H ₂	конс (CO ₂)
0,060	768	1,06	86,6	5,4	2,6	5,05	0,35
0,080	772	1,055	88,7	4,4	2,5	4,3	0,1
0,14	771	1,075	84,5	6,9	2,8	5,4	0,4
0,185	770	1,13	79,7	8,6	2,5	8,6	0,3
0,26	770	1,12	76,1	10,3	2,5	10,3	0,4
0,415	770	1,17	68,7	14,2	3,4	13,3	0,4
0,72	770	1,23	60,0	19,5	2,8	16,7	1,0
0,82	772	1,36	51,0	22,4	4,1	21,7	0,8
0,008	842	1,04	89,0	4,5	1,96	4,1	0,4
0,026	838	1,17	69,4	14,3	3,0	13,1	0,2
0,0415	841	1,25	59,5	18,3	4,0	17,9	0,3
0,0625	838	1,27	55,7	21,1	3,9	19,0	0,3
0,0735	838	1,38	45,3	25,6	4,4	24,2	0,4
0,0078	890	1,19	63,54	18,7	2,2	15,5	0,06
0,0117	890	1,23	58,8	20,5	3,2	17,4	0,1
0,0152	892	1,34	48,6	24,1	3,4	23,7	0,2
0,0156	890	1,38	50,2	22,5	4,2	22,6	0,5
0,0192	893	1,35	47,5	25,1	3,7	23,55	0,15

* Состав исходной смеси при 770 и 840°, 98% C₂H₆ + 2% CH₄*; при 890°, 97,0% H₂ + 3,0% CH₄*.

Таблица 2

Приведенное время обтанта, сек.	T, °C	Активность полученных газов Активность исходной смеси · 10 ³ *				
		C ₂ H ₆	C ₂ H ₄	C ₂	C ₄	CO ₂ (конс)
0,14	770±2	7,1±3,3	5,4±1,5	15,8	0,14	2,8±0,1
0,185		8,6±3,7	7,9±1,9	38	0,65	—
0,260		14,4±5,6	13,3±2,8	42,5	1,64	3,9±0,2
0,415		19±4,7	22±1,9	74	3,5	6,35±0,4
0,82		24±5,6	52±3,7	131	10,3	17,2±0,9
0,008	840±2	10,85±5	9,32±0,5	—	—	5,05±0,6
0,026		80,5±5	67,2±2	—	—	14,4±0,6
0,0415		80,5±3	93,5±5	140	—	28,8±0,3
0,0625		86±4	107±3	—	—	30,7±1,5
0,0735		75±4	135±5	250	—	—
0,0078	890±2	87	146,5	248	9,75	0,35
0,0117		99	162	271	13,9	4,25
0,0152		126	247	400	24,2	17,3
0,0156		124	254	402	24	14,2
0,0192		138	297	477	39,5	—

* В тех случаях, когда ошибка в измерении активности не указана, она не превышает 3%. В опытах при 840° активность фракций C₃* и C₄* определялась только в двух опытах. Удельная активность фракции C₃* была очень высока и составляла 300–600 имп./мм мин. при 770° и 1000–3000 имп./мм мин. при 890°. Удельные активности остальных продуктов составляли: фракции C₄* — 50–150 имп./мм мин., кокса — 10–60 имп./мм мин., этана 0,1–1,5 имп./мм мин., этилена 1–6 имп./мм мин.

Таблица

Состав фракции C_3^* и C_4^*

$$A = \frac{\text{Активность газа на см}^3 \text{ получ. смеси}}{\text{Активность исходной смеси (см}^3\text{)}} \cdot 10^3$$

T, °C	t, сек.	$A_{\Sigma C_3}$	C_2H_6		C_2H_4		$A_{\Sigma C_4}$	C_3H_8		C_4H_{10}		C_4H_8		$A_{C_4H_8}$
			$A_{C_2H_6}$	% от $A_{\Sigma C_3}$	$A_{C_2H_4}$	% от $A_{\Sigma C_3}$		$A_{C_3H_8}$	% от $A_{\Sigma C_4}$	$A_{C_4H_{10}}$	% от $A_{\Sigma C_4}$	$A_{C_4H_8}$	% от $A_{\Sigma C_4}$	
890	0,0156	402	200	51	190	49	24	—	—	2,2	9	12	50	9,8
830	0,057	136	69,5	58	50,5	42	12,8	—	—	—	—	—	—	—
800	0,115	85	54	67	27	32	5,25	—	—	—	—	—	—	—
782	0,185	40	—	—	—	—	3	—	—	1,2	40	1,0	33	0,8

При рассмотрении данных по активности различных продуктов необходимо учитывать, что метан являлся самым радиоактивным продуктом, концентрация $[CH_3^*]$ превосходила концентрации всех остальных активных радикалов, и $[R^*] \ll [R]$.

Изменение концентраций $[C_2H_5^*]$, $[C_3^*]$, $[C_4^*]$ по ходу реакции можно описать следующими формулами*:

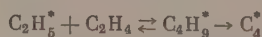
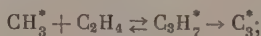
$$[C_2H_6^*] = \frac{k_3 [CH_3^*] [CH_3] t}{1 + k t}, \quad (1)$$

$$[C_3^*] = \frac{k_3 [CH_3^*] [C_2H_5] t}{1 + f_{C_2}(t) t}; \quad (2)$$

$$[C_4^*] = \frac{k_3 [C_2H_5] [C_2H_5^*] t}{1 + f_{C_4}(t) t}, \quad (3)$$

где $f_{C_2}(t)$ и $f_{C_4}(t)$ — функции уничтожения газов C_3^* и C_4^* .

Реакции образования C_3^* и C_4^* по схеме:



в данном случае несущественны**. Не учитывалась также реакция



Если бы образование C_4^* происходило таким путем, мы имели бы

$$1 + f_{C_4}(t) t \geq 1 + f_{C_3}(t) t; \quad (4)$$

* Анализ данных показал, что рекомбинация радикалов CH_3^* и CH_3 являлась основным источником получения $C_2H_6^*$.

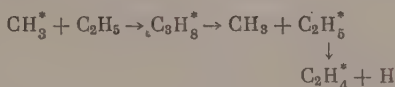
** Образование газов фракций C_4^* из $C_2^*H_4$ и $C_2^*H_4$ молекулярным путем можно, видимо, не учитывать, так как удельная активность C_4^* в 10—15 раз больше удельной активности $C_2^*H_4$ и $C_2H_6^*$.

$$\frac{[C_2H_5]}{[C_3H_7]} \leq \frac{[C_3^*]}{[C_4^*]} \approx 15, \quad (18)$$

гда как в действительности отношение $[C_3^*]/[C_4^*] \geq 10^2$.

Состав фракций $[C_3^*]$ и $[C_4^*]$ (табл. 3) также подтверждает принятый механизм их образования. Фракция C_3^* состоит на 60—70% из $C_3H_8^*$ и 1—30% $C_3H_6^*$. В C_4^* активные бутаны составляют 10—20%, а остальная активность приходится на бутены и дивинил. Если бы образование C_3^* и C_4^* шло в основном через C_3H_7 и C_4H_9 , количество C_3^* и C_4^* предельных должно было быть меньше.

Активность этилена в наших опытах значительно превосходила активность этана, что свидетельствует о том, что основное количество его образуется не из C_2H_6 , а из C_3^* :



$$[C_2H_4^*] = 2kt[C_2H_6^*] + \frac{1}{2}k_3[CH_3^*][C_2H_5]t - \frac{1}{2}[C_3^*], \quad (19)$$

где множитель $1/2$ определяет вероятность образования $[C_2H_4^*]$ из $[C_3H_8^*]$. Используя формулы (15), (16), (17) и не прибегая к какому-либо дополнительным соображениям, можно сразу получить оценку верхней границы значения k_c

$$k_c = \frac{k_d k_2 [R] t}{(1 + k_2(C_2H_6)_M)[M]t + k_3[R]t + k_4 t} < \frac{[C_3^*][C_2H_4^*]}{[C_4^*][CH_4^*]t}$$

при $[C_2H_4^*] \geq k_d[C_2H_6^*]t$.

При $770^\circ C$ $k_c < 0,01 \text{ сек.}^{-1}$, при $830^\circ C$ $k_c < 3 \text{ сек.}^{-1}$, т. е. доля ценной реакции в указанном интервале температур не превышает 5—10%.

Для определения точного значения констант элементарных процессов нами были привлечены термодинамические данные [12]. На основе этих данных были вычислены константы равновесия K_I :

$$K_I = \frac{[C_2H_4][H]^2}{[CH_4]^2} = \frac{(k'_1)^2}{k_1 k_3}$$

и $K_{II} = k_1/k_3$, значения которых оказались равными соответственно $0,111$ и $1,77 \cdot 10^9$ при $770^\circ C$, $4,57$ и $2,36 \cdot 10^{10}$ при 840° , 70 и $1,13 \cdot 10^{11}$ при $890^\circ C$ *. Предполагая, что рекомбинация осуществляется только путем двойных соударений, можно принять $k'_1 = 10^{13} e^{-101/RT}$ и вычислить значения k_3 , которые оказываются равными $7,1 \cdot 10^{-13}$ при $770^\circ C$; $6 \cdot 10^{-13}$ при 840° и $4,5 \cdot 10^{-13}$ при 890° и имеют отрицательный температурный ход [13]. Таким образом, константы рекомбинации при двойном соударении обладают стерическим фактором порядка 10^{-3} , и их величина при исследованном давлении мало отличается от обычно принимаемого значения констант рекомбинации путем тройного соударения, умноженного на $[M]$ ($\sim 5 \cdot 10^{-14}$). Поэтому мы определяли $k_1 \cdot k_3$, исходя из K_I ($2,8 \cdot 10^{-16}$ при 770° ; $2,14 \cdot 10^{-15}$ при 840° ; $9,35 \cdot 10^{-14}$ при 890°), уменьшив значение k'_1 примерно в три раза.

* В K_I и K_{II} приравниваются значения констант рекомбинации; концентрации всюду даются в молекулах на cm^3 .

Пользуясь найденными значениями $k_1 \cdot \bar{k}_3$ и полученными экспериментальными данными, можно определить некоторые константы элементарных процессов.

Применяя формулы (11) и (12), получаем прямые (рис. 3)

$$(1 + k_{2(\text{CH}_3, \text{M})} [\text{M}] t + \bar{k}_3 [\text{R}] t) \frac{\bar{k}_3}{k_2} = \frac{[\text{CH}_4]_0 \bar{k}_3 [\text{R}] t (1 + \bar{k}_3 [\text{R}] t)}{\Delta} = A.$$

Отрезки, отсекаемые прямыми на оси ординат, дают значение \bar{k}_3/k_2 , из тангенса наклона прямых находится $k_{2(\text{CH}_3, \text{M})}$. При 770° значение \bar{k}_3/k_2 оказалось настолько малым, что его не удалось определить, при 890° $k_2/\bar{k}_3 = 3,3 \cdot 10^{-2}$ и $k_{2(\text{CH}_3, \text{M})} = 4,0 \cdot 10^{-16}$.

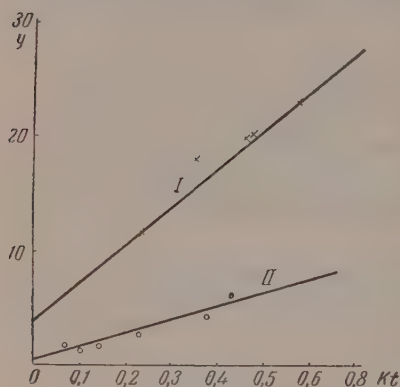


Рис. 3

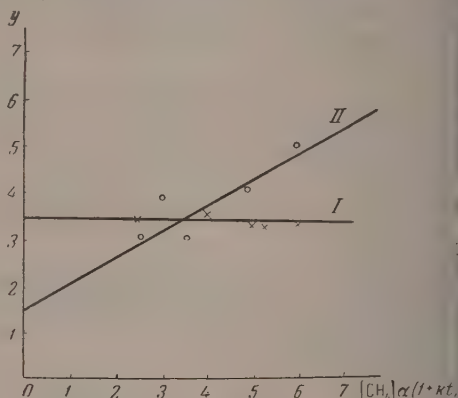


Рис. 4

Рис. 3. Зависимость $A = (1 + k_{2(\text{CH}_3, \text{M})} [\text{M}] t + \bar{k}_3 [\text{R}] t) \frac{\bar{k}_3}{k_2} = \frac{[\text{CH}_4]_0 \bar{k}_3 [\text{R}] t (1 + \bar{k}_3 [\text{R}] t)}{\Delta}$ от kt : I — 890°C , $y = 0,1 A$; II — 770° , $y = 10^{-4} A$

Рис. 4. Зависимость $\frac{k_3 \bar{k}_3}{k_2} \{2k_1 [\text{C}_2\text{H}_6]_0 + k_2 [\text{R}] [\text{CH}_4] \alpha (1 + kt)\} = [\text{C}_2\text{H}_6]^* \alpha^2 (1 + kt)^2 \times [\text{CH}_4]_0 \bar{k}_3 [\text{R}] (1 + \bar{k}_3 [\text{R}] t)^2 / t \Delta^2 = B$ от $[\text{CH}_4] \alpha (1 + kt)$; I — 890° , $y = 10^{-4} B$; II — 770° , $y = 10^{-5} B$

На рис. 4 представлена зависимость:

$$B = \frac{k_3 \bar{k}_3}{k_2} \{2k_1 [\text{C}_2\text{H}_6]_0 + k_2 [\text{R}] [\text{CH}_4] \alpha (1 + kt)\} = \frac{[\text{C}_2\text{H}_6]^* \alpha^2 (1 + kt)^2 [\text{CH}_4]_0 \bar{k}_3 [\text{R}] (1 + \bar{k}_3 [\text{R}] t)^2}{t \Delta^2}, \quad (20)$$

полученная из (8), (9), (12) и (14).

При 890° имеем прямую, параллельную оси абсцисс. Следовательно второе слагаемое, зависящее от t , пренебрежимо мало. Из отрезка, отсекаемого на оси ординат, определяется $k_1 k_3 = 2,33 \cdot 10^{-14}$, откуда $k_3/\bar{k}_3 = 2,5$. При 770° наблюдается явная зависимость B от t . По прямой II (рис. 4) можно определить $k_2/\bar{k}_3 = 2,5 \cdot 10^{-3}$ и $k_3 = 5,5 \cdot 10^{-13}$. Из тангенса наклона прямой II рис. 3 при $k_2/\bar{k}_3 = 2,5 \cdot 10^{-3}$ и $k_3 = \bar{k}_3$ получаем $k_{2(\text{CH}_3, \text{M})} = 2,2 \cdot 10^{-16}$ (при $k_3 > \bar{k}_3$ константа имела бы отрицательный температурный ход). Энергия активации процесса (2) получается равной 12 ± 2 ккал. Пользуясь уравнением (20) определяем при 770° значение $k_1/k_3 = 1,2 \cdot 10^9$, хорошо совпадающее с термодинамическим расчетом, значе-

$k_1 = 6,6 \cdot 10^{-4}$, согласующееся с литературными данными [14] и $[R] = 10^{13}$ молекул/см³.

Далее, используя (19), (14), (15), находим

$$\frac{[C_2H_5]}{[CH_3]} = \frac{[C_3^*] + 2[C_2H_4^*] - 2kt[C_2H_6^*]}{[C_2H_6^*](1 + kt)} \quad (21)$$

при 770° $[C_2H_5]/[CH_3] = 4,8$, при 890° $[C_2H_5]/[CH_3] = 4,5$. Из (21), (8) и (10) определяем $k_4 = 1,3 \cdot 10^3$ при 890° и $2,5 \cdot 10^2$ при 770°.

Зная значения элементарных констант, можно определить точное значение $k_c = 1,05$ при 890° и $1,2 \cdot 10^{-2}$ при 770°. Таким образом, действительно доля цепной реакции в исследуемом интервале температур не превышает 2—3%.

Рассматривая полученные значения констант элементарных процессов $R_1 + R_2H \rightarrow R_2 + R_1H$ (k_2), рекомбинации (k_3), распада этильного радикала (k_4), необходимо отметить характерную особенность: значение экспоненциальных множителей констант оказывается примерно в 10 раз меньше значений, следующих из элементарной кинетической теории газов. В литературе имеется целый ряд указаний на наличие стерического фактора порядка 10^{-3} у констант реакции типа (2) и (3) [13], однако для реакций типа (4) стерические факторы такого порядка не отмечены. Необходимо подчеркнуть, что основной результат о соотношении цепных и нецепных процессов, полученный в работе, не изменится, если значения элементарных констант увеличить в 10^3 раз, так как в определении k_c/k входит отношение констант.

Выводы

1. Изучена кинетика крекинга этана с добавками 2% меченого метана в температурах 770—890° С с применением специально разработанной методики.
2. Показано, что в этих условиях доля цепного превращения этана в этилен не превышает 5%. При этом отсутствует характерное для низкотемпературного крекинга (500—650° С) явление самоторможения реакции. Уменьшение доли цепных реакций обуславливает уменьшение влияния этилена на процесс крекинга.
3. В исследованных условиях реакция протекает по первому порядку, энергия активации процесса составляет 82 ± 2 ккал/моль.
4. Полученное значение константы скорости процесса $CH_3 + C_2H_6 \rightarrow CH_4 + C_2H_5$, указывает на наличие стерического фактора порядка 10^{-3} для этой реакции. Величина энергии активации этого процесса 12 ± 2 ккал согласуется с литературными данными.
5. Константа рекомбинации, найденная экспериментально и полученная расчетом с привлечением термодинамических данных, примерно в 10^2 раз меньше значения, найденного при низких температурах.
6. Значение, полученное для константы скорости распада этильного радикала, в 10^3 раз меньше величины, следующей из элементарной кинетической теории газов.

Академия наук СССР
Институт нефтехимического
синтеза

ЛИТЕРАТУРА

1. Н. Н. Семенов, О некоторых проблемах химической кинетики и реакционной способности, Изд-во АН СССР, 1954.
2. В. А. Полторак, В. В. Воеводский, Докл. АН СССР, 91, 589, 1953.
3. А. Д. Степухович, Ж. физ. химии, 26, 1419, 1952.
4. O. F. Rice, R. E. Varnerin, J. Amer. Chem. Soc., 76, 324, 1956.
5. C. N. Hinshelwood and oth. Proc. Roy. Soc. 229, 143, 1955; 240, 333, 1957.

6. E. W. R. Steacie, Atomic and free radical creation, No. 3, 1954.
7. А. Д. Степухович, Докл. АН СССР, **92**, 373, 1953.
8. А. М. Бродский, Р. А. Калинин, К. П. Лавровский, В. Б. Титов, Докл. АН СССР, **116**, 789, 1957.
9. А. М. Бродский, Р. А. Калинин, К. П. Лавровский, В. Б. Титов, Докл. АН СССР, **117**, 1010, 1957.
10. Ю. Б. Шарвин, Заводск. лаборатория, № 10, 1261, 1955.
11. А. М. Бродский, Р. А. Калинин, К. П. Лавровский, мия и хим. технол. топлива, № 8, 18, 1956.
12. E. D. Rossini and oth., Selected values of physical and thermodynamic properties of hydrocarbons and related compounds, Pittsburg, 1953. А. М. Гурва, А. В. Форст, Уч. зап. МГУ, № 164, 129, 1953. Я. Б. Зельдович, А. И. Полярыный, Расчеты тепловых процессов при высокой температуре. Изд. Бюро новой техники. М., 1947.
13. R. V. Ingold, T. R. Lessing, J. Chem. Phys., **21**, 1135, 1953.
14. C. H. Leigh, M. Szwarcz, G. Bigeleisen, J. Amer. Chem. Soc., **77**, 2193, 1955.

ON THE MECHANISM OF THE HIGH TEMPERATURE CRACKING OF ETHANE

A. M. Brodsky, R. A. Kalinenko, K. P. Lavrovsky and V. B. Titov

(Moscow)

Summary

The mechanism of ethane cracking at 770—890°C has been studied with the aid of tracer atoms in a reactor with intensive stirring. It has been shown that in this case the chain process fraction of ethane to ethylene conversion does not exceed 5%. Under the above conditions the reaction is of the first order with an over-all activation energy 82 ± 2 kcal. No self-retardation takes place with increasing amount of conversion. Small values (10^{-3} and 10^{-2}) have been obtained for the sterical factors for bimolecular radical reactions between radicals and molecules and for radical recombination.

ПРИМЕНЕНИЕ ИОНООБМЕННЫХ СМОЛ В КАЧЕСТВЕ
КАТАЛИЗАТОРОВ В ОРГАНИЧЕСКОМ СИНТЕЗЕ*Н. С. Рабовская*

За последние десять-пятнадцать лет появилось много работ, посвященных применению ионообменных смол в качестве катализаторов в органическом синтезе [1—5], и несколько обзорных статей [6—8]. Большинство этих работ заключается в замене обычно применяемых расщепляемых кислот и оснований на катионо- и анионообменные смолы. Преимущества такой замены очевидны: ионообменные смолы не вызывают коррозии аппаратуры, легко отделяются от продуктов реакции простой фильтрацией или даже декантацией, могут быть многократно использованы в периодических процессах, поддаются регенерации, удобны для использования в непрерывном процессе, отличаются селективностью, не вызывают осмоления, приводят к высоким выходам основного продукта, резко снижая образование побочных процессов.

Нами была проверена возможность использования ионитов в качестве катализаторов реакции этерификации этиленгликоля уксусной кислотой (рис. 1). В нашем распоряжении имелось три образца катионитов: КУ-1, КУ-2 и СГ-1 (первые два — сульфокатиониты, последний — карбоксильный катионит). Испытание этих образцов показало, что их каталитическая активность падает в следующем порядке: КУ-2 > КУ-1 > СГ-1 (рис. 1). Все дальнейшие исследования проводились с катионитом КУ-2.

Этерификация этиленгликоля уксусной кислотой осуществлялась в трехгорлой колбе, снабженной мешалкой, термометром и обратным холодильником. В колбу, помещенную в водяную баню, вносили 1 моль этиленгликоля, 2 моля уксусной кислоты и 1% от веса реакционной массы КУ-2*. Через каждые 30 мин. отбирали 1 мл реакционной смеси и титрованием 5 N NaOH определяли остаточную кислотность. Результаты наблюдения за процессом этерификации в присутствии КУ-2 при сравнении с процессом, проводимым в присутствии серной кислоты и без катализатора, представлены на рис. 1.

Для достижения максимальных выходов эфира этерификация этиленгликоля уксусной кислотой проводилась также в присутствии бензола для отгона воды. Для этой цели использовалась двухгорлая колба, снабженная ловушкой Дина — Старка с обратным холодильником и термометром. Количество воды, накопленное в ловушке, периодически замерялось. По выделению воды во времени судили о кинетике процесса, а по общему количеству выделившейся воды — о глубине реакции. Из рис. 2 видно, что в присутствии катионита и серной кислоты образуется диацетат этиленгликоля, в то время как в отсутствие катализатора реакция идет лишь до образования моноэфира.

Ниже приводятся данные, из которых видно, что фракция, соответствующая диэфиру, полученному в присутствии катализатора, действительно содержит в основном полный эфир этиленгликоля, а фракция, соответствующая моноэфиру, полученному в отсутствие катализатора, содержит моноэфир с небольшой примесью диэфира:

* Предварительными опытами было показано, что количество катионита, начиная с 0,5% от веса реакционной массы, практически не влияет на процесс.

Диацетат этиленгликоля (т. кип. 190,5 °С)	$d_{20}^{20} -1,090$	$d_D^{20} -1,4159$	Растворим в 7 объемах воды
Фракция 185—189 °С, вы- деленная из продукта, полученного в присут- ствии КУ-2	$d_{20}^{20} -1,091$	$n_D^{20} -1,4152$	Не смешивается с во- дой при разведении 1:1 и 1:3
Моноацетат этиленгли- коля, т. кип. 180 °С	$d_{20}^{20} -1,080$	$n_D^{20} -1,4252$	Смешивается с водой
Фракция 178—185 °С, вы- деленная из продукта, полученного в отсут- ствии катализатора	$d_{20}^{20} -1,1082$	$n_D^{20} -1,4210$	Смешивание с водой (при соотношении: 1:3 — прозрачный, при 1:1 — мутный)

Срок службы смолы КУ-2 определялся испытанием ее активнос- в ряде последующих циклов. Девятикратное применение (дного и того) образца смолы КУ-2 не уменьшило ее активности. Некоторое паден активности наблюдалось при десятикратном использовании образц

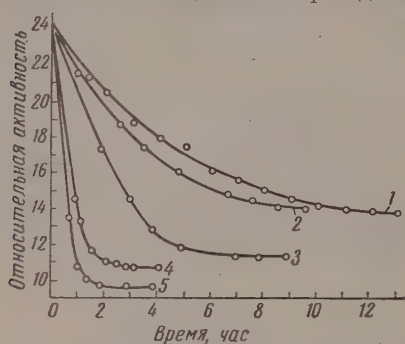


Рис. 1

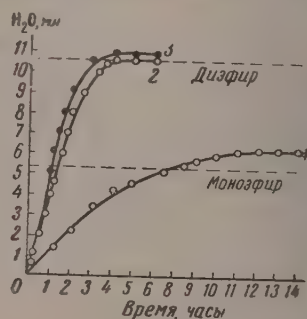


Рис. 2

Рис. 1. Сравнение относительных активностей катионитов СГ-1, КУ-1, КУ-2 и серной кислоты при этерификации этиленгликоля уксусной кислотой: 1 — без катализатора; 2 — СГ-1; 3 — КУ-1; 4 — КУ-2; 5 — H_2SO_4

Рис. 2. Скорость отгона воды при процессе этерификации этиленгликоля уксусной кислотой: 1 — без катализатора; 2 — КУ-2; 3 — H_2SO_4

одиннадцатый цикл показал почти полную ее потерю. Интересно отметить, что после шестидневного перерыва активность этого образца полностью восстановилась.

Рид и Венцель [10] и Гамильтон и Метцнер [11] провели парофазную гидратацию окиси этилена в присутствии катионнообменных смол в качестве катализаторов.

Нами были получены: этиленгликоль жидкофазной гидратацией окиси этилена, низшие моноэфиры этиленгликоля (метил- и этилцеллозоль) этерификацией окиси этилена в присутствии ионообменных смол. Реакция проводилась в исключительно мягких условиях — при атмосферном давлении и комнатной температуре. Было показано, что даже при 0° окись этилена в присутствии некоторых ионитов способна присоединять воду и низшие спирты. В отличие от первого случая [9] на скорость реакции окиси этилена с веществами, содержащими активный водород, существенное влияние оказывает количество взятого ионита (рис. 3).

В качестве катализаторов реакции гидратации окиси этилена были испытаны пять образцов ионитов советских марок: катиониты СГ-1, КУ-

КУ-2 и аниониты ЭДЭ-10 и АВ-16. Эффективными оказались только КУ-1 и КУ-2 (рис. 4). Хотя реакция в присутствии этих катонитов достаточно хорошо протекала при 25°, повышение температуры до 50° благоприятно влияло на скорость реакции.

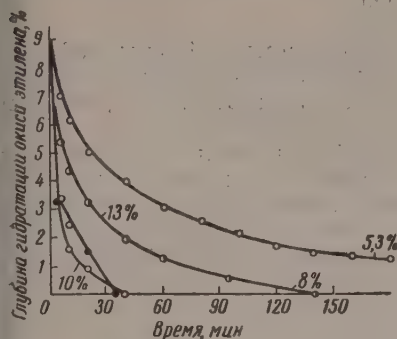


Рис. 3

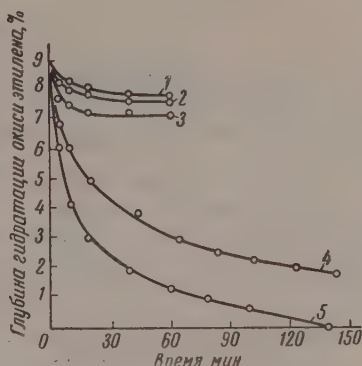


Рис. 4

рис. 3. Гидратация окиси этилена при 25°С и молярном соотношении воды к ОЭ, равном 23, в присутствии различных количеств КУ-1: 1—5,3%; 2—8%; 3—10%; 4—13%

рис. 4. Гидратация окиси этилена при 25°С и молярном соотношении воды к ОЭ, равном 23, в присутствии различных образцов ионитов, взятых в количестве 5,3% веса реакционной массы: 1—ЭДЭ-10; 2—СГ-1; 3—АВ-16; 4—КУ-1; 5—КУ-2

Одним из основных преимуществ использования ионитов является их селективность по отношению к основному и побочным процессам. Рис. 5 иллюстрирует это на примере гидратации и этерификации окиси этилена. Скорость реакции взаимодействия окиси этилена (ОЭ) с водой, этиленгликолем (ЭГ) и диэтиленгликолем (ДЭГ) в присутствии КУ-1 падает в ряду: $(\text{ОЭ} + \text{H}_2\text{O}) > (\text{ОЭ} + \text{ЭГ}) > (\text{ОЭ} + \text{ДЭГ})$, в то время как те же реакции в присутствии серной кислоты идут практически с одинаковой скоростью. То же самое можно сказать и о реакциях ОЭ с этиловым спиртом и этилцеллозольвом в присутствии КУ-1 (штрих-пунктирные кривые 1 и 2).

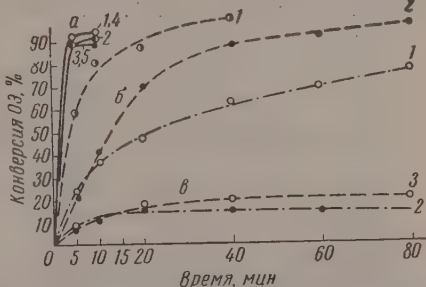


Рис. 5. Скорость основных и побочных процессов при 25° при гидратации и этерификации окиси этилена: а — в присутствии КУ-1: 1—(ОЭ + вода); 2—(ОЭ + ЭГ); 3—(ОЭ + ДЭГ); 1—(ОЭ + этанол); 2—(ОЭ + этилцеллозольв); 6—в присутствии H_2SO_4 : 1—(ОЭ + вода); 2—(ОЭ + ЭГ); 3—(ОЭ + ДЭГ); 4—(ОЭ + этанол); 5—(ОЭ + этилцеллозольв)

Для оценки срока службы катализатора вышеупомянутые реакции проводились непрерывным способом, заключающимся в пропускании смеси реагирующих веществ через колонку со скоростью примерно 3 л/кат. час при постоянной температуре. Было показано, что в случае гидратации ОЭ выход основного продукта составляет 95%, а в случае этерификации метиловым или этиловым спиртом — примерно 90%. Однако срок службы катализатора при этом оказался очень небольшим. Отмывка смолы от ионов железа, защита смолы от контакта с железом в колонке и повышение температуры до 50° лишь незначительно его увеличили. Через 5—6 час. от начала реакции емкость КУ-1 и КУ-2 по NaOH падала на 70—80%. Со-

держане серы при этом также снижалось на 30—40%. Обработка соляной кислотой почти не увеличивала емкости смолы.

Считаю своим приятным долгом выразить благодарность Г. А. Разваеву за проявленный интерес и ценные указания.

Выводы

1. Скорость этерификации этиленгликоля уксусной кислотой в присутствии катионита КУ-2 в 3—4 раза больше, чем скорость этой реакции в отсутствие катализатора, и равна скорости процесса в присутствии серной кислоты.

2. На примерах гидратации и этерификации окиси этилена показано, что скорость основных процессов в присутствии катионитов КУ-1 и КУ-2 значительно превышает скорость побочных реакций, в то время как серная кислота в равной мере ускоряет основные и побочные процессы в обоих случаях. Однако сроки службы катализаторов КУ-1 и КУ-2 очень малы.

Центральная лаборатория завода «Заводстрой»
г. Дзержинск

ЛИТЕРАТУРА

1. Sussman, *Industr. and Engng Chem.*, **38**, 1228, 1946.
2. Патент США 2678332, 1954.
3. Billimeria, *MacLagen*, *J Chem. Soc.*, 3257, 1954.
4. Smith, *Industr. and Engng Chem. News.*, **29**, 2949, 1951.
5. C. J. Schmidle, R. L. Mansfield, *Industr. and Engng Chem.*, **44**, 1388, 1952.
6. Kressman, *Manufact. Chemist.*, № 11, 454, 1956.
7. F. X. McGarvey, Kunin, *Ion Exchange Technology*, Edited by F. C. Nachod and Jack Shubert. New York, 1956, p. 27.
8. R. Glénat, *Chimie et industrie*, **75**, 292, 1956.
9. Н. С. Рабовская и В. Н. Кучеровская, *Тр. по химии и химической технологии*, Горький, вып. 1, 190, 1958.
10. L. M. Reed, L. A. Wenzel, J. B. O'Hare, *Industr. and Engng Chem.*, **48**, 205, 1956.
11. G. E. Hamilton a. A. B. Metzner, *Industr. and Engng Chem.*, **49**, 838, 1957.

ION-EXCHANGE RESINS AS CATALYSTS OF ORGANIC SYNTHESIS

N. S. Rabovskaia (Dzerzhinsk)

Summary

Esterification of ethylene glycol has been carried out by acetic acid in the presence of the ion-exchange resin, KY-2, to give ethylenglycol diacetate. The rate of esterification was about 3—4 times greater than that in the absence of the catalyst and was equal to the esterification rate in the presence of sulfuric acid.

In the presence of KY-1 and KY-2, ethylen oxide has already been capable to add water and lower aliphatic alcohols at atmospheric pressure and room temperature.

The hydration of ethylen oxide was taken as an example to show that in the presence of cation-exchanged resins the rate of the main processes is considerably greater than that of the side processes whereas sulfuric acid provides equal acceleration for both.

ПРИНЦИП СТРУКТУРНОГО СООТВЕТСТВИЯ
И КАТАЛИТИЧЕСКИЕ СВОЙСТВА РЕНИЯ

*А. А. Баландин, Е. И. Карпейская
и А. А. Толстомятова*

Для мультиплетной теории необходимым условием осуществления катализа является структурное соответствие между реагирующей молекулой и кристаллической решеткой катализатора [1]. Это положение основано на том, что валентные силы имеют малый радиус действия, и, следовательно, для катализа необходимо наложение реагирующих атомов на решетку катализатора. Атомы реагирующей молекулы располагаются в промежутках между атомами катализатора, занимая места, которые в ходе каталитической реакции были бы заняты атомами катализатора.

Требование сохранения валентного угла в мультиплетном комплексе приводит к тому, что для каждой группы каталитических реакций должно существовать известный оптимум межатомных расстояний в решетке катализатора. Особенно строгих ограничений требует дегидрогенизация алифатических углеводородов. Каталитическая дегидрогенизация гексаметиленовых углеводородов с одновременным отрывом 6 атомов водорода возможна лишь при плоском наложении шестичленного кольца на поверхность катализатора. Соответствующее расположение атомов мы находим на октаэдрической грани границентрированных кубов (решетка $Fm\bar{3}m$) или на базопинакоидах гексагональных решеток ($A3$), где атомы образуют правильные треугольники. Соответствующие атомные радиусы ($r = 1,38 \text{ \AA}$) мы находим у металлов Pt, Pd, Ir, Rh, Co, Ni с решеткой $Fm\bar{3}m$ и у Os, Ru, Co, Ni с решеткой $A3$, являющихся прекрасными катализаторами дегидрогенизации гидроароматических углеводородов.

Исходя из мультиплетной теории, можно предсказать, что рений должен обладать дегидрирующими свойствами, так как он имеет решетку с параметрами $a = 2,740$ и $c = 4,448 \text{ \AA}$, т. е. его атомный радиус равен $1,37 \text{ \AA}$.

М. С. Платонов [2] в тезисах к докладу на Каталитической конференции 1940 г. сообщил, что рений дегидрирует циклогексан при температуре $300-350^\circ$. Поскольку сам доклад не был сделан, экспериментальные данные — условия процесса и метод приготовления катализатора — остаются неизвестными. Катализатор, описанный М. С. Платоновым [3], вызывал дегидрогенизацию спиртов только при $400-450^\circ$. На этом катализаторе дегидрогенизация циклогексана вряд ли возможна.

Как указывалось в нашей работе [4], рений, приготовленный по «азотистому» методу М. С. Платонова, и ряд рениевых катализаторов, полученных иным способом, не проводили дегидрогенизации циклогексана. Это можно было объяснить как неспособностью рения вызывать дегидрогенизацию алифатических углеводородов, так и тем, что не удалось получить соответствующую структуру поверхности катализатора. Второе предположение оказалось правильным. Нанесение рения на окись алюминия уже дало положительный эффект, хотя и небольшой. Процент превращения составляет $3-7\%$, температура $440-510^\circ$. Значительные количества циклогексана, получающегося на катализаторе $\text{Re-Al}_2\text{O}_3$, говорят в пользу дублетного, а не секстетного механизма дегидрогенизации. Таким образом и в

данном случае мы не получили необходимой для плоскостного дегидрирования структуры.

Катализаторы, полученные нанесением рения на активированный уголь (из NH_4ReO_4), оказались активными в отношении дегидрогенизации циклогексана [4, 5]. Дегидрогенизация протекает по нулевому порядку, причем относительные адсорбционные коэффициенты бензола и водорода равны соответственно 1 и 0 и в интервале 350—400° не зависят от температуры. Энергия активации $\epsilon = 12,8$ ккал/моль. Механизм — секстетный.

Специфичность действия носителя, ярко проявившаяся в данном случае, требует своего объяснения. По-видимому, требуется известное соотношение параметров катализатора и носителя: так, соотношение межатомных расстояний $\text{Re} - \text{Re}/\text{C} - \text{C}$ составляет $2,740/1,45 = 1,89$. Отклонение от целочисленного значения два равно — 5,8%. Соотношение $\text{Re} - \text{Re}/\text{O}$ для Re на Al_2O_3 составляет $2,740/2,64 = 1,04$.

Отклонение от целочисленного значения единица равно +3,8%. Сравнение с известными активными катализаторами Pt/C , $\text{Ni}/\text{Al}_2\text{O}_3$ и показывает, что требуются отношения, близкие к целочисленным и близкие отрицательные отклонения, следствием которых является некоторое растягивание решетки.

В настоящей работе был получен более активный ренийевый катализатор Re/C из $\text{Re}_2\text{O}_7 \cdot x\text{C}_4\text{H}_8\text{O}_2$, на котором изучалась дегидрогенизация циклических углеводородов.

Экспериментальная часть

Катализаторы. Re/C . Металлический рений окислялся кислородом при 500°. К полученной семиокиси рения прибавлялся диоксид азота. Расчет 4 мл диоксида на 1 г Re_2O_7 . Белый осадок $\text{Re}_2\text{O}_7 \cdot x\text{C}_4\text{H}_8\text{O}_2$ растворялся в абсолютном метаноле. Концентрация рения в полученном растворе определялась либо титрованием щелочью с метилоранжем или фенолфталеином, либо весовым методом при помощи нитрона. Березовый уголь пропитывался этим раствором, высушивался на водяной бане и нагревался в токе водорода при 500° в течение нескольких часов. Содержание рения — 30 вес. %.

$\text{Re} - \text{асбест}$. 1,3 г асбеста пропитывался раствором $\text{Re}_2\text{O}_7 \cdot x\text{C}_4\text{H}_8\text{O}_2$ в метаноле, растворитель упаривался на водяной бане. Восстановление проводилось при 500°. Содержание рения — 35 вес. %.

Методика эксперимента. Дегидрогенизация углеводородов проводилась на обычной установке проточного типа. О скорости реакции судили по скорости выделения газа (m , мл/мин). Газ анализировался на аппарате ВТИ. Состав катализата определялся по показателю преломления, содержание непредельных устанавливалось методом бромных чисел.

Таблица 1

Дегидрогенизация циклогексана Re/C .

Объем катализатора 10 мл. Скорость подачи 0,20 мл/мин. $A = 12,4$ мл газа/мл кат. мин. $\epsilon = 7,8$ ккал/моль, $k_0 = 1,7 \cdot 10^4$

Температура газа, °C	m , мл/мл кат. мин.	Анализ газа, объемн. %		$\lg k_0$	$\epsilon/\lg k_0$	m , вычисл. по ϵ и k_0
		H_2	C_2H_4			
246	0,98	88,6	11,4	3,25	2,40	0,90
272	1,35	90,0	10,0	3,25	2,40	1,29
281	1,49	88,0	12,0	3,24	2,41	1,45
284	1,50	88,2	11,8	3,22	2,46	1,48
341	2,70	86,4	13,6	3,19	2,44	2,82

Среднее $3,23$ | $2,42$

Дегидрогенизация циклогексана на Re/C проводится в интервале 250—340°. Газообразные продукты реакции состояли из водорода и предельных углеводородов, главным образом метана. Как видно из табл. 1, состав газа почти не меняется с температурой. Энергия активации дегидрогенизации равна 7,8 ккал/моль. Непредельные углеводороды в катализате не были обнаружены.

Нанесение рения на асбест диоксановым методом также привело к катализатору, способному дегидризовать циклогексан, хотя и гораздо менее активному (табл. 2). Энергия активации сохраняет то же значение — 7,8 ккал/моль. Количество предельных углеводородов в газе также не меняется с температурой и составляет ~10%. Интересно, что катализатор, полученный нанесением рения на асбест из рениевой кислоты, оказался совершенно неактивным [5]. Таким образом получение нужной структуры зависит не только от носителя, но и способа приготовления катализатора. Однако высокая температура процесса, значение величины

Таблица 2

Дегидрогенизация циклогексана Re/асбест.

Объем катализатора 10 мл. Скорость подачи 0,20 мл/мин.
 $A = 12,4$ мл/мл кат. мин. $\epsilon_H = 7,8$ ккал/моль $k_0 = 2,7 \cdot 10^2$

Температура, °C	m , мл/мл кат. мин.	$\lg k_0$	$\epsilon/\lg k_0 \cdot 10^{-3}$	m , вычисл. по ϵ и k_0	Вес. % циклогексана
333	0,41	2,43	3,21	0,42	1,30
359	0,54	2,43	3,21	0,55	1,16
376	0,66	2,46	3,18	0,65	1,28
396	0,73	2,44	3,20	0,78	1,50
404	0,72	2,37	3,29	0,81	—
416	0,87	2,42	3,22	0,85	1,56

Среднее: 2,42 | 3,22

$\lg k_0 = 3,22 \cdot 10^3$ и наличие в катализате циклогексана указывают на то, что дегидрогенизация циклогексана на Re/асбест протекает как по секционному, так и по дублетному механизму.

Дегидрогенизация метилциклогексана проводится на катализаторе Re/C в интервале 270—320° (табл. 3). В противоположность циклогексану при дегидрогенизации метилциклогексана образование метана в газе зависит от температуры, причем деметилирование,

Таблица 3

Дегидрогенизация метилциклогексана Re/C.

Объем катализатора 10 мл. Скорость подачи 0,20 мл/мин.
 $A = 10,7$ мл/мл кат. мин. $\epsilon_{H_2} = 10,3$ ккал/моль; $k_{O, H_2} = 8,7 \cdot 10^3$

Температура, °C	m , мл/мл кат. мин.	Анализ газа, объемн. %		$\lg k_{O, H_2}$	$\frac{\epsilon_{H_2}}{\lg k_{O, H_2}} \cdot 10^{-3}$
		H ₂	CH ₄		
267	0,59	92,4	7,6	3,93	2,62
285	0,81	88,4	11,6	3,95	2,61
302	1,08	84,2	15,8	3,95	2,61
316	1,31	82,5	17,5	3,94	2,61

Среднее | 3,94 | 2,61

Таблица 4

Дегидрогенизация этилциклогексана Re/C.

Объем катализатора 10 мл. Скорость подачи 0,10 мл/мин, $A = 4,8$ мл/мл кат. мин. $\epsilon_{H_2} = 12,6$ ккал/моль; $k_{O, H_2} = 3,5 \cdot 10^5$

Температура, °C	m, мл мл кат. мин.	Анализ газа в обмен. %		$\lg k_{O, H_2}$	$\epsilon/\lg k_{O, H_2} \cdot 10^{-3}$
		H ₂	CH ₄		
286	0,39	91,3	8,7	4,53	2,78
322	0,80	90,0	10,0	4,55	2,77
339	1,11	86,0	14,0	4,55	2,77
388	2,23	77,7	22,3	4,51	2,79

Среднее: 4,54 | 2,78

по-видимому, не имеет места, так как катализат дает отрицательную пробу на бензол с цианидом никеля. Непредельные в катализате отсутствуют. Энергия активации дегидрогенизации $\epsilon_{H_2} = 10,3$ ккал/моль.

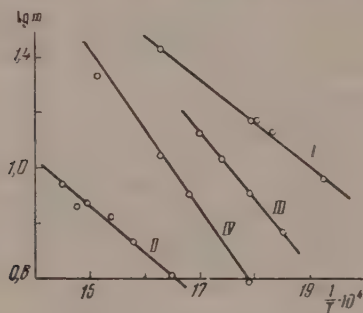


Рис. 1. Дегидрогенизация циклических углеводородов на Re: I — циклогексан на Re/C; II — циклогексан на Re/асбест; III — метилциклогексан на Re/C; IV — этилциклогексан на Re/C

Дегидрогенизация этилциклогексана произошла в интервале 286—388°. Состав газа, так же как в случае метилциклогексана, зависит от температуры. В катализате обнаружены небольшие количества непредельных углеводородов (1—1,2%). Отсутствие серола в катализате показано при помощи ультрафиолетовых спектров. Проба с цианидом никеля на бензол — отрицательна. Энергия активации дегидрогенизации — 12,6 ккал/моль.

Как показано на рисунке скорость дегидрогенизации уменьшается с увеличением молекулярного веса углеводорода, а энергия активации возрастает.

Выводы

1. Получен ренийевый катализатор, вызывающий дегидрогенизацию циклических углеводородов.
2. Исследована кинетика дегидрогенизации циклогексана, метилциклогексана и этилциклогексана на этом катализаторе.
3. Показано, что скорость дегидрогенизации уменьшается в ряду циклогексан, метилциклогексан, этилциклогексан. В этом же ряду увеличивается энергия активации.

Академия наук СССР
Институт органической химии
им. Н. Д. Зелинского

ЛИТЕРАТУРА

- А. А. Баландин, ЖРХО, **61**, 909, 1929.
М. С. Платонов, Тезисы докладов на конференции по гетерогенному катализу, Москва, 1940, стр. 35.
М. С. Платонов, В. И. Томилов, Ж. общ. химии, **7**, 776, 778, 1937.
А. А. Баландин, Е. И. Карпейская, А. А. Толстопятова. Изв. АН СССР, Отд. хим. н., 1365, 1959.
А. А. Баландин, Е. И. Карпейская, А. А. Толстопятова, Изв. АН СССР, Отд. хим. н., 1529, 1959.
-

THE PRINCIPLE OF STRUCTURAL CORRESPONDENCE AND THE
CATALYTIC PROPERTIES OF RHENIUM

A. A. Balandin, E. I. Karpeiskaia and A. A. Tolstopiatova (Moscow).

Summary

A rhenium catalyst dehydrogenating cyclic hydrocarbons has been prepared. The authors studied the kinetics of dehydrogenation of cyclohexane, methylcyclohexane, and ethylcyclohexane. With increase in the molecular weight of the hydrocarbon the rate of reaction is reduced and the activation energy rises.

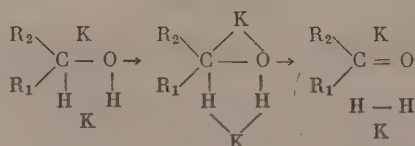
ВЛИЯНИЕ СТРОЕНИЯ МОЛЕКУЛ СПИРТОВ НА КИНЕТИКУ ИХ ДЕГИДРОГЕНИЗАЦИИ

А. А. Баландин, О. К. Богданова и А. П. Щеглова

В настоящей работе исследовалась кинетика дегидрогенизации ряда спиртов разного строения на окисном катализаторе: этилового, *n*-пропилового, *n*-бутилового, аллилового, изоамилового, изопропилового, бензилового и β -фенилэтилового. Опыты проводились по проточному методу в приборе, описанном ранее [1], на одной и той же загрузке катализатора в количестве 11 мл; активность катализатора оставалась постоянной, о чем можно было судить по воспроизводимости данных при дегидрогенизации изопропилового спирта, служившего в качестве эталона. Скорость реакции определялась по объему выделившегося водорода. Катализатор проводит почти исключительно дегидрогенизацию спиртов, а дегидратация спиртов практически или совсем не идет или протекает в незначительной степени. Между количеством выделившегося водорода и количеством образовавшегося альдегида или кетона, которое определялось методом объемного анализа, наблюдалось близкое соответствие. Путем измерения скоростей дегидрогенизации бинарных смесей: спирт — альдегид (или кетон) и спирт — водород, в тех же условиях, как и с чистым спиртом, были найдены относительные адсорбционные коэффициенты продуктов реакции. Относительный адсорбционный коэффициент водорода на этом катализаторе оказался равным нулю. Полученные данные по кинетике дегидрогенизации спиртов описываются общим кинетическим уравнением мономолекулярных каталитических реакций в проточной системе [2]. Константы скорости реакции дегидрогенизации спиртов приведены в табл. 1. Уравнение Аррениуса хорошо выполняется. Из табл. 1 видно, что константы скорости реакции дегидрогенизации возрастают от аллилового к бензиловому спирту. Изопропиловый спирт в равных условиях дегидрируется со скоростью, превосходящей все другие спирты. В табл. 2 помещены найденные значения свободной энергии вытеснения с активной поверхности катализатора и изменение ΔH .

Влияние структуры на энергию активации [3]

Согласно мультиплетной теории [4] спирты дегидрируются по дублированной схеме:



Общее выражение для энергии активации E , данное в [5], для дегидрогенизации первичных спиртов, где в схеме (1) $\text{R}_2 = \text{H}$, превращается в

$$E \approx 0,75 \{ [Q_{\text{CH}} + Q_{\text{OH}} + a(\text{R}_1)] - [Q_{\text{CK}} + Q_{\text{OK}} + a'(\text{K}_1\text{R}_1)] [2Q_{\text{HK}} - \lambda(\text{K})] \}$$

Таблица 1

Константы скорости и энергии активации реакции дегидрогенизации спиртов

Название спирта	Темпер., °C	$k_c, \frac{мл}{кат.}$	$E, \frac{ккал}{моль}$	$\lg k_a$	$h \cdot 10^4$	$a \cdot 10^{-3}$
Этиловый	345	3,83	17,7	6,85	4,78	2,9
	366	6,07				
	387	9,6				
n-Пропиловый	342	7,56	15,6	6,43	4,87	2,8
	368	12,9				
	386	18,1				
Аллиловый	352	2,5	17,5	6,53	3,06	3,2
	378	4,56				
	400	6,87				
Изопропиловый	285	7,21	12,8	5,87	4,88	2,5
	312	12,3				
	329	16,6				
n-Бутиловый	322	4,82	16,3	6,68	4,77	2,8
	344	8,02				
	364	11,9				
Изоамиловый	342	9,65	12,9	5,57	5,77	2,3
β -Фенилэтиловый	349	4,6	18,0	6,99	4,87	2,9
	366	6,84				
	374	7,9				
Бензиловый	341	10,09	14,6	6,24		2,34

Таблица 2

Адсорбционные коэффициенты и вычисленные из них термодинамические функции

Название вещества	Температура 345 °C		
	Z_2	$\Delta F, \text{ кал/моль}$	$\Delta H, \text{ ккал}$
Ацетальдегид	2,3	-1020	22,0
Пропиловый альдегид	3,4	-1501	11,2
Масляный альдегид	3,5	-1580	11,3
Акулеин	5,1	-1899	16,4
Извалерьяновый альдегид	5,75	-2148	17,5
Бензальдегид	3,2	-1427	10,0
Фенилацетальдегид	1,2	-223,6	27,5
Ацетон	0,8	+273,7	11,0

здесь Q — средние энергии связей между соответствующими атомами в молекуле и между атомами и катализатором (K); $a(R_1)$ — инкремент энергий связи $Q_{СК}$ и $Q_{ОН}$ в молекуле, возникающий вследствие введения заместителя являющийся функцией природы последнего; $a'(K_1R_1)$ — аналогичный инкремент энергий связей атомов с катализатором $Q_{СК}$, $Q_{ОК}$, $Q_{НК}$, причем инкремент зависит от природы как R_1 , так и K . При замене одного заместителя другим, с тем же K , E изменяется на δE , и как следует из уравнения

$$\delta E = 0,75 \delta a(R_1) - 0,75 \delta a'(K, R_1). \quad (3)$$

На окисном катализаторе K_1 в уравнении (2) изменяются члены, зависящие от K_1 , и поэтому для первичных спиртов изменение будет

$$\delta E = -0,75 \delta a'(K_1, R_1) - 0,75 \delta(K). \quad (4)$$

Для окисного катализатора при изменении R_1 должно быть справедливо уравнение (3), где вместо K стоит K_1 :

$$\delta E = 0,75 \delta a (R_1) - 0,75 \delta a' (K_1, R_1). \quad (4)$$

Как показывает настоящее исследование, на окисном катализаторе при изменении R_1 , $\delta E = 0$, т. е. компенсация нарушается. В настоящей работе экспериментально найдены E и δE при дегидрогенизации спирта на окисном катализаторе. Наблюдаются следующие закономерности. Удлинение углеводородной цепи в первичном спирте понижает E , так как для C_2H_5OH $E = 17,7$; для C_3H_7OH $E = 15$ и для $C_6H_{11}OH$ $E = 12,9$ ккал. Замещение H в фенильную группу в β -положении повышает E на 0,3 ккал. Если фенильная группа находится при том же атоме C , что и OH , то E понижается, поскольку бензиловый спирт имеет E , равную 14 ккал. Замещение двух атомов H в β -положении на группу $>CH_2$ оставляет E почти без изменения (для аллилового спирта $E = 17,5$ ккал).

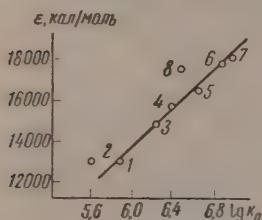


Рис. 1. Логарифмическая зависимость между ϵ и $\lg k_0$ при дегидрогенизации различных спиртов: 1 — изопропиловый; 2 — изоамиловый; 3 — бензиловый; 4 — пропиловый; 5 — n -бутиловый; 6 — этиловый; 7 — β -фенилэтиловый; 8 — аллиловый

$a = 3,2 \cdot 10^{-3}$, $b = 4500$ ккал, для двух спиртов (изоамилового и аллилового) имеются небольшие отступления, по-видимому связанные структурными причинами. Физический смысл константы a состоит в том, что она является обратной величиной так называемого параметра рассеяния активных центров [7—9]. В отличие от случаев, наблюдавшихся прежде, теперь $b \neq 0$, что, очевидно, не противоречит теории [7, 9].

Влияние структуры на изменение теплоты адсорбционного вытеснения и энтропии

Изменение теплосодержания при адсорбционном вытеснении с активных центров дегидрогенизации ΔH оказывается различным для спиртов различного строения. Между изменениями ΔH и ΔS наблюдается параллелизм. При одной температуре, например при 345° , ΔS изменяется

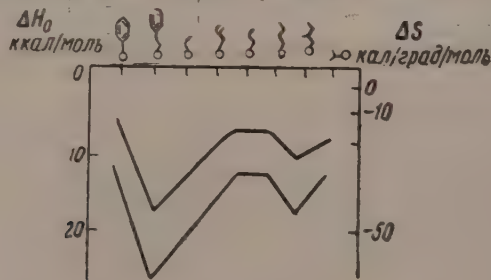


Рис. 2. Параллелизм между ΔH и ΔS при адсорбционном вытеснении с каталитически-активных центров при дегидрогенизации спиртов

параллельно ΔH , как это видно из рис. 2. Даже в случае изоамилового спирта, который отстает от предыдущей закономерности, параллелизм

жду ΔH и ΔS сохраняется. Следует заметить, что существование параллелизма между ΔH и ΔS отмечалось ранее для некоторых близких между собой химических реакций [10]. Здесь такая правильность впервые обнаружена и для адсорбционных процессов, происходящих на катализаторски-активных центрах.

Близкие ε означают, что спирты ориентированы одинаково.

Выводы

1. Показано, что строение молекул спиртов закономерно влияет на энергию активации и на константу действия реакции дегидрогенизации, также на изменение теплосодержания и энтропии адсорбционного вытеснения на окисном катализаторе.
2. Подтверждено существование логарифмической зависимости между энергией активации и константой действия.
3. Показано существование параллелизма между изменением теплосодержания и энтропией при адсорбционном вытеснении молекул спиртов соответствующими альдегидами или кетонами с активных центров дегидрогенизации.

Академия наук СССР
Институт органической химии
им. Н. Д. Зелинского

ЛИТЕРАТУРА

- О. К. Богданова, А. А. Баландин, А. П. Щеглова, Изв. АН СССР, Отд. хим. н., № 7, 787, 1957; № 8, 1372, 1959.
А. А. Баландин, Ж. общ. химии, 12, 160, 1942.
А. А. Баландин, О. К. Богданова, А. П. Щеглова, Изв. АН СССР, Отд. хим. н., № 1, 909, 1957.
А. А. Баландин, Вопросы хим. кинетики, катализа и реакционной способности, Изд-во АН СССР, М., 1955, стр. 441.
А. А. Баландин, Докл. АН СССР, 97, 667, 1954.
А. А. Баландин, Ж. физ. химии, 4, 251, 1933.
Г. М. Шваб, Катализ с точки зрения хим. кинетики, ОНТИ, Л., 1934, стр. 174.
С. З. Рогинский, Адсорбция и катализ на неоднородной поверхности, Изд-во АН СССР, М.—Л., 1948.
А. А. Баландин, Докл. АН СССР, 93, 55, 272, 475, 1953.
Г. Паркс и Г. Хаффман, Свободная энергия органических соединений, ОНТИ, 1936.

THE EFFECT OF THE STRUCTURE OF ALCOHOL MOLECULES ON THE KINETICS OF ALCOHOL DEHYDROGENATION

A. A. Balandin, O. K. Bogdanova and A. P. Shcheglova (Moscow)

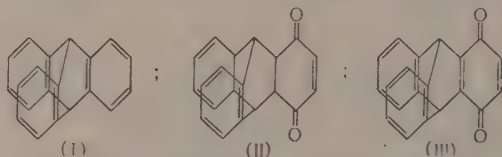
Summary

The kinetics of dehydrogenation of ethyl, n-propyl, n-butyl, allyl, isoamyl, isopropyl, n-phenylethyl alcohols on an oxide catalyst have been investigated. It has been found that the activation energy of dehydrogenation as well as the changes in the enthalpy and entropy of displacement by adsorption are substantially dependent on the structure of alcohol molecules. The existence of a logarithmic dependence between the activation energy and the action constant has been confirmed. The evidence of parallelism between the changes of enthalpy and entropy in the adsorption displacement of alcohol molecules from the active centres of dehydrogenation by the respective aldehydes or ketones has been noted.

СТЕРЕОХИМИЧЕСКОЕ ИЗУЧЕНИЕ МЕХАНИЗМА КАТАЛИЗА

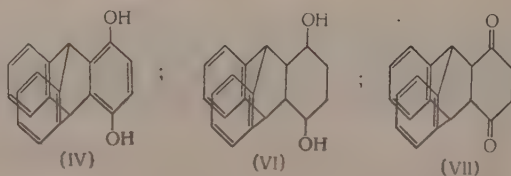
А. А. Баландин и Е. И. Клубуновский

Изучение катализа молекул сложной пространственной конфигурации с трудом располагающихся на поверхности катализатора, представлял большой интерес с точки зрения мультиплетной теории [1]. С этой целью нами были поставлены опыты по каталитической гидрогенизации производных триптицена (I) [(2,3; 5', 6') (5,6; 5'', 6''), (7,8; 5''', 6''')-трибензобицикло-(2,2,2)-октатриен-(2,5,7)]: 1,4,5,6-тетрагидро-(2,3; 5', 6') (5, 5'', 6'') (7,8; 5''', 6''')-трибензобицикло-(2,2,2)-октадиен-5, 7-диона-1', (II) и триптиценхинона (III): [1,4-дегидро-(2,3; 5', 6') (5,6; 5'', 6''), (7, 5'', 6''')-трибензобицикло-(2,2,2)-октатриен-2,5,7-дион-1', 4']:



Синтез и некоторые превращения производных триптицена были описаны ранее [2—4]. Восстановление соединений (II) и (III) производилось нами при атмосферном давлении с применением скелетного никеля в качестве катализатора.

Синтез соединения (II) выполнен нами, следуя литературным данным [3]. Продукт (II) подвергался изомеризации под действием 40% H₂ в триптиценгидрохинон (VI), который окислялся в (III) под действием водного 1M-ного раствора KBrO₃:



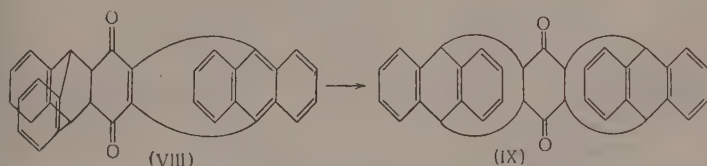
Триптиценхинон (III) подвергался каталитической гидрогенизации над скелетным никелем при 45° в среде свежеперегнанного диоксана. В результате реакции поглощается 1 моль водорода, что приводит к образованию триптиценгидрохинона (IV). Суммарные объемы поглощенного H₂ были близки к теоретическим [5].

Гидрогенизация (II) проводилась в тех же условиях. Продукт гидрогенизации, перекристаллизованный из диоксана, представлял собой бесцветные кристаллы, т. пл. 224—227° (с разложением). Чистый продукт окислялся на воздухе в присутствии щелочи. В результате гидрирования поглощается 3 моля водорода, что приводит к образованию диола (VI).

Для выяснения механизма реакции при проведении гидрогенизации соединения (II), после поглощения одного моля водорода, реакция прекращалась, продукт отфильтровывался от катализатора и перекристаллизовывался. Исследование показало, что полученное вещество представлял

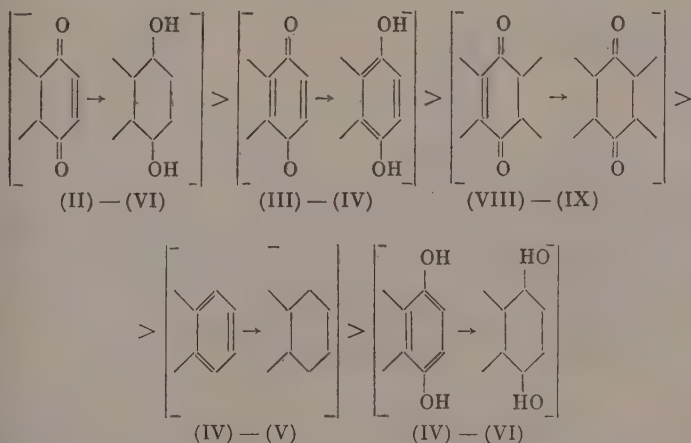
ой продукт (VII) — 1', 2', 3', 4', 5', 6'-гексагидро(2,3; 5', 6') (5,6; 5'', (7,8; 5'', 6'')-трибензобиперимидо-(2,2,2)-октадиен-6,7-дион-1', 4'—соединение, не описанное в литературе. В чистом виде оно представляет собой желтоватые кристаллы с т. пл. 182—3° (с разложением) [6]. Полученные данные служат еще одним примером широко оправдавшейся на опыте последовательности гидрогенолиза связей при катализе над никелевым катализатором, выведенной из мультиплетной теории [5, 7, 8].

Представлялось интересным изучить поведение при катализе соединения с еще более сложной пространственной конфигурацией молекул. Для этого был синтезирован диантрилендигидробензохинон (VIII) конденсацией в этилбензоле триптиценхинона (III) с антраценом [9]. Полученное соединение, не описанное в литературе, представляет собой желтые кристаллы с т. пл. 268° (с разложением):



Гидрогенизация (VIII) в (IX) проводилась в тех же условиях (атмосферное давление, 45°, никель-скелетный катализатор, диоксан). В результате реакции присоединяется один моль водорода. Ход гидрирования (VIII) в координатах: скорость — степень превращения (в процентах) представлен на рис. 1. Для сравнения приведена кривая гидрирования в тех условиях триптиценхинона. Видно, что гидрирование последнего происходит с большей скоростью.

Таким образом для производных триптицена теперь экспериментально известны следующие каталитические превращения под действием водорода:



На схеме изображены реагирующие части молекул производных триптицена, формулы которых приведены выше. Каталитические превращения (II) — (VI); (III) — (IV) и (VIII) — (IX) осуществлены в настоящей работе, а переходы (IV) — (V) и (IV) — (VI) ранее [3]. Последняя реакция в данных условиях на никеле не идет и была осуществлена при применении хромита меди в качестве катализатора. Реакция, стоящая слева от знака >, протекает на никеле быстрее, чем стоящая справа. Сравнительная легкость превращений (II) — (VI) и (III) — (IV) установлена нами из

сравнения скоростей реакций, проводимых в одинаковых условиях. Последовательность реакций приведенной выше схемы развивает экспериментально последовательность реакций при гидрогенизации над никелем [1], полученную при помощи мультиплетной теории.

Мультиплетная теория позволяет также построить стереохимические модели активных комплексов рассмотренных реакций. Согласно этой теории, вследствие малого радиуса действия валентно-химических сил молекулы соприкасаются с катализатором своими реагирующими атомами, что и определяет ориентацию молекул при катализе. Молекулы производ-

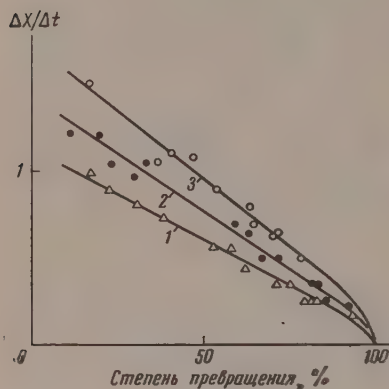


Рис. 1

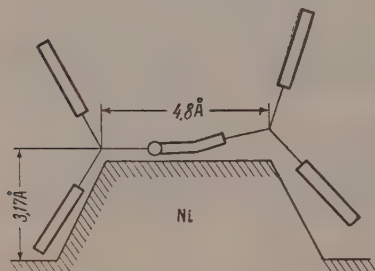


Рис. 3

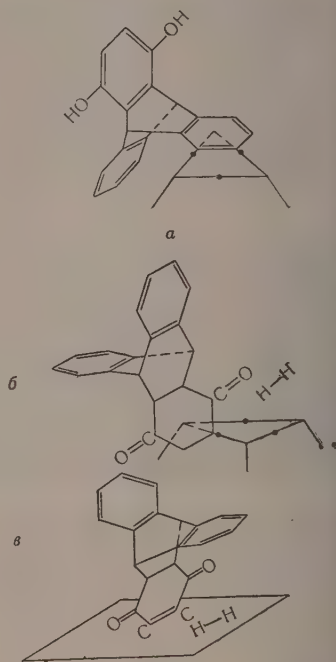


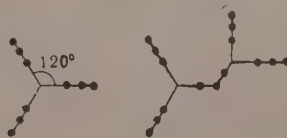
Рис. 2

Рис. 1. Гидрогенизация диантрилендигидробензохинона. Скорость гидрогенизации $\Delta x/\Delta t$ (мл H_2 (НТД) мин.) в зависимости от степени превращения диантрилендигидробензохинона (кривые 1 и 2) и триптиценхинона (кривая 3)

Рис. 2. Стереохимические модели активных комплексов при гидрогенизации производных триптицена

Рис. 3. Схема ориентации молекулы диантрилендигидробензохинона на поверхности катализатора

триптицена и диантрилендигидробензохинона обладают сложной конфигурацией: шестичленные кольца, примыкающие к центральной бициклической системе, расположены под углом 120° друг к другу, что в плане ибразится, соответственно, следующим образом:



Поэтому молекула не может целиком расположиться на плоской поверхности. На моделях рис. 2 молекулы производных триптицена ориентированы к поверхности катализатора согласно указанным требованиям мультиплетной теории. Здесь модель *a* соответствует гидрогенизации (IV), основе секстетного механизма. На рис. 2, *б* изображена модель гидрогенизации (VII), причем модель этой дублетной реакции построена в соотнесении с моделью, рассмотренной ранее [7]. Существование реакции (VII) \rightarrow (VI) и соответствующей ей модели рис. 2 с необходимостью следует из того, что происходит реакция (II) \rightarrow (VI) и реакция (II) \rightarrow (VII). На рис. 2, *в* построена модель гидрогенизации соединения (II), соответствующая реберному расположению шестичленного кольца на поверхности катализатора. Из рис. 2 видно, что в случаях *a* и *б* молекула не уместается на плоскости ввиду пространственных затруднений, и гидрирование должно проходить на выступах катализатора, тогда как в случае *в* гидрирование может протекать и на плоской поверхности катализатора.

В случае гидрогенизации триптиценхинона значительное межатомное расстояние O — O в хиноне говорит о том, что гидрирование проводится молекулярным водородом, а атомами последнего, в согласии с требованиями теории [7].

Описанные нами реакции могут явиться новым стереохимическим методом определения при помощи «жесткой» пространственно сложной молекулы реагирующего вещества микрорельефа активных центров.

Факт протекания реакции (IV) \rightarrow (V) говорит о том, что рядом с активными центрами, на которых происходит плоское наложение бензольного кольца (рис. 2, *a*), должны находиться впадины глубиной не менее 3,17 Å, в которые помещается второе боковое шестичленное кольцо триптиценгидрохинона. Аналогичным образом факт, хотя и затрудненной гидрогенизации триптицендигидробензохинона, указывает на то, что вышеуказанная площадка поверхности катализатора, несущая активные центры, должна быть более 4,8 Å, что ясно из рис. 3. Расширение этого метода с применением катализа других соединений с заданной пространственной конфигурацией молекулы позволит существенно уточнить ряд данных, касающихся микрорельефа активных центров катализаторов.

Выводы

Изучена кинетика гидрирования различных производных триптицена на никелем. Применение принципов стереохимии совместно со структурными принципами мультиплетной теории позволяет строить модели промежуточных активных комплексов. Несмотря на сложную форму, не дающую этим молекулам возможности укладываться плоско на поверхности катализатора, гидрирование идет уже при 45° и 1 атм. Это доказывает, что катализ происходит на выступах катализатора, рядом с которыми имеются впадины, куда должны поместиться выступающие части молекул. Модели изученных соединений позволяют оценить глубину впадин (3,17 Å) и ширину выступов ($\leq 4,8$ Å). Таким образом дается метод определения микрорельефа поверхности катализатора.

Академия наук СССР
Институт органической химии
им. Н. Д. Зелинского

ЛИТЕРАТУРА

- А. А. Баландин, Юбил. сборник, посвящен. 30-летию Вел. Окт. соц. рев., Изд-во АН СССР, 1947, стр. 647; Уч. зап. МГУ, 175, 97, 1956.
В. Кременн, Monatsh. Chem., 43, 269, 1922; Ber., 64, 1676, 1931.
P. D. Bartlett, M. J. Ryan, S. G. Cohen, J. Amer. Chem. Soc., 64, 2649, 1942; 72, 1003, 1950; R. Adams, B. H. Braun, J. Amer. Chem. Soc., 73, 1152, 1956; 74, 2603, 2605, 5869, 1952.

4. C. L. Thomas, Pat. USA, 2406645, 27, VIII, 1946.
 5. А. А. Баландин, Е. И. Клабуновский, Докл. АН СССР, **110**, 51, 1956.
 6. А. А. Баландин, Е. И. Клабуновский, Докл. АН СССР, **113**, 55, 1957.
 7. А. А. Баландин, Сб. Вопр. хим. кинет., катализа и реакц. способн., Изд. АН СССР, 1955, стр. 461.
 8. А. А. Баландин, А. А. Пономарев, Ж. общ. химии, **26**, 1146, 1957.
 9. Ж. физ. химии, Хроника, **31**, 1666, 1957.
-

STEREOCHEMICAL INVESTIGATION OF THE MECHANISM OF CATALYSIS

A. A. Balandin and E. I. Klabunovsky (Moscow)

Summary

The kinetics of hydrogenation of various triptcene derivatives over nickel were investigated. By applying the principles of stereochemistry together with the structural principles of the multiplet theory the models of intermediate active complexes can be obtained. In spite of a complicated shape which prevents these molecules from flatly lying on the catalyst surface, hydrogenation occurs even at 45° and 1 atm. This shows that catalysis takes place at elevations of the catalyst in the neighbourhood of depressions in which should enter the protruding parts of the molecules. The models of the compounds studied make it possible to evaluate the depth of depressions ($\geq 3.17 \text{ \AA}$) and the width of elevations ($\leq 4.8 \text{ \AA}$). Thus, a method for determining the micro-relief of a surface is obtained.

КИНЕТИКА ИЗБИРАТЕЛЬНОГО КАТАЛИТИЧЕСКОГО ГИДРИРОВАНИЯ БИФУНКЦИОНАЛЬНЫХ ПЕРЕКИСЕЙ И ГИДРОПЕРЕКИСЕЙ НАД НИКЕЛЕМ

РЕАКЦИИ, ПРЕДСКАЗАННЫЕ НА ОСНОВАНИИ МУЛЬТИПЛЕТНОЙ ТЕОРИИ

А. А. Баландин, Л. Х. Фрейдлин и Н. В. Никифорова

Недавно, благодаря сводке энергий связей, данной Коттреллом [1], стало известно значение энергии перекисной связи —О—О—. Теперь оказалось возможным при помощи энергетических уравнений мультиплетной теории заранее рассчитать [2] сравнительную легкость гидронолиза этой связи на никелевом катализаторе, поскольку все требуемые для расчета величины оказались известными.

Расчет показал, что высота энергетического барьера, определяющего скорость реакции, оказалась равной $-E'' = -14,2$ ккал/моль (таблица, реакция 2). Энергия активации

$$[\epsilon] = A - \gamma E'' \quad (1)$$

можно считать [3, 4], что для эндотермических реакций $\gamma = 0,75$, а для экзотермических реакций $\gamma = 0,25$; при этом $A = 11,5$. Подставляя сюда $\gamma = 14,2$, находим $\epsilon = 7,9$ ккал/моль. Следовательно, теория требует, чтобы каталитическое гидрирование перекисей и гидроперекисей протекало на никеле легко.

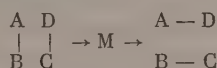
Мультиплетная теория дает возможность сделать еще дальнейшие предсказания, а именно — относительно последовательности гидрирования различных связей в бифункциональных соединениях, на основании последовательности вычисленных величин E . Расчеты E по мультиплетной теории для гидрирования различных связей на никеле даны в таблице.

Таблица рассчитана по уравнениям мультиплетной теории, выражающим энергию образования E' и разложения E'' мультиплетного комплекса М, как функцию энергий связи Q :

$$E' = -Q_{AB} - Q_{CD} + Q_{AK} + Q_{BK} + Q_{CK} + Q_{DK}, \quad (2)$$

$$E'' = Q_{AD} + Q_{BC} - Q_{AK} - Q_{BK} - Q_{CK} - Q_{DK}.$$

Здесь К означает катализатор, А, В, С, D — атомы внутри реагирующей, мультиплетной группы в молекуле (индекс)



Наибольшее из значений $-E'$ или $-E''$ служит энергетическим барьером реакции E . В таблице для семи реакций даны индексы Q , взятые из [2], и $-E$, вычисленные из них по уравнениям (2). В таблице, помимо того, использованы значения

$$Q_{\text{HH}} = 104,2; Q_{\text{HNI}} = 55; Q_{\text{CNI}} = 19; Q_{\text{NNI}} = 18; Q_{\text{ONI}} = 48,5.$$

В реакции 4 приведены два значения $Q_{\text{ЭСН1}}$ — старое [2] и новое, более точное (см. ниже). Место E реакции 4 в ряду таблицы с обоими значениями остается одним и тем же.

Вычисленная последовательность реакций. Уменьшение величины — E способности реакции. Энергии даны в ккал

№	Реакции	Индекс A D B C	Q_{AB}	Q_{AD} Q_{BC}	— E , ккал
1	Восстановление нитрогруппы	N H O H	77,1	84,3 110,6	—18,4
2	Восстановление перекисной группы	O H O H	37,4	110,5 110,5	—14,2
3	Гидрирование ацетиленовой связи	C H C H		90,6 90,6	—6,4 —2,0
4	Гидрирование олефиновой связи	C H C H	46,7	90,6 90,6	2,9
5	Гидрирование карбонильной группы	C H O H	83,4	90,6 110,0	10
6	Гидрогенолиз связи углерод—кислород	C H O H	77,1	90,6 110,0	17
7	Гидрогенолиз связи углерод—углерод	C H C H	66,2	90,6 90,6	48

Итак, мультиплетная теория предсказывает следующее [см. таблицу и уравнения (2)]:

1) Перекисные соединения должны легко гидрироваться на никель образуя соответствующие гидроксильные производные.

2) Энергия активации таких реакций должна быть обычно мала.

3) Строение молекул, т. е. природа внеиндексных заместителей, должна влиять на скорость гидрирования, если последние неодинаково влияют на Q_{AB} и Q_{AC} в уравнениях (2).

4) Полифункциональные перекиси при гидрировании над никелем должны претерпевать последовательные реакции в определенной последовательности, указанной в таблице.

5) С другими катализаторами этот порядок может изменяться, как это следует из уравнений (2), в которых энергии связи Q_{AC} будут уже другие.

Для проверки этих выводов авторами было поставлено экспериментальное исследование кинетики гидрогенизации органических перекисей и гидроперекисей на Ni, Pd и Pt, так как до этого в литературе на самую возможность этих реакций было всего лишь несколько скудных указаний: кинетика их вообще не была исследована. Реакции проводились в растворе в интервале температур 5—30° в термостатированной «утке» на быстроходной качалке. За реакцией следили по скорости поглощения H_2 и по чувствительным качественным реакциям. Получались кинетические кривые нулевого и первого порядков. Экспериментальные результаты подробнее изложены в [5]. Здесь приводятся принципиально важные выводы.

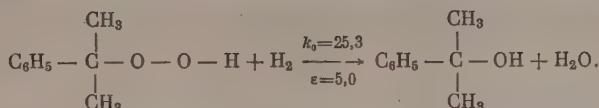
Полученные результаты подтвердили все предсказания мультиплетной теории, перечисленные выше.

1) Легкость гидрирования видна из большой величины констант скоростей реакции [нулевого порядка k_0 (в мл/мин.) и первого порядка k_1 (в мин.⁻¹)] при 25°, см. ниже.

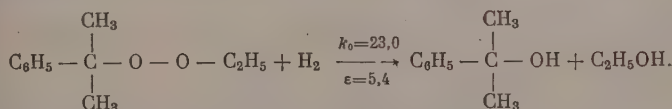
2) Кажущаяся энергия активации ϵ действительно оказалась низкой — в большинстве случаев около 5 ккал.

3) Строение перекисных соединений влияет на скорость гидрогенизации, как это видно из найденных k и ϵ для следующих реакций в присутствии никелевого катализатора.

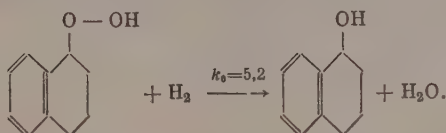
Превращение гидроперекиси изопропилбензола в диметилфенилкарбинол:



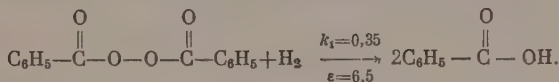
Превращение этилфенилизопропилперекиси в диметилфенилкарбинол и этиловый спирт:



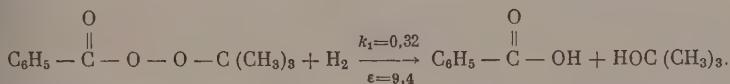
Превращение гидроперекиси тетралина в тетралол:



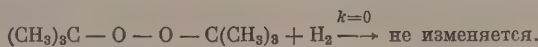
Превращение перекиси бензоила в бензойную кислоту:



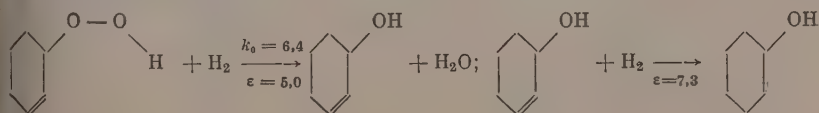
Превращение *трет.*бутилпербензоата в бензойную кислоту и триметилкарбинол:



*Трет.*бутиловый радикал, как заместитель, значительно повышает ϵ , вероятно, и препятствует гидрированию ди-*трет.*бутилперекиси в данных условиях:

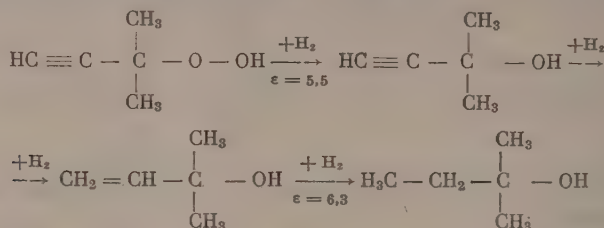


4) Приведенные выше данные для одноступенчатых реакций веществного состава и строения удовлетворяют последовательности реакций, приведенной в таблице, так как в них в первую очередь реагирует связь $\text{O}-\text{O}$. Для многоступенчатых реакций полифункциональных перекисей соблюдаемая последовательность реакций тоже согласуется с таблицей. При гидрировании гидроперекиси циклогексена первой восстанавливается перекисная группа (реакция 2 таблицы), а затем с большей скоростью — двойная связь (реакция 4 таблицы). На кривой ясно выражен излом в момент, когда кончается гидрироваться перекисная группа и начинается гидрироваться двойная связь:

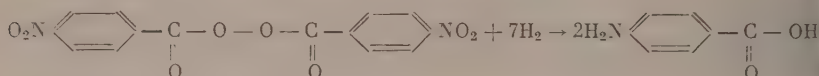


Таким образом гидрирование непредельных перекисей может служить каталитическим методом получения непредельных спиртов.

В случае ацетиленовой перекиси первой гидрируется перекисная группа (реакция 2 таблицы), затем первая связь в $C\equiv C$ (реакция 3 таблицы) и последней π -связь в $C=C$ (реакция 4 таблицы)



Гидрирование перекиси *n*-нитробензоила протекает в несколько стадий. В первую очередь гидрируются нитрогруппы (реакция 1 таблицы) с образованием промежуточного продукта. Перекисная группа гидрируется во вторую очередь (реакция 2 таблицы), и лишь после этого водород начинает реагировать с образовавшимся в первой стадии промежуточным продуктом. Гидрирование нитроперекиси заканчивается после присоединения 7 молекул водорода на 1 молекулу перекиси:



Продукты гидрирования гидроперекиси циклогексена, 3-гидроперекиси-3-метил-1-бутина и перекиси *n*-нитробензоила выделены и идентифицированы. Они представляют собой, соответственно: циклогексанол, *тр*-изоамиловый спирт и *n*-аминобензойную кислоту.

Изучение гидрирования смесей говорит о том, что нормальная последовательность гидрирования функциональных групп происходит тогда, когда обе сравниваемые группы находятся в одной молекуле. В том случае, когда функциональные группы содержатся в разных молекулах, иногда наблюдаются отступления, по-видимому связанные с адсорбционными факторами.

5) В согласии с мультиплетной теорией наблюдались случаи изменения последовательности реакций при применении разных катализаторов. Так, при гидрировании 3-гидроперекиси-3-метил-1-бутина с Pd-чернью последовательность была $C\equiv C > O - O > C=C$, а с Pt-чернью $C\equiv C > O - O$, $C=C$, причем связи $O - O$ и $C=C$ гидрировались одновременно.

Выводы

На основании значения величин соответствующих энергий связей мультиплетная теория позволяет рассчитать заранее, иногда довольно сложную, последовательность реакций бифункциональных органических перекисей и гидроперекисей при их гидрировании над никелем. Исследования кинетика, включая определение энергии активации реакций гидрирования гидроперекиси изопропилбензола, этилфенилизопропилперекиси, гидроперекиси тетралина, перекиси бензоила, трет. бутилпербензоата, ди-трет. бутилперекиси, гидроперекиси циклогексена, 3-гидроперекиси-3-метил-1-бутина и перекиси *n*-нитробензоила. Во всех указанных случаях предсказания мультиплетной теории оправдались на опыте.

ЛИТЕРАТУРА

- оттрелл, Прочность хим. связей, ИИЛ, М., 1956.
А. Баландин, Докл. АН СССР, **107**, 85, 1956.
А. Баландин, А. А. Толстопятова, Ж. физ. химии, **30**, 1636, 1956.
Н. Семенов, О некоторых проблемах кинетики, Изд-во АН СССР, М., 1954, стр. 31.
А. Баландин, Л. Х. Фрейдлин, Н. В. Никифорова, Изв. АН СССР, Отд. хим. н., № 4, 443, 1957; Докл. АН СССР, **112**, 649, 1947.

THE KINETICS OF SELECTIVE CATALYTIC HYDROGENATION
OF BIFUNCTIONAL PEROXIDES AND HYDROXIDES ON NICKEL.
REACTIONS PREDICTED ON THE BASIS OF THE MULTIPLY THEORY

A. A. Balandin, L. Kh. Freidlin and N. V. Nikiforova (Moscow)

Summary

On the basis of the values of the corresponding bond energies the multiplet theory makes it possible to calculate in advance rather complicated sequences of reactions of bifunctional organic peroxides and hydroxides while hydrogenated on nickel. Investigated was the kinetics (including a determination of the activation energy) of hydrogenation reactions of isopropylbenzene hydroperoxide, ethylphenylisopropyl-peroxide, di-tert-butylperoxide, benzoyl peroxide, tert. butylperbenzoate, di-tert-butylperoxide, cyclohexene hydroperoxide, 3-hydroperoxide-3-methyl-1-butene, and n-nitrobenzoyl peroxide. In all these cases the forecasts based on the multiplet theory were corroborated by experiment.

ГИДРИРОВАНИЕ МОНОСАХАРИДОВ И МНОГОАТОМНЫХ СПИРТОВ И МУЛЬТИПЛЕТНАЯ ТЕОРИЯ КАТАЛИЗА

А. А. Баландин и Н. А. Васюнина

Совмещение кислотного гидролиза с каталитической гидрогенизацией в быстро следующий друг за другом последовательности процессов позволяет превращать целлюлозу и другие полисахариды в соответствующие многоатомные спирты с почти количественным выходом. Многоатомные спирты находят себе разнообразные применения, главным образом — как заместители глицерина и, кроме того, могут быть переведены в последнюю очередь путем каталитического гидрогенолиза. Обзор полученных результатов был дан недавно [1, 2]. Из этих работ, проводимых в содружестве с Научно-исследовательским институтом гидролизной промышленности, вытекает настоящая работа.

Важно знать, какая последовательность реакций при гидрогенизации моносахаридов и многоатомных спиртов должна иметь место, какие вещества будут образовываться в первую очередь, какие — во вторую. Мультиплетная теория катализа в очень многих случаях способна дать совершенно определенный ответ на эти вопросы.

Расчет по уравнениям мультиплетной теории дает следующую последовательность реакций для никелевого катализатора: гидрогенизация моносахаридов (высота энергетического барьера — $E = 10$), восстановление гидроксильных групп ($E = 17$), образование глюконовых кислот ($E = 32$), разрыв углеродных цепей вследствие гидрогенолиза связей C—C ($E = 48$ ккал/моль).

В работе показано, что изменение E под влиянием заместителей численно равно изменению свободной энергии реакции. Получено соотношение с опытом рассчитанной последовательности для всех (около 30) исследованных случаев [3].

Выводы

Авторами и С. В. Чепиго (Всесоюзный научно-исследовательский институт гидролизной промышленности) была найдена и изучена реакция кислотного гидролиза и гидрирования целлюлозы и других полисахаридов в многоатомные спирты в присутствии Ru [1, 2]. При гидрировании моносахаридов в присутствии никеля происходят различные реакции последовательность которых оказывается возможным рассчитать заранее пользуясь энергетическими уравнениями мультиплетной теории (около 30 случаев) [3].

Академия наук СССР
Институт органической химии
им. Н. Д. Зелинского

ЛИТЕРАТУРА

1. С. В. Чепиго, А. А. Баландин, Н. А. Васюнина, А. П. Гегаев, Хим. наука и пром-сть, 2, 416, 1957.
2. А. А. Баландин, Н. А. Васюнина, Г. С. Барышева, С. И. Чепиго, Изв. АН СССР, Отд. хим. н., № 3, 392, 1957.
3. А. А. Баландин, Н. А. Васюнина, Докл. АН СССР, 117, 84, 1957.

HYDROGENATION OF MONOSACCHARIDES AND POLYATOMIC ALCOHOLS AND THE MULTIPLY THEORY OF CATALYSIS

A. A. Balandin and N. A. Vasiunina (Moscow)

Summary

The authors in collaboration with S. V. Chepigo have found and investigated reaction in which acid hydrolysis and hydrogenation of cellulose or other polysaccharides proceed jointly in the presence of Ru[1,2] to form polyatomic alcohols. The hydrogenation of monosaccharides in the presence of nickel is accompanied by various reactions whose sequence can be predicted by using the energy equations of the multiplet theory (out 30 cases) [3].

ДЕЙСТВИЕ ФЕРМЕНТОВ И ОПТИЧЕСКИ-АКТИВНЫХ КАТАЛИЗАТОРОВ С ТОЧКИ ЗРЕНИЯ МУЛЬТИПЛЕТНОЙ ТЕОРИИ КАТАЛИЗА

А. А. Баландин и Е. И. Клабуновский

Теория катализа применялась к ферментативным реакциям на разных стадиях своего развития. Многие из этих применений прочно вошли в энциклопедию [1—3]. Ниже к реакциям, происходящим под действием ферментов и их химических моделей, применяется мультиплетная теория катализа [4], рассматривающая главным образом структурные и энергетические факторы в катализе.

Мультиплетная теория может быть распространена на изучение ферментов и дисимметрических катализаторов потому, что ферменты являются коллоидными, т. е. микрогетерогенными катализаторами. Примененная мультиплетная теория, легко удается систематизировать как реакции ферментативного катализа, так и реакции, катализируемые химическими моделями ферментов. Большинство ферментативных реакций имеет двойной или триплетный индекс, причем разным типам ферментов, большей частью, соответствуют разные индексы реакций. Индексы естественно укладываются в мультиплетную классификацию, с которой находится в согласии классификация, принятая в энзимологии [5].

Классификация ферментативных реакций по их индексам позволяет в ряде случаев улучшить существующую классификацию. В табл. 1 приведены типы ферментов и индексы некоторых реакций, катализируемых ими.

Большое число ферментативных реакций с одинаковым индексом способно протекать под действием различных ферментов более узкой избирательности: это происходит вследствие влияния внеиндексных заместителей.

В этой связи представляет интерес возможность систематизации на основе мультиплетной теории асимметрических ферментативных реакций и реакций, катализируемых их химическими моделями — дисимметрическими органическими и неорганическими катализаторами (см. [6, 7]).

В табл. 2 приведены ферменты и соответствующие индексы катализируемых ими асимметрических реакций.

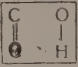
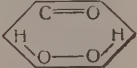

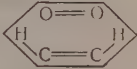
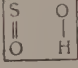
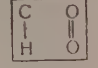
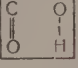
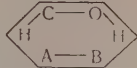

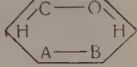

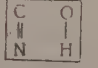
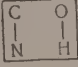
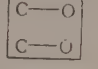
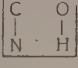
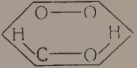
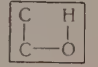
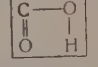
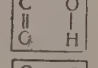
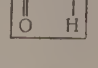
Органические катализаторы — модели ферментов — способны проводить все реакции, характерные для действия ферментов. При этом химические модели обнаруживают интересную особенность: диапазон их действия несравненно шире, чем у ферментов, хотя оно и не так строго стереоспецифично.

Среди стереоспецифических моделей ферментов существуют случаи как чисто гомогенных, так и, по-видимому, коллоидных моделей ферментов, т. е. микрогетерогенных, а также и чисто гетерогенных дисимметрических моделей ферментов. В табл. 3 представлены микрогетерогенные дисимметрические органические катализаторы — химические модели ферментов, указан фермент, действие которого они воспроизводят, и индекс реакции.

В случае чисто гетерогенных катализаторов, нанесенных на дисимметрический носитель, стадию дисимметризации легко отделить от акта катализа, так как первая сводится к асимметрической адсорбции. В табл. 4 перечислены гетерогенные органические и неорганические модели ферментов.

Таблица 1

Типы ферментов и их индексы (в скобках приведены некоторые характерные заместители)

Фермент	Индекс	Фермент	Индекс
1. Эстеразы Холинэстераза (O)		7. Окислительные ферменты а) Содержащие Fe катализа Пероксидаза	
Фосфатазы		Цитохром с, оксидаза диоксима- леиновой кислоты	
Сульфатазы		б) Содержание Cu Тирозиназа	
2. Карбогидразы Мальтаза (C)		8. Дегидразы	
3. Ферменты угле- водного обмена Фосфорилаза		9. Ферменты, вос- станавливающие цитохром с, и желтые ферменты	
4. Нуклеазы Нуклеозидаза		10. Нуклеиндезами- назы Гуаназа'	
5. Амидазы Уреаза		11. Различные окси- дазы Липоксидаза	
6. Протеолитичес- кие ферменты Пепсин		Дегидраза жир- ных кислот	
		12. Десмолазы Декарбоксилаза	
		Угольная ангидраза	
		13. Гидратазы и му- тазы	
		Фумараза Коглиоксалаза	

В ферментативных реакциях заместители не только влияют на энерги реагирующих связей, находящихся в индексе. Более тонкую настройку дает структурное соответствие заместителей. На это указывает етерогенный катализ оптически-деятельных веществ. Комплекс дублет-ой индексной группы по своей симметрии неактивен оптически, между тем оптически-неактивный катализатор, отложенный на оптически-активном носителе, например, металл на кварце, избирательно ускоряет реакцию одного оптического антипода из их смеси. Отсюда следует,

Таблица 2

Типы ферментов и индексы асимметрических реакций

Фермент	Индексы реакции
1. Оксинитрилаза	$\begin{array}{ c c } \hline \text{C} & \text{C} \\ \hline \parallel & \\ \text{O} & \text{H} \\ \hline \end{array} \begin{array}{c} \text{=N} \\ \longrightarrow \end{array} \begin{array}{ c c } \hline \text{C} & \text{C} \\ \hline & \\ \text{O} & \text{H} \\ \hline \end{array} \begin{array}{c} \text{=N} \\ \end{array}$
2. Редуктаза	$\begin{array}{ c c } \hline \text{C} & \text{H} \\ \hline \parallel & \\ \text{C} & \text{H} \\ \hline \end{array} \longrightarrow \begin{array}{ c c } \hline \text{C} & \text{H} \\ \hline & \\ \text{C} & \text{H} \\ \hline \end{array}$
3. Карболигаза	$\begin{array}{ c c } \hline \text{C} & \text{C} \\ \hline \parallel & \\ \text{O} & \text{H} \\ \hline \end{array} \longrightarrow \begin{array}{ c c } \hline \text{C} & \text{C} \\ \hline & \\ \text{O} & \text{H} \\ \hline \end{array}$
4. Кетоальдомутаза	$\begin{array}{ c c } \hline \text{C} & \text{H} \\ \hline \parallel & \\ \text{C} & \text{O} \\ \hline \end{array} \longrightarrow \begin{array}{ c c } \hline \text{C} & \text{H} \\ \hline & \\ \text{C} & \text{O} \\ \hline \end{array}$

Таблица 3

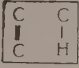
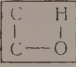
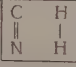
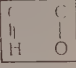
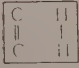
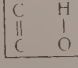
Дисимметрический органический катализатор — химическая модель фермента	Фермент, действие которого воспроизводит модель	Индекс реакции
Алкалоиды (хинин, никотин, стрихнин, бруннин)	Карбоксилаза	$\begin{array}{ c c } \hline \text{C} & \text{H} \\ \hline \parallel & \\ \text{C} & \text{O} \\ \hline \end{array}$
	Редуктаза	$\begin{array}{ c c } \hline \text{C} & \text{H} \\ \hline \parallel & \\ \text{C} & \text{H} \\ \hline \end{array}$
	Эстераза	$\begin{array}{ c c } \hline \text{O} & \text{C} \\ \hline & \\ \text{H} & \text{X} \\ \hline \end{array} \quad \text{X} = \text{OH}, \text{Cl}$
	Оксинитрилаза	$\begin{array}{ c c } \hline \text{C} & \text{C} \\ \hline \parallel & \\ \text{O} & \text{H} \\ \hline \end{array} \begin{array}{c} \text{=N} \\ \longrightarrow \end{array}$
Производные камфоры (камфорульфокислота, бромкамфорульфокислота)	Эстераза	$\begin{array}{ c c } \hline \text{O} & \text{C} \\ \hline & \\ \text{C} & \text{X} \\ \hline \end{array}$
	Кетоальдомутаза	$\begin{array}{ c c } \hline \text{C} & \text{H} \\ \hline & \\ \text{C} & \text{O} \\ \hline \end{array}$

что стадия адсорбции асимметрична, а стадия катализа симметрична [7, 8].

Для того чтобы такое положение заместителей с их большими ван-дер-ваальсовыми атомными радиусами было возможно, нужно чтобы находилась достаточная выемка рядом с активным центром, на котором атомы индекса имеют меньшие валентно-химические радиусы (ср. доклад А. А. Баладина и Е. И. Клабуновского «Стереохимическое изучение механизма катализа» и [9]).

Таблица 4

Гетерогенные катализаторы — модели ферментов

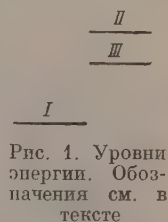
Гетерогенный катализатор — модель фермента		Фермент, действие которого моделировано	Индекс реакции
катализатор	дисимметрический носитель		
1. Этиламин	Целлюлоза	Оксинитрилаза	
2. Щелочь	Правый и левый кварц	Карбоксилаза	
3. Этиламин	Целлюлоза	Нет аналогии: действие обратно действию глутамино дегидра- зы	
4. Палладий	Шелк	Дегидраза	
5. Металлы	Правый и левый кварц	Редуктаза	
		Кетоальдомутаза	

Рассмотрение структуры ферментов позволяет составить представление о характере выемок, в которые помещаются зарамочные заместители. Если на поверхности молекулярного кристалла вынуть молекулу или ну ее часть, то образуется выемка, в наиболее возможной степени пороящая форму вынутой молекулы. В такую выемку может поместитьсякая же или очень близкая по структуре часть молекулы другого сорта,одящая в выемку, часть которой одинакова с вынутой или близка к ней форме. Тогда образуется нечто вроде поверхностного твердого раствора,ичем особую роль должен играть поверхностный изоморфизм.

Сказанное выше обосновывает то, что на поверхности ферментов, дей-
вующих, как известно, при низких температурах, боковые внеиндексные
местители субстратов притягиваются к поверхности ря-
м с активными центрами, на которые налагаются реа-
рующие индексные атомы.

Схема уровней энергии молекул в растворе (I), моле-
ул на активном центре без адсорбции внеиндексных за-
естителей на носителе (II) и то же, но с адсорбцией по-
едних на носителе (III) дана на рис. 1. Энергетический
рьер I — II больше чем I — III, отчего в I — III ре-
ция ускоряется. Если адсорбируемые внеиндексные
местители не совсем укладываются в свою выемку
а поверхности, то вследствие увеличения расстояния между моле-
улами теплота адсорбции II — III уменьшается. Скорость реак-
ни будет всего больше, когда разность уровней II — III будет макси-
альная, что происходит, когда адсорбированная часть молекулы как раз
ходит в выемку. Данная модель объясняет в принципе высокую изби-
ательность ферментов.

Молекулярная адсорбция заместителей при индексе — поверхностный
оморфизм — дает также объяснение особенно большой скорости фер-



ментативных реакций. Молекула удерживается на поверхности фермента в требуемом для реакции положении (энтропийный фактор). Адсорбция внеиндексных заместителей уменьшает энергетический барьер реакции и величину теплоты адсорбции (энергетический фактор). Молекулы, сорбированные такими группами, оказываются сильнее прижатыми своими индексными атомами к активным центрам катализатора — фермента, что подобно действию высокого давления.

Согласно мультиплетной теории, хромофорной группой является индексная группа активированного комплекса, а аукохромоное влияние

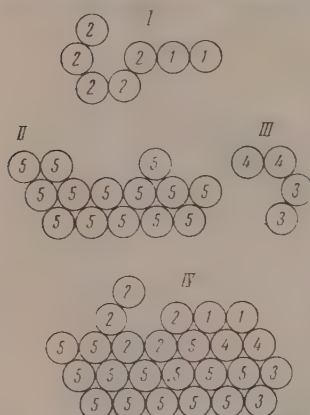


Рис. 2. Схема действия ферментов. Образование промежуточного комплекса ферментативной реакции. 1 — атомы индексной группы; 2 — атомы заместителей; 3 — атомы кофермента; 4 — атомы активной части кофермента; 5 — атомы белковой части

действием молекулярных сил и водородных связей (рис. 2).

Таким образом мультиплетная теория, в принципе, может объяснить и различную каталитическую реакционную способность оптических полимеров в растворе.

Выводы

Мультиплетная теория позволяет создать, с точки зрения их индексов, рациональную систематику ферментативных реакций, которые почти все оказываются принадлежащими к дублетному и триплетному типам. То же самое относится к асимметрическому катализу и к действию химических моделей ферментов. Химические различия атомов внутри индекса (т.е. реагирующей группы атомов) ведут к избирательности действия. Влияние внеиндексных заместителей на энергии связей внутри индексов во многом подобно аукохромоному эффекту и приводит к более тонкой избирательности. В ферментативных реакциях происходит наложение внеиндексных частей молекул и ферментов соответствующей конфигурации и этим достигается как особенно высокая избирательность действия ферментов, включая стереоспецифичность, так и особенно высокая их активность.

ЛИТЕРАТУРА

- G. Bredig, Inorg. Ferments. Colloidal Chemistry, VII, N. Y., 1928.
L. Michaelis, P. Rona, Biochem. Z., 60, 62, 1949.
Л. Вулли, Учение об антиметаболитах, ИИЛ, М., 1954.
А. А. Баландин, Уч. зап. МГУ, 175, 97, 1946. Изв. АН СССР, 4, 634, 1956;
Ж. физ. химии, 31, 457, 1957; Докл. АН СССР, 114, 1008, 1957; Проблемы совет-
ской науки, Научные основы подбора катализаторов, Изд-во АН СССР, 1954;
Ж. общ. химии, 26, 1146, 1956; Ж. физ. химии, 5, 679, 1934; Изв. АН СССР, 4,
339, 1945; Успехи химии, 13, 365, 1944.
Дж. Б. Самнер, Г. Ф. Сомер, Химия ферментов, ИИЛ, М., 1948; В. А. Энгельгард, Сб. «Ферменты», Изд-во АН СССР, М.—Л., 1940, стр. 124.
Е. И. Клабуновский, Сб. докл. на Международ. совещ. «Возникновение
жизни на Земле», 1957, М., Изд-во АН СССР, 1957, стр. 107.
Е. И. Клабуновский, Хим. наука и пром-сть, 2, 197, 1957.
Е. И. Клабуновский, В. В. Патрикеев, Докл. АН СССР, 76, 485,
1951.
А. А. Баландин, Е. И. Клабуновский, Докл. АН СССР, 110, 571,
1956; 113, 585, 1957; Ж. физ. химии 31, 1666, 1957.

THE ACTION OF ENZYMES AND OPTICALLY ACTIVE CATALYSTS FROM
THE VIEWPOINT OF THE MULTIPLIET THEORY OF CATALYSIS

A. A. Balandin, E. I. Klabunovsky (Moscow)

Summary

On the basis of the multiplet theory it is possible to systematize conveniently enzyme actions according to their indices. Almost all the reactions can be classified as double or triplet ones. The same holds true for asymmetric catalysis and for chemical models of enzymes. The chemical differences between the atoms within the reaction index (i. e. the reacting group of atoms) lead to selectivity of action. The effect of outer substituents on the bond energies within the indices is similar in many respects to the auxochrome effect and results in better selectivity. In enzyme reactions the portions of the molecules and enzymes of the corresponding configuration, which are outside the reaction indices, are superimposed, resulting in especially high selectivity of enzyme action, including steric specificity, as well as a particularly high enzyme activity.

К ВОПРОСУ О ПОСТОЯНСТВЕ КАТАЛИТИЧЕСКОЙ АКТИВНОСТИ ЕДИНИЦЫ ПОВЕРХНОСТИ ТВЕРДЫХ КАТАЛИЗАТОРОВ

Д. П. Добычин и Т. Ф. Целлинская

На протяжении многих десятилетий считалось установленным, что носителями каталитической активности на поверхности твердого тела являются относительно немногочисленные и различающиеся между собой по энергии активные центры. Считалось, что дезактивация катализатора (спекание, отравление) является результатом вывода из строя, в первую очередь, наиболее активных (хотя и немногочисленных) центров их поверхности.

В 1953 г. Г. К. Боресков, анализируя значения величины каталитической активности, отнесенной к единице поверхности катализатора, показал, что их колебания сравнительно невелики, и высказал предположение, что каталитическая активность определяется химической природой (составом и строением) катализатора и что каталитическая активность единицы поверхности катализатора данного состава есть величина приблизительно постоянная [1]. Таким образом, активность единицы веса катализатора данного состава должна определяться, практически, развитием его доступной поверхности, поскольку активность единицы поверхности остается постоянной.

Ввиду принципиального значения предположений Г. К. Борескова мы хотим рассмотреть с этой точки зрения наши данные о зависимости каталитической активности γ -окиси алюминия и алюмосиликатных катализаторов от степени их термического старения (спекания).

γ -Окись алюминия (γ - Al_2O_3). Изучалась дегидратация изопропилового спирта в адсорбционном слое на активной окиси алюминия [2]. В результате двухчасового прокаливании при 550, 700 и 900°C удельная поверхность исследовавшегося образца γ -окиси алюминия уменьшилась от 244 до 200 и 100 $\text{м}^2/\text{г}$ соответственно, причем число каталитически активных мест (занимающих 0,13—0,24% всей поверхности) на 1 см^2 существенно не изменилось (табл. 1 [2]). Каталитическая активность при этом упала в шесть раз, а удельная активная поверхность — примерно в три раза. Активность единицы общей поверхности уменьшилась в ~2,5 раза в результате уменьшения в 1,5 раза доли активных мест на ней и, что особенно важно, уменьшения почти вдвое скорости реакции на единицу активной поверхности катализатора.

Из этих результатов можно сделать следующие выводы.

Во-первых, поверхность γ - Al_2O_3 неоднородна. Каталитически активной является лишь небольшая ее часть (до 0,25%).

Во-вторых, каталитические свойства единицы поверхности γ - Al_2O_3 могут изменяться в зависимости от условий генезиса и эксплуатации катализатора.

В-третьих, следует констатировать, что наблюдаемые различия в каталитической активности (изменения свойств) единицы поверхности, действительно, относительно невелики и не приводят к обычно ожидаемым порядковым различиям этой величины.

Алюмосиликатные катализаторы. В работе А. В. Агафонова и М. А. Калико [3] и нашей [4] было показано, что при

Объем засыпанного в реактор катализатора равен 25 см³, за исключением опыта (≠), в котором V = 22,4 см³

Характеристика образца	Насыпной вес образца Δ, г/см ³	Выход продуктов в вес. % к сырью				Глубина крекинга, %	Время до фракции до 200°C	Удельная поверхность, м ² /г	Общая поверхность катализатора в реакторе ΔV, м ²
		дистилат	газы крекинга	фракция до 200 °C	фракция выше 200°C	газы дебутизации			
Мелкопористый шариковый алюмосиликат *									
Условия прокаливания:									
2 часа 550 °C	0,825	80	11,3	40,0	34,0	5,2	—	480	8860
2 » 800 °C	0,952	83,8	8,25	38,3	35,1	3,8	—	252	5970
6 час. 750 °C в токе водяного пара	0,967	95	3,3	22,1	68,6	4,0	—	91	1970
Образцы промышленного таблетированного алюмосиликатного катализатора крекинга									
Срок эксплуатации (месяцы):									
Свежий	0,560	85,8	9,1	38,0	38,5	4,3	18,5	200	2800
2,5 **	0,635	88,0	8,3	26,1	54,4	3,6	48,6	116	1850
11	0,624	87,8	9,2	26,2	54,6	2,3	47,5	407	1680
18 а ***	0,633	90,4	6,6	25,0	58,3	3,6	28,0	108	1700
18 б ***	0,658	91,9	7,3	21,4	64,4	2,3	34,0	87	1420
19	0,636	89,0	8,1	27,6	53,0	3,0	25,0	408	1730

* Предоставлен нам Э. М. Кагановой и Б. Л. Молдавским.

** В процессе эксплуатации был перегрет до 800°C в атмосфере водяного пара.

*** Образцы отобраны из верхней (18 а) и нижней (18 б) зоны реактора.

рующая способность единицы доступной поверхности по отношению к изопропилбензолу (скорость реакции на единицу поверхности) у алюмосиликатных катализаторов одинакового состава с различной пористой структурой одинакова (см. табл. 1 [4]). Скорость крекинга кумола в динамических условиях при 400°C и атмосферном давлении (скорость подачи $1,1\text{--}1,2\text{ см}^3$ кумола в час на 1 см^3 катализатора) пропорциональна суммарной поверхности испытуемого образца катализатора, загруженного в реактор. На основании этих фактов в качестве меры каталитической активности алюмосиликатов данного химического состава в отношении крекинга углеводородов была предложена величина произведения удельной поверхности образца S на его насыпной вес Δ [4].

Однако каталитические свойства алюмосиликатных катализаторов не исчерпываются крекирующей способностью. Активный алюмосиликатный катализатор кроме расщепления углеводородов (которое, впрочем, так и носит специфический характер, отличный от наблюдающегося при термическом крекинге) катализует перераспределение водорода и другие процессы. Поэтому вопрос об однородности поверхности и постоянстве активности единицы поверхности алюмосиликатных катализаторов требует более детального рассмотрения.

Нами изучалась пористая структура и каталитическая активность алюмосиликатных катализаторов различной степени дезактивации в термической, так и в результате эксплуатации в промышленных условиях. В нашей работе [5] приведены структурные характеристики изученных образцов алюмосиликатных катализаторов, полученные (как и в работе [2, 4]) посредством измерения адсорбции паров бензола на них при помощи вакуумной установки статического типа. Не останавливаясь подробно на вопросах влияния термического старения на пористую структуру изучавшихся образцов, мы ограничимся здесь констатацией того, что в результате прогрева алюмосиликатных катализаторов при высоких ($800\text{--}1000^{\circ}\text{C}$) температурах, особенно в присутствии водяного пара, а также вследствие эксплуатации в промышленных условиях, происходит значительное уменьшение их удельной поверхности и объема мелких пор.

Каталитическая активность исследуемых образцов определялась стандартным методом [6] на проточной установке посредством крекинга стандартного газойля. Поскольку насыпные веса образцов различались между собой, с целью сохранения, по возможности, постоянства глубины проникновения поддерживалась постоянная скорость подачи газойля на единицу веса ($1,2\text{ см}^3$ газойля на 1 г катализатора в 1 час), а не насыпного объема катализатора (25 см^3). Результаты опытов приведены в таблице. Глубина крекинга в ней называется разность между количеством пропущенного газойля и непревращенным остатком (фракция продуктов, выкипающая выше 200°C) в процентах к пропущенному газойлю. Выход бензина определяется по фракции продуктов, выкипающей до 200°C .

В силу консекутивности процесса, а также влияния диффузии в мелких порах [1], выход бензиновой фракции сравнительно слабо изменялся в течение времени контакта и активности катализаторов. Поэтому дезактивация образцов (уменьшение поверхности катализатора в загруженном объеме катализатора, т. е. величины $S \cdot \Delta \cdot V$), как это видно на рис. 1, 2, менее резко сказывается на выходе бензиновой фракции, чем на глубине крекинга. В соответствии с [3, 4] у таблетированных образцов, поверхность которых благодаря наличию крупных и переходных пор оказывается доступной для молекул углеводородов газойля, крекирующая способность пропорциональна поверхности катализатора в реакторе ($S \cdot \Delta \cdot V$). Напротив, у мелкопористых шариковых катализаторов значительная часть поверхности мелких пор оказывается недоступной для крупных молекул газойля (каталитическая ультрапористость) и каталитическая способность активных образцов (с высокими значениями $S \cdot \Delta \cdot V$) используется не полностью. С другой стороны, мелкие поры, недоступные для крупных молекул

углеводородов газойля, оказываются доступными для более мелких молекул, и выход газа на мелкопористых образцах растет пропорционально $S \cdot \Delta V$, т. е. быстрее, чем выход бензиновой фракции. На таблетированных же катализаторах, у которых, практически, доступна вся поверхность, молекулы углеводородов бензиновой фракции адсорбционно вытесняются с поверхности тяжелыми углеводородами газойля и газообразования частично подавляется. Эффект каталитической ультрапористости [3] новится очевидным при сравнении зависимости выхода газообразных

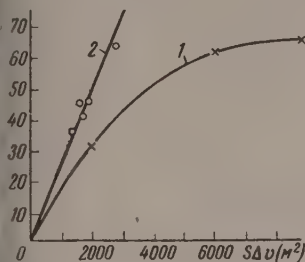


Рис. 1

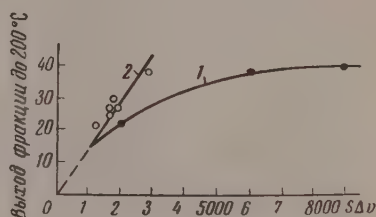


Рис. 2

1. Зависимость глубины крекинга от общей величины поверхности загруженного в реактор катализатора: 1 — шарикового и 2 — таблетированного
2. Зависимость выхода бензиновой фракции от общей величины поверхности загруженного в реактор катализатора: 1 — шарикового и 2 — таблетированного

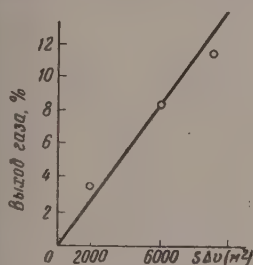


Рис. 3

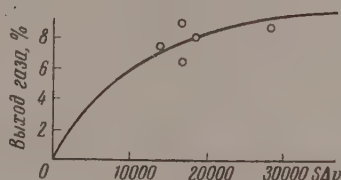


Рис. 4

Рис. 3. Зависимость выхода газа от общей величины поверхности загруженного в реактор мелкопористого шарикового катализатора

Рис. 4. Зависимость выхода газа от общей величины поверхности загруженного в реактор таблетированного катализатора

продуктов крекинга от величины общей поверхности испытуемого образца для шариковых и таблетированных катализаторов (рис. 3 и 4). Таким образом полученные результаты, в общем, свидетельствуют о постоянстве крекирующей способности единицы доступной поверхности алюмосиликатных катализаторов различной пористой структуры и степени дезактивации. Однако, как видно из таблицы, состав продуктов каталитического крекинга сильно зависит от степени «старения» катализатора. Бромные числа бензиновой фракции продуктов крекинга сильно растут по мере старения катализаторов. Рост этот происходит в области старения таблетированного катализатора, характеризующейся величиной удельной поверхности около $100 \text{ м}^2/\text{г}$. Отсюда следует, что каталитические свойства единицы поверхности алюмосиликатных катализаторов крекинга существенно меняются при старении этих катализаторов. Если крекирующая спо-

способность единицы их доступной поверхности остается, практически, неизменной, то более тонкие специфические ее свойства, как, например, способность катализировать реакции перераспределения водорода, претерпевают значительные изменения в результате старения и спекания. Отсюда следует, в частности, расходящийся с результатами работ К. В. Топчевой [7] вывод о наличии на поверхности алюмосиликатных катализаторов по крайней мере двух типов активных центров. Одни из них ответственны за процессы собственно крекинга молекул углеводородов, и их число на единице поверхности катализатора, практически, не меняется при данном его составе; другие катализируют процессы перераспределения водорода (а также, вероятно, и другие), и их свойства и число на единице поверхности катализатора существенно изменяются при его спекании. Эти центры находятся в соответствии с данными о наличии на поверхности алюмосиликатов двух форм кислотных центров: протонных (по Бренстеду) и апротонных (по Льюису) [8]. Мы полагаем, что центры крекирующие действия более близки к ионному (протонному) типу каталитических активных центров, а центры, катализирующие реакции перераспределения водорода, — к электронному (полупроводниковому) типу [9].

В заключение вернемся к основной цели нашего сообщения, а именно — к вопросу об активности единицы поверхности катализаторов. Обобщая изложенные выше основные результаты и выводы наших работ [2, 4, 5] можно констатировать следующее. Результаты изучения дегидратации изопропилового спирта на γ -окси алюминия и крекинга на алюмосиликатных катализаторах свидетельствуют о том, что активность единицы поверхности катализатора может в одних случаях изменяться, в других — оставаться неизменной при дезактивации (спекании) катализатора, а также при изменении его пористой структуры. Таким образом, положение Г. К. Борескова о неизменности активности единицы поверхности катализаторов в общем виде не является универсальным и, будучи верным в одних случаях (например, расщепление углеводородов на алюмосиликатах — активные центры ионного типа), может нарушаться в других (дегидратация спирта на окиси алюминия, перераспределение водорода на алюмосиликатах — центры полупроводникового типа). Следует, однако, отметить, что в том случае, когда имелась возможность количественной оценки изменения абсолютной активности, это изменение, действительно, оказалось не порядковым, а сравнительно небольшим. Эти выводы, разумеется, не могут быть механически перенесены на иные катализаторы и процессы: различные системы могут вести себя различно. Более общий характер, видимо, носит положение о незначительности изменений активности единицы поверхности. Необходимо дальнейшее накопление количественных данных об активности единицы поверхности широкого круга катализаторов по отношению к различным реакциям.

Выводы

1. На примерах дегидратации изопропилового спирта на γ -Ал₂O₃ и крекинге кумола и газойля на алюмосиликатных катализаторах рассмотрен вопрос о постоянстве каталитической активности единицы поверхности твердых катализаторов при их дезактивации и изменении пористой структуры.
2. Из экспериментальных данных следует, что активность единицы поверхности в одних случаях может оставаться постоянной (например, расщепление углеводородов на алюмосиликатах, — активные центры ионного типа), а в других (например, дегидратация изопропилового спирта на γ -Al₂O₃, перераспределение водорода на алюмосиликатах, — центры полупроводникового типа) может изменяться.
3. Наблюдаемые изменения величины активности единицы поверхности катализаторов невелики и не меняют порядка ее величины.

ЛИТЕРАТУРА

- Т. К. Боресков, Сб. «Гетерогенный катализ в химической промышленности», Госхимиздат, М., 1955, стр. 5.
Д. П. Добычин, Сб. «Поверхностные химические соединения и их роль в явлениях адсорбции», Изд-во МГУ, М., 1957, стр. 341.
А. В. Агафонов и М. А. Калико, Ж. общ. химии, 19, 39, 1949.
Д. П. Добычин и Т. Ф. Целлинская, Докл. АН СССР, 109, 351, 1956.
Д. П. Добычин и Т. Ф. Целлинская, Ж. прикл. химии, 32, 486, 1959.
А. В. Агафонов, Алюмосиликатные катализаторы, Гостоптехиздат, 1952.
К. В. Топчиева, Уч. зап. МГУ, № 174, 75, 1955.
J. Traubouze, L. Mourgues, M. Perrin, J. chim. phys. et phys.-chim. biol., 51, № 11—12, 723, 1954.
Л. З. Рогинский, Проблемы кинетики и катализа, Изд-во АН СССР, М.—Л., 6, 9, 1949.

ON THE CONSTANCY OF THE CATALYTIC ACTIVITY OF A UNIT SURFACE IN SOLID CATALYSTS

D. P. Dobychin and T. F. Zellinskaya (Leningrad)

Summary

Dehydration of isopropyl alcohol on $\gamma\text{-Al}_2\text{O}_3$ and the cracking of cumene and gasol on aluminum silicate catalysts have been taken as examples in discussing the constancy of the catalytic activity of a unit surface in solid catalysts when they suffer deactivation and their porous structure undergoes a change.

As the experimental results have indicated the activity of a unit surface in some cases may remain invariable (e. g., the splitting of hydrocarbons on aluminum silicates: ion exchange active centres) while in other cases it may vary (e. g., dehydration of isopropyl alcohol on $\gamma\text{-Al}_2\text{O}_3$, redistribution of hydrogen on aluminum silicate: centres of semi-conducting type).

The value of the unit surface activity has been found to vary but slightly so that it remains within the same order of magnitude.

ФИЗИКО-ХИМИЧЕСКИЕ СВОЙСТВА И КАТАЛИТИЧЕСКАЯ АКТИВНОСТЬ НЕКОТОРЫХ ПРИРОДНЫХ МАТЕРИАЛОВ, ИСПОЛЬЗУЕМЫХ ДЛЯ ПРИГОТОВЛЕНИЯ КАТАЛИЗАТОРОВ КРЕКИНГА

*А. В. Агафонов, М. А. Калико, И. Э. Гельмс,
М. Н. Первушина и Э. И. Рабинович*

В результате исследований, проведенных научно-исследовательскими институтами нефтяной промышленности, накоплен большой экспериментальный материал по физико-химическим и каталитическим свойствам природных материалов, позволяющий сделать известные обобщения.

В настоящей статье рассмотрены результаты исследований пород преимущественно каолинитового типа, проявляющих свою каталитическую активность уже после простейшей термической обработки.

Ввиду полиминеральности природного сырья, не позволяющей исследовать процессы в чистом виде, рассмотрена лишь общность явлений, сопутствующих формированию каталитической поверхности у естественных и чистых синтетических катализаторов.

Для приготовления катализаторов из природных материалов использован метод термической активации породы в восстановительной среде. Характеристика минералогического состава сделана приблизительно с привлечением данных анализов, выполненных лабораториями ВНИГГи треста «Востсибнефтегеология». Активность катализаторов оценивалась по индексу активности, принятому техническими условиями для проверки качества промышленных катализаторов, представляющие собою весовой выход бензиновой фракции при крекинге эталонного легкого газойля. Кривые нагревания получены методом дифференциальной теплоты, а удельные поверхности и объем пор рассчитаны из изотерм адсорбции паров метилового спирта.

В качестве потенциального сырья для производства катализаторов было исследовано более двух тысяч образцов алюмосиликатов: глин, опок, бентонитов, бокситов и многочисленных месторождений, расположенных в различных районах Союза.

При этом установлено, что появление каталитической активности после термической обработки связано с наличием в исходной породе трех основных минералов: каолинита, галлуазита, аллофана (табл. 1). В группе каолинистых глин заметно положительное влияние каолинита на активность получаемого катализатора. Из каолинистых глин более высокая каталитическая активность достигается у смешанных каолинито-галлуазитовых пород. Наибольшие возможности для получения высокоактивных катализаторов дает присутствие аллофана. В этой же таблице можно видеть отрицательное влияние на каталитические свойства породы примесей окислов железа.

Характерные признаки отдельных минералов, проявляемые ими при нагревании в результате обезвоживания и изменения структуры вещества общезвестны. Для выявления связи термографических эффектов с каталитическими свойствами породы кривые нагревания характерных природных материалов были сопоставлены с кривыми для близких по химическому составу синтетических алюмосиликатных катализаторов.

Таблица 1

Влияние минералогического состава на каталитические свойства некоторых глин

Наименование породы	Индекс активности	Содержание		Основные породообразующие минералы		Прочие алюмосиликаты
		Al ₂ O ₃ , %	Fe ₂ O ₃ , %	свободный Al ₂ O ₃ , %	группа каолинита	
Матросовская глина	15,5	29,4	1,72	4	24	72
Талалаевская глина	19,7	34,7	2,67	7	31	62
Нижнеувельская глина	20,3	37,8	2,0	4	43	53
Латинская глина	24,8	39,5	1,27	3	60	37
Трошковский каолин	30,1	37,8	0,47	7	66	27
То же	27,5	31,4	2,06	Преимущ. каолинит Каолинит с включением галлуазита Преимуществ. галлуазит Аллофан, следы галлуазита Аллофан (50%); галлуазит (5—20%); бурые гидроокислы Смесь аллофана и галлуазита Галлуазит (50%); аллофан (5—20%) Галлуазит; следы аллофана; кварц То же		
»	28,7	30,3	1,17			
»	26,6	31,1	2,58			
Шенуровская	37,6	47,8	2,7			
»	25,8	46,2	7,5			
»	27,0	36,0	7,1			
»	32,6	—	2,2			
»	14,2	35,3	3,2			
»	14,7	38,6	4,2			

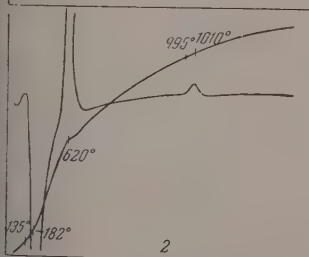
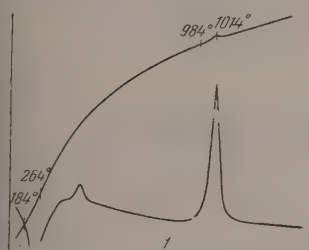
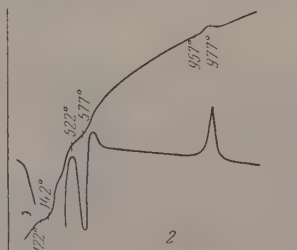
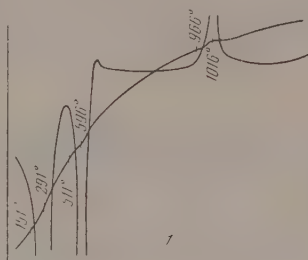
Рис. 1. 1 — синтетический катализатор из нефелина; 2 — синтетический катализатор типа 6ННЗ, с содержанием 30% Al₂O₃

Рис. 2. 1 — Шенуровская аллофано-галлуазитовая порода, образец 10/20; 2 — то же — Чернецовский участок

1—2 приведены кривые нагревания природных и синтетических катализаторов.

Общим для термограмм исследованных образцов является наличие химических эффектов в определенной зоне температур: низкотемпературного эндозффекта в области температур 100—200° и высокотемпературного эффекта в области 900—1000°. Первый обычно увязывается с отдачей

адсорбционной и цеолитной воды пористыми образцами, второй объясняется изоморфными переходами вещества или минерализацией свободных окислов алюминия и кремния с образованием муллита; последнее в породах каолинитового типа совмещается с процессом распада каолинового ядра.

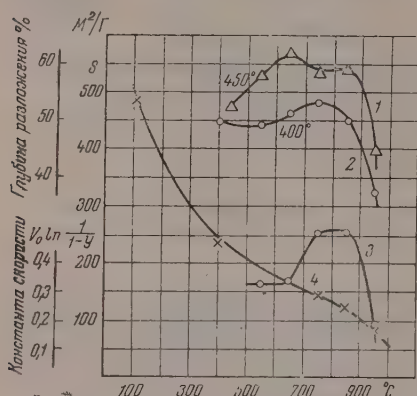


Рис. 3. Каталитические свойства удельная поверхность синтетического катализатора типа 6НКЗ в зависимости от температуры прокаливания: 1 — глубина разложения при 450°; 2 — глубина разложения при 400°; 3 — изменение константы скорости; 4 — изменение удельной поверхности

Изменение каталитических свойств и удельной поверхности некоторых из сопоставленных термографически образцов катализаторов в зависимости от температуры предварительной прокалики исходного материала показано на рис. 3—4. В табл. 2 приведены соответствующие данные по составам, активности и пористой структуре рассмотренных образцов.

Таблица 2

Химический состав, пористая структура и каталитические свойства катализаторов, полученных из различных природных материалов

№	Наименование исходной породы	Сведения о минералогич. составах	Химич. состав, вес. %		Каталитические свойства, индекс		Пористая структура	
			Al ₂ O ₃	Fe ₂ O ₃	активности	стабильности	уд. поверхность, м²/г	уд. объем пор, см³/г
1	Синтетический катализатор типа 6НКЗ	Коллоидн. гели	30	0,3	37,2	29,7	180	0,2
2	Синтетический катализатор из нефелина	Коллоидн. гели	44	—	45	36	270	0,3
3	Шенуровская, отборн. образец № 10/20	20—50% аллофана, остальн. галлуазит	—	—	41,7	36,6	240	0,1
4	То же — Центральный участок	50—60% аллофана, остальн. галлуазит	46,5	60,1	35,7	32,2	118	0,1
5	То же — Чернецовский участок	—	55	—	37,2	—	—	—
6	Трошковая глина	Каолинит + гидрослюда (+ галлуазит)	48,2	0,63	27,0	27,5	69	0,1
7	Латинская глина I с.	75—85% каолинита	41,4	1,1	25,8	21,0	37	0,1
8	Суворовская глина	70% каолинита	43	1,5	21,9	19,9	25	0,0
9	Просянский каолин	90% каолинита	44	0,6	15,2	—	25	0,0

Из приведенных экспериментальных данных следует, что термическое формирование активной поверхности различных катализаторов завершается при температурах 650—850°.

Потеря активности катализатора, сопровождаемая резким сокращением удельной поверхности, наступает при температурах, близких к области

возникновения экзоэффекта на кривой нагревания. Если для величины эффекта не наблюдается простой связи с удельной поверхностью и активностью, то низкотемпературный эндоэффект тем больше, чем больше удельная поверхность и активность катализатора. Величина высокотемпературного экзоэффекта зависит от химического состава и возрастает с повышением содержания окиси алюминия.

Помимо двух названных главных эффектов всем природным материалам свойственны эндоэффекты обезвоживания, протекающие при более высоких температурах в пределах 500—600°, отвечающие потере структурной

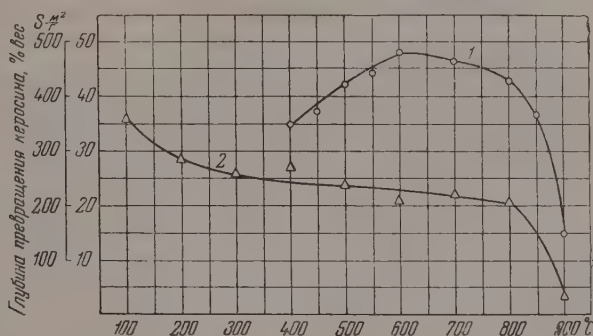


Рис. 4. Каталитические свойства и удельная поверхность природного катализатора из Шенуровской породы в зависимости от температуры прокаливания: 1 — каталитическая активность; 2 — удельная поверхность

ты, что является обязательным для формирования активной поверхности. Отсутствие эндоэффекта в области температур 500—600° у синтетических катализаторов (рис. 1) можно объяснить аморфной структурой синтетических алюмосиликатов, в отличие от кристаллического строения природных образцов.

Обсуждение результатов

Экзотермические эффекты являются следствием уменьшения свободной энергии неравновесной фазы твердых тел, которая и может определять сокаталитическую активность алюмосиликатных катализаторов. Такая равновесная фаза имеет место в структуре первичных частиц, образующих химический скелет алюмосиликатного катализатора. Если при этом активная поверхность доступна реагирующим молекулам, то каталитическая активность проявится полностью. Если это условие не удовлетворяется, то, несмотря на наличие рассматриваемого экзоэффекта, активность может не проявляться, т. е. наличие у природных материалов экзоэффекта при 900—1000° свидетельствует лишь о «потенциальной» каталитической активности, проявление которой для некоторых малоактивных алюмосиликатных пород возможно в результате определенного физико-химического воздействия на их структуру.

Возникновение термоэффектов является результатом одновременного воздействия определенного количества одинаковых группировок элементарных частиц (молекул, мицелл, кристаллов и т. п.). Чем больше их группировок в теле, тем оно однороднее. Если группировки элементарных частиц содержат неравновесную фазу, ответственную за каталитический акт, то термоэффект указывает на определенную однородность катализатора и по этому свойству. Принимая во внимание, что однородность каталитической поверхности, сохраняемая при достаточно высоких

температурах (850—900°), в известной степени характеризует стабильность катализаторов, следует считать, что четко выраженный высокоэнергетический экзоэффект на кривой нагревания природного или синтетического алюмосиликата свидетельствует также о возможности приготовления стабильного катализатора. Более однородная масса с близким к эквивалентному соотношением алюминия и кремния имеет резко выраженный экзоэффект и дает более стабильные катализаторы, чем масса с 10% Al₂O₃.

Таким образом для получения методами термической активации кативных катализаторов крекинга природное сырье должно обладать: 1) развитой поверхностью и связанным с нею низкотемпературным экзоэффектом (100—200°); 2) четко выраженным экзоэффектом при температурах 900—1000° и 3) химическим составом, приближающимся к эквивалентному соотношению алюминия и кремния.

Из известных минералов этим требованиям в наибольшей степени отвечают аллофаны, отличающиеся к тому же тонкодисперсной структурой. В исследованных образцах пород присутствие аллофана достаточно четко увязывается с признаками повышенной каталитической активности. Другие минералы, в частности, чистые каолинито-галлуазитовые породы дают катализаторы с активностью, колеблющейся в широких пределах. Сравнительно высокая активность в этом случае неизменно сочетается с более развитой поверхностью, а следовательно, с особой тонкодисперсностью минерала. Для образования структуры с удельной поверхностью около 200 м²/г, которой достигают, например, образцы Шенуровской породы, необходимо, чтобы размер кристаллической частицы минерала не превышал 100—150 Å. Обычные галлуазиты имеют дисперсность порядка 1000 Å, что соответствует поверхности 20—30 м²/г.

Эти соображения позволяют высказать предположение, что каталитическую активность многих природных материалов низкой и средней активности, имеющих характерную кривую нагревания (прежде всего четко выраженный экзоэффект 900—1000°) и незагрязненных в большей степени нежелательными примесями, можно увеличить не только путем химической обработки, но и методами механического воздействия с целью увеличения дисперсности кристаллической фазы. К таким методам можно предположительно отнести сверхтонкое измельчение в коллоидных мельницах и обработку ультразвуком.

Выводы

Показана зависимость активности природных катализаторов от минералогического состава использованных естественных пород, и установлена связь между отдельными термоэффектами на кривых нагревания исследуемых пород с их каталитическими свойствами. Выявлена прямая зависимость активности аллофановых и наиболее тонкодисперсных каолинито-галлуазитовых пород.

ВНИИ по переработке нефти
и газа и получению искусственного
жидкого топлива

PHYSICO-CHEMICAL PROPERTIES AND CATALYTIC ACTIVITY OF A NUMBER OF NATURAL MATERIALS USED IN PREPARING CRACKING CATALYSTS

*A. V. Agafonov, M. A. Kaliko, I. E. Gel'ms, M. N. Pervushina and
E. I. Rabinovich (Moscow)*

Summary

In the paper the dependence of the activity of natural catalysts upon the mineral composition has been demonstrated and it has been found that there is a relation between the thermal effects on the heating curves of some minerals and their manifest catalytic properties. The higher activity of allophanes and of the finer of the каолинито-галлуазитовых пород has been established.

ИСНЫЙ АЛЮМОСИЛИКАТ-МОЛИБДЕНОВЫЙ КАТАЛИЗАТОР ДЛЯ ПРОЦЕССА ДЕСТРУКТИВНОЙ ГИДРОГЕНИЗАЦИИ ТЯЖЕЛОГО НЕФТЯНОГО СЫРЬЯ

Е. С. Семенова и Л. И. Пигузова

Для сложного процесса деструктивной гидрогенизации получили широкое распространение многофункциональные катализаторы, представляющие, главным образом, сульфиды или сочетания сульфидов металлов IV, VI и VIII групп периодической системы элементов. Однако, несмотря на высокую расщепляющую активность в указанных условиях, некоторые из них, например, WS_2 отличаются слабовыраженной изомеризующей способностью, что характеризуется низким качеством получаемых бензиновых фракций (пониженные октановые числа). Весьма интересен также тот факт, что в условиях каталитического крекинга — при атмосферном давлении и $400^\circ C$ — WS_2 почти не проявляет расщепляющей способности (ход фракций НК— $200^\circ C$ составляет всего 2,5%) и работает преимущественно как дегидрирующий катализатор. Это можно, по-видимому, объяснить его весьма слабыми кислотными свойствами, в отличие от алюмосиликатных катализаторов [2—5].

Синтез новых активных и селективных катализаторов деструктивной гидрогенизации осуществлялся, исходя из предположения, что различные функции катализаторов в процессе могут обуславливаться различными характеру действия компонентами, например, гидрирующими и расщепляющими. Известно, что расщепляющая активность типично гидрирующих катализаторов усиливалась при введении в них компонентов, придающих кислотные свойства [6, 7].

В этой связи были использованы соосажденные алюмосиликатные катализаторы, обладающие кислотными свойствами и применяемые при крекинге различных видов сырья [8]. В качестве гидрирующего компонента был избран молибденовый ангидрид, который в виде раствора молибдата аммония вводился в $Al-Si$, влажную массу. Синтез такого катализатора осуществлялся на высокотемпературных реакциях между частично дегидрированными соединениями, находящимися в твердой фазе [9—11]. Степень взаимодействия их увеличивается с повышением степени гидратации компонентов [12].

Испытания алюмосиликат-молибденового катализатора деструктивного гидрирования не позволили еще однозначно утверждать, что он представляет соединение с новыми свойствами, отличающимися от свойств входящих в него компонентов или их механической смеси.

Сопоставление активностей в процессе деструктивной гидрогенизации алюмосиликат-молибденового катализатора и входящих в него компонентов алюмосиликатного расщепляющего и алюмомолибденового гидрирующего, а также механической смеси последних представлено в табл. 1. Характеристика пористой структуры этих систем в табл. 2.

Характеристика пористой структуры указанного катализатора резко отличается от структуры алюмосиликатного компонента. При введении в него MoO_3 наблюдается сокращение величин удельной поверхности и объема пор.

Алюмосиликат-молибденовый катализатор (образец 4, табл. 1), приготовленный из гидратированного алюмосиликатного геля и раствора мо-

Таблица

Активность алюмосиликат-молибденового катализатора, его компонентов и смеси их в процессе деструктивной гидрогенизации*

Условия опыта: температура 450° С, давление — 300 атм, подача H_2 — 1500 мл сырья, объемная скорость 1,0 л сырья/л катализатора в час.
Сырье: фракция 320—450° С прямой перегонки ромашкинской нефти (сульфидирующихся углеводородов 45 объемн. %, серы — 1,5 вес. %)

Характеристика катализатора и его компонентов	Объемный вес, г/мл	Содержание в катализаторе, вес. %		Характеристика гидрогенизата		Глубина гидрирования
		MoO_3	Al_2O_3	выход фракции НК—200° С, вес. %	содержание сульфидирующихся углеводородов, объемн. %	
Al — Si крекирующий компонент, прокаленный при 650° С	0,62	0	15	22,0	24,0	50
Al — Mo гидрирующий компонент, прокаленный при 650° С	0,52	30	70	18,0	7,5	83
Al — Si + Al — Mo смесь прокаленных компонентов	0,61	5,8	26	27,0	23,0	53
Al — Si — Mo, катализатор деструктивной гидрогенизации из гидратированных окислов	0,64	6,0	26,5	48,0	12,0	73

* Работа по испытанию катализаторов проводилась в лаборатории М. В. Рысак

Таблица 2

Характеристика пористой структуры алюмосиликат-молибденового катализатора и его компонентов

№ катализаторов	Состав катализаторов по окислам	Объемный вес, г/мл	Характеристика пористой структуры		
			S уд. м ² /г	V пор. мл/г	средний радиус пор, А
1	Al_2O_3 —SiO ₂	0,62	280	0,45	35—40
2	Al_2O_3 —MoO ₃	0,52	73	0,26	71,0
3	Смесь: Al_2O_3 —SiO ₂ и Al_2O_3 —MoO ₃	0,61	59	0,14	82,0
4	Al_2O_3 —SiO ₂ —MoO ₃	0,64	90	0,26	55,0

Таблица

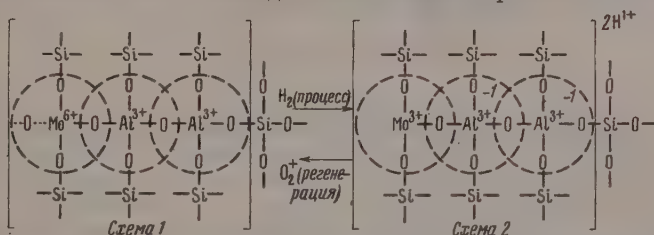
Зависимость расщепляющей способности алюмосиликат-молибденового катализатора от активности алюмосиликатного компонента

Условия опыта: температура 420° С, давление 150 атм, объемная скорость С сырья/л катализатора в час, подача водорода 1500 мл/л сырья.
Сырье: фракция 240—450° С газойля каталитического крекинга, содержание: серы — 1,65 вес. %, сульфидирующихся углеводородов — 51,5%

№ катализатора	Объемный вес, г/мл	Индекс активности Al — Si компонента	Характеристика гидрогенизата		Глубина гидрирования сырья
			содержание фракции НК — 200° С, объемн. %	содержание сульфидирующихся углеводородов, объемн. %	
5	0,62	42,0	40,0	35,0	32,0
6	0,65	24,1	30,0	36,0	30,0

дбата аммония, обладал достаточно высокими расщепляющими и гидрирующими свойствами. При этом он резко отличался от отдельно взятых (гидрирующего алюмомолибденового и расщепляющего алюмосиликатного) компонентов, а также и их смеси, даже после ее дополнительного окисления (образец 3, табл. 1). Такое различие в активностях катализатора и входящих в него компонентов обуславливается появлением качественно новых свойств у приготовленного специальным образом катализатора.

Представляло интерес определить зависимость свойств катализатора от свойств компонентов. Исследовалось влияние различной активности



алюмосиликата на расщепляющие свойства алюмосиликат-молибденового катализатора, содержащего около 2 вес. % молибденового ангидрида. Как можно видеть из данных табл. 3, расщепляющая способность алюмосиликат-молибденового катализатора возрастает с повышением индекса активности алюмосиликатного компонента, определяемого в стандартных условиях [13]. Следовательно, нетрудно заметить специфику действия отдельных компонентов в свойствах комплексного катализатора.

Механизм образования сложного в исходном состоянии окисного катализатора с позиций координационной химии нам представляется следующим:

При термохимическом взаимодействии алюмосиликата и молибденового ангидрида, в котором Mo^{6+} находится в четырехкоординационном состоянии, в алюмосиликатном скелете возможно изоморфное замещение тетраэдра SiO_4 на тетраэдр MoO_4 [15]. Химическая структура образующегося алюмосиликат-молибденового катализатора и изменение ее в процессе деструктивной гидрогенизации и окислительной регенерации может быть представлена схемами, изображенными на рисунке.

В схеме 1 показана электронная ненасыщенность катиона Mo . Это может обусловить его большое сродство к углеводородной, преимущественно ароматической молекуле. Такое возбужденное состояние комплекса катализуется под действием водорода, когда Mo^{6+} переходит в Mo^{4+} (Mo^{3+}), что может привести к изменению в структуре активного комплекса, представленной схемой 2. Такой комплекс, обладая кислотными свойствами, проявляет одновременно расщепляющую и гидрирующую способность. В условиях окислительной регенерации комплекс вновь переходит из состояния, представленного схемой 2, в состояние, изображаемое схемой 1. Это связано с обратимым окислением Mo^{3+} в Mo^{6+} .

Поведение в процессе серы (из сырья), аналогичное кислороду, авторами в данной статье не рассматривают.

Характер и прочность связей между входящими в катализатор компонентами могут быть в известной степени определены на основании оценки термической и химической устойчивости прокаленных при 650°C катализаторов. Последний способ использован для оценки алюмосиликатных катализаторов крекинга с различным уровнем стабильной активности [14]. Результаты определения термической и химической устойчивости приведены в табл. 4.

Из данных табл. 4 следует, что с увеличением молярного соотношения $\text{Al}_2\text{O}_3 : \text{MoO}_3$ в катализаторе термическая и химическая устойчивость по-

Таблица

Состав катализаторов по окислам	Содержание в % на абс. сухое вещество		Al ₂ O ₃ / MoO ₃ моли	Терм. устойчивость или потери от первоначального содержания, % при температурах			Хим. устойчивость — степень извлечения кислотой в % от исходного содержания	
	Al ₂ O ₃	MoO ₃		700°	750°	800°	Al ₂ O ₃	MoO ₃
Al ₂ O ₃ — SiO ₂	28,1	—	—	—	—	—	11,7	—
Al ₂ O ₃ — MoO ₃	88,0	12,0	10,4	—	—	—	—	6,
Al ₂ O ₃ — SiO ₂ — MoO ₃	26,5	6,0	6,2	5,2	15,2	50,0	12,3	28,
Al ₂ O ₃ — SiO ₂ — MoO ₃	24,6	12,0	2,9	13,0	18,0	60,0	11,2	42,
Al ₂ O ₃ — SiO ₂ — MoO ₃	15,0	7,5	2,8	14,7	25,3	52,0	—	80,

следнего повышается. Это возможно объяснить тем, что связь молибдена с алюмосиликатом в алюмосиликат-молибденовом комплексном катализаторе осуществляется, в основном, через кислород с алюминием, что отвечает представленным выше схемам.

Рентгеноструктурным анализом Al—Si—Mo катализатора показан его рентгено-аморфный характер в отличие от кристаллического строения исходного молибденового ангидрида.

Выводы

1. Алюмосиликат-молибденовый катализатор окисного типа для процесса деструктивной гидрогенизации высокоароматизированного нефтяного сырья представляет собой не механическую смесь из входящих в него компонентов, а комплексное соединение типа гетерополикислот качественно новыми свойствами.

2. В условиях давления водорода предполагается переход молибдена из высших в низшие степени окисления, и катализатор, обладая электронной ненасыщенностью, приобретает кислые свойства, что проявляется одновременно в его расщепляющем и гидрирующем действии.

ЛИТЕРАТУРА

1. Е. И. Прокопеч, Тр. ВНИИГН, Гостоптехиздат, вып. II, 328, 1950.
2. R. S. Hansford, Petr. Process, 1, 147, 1946.
3. R. S. Hansford, Industr. and Engng Chem., 59, 849, 1947.
4. C. Thomas, Industr. and Engng Chem., 41, 2564, 1949.
5. Л. И. Пигузова, Материалы Совещания по алюмосиликатным катализаторам при ЦИАТИМ в январе 1948 г. Гостоптехиздат, 1952, стр. 195.
6. Г. Н. Маслянский, Ф. С. Шендерович, Ж. физ. химии, 14, 1301, 1940.
7. M. Pier, Z. Elektrochem., 53, 291, 1949.
8. А. В. Агафонов, Алюмосиликатные катализаторы, Гостоптехиздат, 1951.
9. A. S. Russel, J. J. Stokes, Industr. and Engng Chem., 38, 1071, 1946.
10. Е. Н. Никитин, Докл. АН СССР, 92, 617, 1953.
11. Е. Н. Никитин, Докл. АН СССР, 94, 919, 1954.
12. Я. А. Угай, Ю. А. Васлык, Ж. общ. химии, 25, 1645, 1955.
13. Сб. ГрозНИИ «Методы лабораторного контроля производства катализаторов». Изд. в Грозном, 1951.
14. Л. И. Пигузова, ХТТ, № 6, 43, 1956.
15. Naturwiss. 34/34, № 29, 36, 1941.

ALUMINUM SILICATE MOLYBDENUM OXIDE CATALYST FOR THE PROCESS OF DESTRUCTIVE HYDROGENATION OF HEAVY RAW PETROLEUM

E. S. Semenova and L. I. Piguzova (Moscow)

Summary

As has been found, the aluminum silicate molybdenum catalyst in the process of destructive hydrogenation of a highly aromatized sulphuric raw petroleum differs as regards its activity and porous structure characteristics both from the splitting aluminum silicate component and from the hydrogenating aluminum molybdenum component, or their mixture. Thus, this catalyst supposedly represents not a mechanical mixture but a compound of the aluminum silicate molybdenum heteropolyacid type with qualitatively new properties.

ИССЛЕДОВАНИЕ ПОРИСТОЙ СТРУКТУРЫ И КАТАЛИТИЧЕСКОЙ АКТИВНОСТИ ШАРИКОВЫХ АЛЮМОСИЛИКАТНЫХ КАТАЛИЗАТОРОВ

Ю. С. Никитин

Для исследования были взяты пять шариковых катализаторов, проалекненных при 750°. Из них были получены серии измененных образцов результате обработки паром при 750° в течение разного времени, а для двух катализаторов, кроме того, в результате прокаливания их при более высокой температуре. Прокаливание и обработка паром проводились в вертикальной печи в кварцевом проточном реакторе. Прокаливание велось в токе воздуха, подаваемого со скоростью 100 объемов воздуха на объем катализатора в час, а обработка паром — при такой же скорости подачи пара.

На каждом из образцов всех серий катализаторов были сняты изотермы адсорбции и десорбции паров метанола при 20°, из которых оценены значения удельной поверхности S , объема пор V и эффективного диаметра

Каталитическая активность оценивалась по крекингу керосино-газойевой фракции артемомалгобекской нефти в проточных условиях при объемной скорости подачи сырья, равной 0,7 мл/мл катализатора/час. температура в слое катализатора 450°, время проведения опыта 30 мин.

Рассмотрим сначала результаты адсорбционных измерений *. Как видно из рис. 1 и данных таблицы, имеется резкое различие в изменении структуры шариковых катализаторов при их термической и паровой обработке. При прокаливании катализатора при высоких температурах сокращение величины удельной поверхности происходит приблизительно пропорционально сокращению объема пор. Размеры пор существенно не изменяются. В случае же паровой обработки объем пор уменьшается больше, чем величина удельной поверхности, при этом происходит резкое увеличение размеров пор. В соответствии с этим прямые зависимости от S на рис. 1 идут при термической обработке круче, чем в случае обработки паром. Математически зависимость V от S может быть выражена для термообработки

$$V = k_T S; \quad (1)$$

для паровой обработки:

$$V = k_{\text{п}} S + V_0. \quad (2)$$

При одной и той же усадке (рис. 1) удельная поверхность катализатора, обработанного паром, значительно меньше, чем образца, прокаленного при более высоких температурах. При одной и той же величине удельной поверхности объем пор прокаленного катализатора меньше, а его на-

* Подробное изложение результатов изучения структуры катализаторов при помощи адсорбционно-структурного и электрономикроскопического методов см. в Ж. физ. химии, 30, 2149, 1956. Там же обсуждается возможный механизм изменения пористой структуры алюмосиликатного катализатора при действии на него высоких температур и водяного пара.

Результаты оценки структурных характеристик и активности шариковых алюмосиликатных катализаторов

Образцы катализаторов	$V, \text{см}^3/\text{г}$	$S, \text{м}^2/\text{г}$	$d, \text{Å}$	Насыпной вес	Индекс активности (бензин, %)	Газ%	Кокс, %	Бензин/газ	Глубина превращения, %	$S_V, \text{м}^2/\text{см}^3$	Преобразование
Катализатор 1, исходный	0,62	280	76	0,60	35,5	14,1	2,2	2,52	51,8	170	1
Обработан паром 1 час	0,62	255	86	0,62	32,5	12,7	1,6	2,56	46,8	160	2
» » 6 час.	0,55	160	116	0,65	27,3	12,5	—	2,18	39,8	105	3
Катализатор 2, исходный	0,61	270	75	0,61	34,9	13,0	2,0	2,68	49,9	165	4
прокален при 850° 6 час.	0,61	270	88	0,62	29,3	13,7	—	2,14	45,1	165	5
» » 900° 6 час.	0,53	240	76	0,67	29,2	15,1	2,65	1,93	46,2	160	6
» » 950° 6 час.	0,53	230	76	0,69	28,0	14,5	2,4	1,93	44,9	160	7
обработан паром 1 час.	0,57	225	82	0,66	32,3	13,3	1,4	2,43	47,0	150	8
» » 6 час.	0,53	170	108	0,67	25,8	7,8	—	3,31	33,6	115	9
» » 24 часа	0,51	130	136	0,67	23,1	4,1	1,0	5,64	28,2	90	10
Катализатор 3, исходный	0,60	360	54	0,65	37,4	18,8	3,5	1,99	59,7	235	11
обработан паром 1 час	0,53	240	82	0,67	31,7	13,2	1,5	2,40	46,4	160	12
» » 6 час.	0,46	160	108	0,71	24,8	9,2	—	2,70	34,0	115	13
Катализатор 4, исходный	0,52	385	42	0,72	39,3	19,4	4,0	2,02	62,7	280	14
обработан паром 6 час.	0,37	190	76	0,79	27,9	10,4	—	2,68	38,3	150	15
Катализатор 5, исходный	0,50	380	40	0,73	36,6	23,2	3,7	1,58	63,5	280	16
прокален при 850° 6 час.	0,37	210	60	0,83	35,4	14,0	4,0	2,52	53,4	175	17
» » 900° 6 час.	0,28	210	42	0,90	35,4	18,6	4,5	1,90	58,5	190	18
обработан паром 1 час.	0,42	250	66	0,74	34,6	17,6	—	1,97	54,2	185	19
» » 12 час.	0,32	145	120	0,88	24,1	13,3	1,6	1,81	39,0	130	20
» » 24 час.	0,28	90	144	0,90	15,0	5,1	1,29	2,94	22,4	80	21

сыпной вес больше, чем у катализатора, обработанного паром. Такое различие в изменении структуры катализаторов сказывается и в изменении их каталитической активности. Действительно, данные таблицы указывают на определенное различие в изменении активности катализаторов:

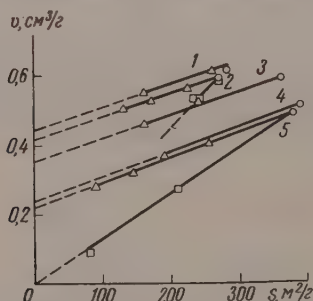


Рис. 1. Изменение удельной поверхности и объема пор шариковых алюмосиликатных катализаторов 1—5, в зависимости от термической (квадраты) и паровой обработки (треугольники). Исходные катализаторы — кружки

при их термической и паровой обработках. Обращает на себя внимание более глубокое падение крекирующей способности алюмосиликатных катализаторов в результате длительной обработки паром по сравнению со снижением их активности после прокалывания при температурах 850, 900° а у катализатора 2 даже при 950°. Наблюдается различие и в изменении избирательности действия катализаторов после их термической или паровой обработки. Действие пара приводит к значительному увеличению отношения бензин/газ, прокалывание при более высоких температурах, напротив, мало изменяет его. Выход кокса после обработки паром умень-

ается для всех катализаторов, в то время как термическая обработка приводит даже к некоторому его увеличению.

Как видно из таблицы, для большинства исследованных шариковых катализаторов как подвергшихся прокаливанию, так и обработанных паром, удельные глубины превращения мало отличались друг от друга. Постоянство глубины превращения указывает на то, что имеется прямая пропорциональность между активностью катализаторов A и величиной их удельной поверхности, отнесенной к единице объема S_V :

$$A = maS_V = ma\Delta S, \quad (3)$$

где a — удельная активность, m — число см^3 , заполняющих реакционное пространство, Δ — насыпной вес. Так как объем пор шарикового катализатора

$$V = \frac{1}{k\Delta} - \frac{1}{\delta}, \quad (4)$$

где δ — истинная плотность вещества катализатора, а k — фактор упаковки, одинаковый для большинства шариковых алюмосиликатов, решая совместно уравнения (3) и (4), получаем

для термической обработки:

$$A_T = \frac{ma}{k_T k} - \frac{ma}{k_T \delta} \Delta, \quad (5)$$

для паровой обработки:

$$A_{\Pi} = \frac{ma}{k_{\Pi} k} - \frac{ma \left(v_0 + \frac{1}{\delta} \right)}{k_{\Pi}} \Delta. \quad (6)$$

Уравнения (5) и (6) представляют в координатах активность — насыпной вес прямые линии, при этом из сравнения коэффициентов при насыпном весе видно, что при одинаковом изменении насыпного веса при паровой обработке происходит значительно большее снижение активности, чем при термической. Действительно,

$$\frac{ma}{k_T \delta} < \frac{ma \left(v_0 + \frac{1}{\delta} \right)}{k_{\Pi}}, \text{ так как } k_T^* > k_{\Pi} \text{ и}$$

$$\frac{1}{\delta} < v_0 + \frac{1}{\delta}.$$

На рис. 2 в координатах: глубина превращения — насыпной вес представлены экспериментальные данные по термическому и паровому превращению шариковых катализаторов.

При одинаковой усадке активность образца, подвергшегося прокаливанию при высоких температурах, значительно выше активности образца, обработанного при 750° паром. При паровой обработке падение удельной поверхности происходит в значительно большей степени, чем усадка катализатора. В этом случае увеличение насыпного веса уже в значительно меньшей степени компенсирует падение удельной поверхности. По-

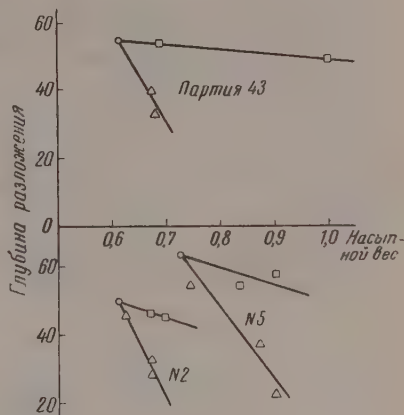


Рис. 2. Изменение активности (глубины разложения) и насыпного веса шариковых алюмосиликатных катализаторов в зависимости от термической (квадраты) и паровой (треугольники) обработок. Исходные катализаторы — кружки

этому активность катализаторов при их одинаковой усадке после паровой обработки падает больше, чем после термической.

Автор благодарит проф. А. В. Киселева за ценные советы, сделанные при проведении настоящей работы.

Выводы

1. Падение активности изученных шариковых алюмосиликатных катализаторов при термической и паровой обработках происходит, главным образом, в результате сокращения величины их поверхности, рассчитанной на объем реактора.

2. Снижение активности протекает по-разному для образцов, обработанных паром и подвергавшихся прокаливанию при более высоких температурах. Это различие связано с различиями в изменении структуры этих катализаторов, происходящем в результате термической и паровой обработок.

Всесоюзный научно-исследовательский институт
нефтяной промышленности

INVESTIGATION OF POROUS STRUCTURE AND CATALYTIC ACTIVITY OF BALL-SHAPED ALUMINUM SILICATE CATALYSTS

Yu. S. Nikitin (Moscow)

S u m m a r y

During heat and steam treatment of the ball-shaped aluminum silicate catalysts studied the observed slowing down of their activity is largely due to a reduction of the surface area calculated with reference to the volume of the reactor.

This reduction in activity proceeds differently depending upon whether the samples are treated with steam or ignited at higher temperature. This is because the structure of the catalyst is not affected in the same way when heat and steam are used.

ОБРАЗОВАНИЕ И ПРИРОДА АКТИВНЫХ ЦЕНТРОВ
АЛЮМОСИЛИКАТНЫХ КАТАЛИЗАТОРОВ*М. А. Калико*

Нельзя согласиться с мнением Хенсфорда, данным им в его статье [1], что ...«Новейшее объяснение механизма крекинга главным образом основывается на обнаруженных кислотных свойствах катализаторов...»

Исторически дело обстоит как раз наоборот: еще до появления карбонийно-ионного механизма катализа проводилась аналогия между действием гидроалюмосиликатов и действием сильных кислот. Так возникла кислотная теория действия алюмосиликатного катализатора и именно из этого представления о кислых свойствах его поверхности [2, 3]. К изучению каталитического начала алюмосиликатных катализаторов большинство исследователей подходило таким путем, что в начале предполагалась определенная структура активного кислотного центра, который необходимо для объяснения механизма каталитического крекинга, а затем уже рассматривались остальные свойства катализатора, которые могли бы удовлетворить требованиям образования и устойчивости этого центра. В связи с этим гипотеза кислотной поверхности алюмосиликатных катализаторов претерпела довольно быструю эволюцию — от предположений о ротонной алюмосиликатной кислоте до оригинальных представлений о гидрированных кислотах Облада, Милликена и Милса [4].

В противоположность указанной методике исследования алюмосиликатных катализаторов, в начале нами были изучены причины, от которых зависела каталитическая активность. Были детально изучены динамика активации и дезактивации поверхности, изменения величины удельной поверхности в процессах термической и термopаровой обработки. Изучены влияние этих условий на величину адсорбции оснований и дегидратация составляющих катализатор окислов и самого катализатора. Произведен анализ основных данных по методам приготoвления катализаторов крекинга различной стабильности к термическому и термopаровому воздействию.

На основании указанных результатов была выбрана модель активного центра, строение которого наиболее соответствовало, на наш взгляд, последним достижениям корпускулярной теории строения тел, и которая допускала определенное участие воды в каталитическом акте.

В целом ряде соответствующих измерений каталитической активности удельной поверхности алюмосиликатных катализаторов, предварительно прокаленных при все возрастающих температурах, было отмечено, что каталитическая активность проходит через более или менее ярко выраженный максимум активности при монотонном сокращении поверхности. Так как при повышении температуры происходит непрерывная дегидратация составляющих гидроокислов алюминия и кремния, было интересно сопоставить изменение содержания в катализаторе структурной воды с ходом изменения каталитической активности его в зависимости от температуры прокаливания. Расчет произведен на единицу поверхности. На представленном графике (рис. 1) видно, что к моменту завершения процесса дегидратации заканчивается и активация единицы поверхности.

Для этого катализатора все гидроксильные группы от частиц окиси алюминия и окиси кремния прореагировали с образованием воды до температуры 800° . При этом возникло максимальное количество активных центров.

В этих условиях дегидратации, в близкой температурной области отдельно взятые гидрогели окисей алюминия и кремния на единицу поверхности в сумме содержат еще значительное количество структурной воды (см. таблицу, [5]).

Содержание структурной воды на единицу поверхности алюмогеля, силикагеля и алюмосиликатного катализатора при температуре 800°

Образец	Содержание Al_2O_3 , %	Уд. поверхность, содержание воды		
		S , m^2/g	W , %	$\frac{W}{S} \cdot 10^3$
Силикагель + алюмогель Алюмосиликатный катализатор АС	18	220	0,43	1,95
	18	200	0,06	0,30

При одинаковом характере тонкой пористой структуры и размера удельной поверхности, принимая во внимание доказанное корпускулярное строение алюмосиликатных катализаторов и отдельных гелей, можно утверждать, что взаимодействие гидроксильных групп с образованием воды у алюмосиликагеля происходит с больших расстояний, чем в отдельно взятых гелях окиси алюминия и окиси кремния.

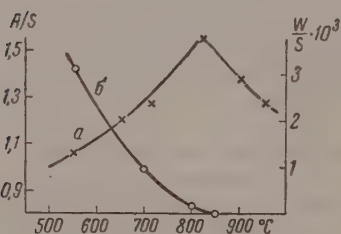


Рис. 1

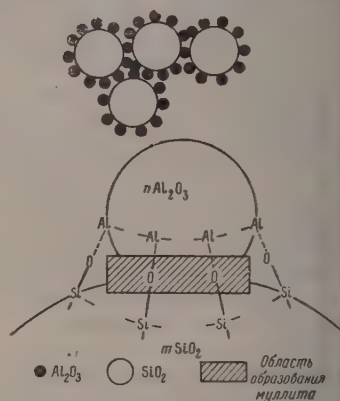


Рис. 2

Рис. 1. Зависимость величины удельной активности (a/s) при разложении кумола при 400° (кривая a) содержание структурной воды на единицу поверхности (w/s) (кривая b) алюмосиликатного катализатора типа — АС, от температуры прокаливания. Рис. 2. Модель активного центра структуры алюмосиликатного катализатора: пунктирной линией обозначено положение ненасыщенной связи Al (единичный активный центр).

С точки зрения кинетики превращения смеси из частиц гелей в термодинамически устойчивое химическое соединение, разница в скорости взаимодействия гидроксидов от атомов, составляющих частицы, и скорости процесса перекристаллизации, приводит к образованию промежуточных соединений с временными химически ненасыщенными связями между атомами. С точки зрения химии окислов наибольшую скорость дегидратации можно ожидать от пары гидрооксидов в смежных частицах, наделенных свойствами кислоты и основания, в связи с их стремлением к нейтрализации.

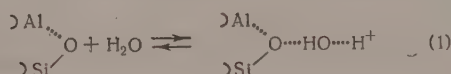
Сопротивление к перекристаллизации атомов в частицах определяется прочностью из внутренних связей и энергией взаимодействия новых

завязанных связей, как и всякая перестройка. В твердых телах эти процессы идут медленно, что определяет время жизни ненасыщенных участков. Поэтому весьма мелкие частицы и единичные молекулы гидроокиси не могут образовать достаточно устойчивых ненасыщенных участков поверхности, особенно, для высокотемпературного каталитического процесса в силу большей подвижности мелких частиц. Эти положения, конечно, не новы, но приобретают важность в синтезе стабильных катализаторов крекинга.

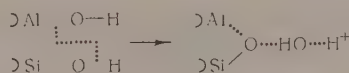
Ниже приводится рис. 2, в верхней части которого изображено предлагаемое распределение частиц окиси алюминия, агрегированных с частицами окиси кремния. В нижней части изображена частица окиси алюминия, агрегированная с частицей окиси кремния, — модель активного участка структуры алюмосиликатного катализатора.

Химическая ненасыщенность отдельных участков катализатора еще определяет способность катализаторов к крекингу углеводородов, как найдено, что для протекания каталитической реакции требуется некоторое минимальное количество воды.

Очевидно, можно представить, что при температурах крекинга вода, адсорбированная поверхностью катализатора, при взаимодействии с ненасыщенными участками поверхности легко активируется, генерируя протоны. Одна из схем протонизации поверхности показана ниже:

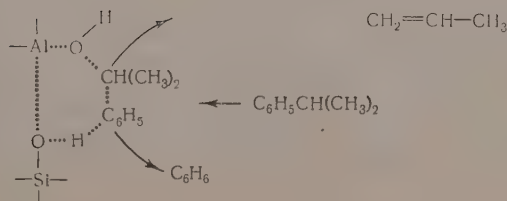
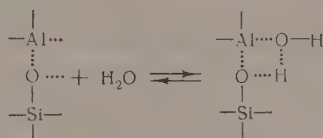


В процессе генезиса алюмосиликатного катализатора из гидроалюмоокислителя при прокаливании в атмосферных условиях стадии адсорбции воды, конечно, нет. В этом случае предполагается непосредственное образование протонизированного участка поверхности путем перестройки гидроксидов в хемосорбированную воду по схеме:



Не менее интересно представить участие воды в каталитическом акте, прибегая к ионной схеме, так как никто еще окончательно не доказал наличия протона на поверхности алюмосиликатного катализатора.

Из следующих схем видно, что структура активного центра с химически ненасыщенной связью между SiO и Al позволяет допустить образование молекулярного комплекса, состоящего из адсорбированных молекул воды и молекулы углеводорода.



Распад этого комплекса в связи с разрывом и образованием новых энергетически более выгодных связей приводит к десорбции продуктов реакции и восстановлению прежних свойств активного центра.

В гомогенном катализе, в отдельных случаях, подобный механизм может быть более выгодным нежели ионный, как было показано Я. К. Сыркиным [6].

Выводы

В статье разбираются вопросы образования и природы активных центров алюмосиликатных катализаторов крекинга. Были изучены динамика активации поверхности, изменения величины удельной поверхности в процессе термической обработки катализаторов. Получены данные о содержании структурной воды при дегидратации катализатора и составляющих его гидроокислов. На основании этого и некоторых обобщений выбрана модель активного центра, строение которого наиболее соответствует последним достижениям корпускулярной теории строения гелей и которая допускает определенное участие воды в каталитическом акте.

ЛИТЕРАТУРА

1. R. C. Hansford, «Катализ, катализаторы органических реакций», Сб. раб. ИИЛ, 1955, стр. 19.
2. Б. А. Казанский, М. И. Розенгардт, Ж. общ. химии, 13, 304, 1931.
3. А. Н. Баллод, К. В. Топчиева, Успехи химии, 20, 161, 1951.
4. A. Oblad, T. Milliken, G. Mills. Катализ в органической химии. ИИЛ, 1953, стр. 185.
5. М. А. Калико, «Поверхностные химические соединения и их роль в явлениях адсорбции», Сб. трудов конференции по адсорбции, посвященной 200-летию МГУ им. М. В. Ломоносова, 1755—1955. Изд-во МГУ, 1957, стр. 155.]
6. Я. К. Сыркин, В Сб. «Проблемы кинетики и катализа», 10.

FORMATION AND NATURE OF ACTIVE CENTRES OF ALUMINUM SILICATE CATALYSTS

M. A. Kaliko (Moscow)

Summary

The present paper discusses the problems of formation and nature of active centres in aluminum silicate catalysts used in the cracking process. Investigated were the dynamics of surface activation and the variation of the specific surface value in the process of heat treatment of catalysts. Data on the crystal-water contents during the dehydration of a catalyst and of its component hydroxides have been obtained. This and some generalizations have been used as a basis for selecting an active centre model which corresponds best to the recent advances of the corpuscular theory of gels and which admits a definite participation of water in the catalytic act.

ВЛИЯНИЕ УСЛОВИЙ ФОРМИРОВАНИЯ НА УДЕЛЬНУЮ АКТИВНОСТЬ АММИАЧНОГО КАТАЛИЗАТОРА

О. А. Стрельцов, М. Т. Русов и В. К. Скарченко

Химический состав и строение твердых катализаторов определяют каталитическую активность. Общеизвестно, однако, и то, что условия формирования катализаторов также весьма существенно могут сказываться на активности получаемого контакта. Так, активность железных промотированных катализаторов синтеза аммиака зависит от концентрации паров воды и температурного режима при восстановлении катализаторов из окисной формы.

Настоящая работа имела своей целью выяснить влияние условий восстановления аммиачного катализатора данного химического состава на причину поверхности и ее каталитическую активность.

В качестве объекта исследования был выбран железный дважды прогированный (4% Al_2O_3 , 2% K_2O) технический катализатор марки «А». менялось зернение катализатора и температурный режим процесса восстановления (табл. 1).

Таблица 1

Образец	Зернение, мм	Температура восстановления, °С	Поверхность катализатора, $\text{м}^2/\text{г}$
I	0,25—0,5	250—500	23
II	1—2	250—500	20
III	5—6	250—500	16
IV	0,25—0,5	500	17
V	5—6	500	21
VI	0,25—0,5	400 (500)	21

образцы I—III восстанавливались при ступенчатом повышении температуры от 250 до 500° через каждые 25°. При каждой температуре восстановление продолжалось 5 час. Образцы IV и V восстановлены в изо-мических условиях при 500°, образец VI — при 400° в течение 140 мин. и довосстановлен при 500°. Восстановление велось при атмосферном давлении и объемной скорости 15000 л/час · л катализатора.

Активность катализатора измерялась по скорости реакции синтеза аммиака циркуляционным методом при давлении 730 мм рт. ст., объемной скорости 6300 л/час · л катализатора при температурах от 200 до 500°. Константы скорости вычислялись по уравнению М. И. Темкина и В. М. Скулева [1]. По окончании кинетических измерений катализатор тренировался в высоком вакууме, и в том же сосуде, без пассивации катализатора, измерялась адсорбционная емкость образца по метиловому спирту с помощью метода независимого взвешивания [2]. Поверхность образца рассчитывалась по методу БЭТ из изотермы сорбции метилового спирта при 20° в интервале отношений p/p_0 от 0,05 до 0,2.

Как видно из данных, приведенных в табл. 1, изменение условий восстановления мало влияет на величину общей поверхности катализаторов.

В табл. 2 приведены значения удельных активностей (константа скорости, отнесенная к 1 м^2 площади поверхности — k_2/S) для температур 225—300°, когда роль процессов внутреннего переноса вещества при реакции синтеза аммиака мала.

Таблица 2

Образец	Температура, °C			
	225	250	275	300
I	$5,60 \cdot 10^{-7}$	$4,75 \cdot 10^{-6}$	$2,98 \cdot 10^{-5}$	$1,45 \cdot 10^{-4}$
II	$1,61 \cdot 10^{-7}$	$1,63 \cdot 10^{-6}$	$1,15 \cdot 10^{-5}$	$6,96 \cdot 10^{-5}$
III	$8,65 \cdot 10^{-8}$	$8,39 \cdot 10^{-7}$	$7,32 \cdot 10^{-6}$	$5,15 \cdot 10^{-5}$
IV	$2,09 \cdot 10^{-7}$	$1,88 \cdot 10^{-6}$	$1,72 \cdot 10^{-5}$	$1,05 \cdot 10^{-4}$
V	$2,34 \cdot 10^{-8}$	$4,03 \cdot 10^{-7}$	$4,08 \cdot 10^{-6}$	$2,81 \cdot 10^{-5}$
VI	$6,06 \cdot 10^{-7}$	$4,90 \cdot 10^{-6}$	$2,84 \cdot 10^{-5}$	$1,43 \cdot 10^{-4}$

Из данных, приведенных в табл. 2, видно, что с увеличением зерна катализатора от 0,4 до 5,5 мм удельная активность его при температуре 225° снижается в 7—9 раз. Повышение температуры восстановления катализатора данного зёрнения также приводит к снижению его удельной активности при 225° в 3—4 раза.

Уменьшение различий в удельных активностях при повышении температуры для образцов, восстановленных в разных условиях, связано, видимо, с нарастанием роли процессов внутреннего переноса при реакции синтеза аммиака.

Нами было показано, что восстановление аммиачных катализаторов тормозится процессами переноса паров воды в порах кусков катализатора [3, 4]. В результате этого концентрация паров воды в порах кусков катализатора значительно превышает концентрацию, определяемую в отходящей газовой смеси. Увеличение содержания паров воды в порах кусков катализатора должно отрицательно сказываться на активности катализатора [5]. С увеличением зёрнения катализатора растёт концентрация паров воды в порах кусков катализатора и удлиняется путь молекул воды от центра куска к периферии, что, естественно, должно приводить к падению активности катализатора. При восстановлении катализаторов данного зёрнения при низких температурах концентрация паров воды мала и отрицательное влияние их на формирующуюся активную поверхность сказывается в меньшей степени, чем при проведении процесса восстановления при высоких температурах.

Различие удельных активностей катализатора данного химического состава в зависимости от условий восстановления можно объяснить лишь с позиций существования неоднородности каталитически активной поверхности.

Возможно, что изменение условий формирования приводит к неравномерному распределению промоторов в поверхностных слоях катализатора, что и является причиной различия их удельных активностей.

Выводы

1. Изучено влияние условий восстановления на формирование активной поверхности железного дважды промотированного окислами алюминия и калия катализатора синтеза аммиака.
2. Показано, что изменение условий восстановления мало сказывается на величине площади поверхности катализатора, но значительно влияет на удельную каталитическую активность этой поверхности.

Академия наук УССР
Институт физической химии
им. Л. В. Писаржевского
Киев

ЛИТЕРАТУРА

- М. И. Темкин и В. М. Пыжев, Ж. физ. химии, **13**, 851, 1939.
З. П. Беринг и В. В. Серпинский, Проблемы кинетики и катализа, Изд-во АН СССР, М.—Л., **7**, 383, 1949.
О. А. Стрельцов и М. Т. Русов, Укр. хим. ж., **20**, 438, 1954.
З. К. Скарченко, М. Т. Русов, О. А. Стрельцов, Н. П. Радченко и Ю. А. Снигуровская, Укр. хим. ж., **24**, 443, 1958.
З. Рогинский, Ж. прикл. химии, **17**, 3, 97, 1944.

THE EFFECT OF THE CONDITIONS OF FORMATION OF AMMONIA
CATALYST ON ITS SPECIFIC ACTIVITY

O. A. Streltsov, M. T. Rusov and V. K. Skarchenko (Kiev)

Summary

Investigated was the effect which the conditions of reduction have on the formation of the active surface of an iron catalyst twice promoted with aluminum and potassium oxides in the synthesis of ammonia.

It is shown that a change in the conditions of reduction has little effect on the surface of the catalyst, whereas the specific catalytic activity of this surface is considerably affected.

ТЕРМОДИНАМИКА КРИСТАЛЛИЧЕСКИХ КАТАЛИЗАТОРОВ

О. М. Полторак

Гетерогенные катализаторы неравновесны и это ограничивает возможности их термодинамического описания. Все же таких возможностей больше, чем это кажется на первый взгляд.

Неравновесность катализаторов можно рассматривать двояко: либо определять свойства решетки в целом и говорить о неравновесной фазе ограничения кристаллов, их размере и «блочной» структуре, либо говорить об избыточном числе структурных микро-дефектов решетки, часть из которых играет роль активных центров. Оба способа описания являются вполне естественными. Они использовались [1, 2] в теории катализа, однако не привели к существенным успехам в теории активных центров. И этому есть свои основания.

Несмотря на то, что активные центры катализаторов всегда можно себе представить как некоторые микро-дефекты решетки, само по себе отведение активных центров с дефектами решетки еще не решает двух основных вопросов. Во-первых, заранее не ясно, какой из всего многообразия дефектов является каталитически наиболее активным. Во-вторых, теория дефектов до сих пор рассматривала только вопрос о тепловой диссоциации идеальной решетки, когда равновесное число дефектов пренебрежимо мало для катализа, а количественное несоответствие этих величин, достигающее до 10^{10} раз (см. ниже), уже приобретает характер качественной неполноценности теории.

С другой стороны, чисто термодинамические признаки неравновесности кристаллов (например, в «теории пересыщения» [2]), рассматривались не в связи с количественной связью со строением, свойствами и числом активных центров. Между тем, очевидно, что «пересыщенность» важна не сама по себе, а лишь постольку, поскольку в таких системах кристаллы содержат больше дефектов.

Две из трех указанных трудностей исчезают, если найти вид функции, связывающей макроскопические признаки неравновесности кристаллов с условием равновесия (см. ниже) числом дефектов на их поверхности. Этому посвящены работы автора [3—5], в основе которых лежит анализ условий равновесия

Неравновесная решетка \rightleftharpoons активные центры

Чтобы применение к этому случаю общих методов теории дефектов не было бессмысленным, необходимо в более точном соответствии с каталитическим опытом (чем это делается в теории дефектов) определить то, что в левой и правой части символического уравнения (1) обозначено как «неравновесная решетка» и «активные центры», а также обратиться к понятию равновесия в самой по себе неравновесной системе.

Третья трудность — вопрос о природе активного центра, — принципиально не может быть обойдена в рамках чисто термодинамической теории. Поэтому термодинамика активных центров не является изолированным методом рассмотрения, а должна быть тесно связанной с уже существующими теориями активных центров. Для последних использование термодинамического подхода дает известные преимущества.

Дело в том, что доля активных центров на поверхности кристаллических катализаторов как правило весьма невелика, и ее трудно найти годами, не связанными с катализом. Анализируя равновесие (1) мы тучаем возможность оперировать не с косвенными, чаще всего неоднозначными данными о свойствах центров, а со связанными с ними и изменяемыми на опыте величинами, относящимися к свойствам решетки в том. Это имеет то преимущество, что из области гипотез, трудно проясняемых на опыте, можно перейти к теории, опирающейся на прямые экспериментальные данные.]

О природе равновесия (1)

При сопоставлении результатов теории дефектов кристаллов с опытом материалом не только в катализе, но и для других «структурно-чувствительных» свойств, постоянно приходится сталкиваться со следующим противоречием общего порядка. Даже при самом благоприятном сочетании предполагаемых в теории обстоятельств, ожидаемое при равновесии число дефектов в кристаллах часто оказывается на много порядков меньше реализуемого на опыте. Это привело к представлению о «биографическом» дефектах, число которых является теоретически неопределенным. При такой постановке вопроса в катализе апелляция к «дефектам» ретки является излишней, так как представление об активных центрах возникло практически одновременно и независимо от теории дефектов. Все это заставляет перейти к теории образования дефектов в неидеальных кристаллах, где даже при равновесии число дефектов может быть значительно выше, чем в «идеальных» системах. Однако здесь сразу возникает вопрос о природе такого равновесия и его законах.

Система, неравновесная по отношению к окружающей среде, сама по себе может находиться во «внутреннем» равновесии, к которому при соответствующих условиях применимы законы термодинамики. Например, реохлажденная жидкость может находиться в равновесии с мелкими кристаллами, но ни жидкость, ни мелкие кристаллы при этой температуре могут находиться в равновесии с крупными кристаллами, и этот процесс перехода термодинамически необратим. Вопрос о законах равновесия решается аналогично.

Подобно тому, как вполне равновесная решетка кристалла при каждой температуре характеризуется определенным числом дефектов, решетка макроскопически неравновесного кристалла также может содержать вполне определенное и уже повышенное по сравнению с предыдущим случаю число дефектов кристалла. Чтобы равновесие (1) можно было рассматривать термодинамически, необходимо чтобы макроскопические свойства «неравновесной решетки» не изменялись в процессе возникновения и исчезновения дефектов в системе. Хотя в общем случае эти процессы неотделимы от процессов перекристаллизации, так как все они осуществляют одним молекулярным механизмом, относительная медленность перекристаллизации при малости числа дефектов приводит к тому, что при слишком высоких температурах это условие практически выполняется. Математическая сторона вопроса здесь состоит в том, чтобы вместо абсолютного минимума свободной энергии F системы при $T, v = \text{const}$, условием чего является

$$\delta F = 0 \quad (T = \text{const}, v = \text{const}), \quad (2)$$

или относительный минимум F , отвечающий изменению только одной переменной — числа дефектов, при постоянстве всех остальных макроскопических свойств неравновесной решетки L . Условием этого является

$$\delta F = 0 \quad (T = \text{const}, v = \text{const}, L = \text{const}) \quad (3)$$

Так как в (3) варьируемым параметром является только мольная доля дефектов, оно эквивалентно

$$\left(\frac{\partial \Delta F_{\text{деф}}}{\partial n}\right)_{L, T, v} = \Delta \left(\frac{\partial F}{\partial n}\right)_{L, T, v} = (\mu_{\text{деф}} - \mu_{\text{реш}})_L = 0, \quad (5)$$

где μ — соответствующие химические потенциалы, n — число молей, а $\Delta F_{\text{деф}}$ — изменение свободной энергии при образовании дефектов. Уравнение (4) имеет вид обычного условия равновесия и позволяет к процессу (1) применять обычные законы термодинамики, в которых, однако, не

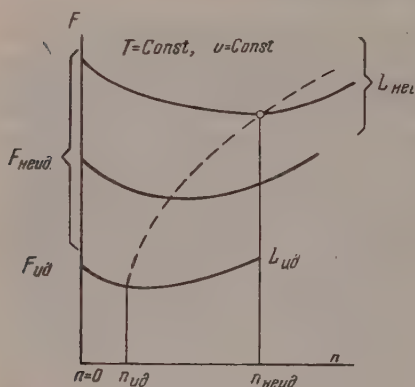


Рис. 1. Изменение свободной энергии при образовании дефектов в кристаллических решетках различной степени неравновесности. F — свободная энергия кристалла; n — мольная доля дефектов; $n_{\text{ид}}$ и $n_{\text{неид}}$ — равновесная доля дефектов в идеальном и неидеальном кристалле. L — символ решетки

фектов решетки и поэтому расхождение результатов теории тепло- и диссоциации идеальной решетки с опытными данными по «структурно-чувствительным» свойствам обычно далеко выходит за пределы обычного несоответствия между данными оценочного расчета и опыта.

Эти соотношения графически проиллюстрированы на рис. 1. Пунктирная кривая определяется уравнением (6), так как n — однозначная скалярная функция от K , а F однозначно связано с μ . Наличие минимумов на кривых $F(n)$ при различных свойствах решетки L (при $T, v = \text{const}$) определяет возможность термодинамического анализа образования дефектов решетки в реальных неравновесных кристаллах.

Поскольку величины $K_{\text{ид}}$ можно считать известными из теории дефектов, остается найти теоретически допустимые значения $\Delta\mu_r$ для неравновесных кристаллов различного типа, а также сопоставить их с опытными данными.

Термодинамические свойства неравновесных кристаллов

В теории Гиббса — Кюри — Вульффа [6–8] исследуются только кристаллы, свободная энергия которых при $T, v = \text{const}$ достигла абсолютного минимума, т. е. рассматриваются равновесные кристаллы. Для них

$$\Delta\mu_r = \mu_r - \mu_{\infty} = \frac{2}{3} F_{\Omega}^M (\text{min}), \quad (6)$$

ности, из (4) следует, что для процесса (1) можно записать константу равновесия, определяющую устойчивую концентрацию дефектов решетки

$$K = \exp\left\{-\frac{\mu_{\text{деф}} - \mu_{\text{реш}}}{RT}\right\}.$$

Поскольку величина $\mu_{\text{реш}}$ (для кристалла индекса 0 можно считать) является различной для кристаллов различного строения, смещение равновесия (1) при переходе от идеальных к неидеальным кристаллам описывается уравнением

$$K_{\text{неид}} = K_{\text{ид}} \cdot \exp\left\{\frac{\Delta\mu_r}{RT}\right\},$$

где $\Delta\mu_r = \mu_{\text{неид. реш}} - \mu_{\text{ид. реш}} > 0$ является термодинамической мерой степени неравновесности кристалла. С ростом этой величины экспоненциально растет число де-

μ_r — химический потенциал для кристаллов с размером r , μ_∞ — та же величина для бесконечно больших кристаллов, а $F_\Omega^M(\min)$ — поверхностная свободная энергия граней одного моля кристаллов с заданной (зависящей от r) степенью дисперсности при одновременном условии, что для каждого из кристаллов свободная энергия минимальна.

Закон взаимного развития граней, определяющий равновесную форму огранения, выражается условием Кюри — Вульфа

$$\frac{\sigma_i}{r_i} = \text{const}, \quad (8a)$$

где σ_i — удельная поверхностная свободная энергия i -ой грани, а r_i — расстояние по нормали от i -ой грани до центра тяжести кристалла.

Однако эти соотношения не относятся к неравновесным реальным кристаллам, многообразие свойств которых в первую очередь связано с многообразием форм огранения. Автором [9, 10, 4] показано, что термодинамическую теорию кристаллов с практически произвольными формами огранения можно построить только при одновременном учете свойств ребер и граней кристалла. При этом найдено, что для неравновесных кристаллов

$$\Delta\mu_r = \frac{2}{3} F_\Omega^M + \frac{1}{3} F_l^M, \quad (7б)$$

где F_l^M — соответствующая «реберная» свободная энергия.

Формулы (7a) и (7б) на первый взгляд кажутся очень близкими, так как обычно величина F_l^M относительно мала. Однако это только на первый взгляд. Существенное отличие (7б) от (7a) состоит не просто в появлении слагаемого F_l^M , а в том, что (7a) относится только к кристаллам минимальной поверхностной энергией, а (7б) — к неравновесным реальным кристаллам. Численное различие в $\Delta\mu_r$ для кристаллов обоих типов может быть очень значительным, но оно достигается в основном за счет различия величин F_Ω^M , а не F_l^M . Для теорий реальных кристаллов особое значение реберной энергии не сводится к тому, что в формулах типа (7б) появляются дополнительные члены. Основным здесь является тот факт, что реберная энергия играет роль энергетического барьера, отделяющего различные формы огранения. Благодаря этому небольшая по величине «реберная» энергия позволяет учесть большое различие энергиях граней для различных форм огранения кристалла. Без учета энергии ребер, минимум поверхностной свободной энергии является единственным и он соответствует равновесной форме огранения кристалла. Подробнее см. [4, 10].

Точно также, вместо (8a) для кристаллов с различными формами огранения была получена система условий

$$\frac{2\sigma_i}{r_i} + \frac{\epsilon_i}{3A_i r_i^3} = W_\Phi \quad \Phi = 1, 2, 3, \dots, \quad (8б)$$

где ϵ_i — энергия ребер i -ой грани, A_i — постоянная, зависящая от геометрических форм кристалла, а Φ — «номер» формы огранения. При этом $\mu_r = W_\Phi V^M$, V^M — мольный объем.

Аналогично предыдущему, основным отличием (8б) от (8a) является появление нового слагаемого, а возможность описания новых форм огранения. Например, грани с высокими σ_i обычно не входят в комплект граней равновесной формы. Однако они могут образовать самостоятельную форму огранения, не содержащую граней с низкими σ_i . При одинаковой степени дисперсности это приведет к различию в $\Delta\mu_r$, примерно пропорциональному σ_i для граней этих типов. Так как известно, что для одного и того же вещества σ_i могут отличаться в несколько раз, это может привести к огромному различию в активности вещества, взятого

в виде равновесных и неравновесных кристаллов. Приведем оценочный расчет для металлов.

На рис. 2 по данным, приведенным в работе Ориани [11], приведен график зависимости величины $\sigma_0 \Omega_M$ от теплоты сублимации λ_∞ для металлов с плотнейшей упаковкой решетки. σ_0 — это значение σ , экстраполированное к 0°K , а Ω_M — площадь, занимаемая $6 \cdot 10^{23}$ атомами металла при плотной упаковке поверхности. Из тангенса угла наклона прямо-

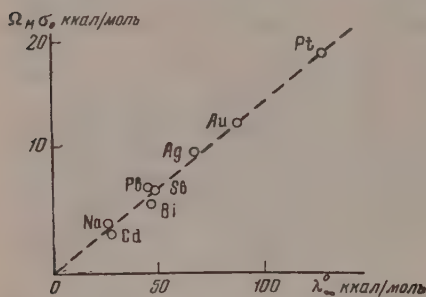


Рис. 2. Зависимость поверхностной энергии от теплоты сублимации для металлов с плотнейшей упаковкой решетки по данным, приведенным в работе [11]

находим, что $\sigma_0 \Omega_M = 0.16 \lambda_\infty$. По этому для равновесной формы ограничения кристаллов с односторонними границами

$$\Delta \mu_r = \frac{4\sigma V^M}{l} = \frac{4V^M}{l \cdot 6 \cdot 10^{23} d^2} 0.16 \lambda_\infty,$$

где l — расстояние между парами противоположных граней кристалла, а d^2 — площадь поверхности, приходящаяся на 1 атом. Для металлов $V^M \approx 10 \text{ см}^3$, чему отвечает $d = 2.5 \text{ \AA}$. Поэтому для металлов с плотной упаковкой границей

$$\Delta \mu_r = 1.7 \frac{\lambda_\infty}{l(\text{\AA})}, \quad (9a)$$

где $l(\text{\AA})$ — величина l , выраженная в \AA . Минимальным значением l , при котором к кристаллам еще имеет смысл применять законы термодинамики, является $l \sim 20 \text{ \AA}$. Для равновесных кристаллов этому отвечает $\Delta \mu_r = 0.085 \lambda_\infty$. При $l > 200 \text{ \AA}$ эта величина становится пренебрежимо малой.

Реальные кристаллы отличаются от идеальных по крайней мере в двух отношениях. Они могут содержать неплотно упакованные грани и обладать блочной структурой поверхностных слоев решетки. Для них

$$\Delta \mu_r = f \cdot 1.7 \frac{\lambda_\infty}{l(\text{\AA})}, \quad (9b)$$

где f — отношение удельных поверхностных энергий реального и идеального кристаллов, а l уже не размер кристалла, а «период» мозаичной структуры на поверхности кристалла, который может быть во много раз меньше «размера кристалла», определяемого рентгенографически. Поскольку для металлов f вряд ли может заметно превысить 3, оценочное максимальное значение $\Delta \mu_r$ (опять $l \sim 20 \text{ \AA}$) в этом случае составит уже $0.25 \lambda_\infty$.

Чтобы исключить эту теоретически неустраняемую неопределенность, связанную с учетом формы ограничения реальных кристаллов, необходимо обратиться к опыту. Для определения $\Delta \mu_r$ неидеальных металлических кристаллов автор и Г. П. Панасюк [12] использовали метод масс-спектрометрического определения теплоты сублимации кристаллов по упругости пара образца при различных температурах. В качестве объекта была выбрана Zn-чернь, так как она удачно сочетает в себе следующие особенности. С одной стороны — достаточно высокую упругость пара, позволяющую вести измерения при низких температурах (до температуры заметного спекания образца), а с другой — близость ее структуры к структурам каталитически активных черней тугоплавких металлов, для которых такое определение невозможно.

В этой работе найдено, что с достаточной воспроизводимостью для Zn-черни можно наблюдать значения λ_r , соответствующие

$$\Delta \lambda_r = \lambda_r - \lambda_\infty = 1/3 \lambda_\infty, \quad (10)$$

λ_r — теплота сублимации неидеальных кристаллов Zn-черни, — та же величина для «бесконечно больших» кристаллов. Интересно, найденная величина $\Delta\lambda_r$ в пределах ошибок оценочного расчета совпадает с теоретически ожидаемым максимальным значением $\Delta\mu_r$. В дальнейшем [13] величина λ_r была измерена по абсолютной упругости пара образцов Zn-черни при 50°С, и найдено, тоже максимальное значение для $\Delta\lambda_r \approx 0,3 \lambda_\infty$. Для этих образцов Zn-черни рентгенографически определяемый «размер кристаллов» превосходил 1000 Å. Поэтому ясно, что определяемая на опыте λ_r это не интегральная величина, а дифференциальная теплота сублимации для первых порций сублимирующегося вещества. Но именно эта величина и представляет для основной интерес, так как она является теплотой сублимации для идеальных кристаллов при $L = \text{const}$ (см. выше), и ее следует подставлять в соответствующие термодинамические формулы, определяющие равновесное число дефектов поверхности реальных кристаллов. Уже сейчас можно сделать следующий вывод. Для металлов различие результатов простой теории дефектов и теории, учитывающей общую неравновесность решетки кристалла, является уже не количественным, а существу — качественным различием, так как множитель $\exp\left(\frac{0,3\lambda_\infty}{RT}\right)$ «среднем» для металлов значении $\lambda_\infty = 80000$ кал и $T = 500^\circ$ достиг огромной величины порядка 10^{10} .

Природа активных центров

Число атомов в активном центре определяется стехиометрическими соотношениями для процесса взаимодействия превращаемых на катализаторе молекул «субстрата» с активными центрами. Конфигурация центра (если он многоатомен), как и для всякого процесса циклизации, задается в геометрическом соответствии с превращаемой частью молекулы. Отличие от обычных процессов адсорбции здесь проявляется только в том, что энергия связи активного центра с молекулой субстрата должна быть оптимальной: слишком сильное, как и слишком слабое взаимодействие не благоприятствует катализу.

А. Баландин [14, 15] первым применил этот метод подхода к определению строения активных центров, сопоставляя параметры решетки кристаллических катализаторов со строением молекул субстрата. Последнее требует дополнительного обсуждения.

Поскольку энергия связи с молекулами субстрата Φ_k сильно зависит от энергии достигают десорбции (%) от способа расположения активного центра в решетке или в виде дефекта решетки катализатора, то очевидно, наибольшую активность проявляют не все, а лишь некоторые атомы поверхности кристаллического катализатора, для которых величина Φ_k близка к оптимальной. Однако при обсуждении «геометрического соответствия» обычно имеется в виду сопоставление строения молекул с параметрами идеальной решетки. Такой способ рассуждения допустим только в том, что межатомное расстояние для пары соседних атомов в объеме поверхности или в виде дефектов решетки кристалла отличаются несущественно мало (до нескольких %), благодаря чему для широкого класса активных центров их конфигурация может быть найдена по параметрам соответствующей идеальной решетки.

Все же этот путь — это только путь аналогий. Вопрос о числе атомов в активном центре Н. И. Кобозев [16, 17] поставил как прямую экспериментальную задачу, решение которой не зависит от наших представлений о механизме реакции. Он показал, что для катализаторов, полученных нанесением активного вещества на инертный адсорбент, при очень малых степенях заполнения поверхности почти все адсорбированное вещество находится в виде активных центров, и что по зависимости каталитической

активности от количества нанесенного вещества можно определить число атомов, необходимое для построения активного центра («ансамбля»).

Естественно, что в этом случае совокупность «ансамблей», являющихся по существу адсорбированными молекулами типа Pt_1, Pt_2, \dots , можно назвать «атомной» фазой. Однако противопоставление «атомной» природы активных центров и «кристаллического» состояния каталитически активной части кристалла не следует понимать слишком буквально.

В опытах Н. И. Кобозева «атомная» или «докристаллическая» природа активного центра выступает только как результат специальной постановки опыта, когда малое количество активного вещества необратимо распределяется по большой площади адсорбента, благодаря чему не достигается равновесное — кристаллическое — состояние адсорбционного слоя. В однокомпонентном кристаллическом катализаторе обстановка совершенно другая: n -атомный центр может быть осуществлен множеством способов, из которых лишь один отвечает «ансамблям», а каталитическая активность других частей решетки не является априорно исключенной.

Поэтому «мультиплеты» А. А. Баландина не следует противопоставлять «ансамблям» Н. И. Кобозева, так как первые не обязательно должны быть элементами идеальной решетки (они лишь имеют строение осколка такой решетки), а вторые в кристаллических системах не являются в тономными от решетки. В частных случаях оба понятия могут даже совпасть.

Как же тогда истолковать тот факт, что в опытах Н. И. Кобозева обычно оказываются активными только n , но не $n - 1$ или $n + 1$ атомные ансамбли? (Это могло бы рассматриваться как доказательство неактивности кристалла.) Дело опять в оптимальности величины φ_k для активного центра. Возможен случай, когда из n атомов ансамбля, расположенного на инертном носителе в каталитическом процессе участвует меньшая часть атомов (что для больших значений n найдено в работах [18 и др.]), а остальные необходимы только для того, чтобы энергия связи φ_k для этих атомов приблизилась к оптимальному значению. Поскольку величина φ_k зависит от природы и числа соседних атомов, то указанный выше факт типичен «материнской» решетки не означает активности только дефектов или «ансамблей» и неактивности других структур.

И все же не уменьшая общности рассмотрения в качестве модели активного центра по трем причинам лучше всего выбрать «ансамбли» Н. И. Кобозева.

Во-первых, дефекты решетки типа «ансамбля» представляют наибольшую трудность для термодинамической теории, так как работа образования ансамбля больше, чем любого другого n -атомного микро-дефекта. В связи с этим рассчитываемая из теории концентрация ансамблей — это нижняя граница числа активных центров на поверхности реальных кристаллов.

Во-вторых, каталитическая активность отдельного ансамбля и число атомов в нем для важнейших случаев $n = 1$ и $n = 2$ однозначно определяется прямым опытом с использованием модельного (адсорбционного) катализатора.

И, наконец, в третьих, — ансамбли допускают наиболее простое структурное и энергетическое описание. Молекулярная картина в этом случае (см. рис. 3) является четкой и однозначной, так как ансамбль — это элементарный тип дефекта решетки (дефект по Кобозеву). Это обстоятельство позволяет вести расчеты с меньшим числом не проверяемых на опыте допущений.

В наших работах, в отличие от первоначальных идей Н. И. Кобозева, ансамбли рассматриваются в равновесии с решеткой кристалла.

Металлические кристаллы

Рассмотрим равновесие образования активных центров типа «ансамбля» на поверхности металлических кристаллов. Для плотно упакованных атомов это соответствует картине, показанной на рис. 3. Из уравнения следует, что константа равновесия для этого процесса равна

$$K = \frac{a_n}{1 - a_n} = B_n \exp\left(-\frac{\Delta U_n}{RT}\right), \quad (11)$$

a_n — мольная доля n -атомных центров на поверхности кристалла, ΔU_n — энергия на образование $6 \cdot 10^{23}$ центров, $B_n = \exp\left(\frac{\Delta S^0}{R}\right) = \left(\frac{Q_{\text{реш}}}{Q_{\text{деф}}}\right)$ — колебательная сумма по состояниям). Статистический вывод и решение уравнения (11) приведено в работе автора [3].

Поскольку в колебательном спектре кристалла возникновению дефектов типа «ансамбля» отвечает уменьшение частот, вызванное уменьшением коэффициента квазиупругой силы, >1 . Однако этот множитель невелик (~ 10 , см. [3]), и основной величиной, разделяющей концентрацию активных центров, является затрата энергии на образование ансамбля. Ее всегда можно представить в виде суммы двух слагаемых: затраты энергии на сублимацию n атомов металла, из решетки и выигрыша энергии ε_n при их адсорбции в виде n -омного центра на поверхности кристалла, поэтому в расчете на 1 моль

$$\Delta U_n = n\lambda_r - \varepsilon_n, \quad (12)$$

где λ_r — дифференциальная теплота сублимации для первых порций испаряющегося вещества. Для идеальных кристаллов теплота сублимации меньше, а энергия адсорбции активных центров больше, чем для идеальных. Это вызывает увеличение числа дефектов на поверхности реальных кристаллов.

Дифференциальные теплоты сублимации λ_r , по крайней мере в принципе, доступны экспериментальному определению. Величины ε_n могут быть теоретически рассчитаны для различных моделей поверхности кристаллов, если известно значение λ_{∞} . Обратимся к этим методам расчета.

Энергия образования дефектов определяется наиболее просто, если известна величина энергии связи между парой частиц в кристалле. Однако для металлов, за счет коллективного взаимодействия электронов и ядер энергию системы нельзя представить в виде простой суммы «энергий связи» соседних частиц. В этом случае можно лишь ввести понятие «эффективной» энергии связи, $\bar{\varphi}_V$, определяющейся результирующим значением всех сил, действующих на частицу в направлении ее ближайшего соседа. Если в объеме идеальной решетки кристалла выделить $N = 6 \cdot 10^{23}$ атомов, то определением $\bar{\varphi}_V$ служит уравнение

$$\lambda_{\infty} = \frac{N\kappa_V}{2} \bar{\varphi}_V, \quad (13)$$

где $N\kappa_V/2$ — число «связей» между N атомами в «объеме» кристалла с координационным числом κ_V .

Эффективная энергия связи является различной для частиц, расположенных в объеме $\bar{\varphi}_V$ и на поверхности $\bar{\varphi}_{\Omega}$ кристалла. Для определения $\bar{\varphi}_{\Omega}$ выразим через $\bar{\varphi}_V$ поверхностную энергию кристалла.

Затрата энергии при образовании поверхности кристалла в расчете на $N \cdot 6 \cdot 10^{23}$

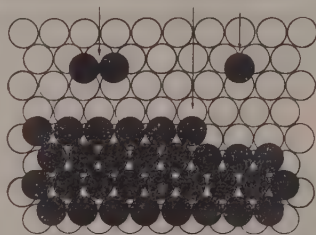


Рис. 3. Дефекты поверхности на плотно упакованной грани металла. Атомы верхнего слоя затемнены

атомов при 0° К равна (более подробно см. [5].)

$$\sigma_0 \Omega_M = \frac{N}{2} (\kappa_V \bar{\varphi}_V - \kappa_\Omega \bar{\varphi}_\Omega) = \left(1 - \frac{\kappa_\Omega}{\kappa_V} \frac{\bar{\varphi}_\Omega}{\bar{\varphi}_V} \right) \lambda_\infty, \quad (4)$$

так как $\kappa_V \bar{\varphi}_V / 2$ это энергия, приходящаяся на одну частицу в объеме, а $\kappa_\Omega \bar{\varphi}_\Omega / 2$ — та же величина для поверхности кристалла (множитель $1/2$ возникает потому, что «связь» относится к паре атомов).

Для металлов с плотной упаковкой $\kappa_V = 12$, а для плотно упакованных графит $\kappa_\Omega = 9$, т. е. для них

$$\sigma_0 \Omega_M = \left(1 - 0,75 \frac{\bar{\varphi}_\Omega}{\bar{\varphi}_V} \right) \lambda_\infty. \quad (5)$$

Для этого же случая данные из цитированной выше работы Ориани [11] для экстремально охлажденной к 0° К величины дают значение

$$\sigma_0 \Omega_M = 0,16 \lambda_\infty. \quad (6)$$

Сопоставление уравнений (15) и (16) позволяет найти искомое соотношение между эффективными энергиями связи в объеме $\bar{\varphi}_V$ и на поверхности $\bar{\varphi}_\Omega$ кристалла. Оно имеет вид

$$\bar{\varphi}_\Omega = 1,12 \bar{\varphi}_V, \quad \text{где } \bar{\varphi}_V = \frac{\lambda_\infty}{6N}. \quad (7)$$

Уравнение (17) позволяет по известной («табличной») величине λ_∞ найти $\bar{\varphi}_V$ и $\bar{\varphi}_\Omega$, что дает возможность рассчитать ε_n .

В плоском, компактно упакованном n -атомном центре при $n \geq 1$ имеется $(2n - 3)$ «связей». При адсорбции такого центра на поверхности грани с плотнейшей упаковкой каждый атом, кроме того, приобретает трех соседей на поверхности плотно упакованной грани кристалла (см. рис. 3). Таким образом, в расчете на 1 моль активных центров при $n = 1$

$$\varepsilon_1 = 3N \bar{\varphi}_\Omega = 0,57 \lambda_\infty, \quad (8)$$

при $n > 1$

$$\varepsilon_n = n \cdot 0,57 \lambda_\infty + (2n - 3) \cdot 0,19 \lambda_\infty.$$

Если данные о дифференциальных теплотах сублимации неидеальных кристаллов известны из опыта или постулированы, мы можем найти $\Delta\lambda_r$, а следовательно, и равновесное значение α_n . Записав λ_r в виде $\lambda_r = \lambda_\infty - \Delta\lambda_r$, получим

$$\text{при } n = 1 \quad \Delta U_1 = 0,43 \lambda_\infty - \Delta\lambda_r,$$

$$\text{при } n > 1 \quad \Delta U_n = n(0,43 \lambda_\infty - \Delta\lambda_r) - 0,19(2n - 3) \lambda_\infty,$$

а для искомой величины α_n (при $\alpha_n \ll 1$)

$$\text{при } n = 1 \quad \alpha_1 = B_1 \exp \left\{ - \frac{0,43 \lambda_\infty - \Delta\lambda_r}{RT} \right\}, \quad (9)$$

$$\text{при } n > 1 \quad \alpha_n = B_n \exp \left\{ - \frac{n(0,43 \lambda_\infty - \Delta\lambda_r) - 0,19(2n - 3) \lambda_\infty}{RT} \right\}. \quad (10)$$

Уравнения (19) и (20) дают искомую связь между теоретически определяемым числом активных центров α_n и макроскопической характеристикой степени неравновесности решетки $\Delta\lambda_r$. При этом наиболее существенным является тот факт, что для металлов, применяемых в катализе, величина

$$\alpha_1^* = B_1 \exp \left\{ - \frac{0,43 \lambda_\infty}{RT} \right\},$$

ределяющая число активных центров на крупных и правильно ограниченных кристаллах при не слишком высоких температурах, оказывается наименее малой (ниже 10^{-10}), в связи с чем α_n может достичь каталитически ощутимых значений только для неидеальных кристаллов с заметно сниженной дифференциальной теплотой сублимации. Для металлов

«предельным» значением $\Delta\lambda_r = \frac{\lambda_\infty}{3}$ это уже дает

$$\alpha_1 = B_1 \exp \left\{ -\frac{0,1\lambda_\infty}{RT} \right\},$$

и приводит к «обычному» значению для числа активных даже при температурах синтеза $t \sim 200^\circ \text{C}$ и $\lambda_\infty = 80\,000$ кал/г атом.

Теоретическая неопределенность величины α , связанная с неопределенностью $\Delta\lambda_r$, не является недостатком метода расчета, и лишь отражает тот факт, что свойства реальных кристаллов, в отличие от идеальных, могут сильно изменяться в зависимости от условий синтеза кристаллов.

При сопоставлении рассчитанных величин с опытными данными следует учитывать два обстоятельства.

Во-первых, в (19) и (20) «Т» — это не температура проведения каталитического опыта, а та температура синтеза кристаллов, при которой установилось равновесие (1). Для более низких температур равновесие (1) «заморожено».

Во-вторых, реальные катализаторы чаще всего получают путем операций (типа восстановления, разложения и пр.), при которых процесс протекает «справа налево», и если равновесие не достигается, то число активных центров всегда превышает рассчитанное с помощью (19) или (20). Поэтому термодинамика активных центров это теория приближения, и ее задача состоит в нахождении «предельных значений» величин α , но не обязательно точно совпадающих с найденными на опыте.

Однако значение приведенных выше формул не сводится к тому, что только иллюстрировать соответствие числа активных центров катализаторов с ожидаемым числом дефектов реальных кристаллов. Поскольку величины α однозначно связываются со свойствами кристаллов, — величиной $\Delta\lambda_r$, — здесь возникает возможность предвидеть характер изменения каталитических свойств при изменении строения решетки или условий синтеза кристаллов. Более того, представление об установлении равновесия (1) на опыте все же оправдывается чаще, чем этого можно было ожидать из общих соображений. Это, например, следует из рассмотрения данных о спекании металлических катализаторов.

Спекание катализаторов

Определение каталитической активности кристаллов, приготовленных при различных температурах, имеет особое значение для теории активных центров и теории дефектов: по характеру изменения активности с изменением температуры спекания катализаторов можно судить о том, проявляются ли активность вся поверхность кристаллов, или только отдельные активные центры, находятся ли последние в равновесии с решеткой, и если нет, то в какой степени это равновесие нарушено. Все это возможно потому, что для трех упомянутых случаев удельная каталитическая активность изменяется по различным законам, допускающим теоретическую интерпретацию.

По типу графика в координатах «каталитическая активность» — «температура спекания кристаллов» опытные данные для металлических катализаторов можно отнести к одному из следующих классов (соответствующие экспериментальные данные собраны в работе [19]).

1. Удельная (на единицу поверхности) активность не зависит ни от способа получения, ни от температуры спекания образца катализатора.
2. Удельная активность падает с ростом температуры спекания.
3. Удельная активность растет с температурой спекания или проходит через максимум. (В ряде случаев ход «кривых спекания» осложняется наличием второго максимума.)
4. Активность катализаторов в зависимости от температуры спекания изменяется полиэкстремально — максимумы и минимумы активности разделены небольшими температурными интервалами.

При истолковании этих данных случай «1» не представляет для нас интереса, так как он отвечает однородной активности всей поверхности.

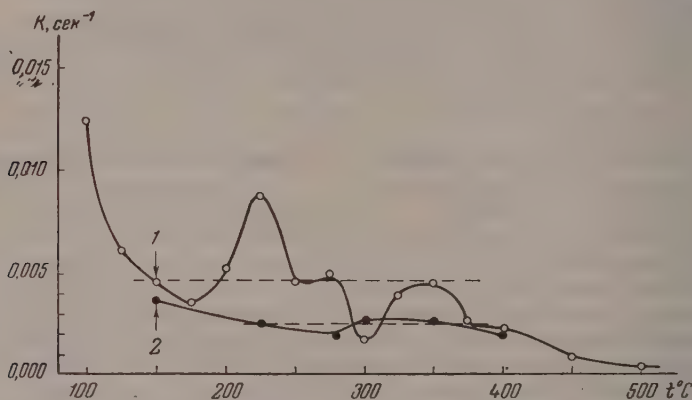


Рис. 4. Зависимость общей активности (за меру которой принята константа скорости разложения H_2O_2 при 20°C) от температуры спекания серебряных катализаторов. Кривая № 1 относится к случаю, когда Ag-чернь получена при -4°C , а кривая № 2 — когда та же чернь предварительно прокалена при 150°C .

кристалла, а случай «2» относится к избыточному (против равновесного значения) числу активных центров, которое может только уменьшаться с ростом температуры, ибо при этом растет скорость процессов установления равновесия.

Случай «3» непосредственно описывается уравнением типа (19), если учесть, что $\Delta\lambda_r$ в общем случае должно зависеть от температуры. В температурном интервале, соответствующем $\Delta\lambda_r = \text{const}$, согласно (1) α_1 растет с температурой. Однако этот рост ограничен тем, что увеличение числа и подвижности дефектов решетки приводит к перестройке поверхности кристаллов и неизбежному уменьшению $\Delta\lambda_r$, вызывающему уменьшение α_1 . Это означает, что на кривой $\alpha(T)$ должен появиться максимум, положение которого определяется началом уменьшения $\Delta\lambda_r$.

С этих позиций можно рассмотреть и более сложные случаи, когда на кривых спекания наблюдаются два максимума, или когда максимуму предшествует минимум активности. Они разобраны в [19], но здесь не представляют для нас особого интереса, так как объяснение таких кривых не имеет преимуществ простоты и однозначности способа описания и неизбежно включает в себя трудно проверяемые на опыте гипотезы.

Обратимся к случаю 4. Полиэкстремальные кривые спекания найдены в работах [20] и [21]. Они имеют вид кривой № 1 на рис. 4 и могут содержать еще большее число максимумов и минимумов, появление которых в небольшом температурном интервале является непонятным с точки зрения приведенного выше анализа. Однако представим себе, что спекание подвергаются образцы с заметной долей аморфной фазы, свободная эн-

которой выше, чем кристаллических образцов любого типа. При наложении таких образцов возможно образование кристаллов с несколькими неравновесными формами огранения. Для кристаллов каждого типа характерно определенное значение $\Delta\lambda_r$ и «своя» кривая $\alpha(T)$. Поскольку кривой спекания нанесены свойства образцов, приготовленных при каждой из температур заново, а процессы, приводящие к образованию различных неравновесных форм огранения, контролируются многими случайными обстоятельствами, спекание аморфной металлической черни может привести к полиэкстремальному разбросу активности, так как и по воле случая выхватываются точки, принадлежащие к различным кривым $\alpha(T)$. И, действительно, полиэкстремальные кривые не являются воспроизводимыми в обычном смысле этого слова, и наблюдаются только для металлических черней, полученных при низких температурах, когда есть основания ожидать в исходном образце некоторой доли аморфной фазы.

Это объяснение могло бы показаться слишком произвольным и неоднозначным, если бы оно не допускало простой опытной проверки. Если исходную «чернь» прокалить при температуре, при которой впервые достигается один из низших «уровней» активности, то согласно изложенному, ей должен образоваться набор кристаллов, прогрев которых при более высоких температурах не может привести к полиэкстремальному изменению активности, так как нагревание этих кристаллов уже не может привести к образованию форм, более богатых свободной энергией.

Для проверки этого вывода из теории автор и В. С. Никулина приготовили две серии образцов серебряных катализаторов разложения пероксида водорода. Исходная чернь была приготовлена при -4°C восстановлением нитрата серебра гидразин-сульфатом. Прокаливанием ее при $0-500^\circ\text{C}$ в атмосфере водорода (чтобы избежать образования поверхностных окислов серебра) были получены катализаторы, активность которых, как и ожидалось, изменялась полиэкстремально. Соответствующая кривая спекания приведена на рис. 4 под № 1. Затем часть исходной черни была прогрета при 150°C . Спекание этих образцов при $150-400^\circ\text{C}$ привело к ожидаемому изменению каталитической активности кристаллов (м. кривую № 2 на рис. 4).

Таким образом, сопоставление данных опыта и теории, основанной на рассмотрении условий равновесия дефектов поверхности неидеальных кристаллов, оказалось благоприятным для теории. Отсюда можно сделать только тот вывод, что равновесие при образовании активных центров устанавливается чаще, чем этого можно было ожидать на основании априорных суждений о свойствах катализаторов, и что основной причиной неравновесности катализаторов в этих случаях является «общая» неравновесность решетки.

Полупроводниковые катализаторы

Электронные по типу проводимости ионные кристаллы содержат в своей решетке избыток металла против стехиометрического количества. Этот металл распределен в решетке в виде дефектов, которые могут играть роль активных центров.

Если считать, что условиями синтеза кристаллов задается общий избыток металла, отвечающий в целом неравновесной решетке, то специфической задачей, возникающей перед термодинамикой активных центров, в этом случае является рассмотрение законов распределения дефектов между поверхностью и объемом кристалла. В связи с тем, что общий избыток металла в полупроводнике часто оказывается очень незначительным, высокой активности полупроводникового катализатора можно ожидать только в случае поверхностной активности соответствующих дефектов. Эти вопросы рассмотрены автором в работе [4].

Для равновесия:

Объемные дефекты решетки \rightleftharpoons поверхностные дефекты решетки
 константа равновесия имеет вид

$$\frac{\left(\frac{\alpha}{1-\alpha}\right)_{\Omega}}{\left(\frac{\alpha}{1-\alpha}\right)_v} = \frac{\alpha_{\Omega}}{(1-\alpha_{\Omega})\alpha_v} = B \exp\left(-\frac{\Delta U_{\Omega}}{RT}\right)$$

(так как практически всегда $\alpha_v \ll 1$). Здесь энтропийный множитель, равный отношению колебательных сумм состояния в первом приближении, можно не учитывать. $\Delta U_{\Omega} = U_{\Omega} - U_v$ — разность энергий образования соответствующих дефектов на поверхности и объеме кристалла.

Обычный механизм образования нестехиометрического ионного кристалла состоит в захвате электронов вакантными анионными узлами решетки (дефектами по Шоттки) или междоузельными катионами (дефектами по Френкелю) и миграцией нейтрального металлоида из кристалла. В связи с этим вопрос об устойчивости металлических активных центров в полупроводниках оказывается тесно связанным с теорией дефектов Шоттки и Френкелю.

Энергию образования «металлического» центра в полупроводнике можно представить в виде суммы двух членов

$$U_{\Omega} = W_{\Omega} - \varepsilon_{\Omega} \quad \text{и} \quad U_v = W_v - \varepsilon_v,$$

где ε — выигрыш энергии при захвате электрона соответствующим дефектом, а W — затрата энергии на образование анионного дефекта по Шоттки или катионного дефекта по Френкелю.

Обратимся сначала к дефектам по Шоттки и металлическим активным центрам типа F -центров. Для расчета энергии образования дефектов обратимся опять к «эффективным» энергиям связи, по определению равной $\bar{\varphi} = \frac{2\lambda}{\kappa_v}$, где λ — отнесенная к паре ионов энергия разделения кристалла до совокупности газовых ионов. Образование вакантного узла на поверхности кристалла всегда сопровождается разрывом меньшего числа связей, в связи с чем

$$W_v - W_{\Omega} = (\kappa_v - \kappa_{\Omega}) \bar{\varphi} - U_{\text{пол}}^{\Omega} > 0$$

($U_{\text{пол}}$ — это энергия поляризации решетки при удалении из нее иона). В работе [4] показано, что

$$W_v - W_{\Omega} = \frac{\kappa_v - \kappa_{\Omega}}{\kappa_v} (2\lambda - U_{\text{пол}}^v) > 0.$$

С другой стороны, из теории полупроводников известно, что $\varepsilon_{\Omega} > \varepsilon_v$. Таким образом, поскольку энергия поляризации $U_{\text{пол}}^v$ не может превышать величины λ , при механизме образования ансамблей по типу F -центров, активные центры всегда сильно поверхностноактивны

$$\frac{\alpha_{\Omega}}{(1-\alpha_{\Omega})\alpha_v} = B \exp\left\{\frac{\kappa_v - \kappa_{\Omega}}{\kappa_v kT} (2\lambda - U_{\text{пол}}^v)\right\} \exp\left\{\frac{\varepsilon_v - \varepsilon_{\Omega}}{kT}\right\} \gg 1$$

Такая же картина имеет место и при захвате электронов дефектами по Френкелю, так как образование междоузельного катиона на поверхности не требует раздвижения решетки (как в объеме) и, кроме того, поверхность происходит выигрыш электростатической энергии взаимодействия пары разноименных зарядов.

Все это приводит к выводу, что при самых различных условиях образования металлических активных центров в решетках полупроводниковых кристаллов, распределение металла между поверхностью и объемом является очень благоприятным для катализа. Интересным для катализа является и тот факт, что для полупроводников, в отличие от металлов, активные центры на поверхности практически не зависят от степени шероховатости или мозаичности кристаллов. Тем самым приобретает теоретическую интерпретацию факт, давно известный из практики пригоняния полупроводниковых катализаторов.

С другой стороны известно, что многие металлические катализаторы химически окислены с поверхности. Однако сказанное выше позволяет предвидеть, что и в этом случае на поверхности могут образоваться «металлические» активные центры, являющиеся дефектами решетки поверхностной полупроводниковой пленки на металле.

Выводы

Объяснение многих «структурно-чувствительных» свойств кристаллов точки зрения теории тепловой диссоциации идеальной решетки (обычной при дефектах) часто носит весьма иллюзорный характер, так как растолкованное этим путем число дефектов обычно оказывается на много порядков меньше найденного на опыте.

В работе показано, что это несоответствие теории и опыта может быть устранено, если рассмотреть теорию образования дефектов в неравномерных решетках реальных кристаллов. Проведение этой программы связано в работе с уточнением существующей термодинамической теории кристаллов.

Выведенные в работе соотношения позволяют рассчитать число активных центров на поверхности реальных кристаллов по «макроскопическим» характеристикам неравновесности их решетки. Показано, что для металлических катализаторов сопоставление опытных данных и результатов расчета является благоприятным для теории.

Термодинамической задачей в области полупроводниковых катализаторов является нахождение закона распределения дефектов между поверхностью и объемом кристалла. Показано, что дефекты решетки в этом случае являются поверхностно активными.

Московский государственный университет
Химический факультет

ЛИТЕРАТУРА

- A. S meka l, Handb. d. Phys., 2 Erg. 24, 795, 1933.
С. З. Рогинский, ЖПХ, 17, 1, 93, 1944.
О. М. Полтора к, ЖФХ, 29, 1650, 1955.
О. М. Полтора к, ЖФХ, 32, 534, 1958.
О. М. Полтора к, Диссертация, МГУ, 1958.
Дж. В. Гиббс, Термодинамические работы, 400 и след. Гостехтеоретиздат, 1950.
P. Curie, Zs. f. Kristallographie, 12, 652, 1887.
Ю. В Вуль ф, К вопросу о скоростях роста и растворения кристаллических граней, Варшава, 1895.
О. М. Полтора к, ЖФХ, 31, 2477, 1957; ЖФХ, 32, 722, 1958.
О. М. Полтора к, Журн. физ. химии, в печати.
R. A. O'giani, J. Chem. Phys. 18, 575, 1950.
О. М. Полтора к и Г. П. Пана с ю к, ЖФХ, 31, 2644, 1957.
М. Адаменкова, Дипломная работа, МГУ, 1959.
А. А. Баландин, ЖРФХО, хим., 61, 909, 1929.
А. А. Баландин, Усп. химии, 4, 1104, 1935; ЖРФХО, хим., 62, 703, 1930.
Н. И. Кобозев, ЖФХ, 13, 1, 1939; 14, 663, 1940; 21, 1413, 1947.
Н. И. Кобозев, Ученые записки МГУ, 86, 13, 1946; 174, 17, 1955.

18. Н. А. Решетовская, Кандидатская диссертация, МГУ, 1949.
19. О. М. Полторак, Сб. «Кинетика и катализ», 1959 г., в печати.
20. М. И. Николаева, А. И. Шлыгин, ЖФХ, 24, 427, 534, 1950; Г. Л. Фетистов, Дипломная работа, МГУ, 1957
21. Ж. В. Стрельникова, А. А. Лопаткин, В. П. Лебедев, ЖФХ, 30, 196, 1956; А. А. Лопаткин, Ж. В. Стрельников, В. П. Лебедев, ЖФХ, 31, 820, 1957.

THERMODYNAMICS OF CRYSTAL CATALYSTS

O. M. Poltorak (Moscow)

Summary

The explanation of many «structural-sensitive» properties of crystals in the of the theory of thermal dissociation of the ideal lattice (the conventional theory of lattice imperfections) often proves rather deceptive, for the number of imperfections calculated, is usually many orders less than that established by experiment.

The present paper shows that the lack of correspondence between theory and experiment can be made good if we turn to the theory of the formation of imperfections in crystal lattices which are out of equilibrium. This has been done by the author who also brought some refinement in the existing thermodynamic theory of crystals.

The relations obtained make it possible to calculate the number of active centers on the surface of real crystals according to the «macroscopic» characteristics of the equilibrium state of their lattice. As is shown, for metal catalysts a comparison of experimental data with the calculations is favourable for the theory.

The purpose of thermodynamics in the field of semiconducting catalysts is to find the law underlying the distribution of imperfections between surface and volume of crystal. It is shown that lattice imperfections in this case are surface-active.

О ПРИМЕНЕНИИ ЭЛЕКТРОННОЙ ТЕОРИИ АДсорбЦИИ К ИЗУЧЕНИЮ КИНЕТИКИ И МЕХАНИЗМА ТОПОХИМИЧЕСКИХ РЕАКЦИЙ

В. В. Болдырев

При изучении реакций термического разложения твердых веществ нетно немало случаев, когда среда, окружающая разлагаемое вещество, оказывает существенное влияние на скорость термического разложения, химического взаимодействия между средой и разлагаемым веществом происходит. Очень часто такое влияние окружающей среды может связано с изменением электронных свойств твердого вещества при адсорбции на его поверхности молекул газа или ионов из раствора. В качестве примера можно привести термическое разложение оксалата серебра, скорость которого, как показывают экспериментальные данные, в определенной степени зависит от состава окружающего его газа или раствора. По данным Сабо и Биро-Шугара [1] термический распад оксалата серебра в сильной степени ускоряется в присутствии водорода. Присутствие кислорода и углекислого газа, наоборот, тормозит термическое разложение. Уменьшение скорости термического разложения оксалата серебра в атмосфере кислорода отмечалось и в других работах [2, 3].

Макдональдом и Гиншельвудом [2] установлено, что наличие избытка оксалат-ионов в растворе при получении оксалата серебра приводит к уменьшению скорости последующего термического распада соли. Если в растворе имеется избыток оксалат-иона, образуется препарат, характеризующийся большой скоростью термического распада.

В опытах Макдональда и Сандисона [4], изучавших термическое разложение оксалата серебра в присутствии различных органических веществ, было обнаружено, что такие вещества, как глюкоза, ускоряют термический распад оксалата, а такие, как нитробензол, наоборот, замедляют. Б. В. Ерофеевым, П. И. Белькевичем и А. А. Волковой [5] было обращено особое внимание на то, что в этих опытах окислители тормозят термическое разложение, а восстановители ускоряют.

Было предложено несколько вариантов объяснения этих весьма интересных экспериментальных данных. Предполагалось, например, что водород и нитрат-ион, адсорбируясь на поверхности, отравляют зародыши серебра, которые образуются при разложении оксалата, и катализируют процесс. Однако такое предположение не может быть принято из-за отсутствия доказательства и нуждается как в теоретическом обосновании, так и в экспериментальной проверке. То же самое можно сказать и о высказанном в работе [6] предположении о том, что молекулы кислорода, адсорбируясь на поверхности кристалла оксалата, укрепляют ее и, тем самым, ускоряют термическое разложение.

Вместе с этим наблюдаемые факты вполне могут быть объяснены с позиций электронной теории адсорбции и катализа [7, 12] и с учетом особенностей элементарных стадий, через которые должен проходить процесс термического разложения твердого вещества. Как известно, термическое разложение ионных кристаллов начинается со срыва электрона с аниона и перехода его в полосу проводимости. Иногда этот переход может проходить через промежуточное экситонное состояние. Далее электрон

может захватываться примесным центром или анионной вакансией, происходит стягивание к месту захвата междоузельных катионов, если в решетке преобладают дефекты по Френкелю, или анионных вакансий, если преобладают дефекты по Шоттки. За счет последовательного чередования этих процессов осуществляется рост зародышей продукта реакции. Из всего этого следует, что, при прочих равных условиях, скорость термического разложения оксалата серебра должна быть тем больше, чем больше концентрация электронов в полосе проводимости. Концентрация же свободных электронов, находящихся в полосе проводимости, может изменяться вследствие адсорбции на поверхности кристалла молекул являющихся донорами или акцепторами электронов. При адсорбции молекул-доноров электронов должна повышаться концентрация свободных электронов в полосе проводимости, при адсорбции же молекул, являющихся акцепторами электронов, наоборот, — должна понижаться. Соответственно этому в первом случае должна возрастать скорость процесса термического разложения, во втором — уменьшаться. Учитывая все это, можно объяснить приведенные выше факты о зависимости скорости термического разложения оксалата серебра от окружающей среды. Если принять, что водород, оксалат-ион и глюкоза проявляют при адсорбции на кристалле донорные функции, а кислород, нитрат-ион и нитробензол — акцепторные, то становится понятным, почему в присутствии первых скорость термического разложения оксалата серебра увеличивается, а в присутствии вторых — уменьшается*.

Из рассмотрения схемы элементарных процессов, происходящих при термическом распаде твердых веществ, следует, что скорость термического разложения должна зависеть также от концентрации ионных дефектов в решетке разлагаемого вещества. Поэтому введение в решетку примесей, вызывающих образование этих дефектов, должно приводить к изменению скорости термического разложения. Если при этом образуются анионные вакансии, скорость термического разложения должна увеличиваться. При образовании катионных вакансий последние могут захватывать положительные дырки, образующиеся при разложении, и поэтому способствовать накоплению их в решетке и увеличению вероятности их рекомбинации с электронами. Кроме того, при увеличении концентрации катионных вакансий уменьшается концентрация междоузельных катионов [14]. Поэтому скорость термического разложения при образовании катионных вакансий в решетке твердого вещества должна уменьшаться.

Экспериментальные данные подтверждают сказанное. Грей и Уоддингтон [15] установили, что введение цианамид-иона в азид серебра и иодид серы в азид таллия, которое приводит к появлению в решетке этих веществ добавочного числа анионных вакансий, вызывает значительное увеличение скорости их термического разложения. То же самое имеет место и в наших опытах по изучению термического разложения перманганата серебра с примесью сульфат-иона. Исследованиями, проведенными нами совместно с Захаровым, Ерошкиным и Васильевым, было показано, что при введении в оксалат и перманганат серебра примеси ионов двухвалентного кадмия, которые должны вызывать появление в решетке дополнительного числа катионных вакансий, скорость термического разложения этих веществ уменьшается. Все эти факты свидетельствуют о больших возможностях, которые может дать применение современных представлений физики твердого тела и электронной теории адсорбции и катализа к изучению механизма топохимических реакций. Весьма вероятно, что

* Соображения о влиянии окружающей твердое вещество газовой атмосферы на скорость его термического разложения, аналогичные приведенным выше, были высказаны недавно Макдональдом [13], но они относятся только к случаю, когда молекулы исходным веществом и продуктом реакции уже существует граница раздела фаз.

электронные и ионные дефекты в реакциях с участием твердых веществ играют не меньшую роль в развитии реакции, чем свободные атомы и радикалы в газовых и жидкофазных реакциях. Поэтому изучение электрон-ных и ионных процессов при термическом разложении твердых веществ с использованием современных физических методов является весьма важным и актуальным.

Выводы

Экспериментальные данные по влиянию среды и примесей на скорость термического распада твердых веществ объяснены с позиций электронной теории адсорбции.

Томский государственный университет
им. В. В. Куйбышева

ЛИТЕРАТУРА

- Z. G. Szabo, E. Biro-Sugar, Z. Elektrochem., 60, 871, 1956.
J. J. Macdonald, C. N. Hinshelwood, J. Chem. Soc., 127, 2769, 1925.
J. J. Macdonald, J. Chem. Soc., 832, 839, 1936.
J. J. Macdonald, R. Sandison, Trans. Faraday Soc., 34, 5, 1938.
Б. В. Ерофеев, П. И. Белькевич, А. А. Волкова, Ж. физ. химии, 20, 1102, 1946.
J. J. Macdonald, Trans. Faraday Soc., 47, 860, 1951.
С. З. Рогинский, Хим. наука и пром-сть, 2, 138, 1957.
Ф. Ф. Волькенштейн, Успехи физ. наук, 60, 249, 1956.
N. F. Mott, Proc. Roy. Soc. A, 172, 325, 1939.
П. Д. Данков, Докл. АН СССР, 24, 773, 1939.
F. Tompkins, Industr. and Engng. Chem., 44, 1336, 1952.
Chemistry of solid state. Ed. by W. E. Garner, Buttersworth Sci. Publ., 1955.
J. J. Macdonald, Discuss. Faraday Soc., 23, 230, 1957.
А. Н. Мури и Б. Г. Лурье, Ж. физ. химии, 32, 2575, 1958.
P. Gray, T. Waddington, Proc. Roy. Soc. A, 241, 110, 1957.

ON THE APPLICATION OF THE ELECTRON THEORY OF ADSORPTION TO THE STUDY OF THE KINETICS AND MECHANISM OF TOPOCHEMICAL REACTIONS

V. V. Boldyrev (Tomsk)

Summary

Experimental data concerning the effect which the medium and admixtures have on rate of thermal decomposition of solids are explained in the light of the electron theory of adsorption and modern conceptions of the physics of solids.

О ВЛИЯНИИ ПРОМОТОРОВ Al_2O_3 И K_2O НА АКТИВНОСТЬ ЖЕЛЕЗНОГО КАТАЛИЗАТОРА СИНТЕЗА АММИАКА

Л. Д. Кузнецов и С. С. Лачинов

Ряд авторов, исследовавших аммиачные катализаторы [1—8], придерживаются мнения, что каталитическая активность различных железных катализаторов обуславливается только структурой железа и величиной его поверхности. Результаты наших экспериментальных работ ставят под сомнение правильность такого утверждения.

Экспериментальная часть

Катализаторы готовились окислительной плавкой в производственных условиях. Для сравнения активности катализаторов синтеза аммиака при высоком давлении проточным методом были разработаны трехканальная и пятиканальная колонки синтеза аммиака (рис. 1) с внешним обгоном (на рисунке не показано).

Азотоводородная смесь поступала из очистки высокого давления в колонку синтеза, где проходила вначале канал, служащий для подогрева газовой смеси до температуры реакции, и затем, распределяясь на (трехканальная колонка) или на четыре потока (пятиканальная колонка) поступала в реакционные каналы. В каждый канал загружался катализатор, сверху и снизу которого засыпались зерна кварца. Пройдя слой катализатора, затем зазор между стенками канала и чехлом термопары газ редуцировался до атмосферного давления при помощи вентиля. Катализаторы, загруженные в разные каналы, находятся в одинаковых условиях давления, температуры и состава азотоводородной смеси. Кроме того, при поддержании равной скорости газа на выходе из каналов условия восстановления в них различных катализаторов одинаковы.

В трехканальную колонку загружалось по 2 мл катализатора в каждый канал, в пятиканальную по 1 мл. Во всех опытах применялся катализатор с величиной зерен 1,0—1,5 мм. Восстановление проводилось при $p = 100 \text{ ат}$, объемной скорости 30 000 час⁻¹ и заканчивалось при температуре 500°. После окончания восстановления давление поднималось до 300 ат и определялась активность катализаторов при разных объемных скоростях и температурах от 375 до 550°.

Результаты, полученные на проточной установке, хорошо согласуются между собой и с ранее полученными нами данными на проточно-циркуляционной установке [9], что свидетельствует о достаточной надежности проточного метода.

Образцы катализатора после определения их активности были запечатаны в токе азота, содержащего 0,3% O_2 , и выгружены, после чего была определена величина их поверхности методом низкотемпературной сорбции азота*.

На графике (рис. 2) приведена для восьми исследованных образцов катализатора зависимость процентного содержания аммиака в отходящей газовой смеси от температуры при $p = 300 \text{ атм}$ и объемной скорости 30 000 час⁻¹. Испытания проводились на трехканальной колонке.

* Определение поверхности было проведено В. Н. Шишковой, Г. М. Миропиной и А. М. Назаровой.

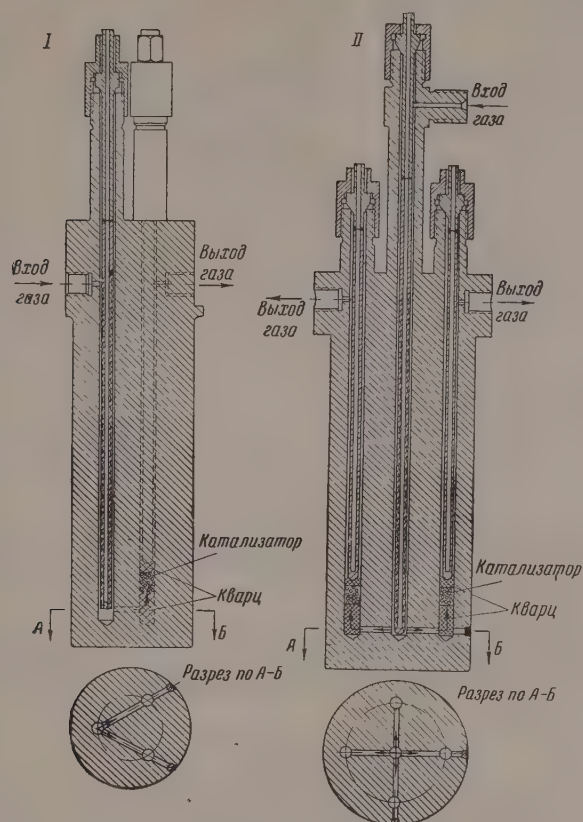


Рис. 1. Колонки синтеза аммиака с внешним обогревом: I — трехканальная колонка; II — пятиканальная колонка

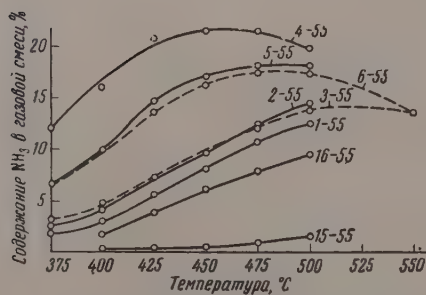


Рис. 2. Содержание NH_3 (%) в отходящей газовой смеси при $p = 300 \text{ ат}$ и $w = 30 \cdot 10^3 \text{ час}^{-1}$ (цифры на кривых — № образца)

В табл. 1 приведены выход аммиака при 400° , удельные поверхностные значения констант скорости и удельные константы скорости на различных катализаторах.

Таблица

Показатели работы различных катализаторов синтеза аммиака при 400°C *

№ образца	Содержание, %			% NH_3 при $p = 300 \text{ ат.}$, $w = 30 \text{ 000 час}^{-1}$, $t = 400^\circ\text{C}$	k ат $0,5/\text{час}$	S , $\text{м}^2/\text{г}$	$k_{\text{уд}}$ (ат $\text{уд}/\text{час м}^2$)
	FeO	Al_2O_3	K_2O				
15-55	25,16	0,20 (примесь)	—	0,2	0,38	0,5	0,38
16-55	22,12	0,28 (примесь)	1,96	1,8	34	0,7	22
1-55	24,56	2,16	0,27 (примесь)	3,1	90	6,1	7,4
2-55	43,24	4,16	0,07 (примесь)	4,3	180	15,1	6,0
3-55	37,00	10,2	0,04 (примесь)	4,8	220	17,1	6,5
4-55	23,00	3,85	2,14	16,2	3400	14,0	122
5-55	25,34	1,20	2,64	10,0	1080	2,7	200
6-55	31,17	8,84	1,49	9,5	960	17,0	28

* Вес 1 мл восстановленного катализатора равен 2 г.

Анализ образца 4-55 проведен более полно. Он содержал 0,08% SiO_2 , 0,13% MgO , 0,27% P_2O_5 и 0,15% SO_3 . Эти примеси примерно в тех же количествах имелись во всех других образцах.

Расчеты константы скорости реакции проводились по приближенному уравнению М. И. Темкина [10]. При $t = 400^\circ$ и $p = 300 \text{ ат}$ это уравнение хорошо согласуется с экспериментальными данными.

Обсуждение результатов

Удельная каталитическая активность катализаторов, промотированных окисью алюминия, была значительно выше, чем у непромотированного катализатора, восстановленного в одинаковых условиях, при этом для катализаторов, содержащих 2, 4 и 10% Al_2O_3 , значения $k_{\text{уд}}$ были близкими по величине.

Наличие окиси калия в катализаторе, в условиях проведенных испытаний, во всех случаях приводило к еще большему увеличению удельной активности.

Для дважды промотированных катализаторов увеличение процентного содержания окиси алюминия вело к развитию поверхности с одновалентным уменьшением удельной каталитической активности. Так, например, катализатор 5-55, содержащий 2,6% K_2O и 1,2% Al_2O_3 , имел поверхность примерно в шесть раз меньшую, а удельную активность примерно в семь раз большую, чем катализатор 6-55, в состав которого входило 1,5% K_2O и 9% Al_2O_3 ; поэтому их общие активности были приблизительно равны. Удельная активность образца, содержавшего 2% K_2O и 4% Al_2O_3 , была несколько ниже, чем у образца 5-55, но первый имел поверхность значительно большую, что обуславливало его более высокую общую активность. Таким образом полученные данные позволяют выяснить значение оптимального соотношения промоторов 2% K_2O и 4% Al_2O_3 , ранее найденное практически.

На основании полученных данных мы пришли к заключению, что для создания катализатора с большой удельной активностью требуется усложнение состава промоторов и в первую очередь дополнительное введение окислов щелочно-земельных металлов. В литературе имеются

ные относительно применения в качестве промотора окиси кальция. Однако, как будет показано в следующей статье, добавка CaO ведет к снижению поверхности катализатора. Следовательно, для подбора более активного катализатора следует усложнить состав промоторов путем правильного сочетания основных компонентов, повышающих удельную активность, и структурообразующих промоторов, увеличивающих поверхность катализатора.

Из литературных данных [11] известно, что поверхность железных катализаторов уменьшается с повышением температуры восстановления и перегреве восстановленного катализатора. Поэтому нами был проведен ряд опытов для выяснения влияния условий восстановления на удельную каталитическую активность непромотированного и промотированного 2% K_2O катализаторов синтеза аммиака. Если катализатором синтеза аммиака является только α -Fe, то согласно теории Г. К. Бореско [12], удельная активность непромотированного железного катализатора должна быть одинаковой для образцов, восстановленных при разных температурах.

С целью выяснения этого вопроса было проведено три опыта на трехконтурной колонке. В каждом опыте в колонку загружалось одновременно по два невосстановленных образца катализатора: в один реакционный канал непромотированный (15-55), в другой — промотированный K_2O (16-55). Восстановление велось при $p = 100 \text{ ат}$, $w = 30\,000 \text{ час}^{-1}$ и заканчивалось в первом опыте пятичасовой выдержкой при 400° , во втором опыте — при 450° , в третьем — при 500° .

После восстановления во всех случаях катализаторы испытывались при температуре 400° , $p = 300 \text{ ат}$ и объемных скоростях 30 000 и 60 000 час^{-1} , затем катализаторы охлаждались в токе азотодиффузионной смеси и пассивировались азотом с содержанием 0,3% O_2 . После этого была измерена общая поверхность катализаторов методом низкотемпературной адсорбции азота.

В табл. 2 приводятся поверхности образцов катализаторов, выход аммиака в указанных условиях, значения констант скорости реакции, считанных по упрощенному уравнению М. И. Темкина для малых значений z [10] и значения удельной константы скорости реакции.

Таблица 2

№ образца	Конечная температура восстановления катализатора	% NH_3 , при $p=300 \text{ ат}$, $w=30\,000 \text{ час}^{-1}$, $t=400^\circ$	k , $\text{ат} \cdot 0,5/\text{час}$	S , $\text{м}^2/\text{г}$	k , $\text{ат}^{0,5}/\text{час} \cdot \text{м}^2$
15-55, непромотированный	400°	0,9	8	1,0	4
	450°	0,45	2	0,72	1,5
	500°	0,16	0,24	0,5	0,24
16-55, однопromotированный (2% K_2O)	400°	3,4	120	0,8	75
	450°	3,5	115	0,75	77
	500°	2,5	63	0,9	35

Из данных, приведенных в табл. 2, видно, что удельная каталитическая активность для непромотированного железного катализатора резко падает с увеличением конечной температуры восстановления. На основании этих данных можно сделать предположение, что в случае непромотированного железного катализатора, полученного восстановлением из окислов, катализатором синтеза аммиака является не только железо, а также окислы металлов, входящих в состав промоторов. Таким образом, удельная каталитическая активность должна быть постоянной.

Можно предположить, что в случае восстановления при низких температурах не происходит полного восстановления железа [13], и окислы железа являются в этом случае промоторами, увеличивающими удельную каталитическую активность железа. О повышенной активности недовосстановленных катализаторов имеются данные в литературе [14]. При высоких температурах происходит довосстановление катализатора, и активность его понижается.

Другое объяснение различной активности катализаторов, восстанавливаемых при разных температурах, может быть основано на явлениях псевдоморфизма [15], наблюдаемых при восстановлении непромотированного железного катализатора.

Удельная каталитическая активность катализатора, промотированного 2% K_2O , в тех же условиях оставалась почти постоянной и лишь незначительно уменьшалась в случае, когда восстановление было закончено при 500° .

Таким образом окись калия в условиях наших опытов не только не вышала удельную каталитическую активность поверхности железного катализатора синтеза аммиака, но и способствовала ее стабилизации.

Весь комплекс проведенных исследований позволяет нам сделать предположение о сложном химическом составе активной части поверхности катализатора, которая, по-видимому, представляет собой тесный контакт металлического железа с окислами железа, в случае непромотированного катализатора, и с соединениями промоторов друг с другом и с окислами железа, в промотированных катализаторах.

Возможно, что в этих условиях щелочные и щелочно-земельные окислы образуют в контакте с металлическим железом системы, сходные с оксидными катодами. Известно также, что щелочные и щелочно-земельные окислы способствуют десорбции аммиака с поверхности катализатора. Все это в некоторой степени может объяснить высокую удельную активность катализаторов, содержащих окись калия.

Выводы

1. Сконструированы колонки высокого давления для одновременного испытания активности двух и четырех образцов катализатора синтеза аммиака в одинаковых условиях.
2. Исследована кинетика синтеза аммиака при давлении 300 атм проточным методом на восьми образцах железного катализатора, в том числе на непромотированном и промотированных Al_2O_3 и K_2O .
3. Показано, что после испытания катализаторы, промотированные окисью алюминия, имеют значительно большую поверхность, чем непромотированный катализатор.
4. Установлено, что удельная каталитическая активность зависит от исходного химического состава катализатора. Промотированные катализаторы имеют более высокую удельную активность, чем непромотированный, восстановленный в тех же условиях. Окись алюминия в меньшей степени, чем окись калия, повышает удельную активность.
5. Удельная каталитическая активность непромотированного катализатора в весьма большой степени зависит от температуры восстановления катализатора.
6. Полученные данные указывают на сложный химический состав каталитически-активной поверхности исследованных катализаторов. Позволяет наметить некоторые пути к повышению активности железных катализаторов синтеза аммиака.

ЛИТЕРАТУРА

- Wyskoff and Crittenden, J. Amer. Chem. Soc., **47**, 2866, 1925.
 A. Mittash, Kennecke. Z. Elektrochem., **38**, 666, 1932.
 R. Brill, Z. Elektrochem., **38**, 669, 1932.
 М. И. Темкин и С. Л. Киперман. Ж. физ. химии, **21**, 927, 1947.
 О. Ф. Шеглов, Г. К. Боресков и М. Г. Слинко, Докл. АН СССР, **105**, 123, 1955.
 Н. М. Морозов и М. Я. Каган, Ж. физ. химии, **12**, 1, 1936.
 S. Brunauer, R. H. Emmett, J. Amer. Chem. Soc., **7**, 1732, 1940.
 А. Нильсон, Сб. «Катализ. Исследование гетерогенных процессов», ИЛ, 1956, стр. 5.
 Л. Д. Кузнецов и С. С. Лачинов, Хим. наука и пром-сть, **2**, 269, 1957.
 М. И. Темкин, Ж. физ. химии, **24**, 1312, 1952; Хим. наука и пром-ст, **2**, 219, 1957.
 W. K. Hall, H. Tarn and B. B. Anderson, J. Amer. Chem. Soc., **59**, 1553, 1950.
 Г. К. Боресков, Сб. «Гетерогенный катализ в химической промышленности», Госхимиздат, 1955, стр. 5.
 M. A. Mosesman, J. Amer. Chem. Soc., **73**, 5635, 1951.
 С. С. Лачинов, Ж. физ. химии, **14**, 1260, 1940.
 R. Westrik and P. Zwietering, Proc. Koninkl. nederl. akad. wet., **56**, 492, 1953.

ON THE EFFECT OF Al_2O_3 AND K_2O PROMOTERS ON THE ACTIVITY
 OF IRON CATALYST IN THE SYNTHESIS OF AMMONIA

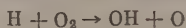
L. D. Kuznetsov and S. S. Lachinov (Moscow)

Summary

The flow method was used in studying the kinetics of the synthesis of ammonia at 300 atm. pressure on eight samples of iron catalyst, including the non-promoted and promoted Al_2O_3 and K_2O . On completing the tests, the surface areas of the catalysts were determined. The specific catalytic activity depends upon the initial chemical composition of the catalyst. Promoted catalysts are distinguished by a higher specific catalytic activity as compared with a non-promoted catalyst reduced under similar conditions. Aluminum oxide gives a smaller increase in the specific activity than does potassium oxide. The specific catalytic activity of a non-promoted catalyst depends on the temperature at which the catalyst was reduced. From the data obtained the chemical composition of the catalytically active portion of the surface of the catalyst studied appears to be rather complicated. Also some ways for increasing the activity of iron catalysts in the synthesis of ammonia can be indicated.

ЭЛЕМЕНТАРНАЯ РЕАКЦИЯ ОБРАЗОВАНИЯ АТОМОВ
КИСЛОРОДА НА ПОВЕРХНОСТИ СТЕКЛА*Л. И. Авраменко и Р. В. Колесникова*

При изучении механизма образования воды и перекиси водорода в результате взаимодействия атомов Н с молекулой O_2 мы столкнулись с фактом наличия в зоне реакции атомов кислорода. Поскольку опыты проводились при низких давлениях (~ 2 мм рт. ст.) и температурах (до $250^\circ C$) и в условиях струи, известные, идущие в объеме реакции атома водорода с молекулой кислорода:



и



не могут быть ответственны за образование воды и перекиси, то, естественно, возникает вопрос о механизме возникновения атомов кислорода. Энергия активации реакции (1) составляет 18 ккал [1], вследствие чего она начинает играть роль при температурах выше $400^\circ C$. Масс-спектрометрические исследования Гудсона и Фонера [2] показали, что при давлении 1,7 мм рт. ст. радикал HO_2 в объеме отсутствует. Отсутствие заметных количеств HO_2 при низких давлениях подтверждается также Гагером и Харвеем [3]. Поэтому некоторые авторы [2, 4] для объяснения образования воды и перекиси водорода привлекают участие поверхности, например, предполагается образование на поверхности комплекса $[HOON]$, который дает или перекись при охлаждении, или гидроксил, приводящий к образованию воды.

Экспериментальная часть

Опыты проводились на двух установках (рисунк), которые отличались друг от друга тем, что поверхность реакционного сосуда одной из них была обработана продуктами из разряда в водороде и промыта фосфорной кислотой, а поверхность другой — продуктами из разряда в парах воды.

Атомы водорода выносились струей из зоны высоковольтного разряда в реактор через сопло в реакционный сосуд. В реакционный сосуд через вводы могли подаваться на разных расстояниях от сопла известные количества кислорода и других веществ. Продукты реакции собирались в находящиеся на разных расстояниях от сопла ловушки, охлаждаемых жидким азотом, затем подвергались анализу. Перекись водорода определялась титрованием раствором $KMnO_4$ в кислой среде. Количества воды определялись взвешиванием.

Результаты опытов, полученных в сосудах, промытых фосфорной кислотой. Для выяснения реакций, протекающих в реакционном сосуде, при взаимодействии атома водорода с молекулой кислорода, нами было проведено несколько серий опытов.

Другие авторы [2, 4], занимавшиеся изучением этой реакции, рассматривали ее как простую радикальную реакцию, и не ставили вопроса о том, имеет ли место цепь в реакционном сосуде при взаимодействии атома Н с молекулой O_2 в условиях низких давлений.

Нами были проведены специальные опыты, направленные на выяснение этого вопроса. Двумя методами были измерены концентрации ато-

водорода. Первый метод состоял в измерении атомов по разогреву платиновой проволоки от рекомбинации. Этот метод позволяет измерять абсолютные концентрации атомов водорода. Второй метод — химический: все извлекаемые атомы водорода связывались молекулами этилена до максимальной концентрации продуктов реакции H с C_2H_4 определяли концентрацию атомов водорода. Специальными опытами было показано, что при реакции с этиленом атомы водорода практически не возрождаются, т. е. цепь отсутствует. Второй метод дал концентрацию атомов водорода выше, чем первый (на 30%). Сравнение концентрации атомов водо-

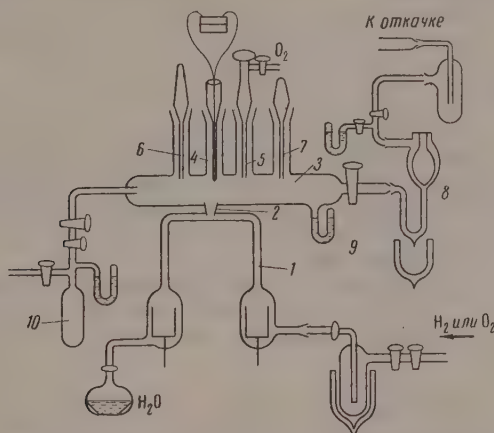


Рис. 1. Схема установки: 1 — разрядная трубка; 2 — сопло; 3 — реакционный сосуд; 4 — термометр; 5, 6, 7 — вводы для добавок O_2 или H_2O ; 8 — съемная ловушка; 9 — манометр; 10 — калиброванная колба

да с концентрацией воды, обнаруживаемой в конце зоны реакции $\text{H} + \text{O}_2$, казалось, что концентрация воды по меньшей мере в 4,5 раза больше концентрации атомов водорода, т. е. на каждый извлекаемый атом H образуется не менее 4,5 молекулы воды. Последнее обстоятельство является свидетельством того, что вода образуется цепным путем.

Подтверждением цепного образования воды служат также следующие опыты. Если этилен подать к месту смешения H с O_2 , то образование воды сильно уменьшается (на порядок). Это показывает, что добавки этилена прерывают цепь образования воды. В продуктах реакции в этом случае обнаруживаются углеводороды, которые образуются обычно от реакции $\text{H} + \text{C}_2\text{H}_4$, а, кроме того, формальдегид. Однако, если этилен подать на расстоянии 12 см от места смешения H с O_2 , то получается совсем другой результат — образуются почти такие же количества воды, какие получаются в отсутствие этилена, а, кроме того, получаются углеводороды и формальдегид в количествах, близких к тем, какие получаются при подаче этилена к месту смешения H с O_2 . Образование больших количеств углеводородов в последнем случае показывает, что на расстоянии 12 см от места смешения H с O_2 , концентрация атомов H почти не уменьшилась, несмотря на протекающую реакцию образования воды. Это свидетельствует о возрождении атомов H в смеси $\text{H} + \text{O}_2 + \text{H}_2$, т. е. еще раз свидетельствует о наличии цепи. Кроме того, этот опыт показывает, что вода образуется в реакционном сосуде, а не в ловушке, так как добавление C_2H_4 на расстоянии 12 см, приводящее к обрыву цепи в данном месте, не помешало образованию значительных количеств воды.

В табл. 1 приведены опыты, показывающие роль холодной стенки ловушки в образовании перекиси водорода.

Таблица 1

Состояние поверхности	Давление H_2 в мм рт. ст. в реакц. сосуде	Давление O_2 в мм рт. ст.	Расстояние ловушки, охлажд. жидким азотом, от места смешения H с O_2 , см	Число молекул H_2O_2 , накапливающихся в ловушке за 1 сек.
Обработана фосфорной кислотой	6	0,2	150	$0,04 \cdot 10^{16}$
То же	6	0,2	40	$7,5 \cdot 10^{16}$
» »	6	0,2	150	$0,08 \cdot 10^{16}$
Обработана прод. из разряда в H_2O	6	0,2	40	$0,11 \cdot 10^{16}$
То же	6	0,2	150	$0,12 \cdot 10^{16}$

Табл. 1 показывает, что в наших условиях основное количество перекиси водорода образуется на холодных стенках ловушки, поскольку удаление холодной поверхности ловушки на расстояние 150 см от сопла приводит к резкому уменьшению H_2O_2 в условиях поверхности, обработанной фосфорной кислотой.

В следующей серии опытов (табл. 2) изучалась зависимость скорости накопления воды и перекиси водорода от скорости подачи кислорода. Эти опыты, позволяющие рассчитать процент превращения кислорода

Таблица 2

Условия: $160^\circ C$; $p_{H_2}=4,5$ мм; $W=400$ см/сек. Расстояние ловушки, охлаждаемой жидким азотом, от сопла 40 см

Скорость подачи O_2 , молек. 10^{-18} сек.	Скорость накопления воды, молек. 10^{-18} сек.	Скорость накопления H_2O_2 , молек. 10^{-18} сек.	% превращения O_2
0,427	0,72	0,067	100
0,627	—	0,12	—
0,7	1,04	0,18	100
1,15	2,2	0,2	110
1,48	2,32	0,16	89
2,16	3,18	0,089	78
7,26	4,86	0,01	33,5

в реакции, являются очень существенными для выяснения механизма образования перекиси водорода. Обращают на себя внимание два факта: во-первых, неожиданно большие проценты превращения (что редко бывает даже в пламенах), и, во-вторых, максимальное образование перекиси водорода имеет место при больших превращениях кислоты; с уменьшением процента превращения кислорода уменьшается и образование перекиси.

Возникает вопрос о том, какие новые активные частицы образуются при взаимодействии атома водорода с молекулой кислорода. С этой целью в зону реакции вводился этилен. При этом в продуктах реакции обнаруживались формальдегид и ацетальдегид.

В табл. 3 представлены результаты этих опытов. Продукты реакции анализировались на содержание только кислородсодержащих веществ. Опыты показывают, что образование CH_2O при реакции $H + O_2 + C_2H_4$ имеет место в реакционном сосуде, а не на холодной стенке, так как удаление холодной стенки от места смешения не приводит к уменьшению продуктов.

Сравнение опытов 4 и 5 показывает, что за образование формальдегида ответственна реакция этилена с частицей, возникающей при реакции

Таблица 3

Условия: 22°C , $w_1^* = 800 \text{ см/сек.}$

Состояние поверхности сосуда	Давление H_2 , мм рт. ст.	Давление кислорода, мм рт. ст.	Расст. охлажд. ловушки от сопла, см	Скорость подачи этилена через сопло, $\frac{\text{см}^3}{\text{сек.}} \times 10^{-18}$	Место подачи этилена	Количество альдегидов, образов. молекул, $\frac{\text{сек.}}{\text{сек.}} \times 10^{-18}$	Главн. продукт из альдегидов
Обработана фосфорной кислотой	6,5	0,1	40	1,2	До сопла	2,6	CH_2O
То же	6,5	0,1	150	1,15	» »	2,2	CH_2O
» »	6	0,15	40	1,7	» »	4,5	CH_2O
» »	6	0,15	150	1,8	Нарасст. 12 см	5,3	CH_2O
» »	6	O_2 подается на расст. 12 см	150	1,75	До сопла	0,3	CH_3CHO (CH_2O — нет)
» »	6,5	0,15 см	40	1,8	Нарасст. 12 см	9,4	CH_2O
Обработана продуктами из разряда в парах H_2O	7	0,15	40	3,3	До сопла	0,6	CH_3CHO ($-\text{CH}_2\text{O}$ нет)
То же	7	0,2	40	3,3	До сопла	0,8	То же

+ O_2 . Такой вывод следует из того, что если смешать H с O_2 и на каком-то расстоянии от места смешения подать этилен (опыт 4), то альдегиды разуются в больших количествах, если же атомы H смешать с этиленом (опыт 5) и на каком-то расстоянии от места смешения подать кислород, количество альдегидов сильно падает, а формальдегид не образуется совсем.

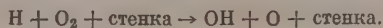
Следует отметить, что в этом же сосуде, обработанном атомами H и омытом фосфорной кислотой, при давлениях $p_{\text{H}_2} = 6-7 \text{ мм рт. ст.}$ $p_{\text{O}_2} = 0,1-0,2 \text{ мм рт. ст.}$ и температурах выше 160°C наблюдается свечение, хорошо заметное в темноте. Пламя не потухает при уменьшении силы тока в разрядной трубке от 200 до 20 мА. Добавки ацетилен к смеси $\text{H} + \text{O}_2$ на расстоянии 2 см от места смешения также приводили к появлению свечения, в то время как добавки ацетилен к атомному водороду в отсутствие O_2 свечения не давали. Ацетилен относится к числу тех веществ, которые легче всего [5] дают пламя с атомным кислородом. Один из авторов [6] использовал свечение с ацетиленом для доказательства наличия атомов кислорода в газе, откачиваемом из разряда в парах воды. Наличие атомов кислорода в струе, откачиваемой из разряда в парах воды, было недавно подтверждено масс-спектроскопически [7]. Таким образом появление свечения в зоне реакции $\text{H} + \text{O}_2$ при добавках ацетилена свидетельствует о наличии там атомов кислорода.

Результаты опытов, проведенных в сосуде, обработанном продуктами, образующимися при разряде в парах воды. Результаты опытов, полученных с этим сосудом, отличны от результатов, полученных с первым сосудом. Из табл. 1 видно, что при тех же условиях, что и с первым сосудом, количество перекиси в ловушке значительно меньше. В соответствии с этим получается и значительно меньшее количество воды. Добавки этилена к смеси $\text{H} + \text{O}_2$ приводят также к другим результатам. В этом сосуде получают очень малые количества альдегидов, причем

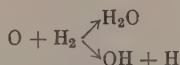
формальдегид не обнаруживается. Надо отметить, что в этом сосуде начальная концентрация атомов водорода такая же, как в первом. Отсюда можно сделать вывод, что незначительное образование воды и перекиси водорода при реакции $H + O_2$ и отсутствие формальдегида с добавкой этилена связано с отсутствием какой-то реакции, которая приводит к образованию этих продуктов.

Обсуждение результатов

Механизмы образования H_2O и H_2O_2 при реакции атомов H с O_2 тесно связаны между собой. Наши опыты показывают, что H_2O образуется цепным путем. Если учесть этот факт и то, что в ходе реакции образуется частица, которая с этиленом дает формальдегид, а с ацетиленом наблюдается свечение, то мы должны предположить такой акт взаимодействия H с O_2 , который приводит к образованию атомов кислорода. Нами показано ранее [8], что атомы кислорода с этиленом в качестве главного продукта дают C_2H_2O . Известно [5, 6], что именно атомы кислорода дают свечение с C_2H_2 . Поскольку объемная реакция $H + O_2 \rightarrow OH + O$ в условиях наших опытов не может играть сколько-нибудь заметную роль, мы приходим к выводу, что эта реакция протекает с участием поверхности:



Далее цепь развивается обычным путем:



Таким образом в реакционном сосуде идет цепь образования воды, где один трудный элементарный акт проходит на поверхности. Поэтому имеется столь резкая зависимость образования воды от состояния поверхности.

Как уже было показано ранее, а также как видно из табл. 1, образование H_2O_2 происходит в ловушке, охлаждаемой жидким азотом. Встает вопрос о том, какая же реакция идет на холодной поверхности с образованием H_2O_2 .

Большинство авторов считает, что в этом акте принимает участие O_2 . Наши опыты показывают, что O_2 не принимает участия в образовании H_2O_2 . Образование H_2O_2 зависит от состояния поверхности реакционного сосуда (ранее это было также показано [9]), а, кроме того, от концентрации молекул O_2 . Определение процента превращения O_2 в реакцию (табл. 2) показывает, что H_2O_2 в наибольших количествах получается в опытах, где кислород еще до ловушки вступает почти полностью в реакцию с образованием воды. Вода, как это следует из всех измерений, разлагается в реакционном сосуде. Ее образуется на порядок больше, чем H_2O_2 . Таким образом по крайней мере 90% O_2 вступает в реакцию, неходя до ловушки, а на холодных стенках ловушки при этом образуются наибольшие количества H_2O_2 . Когда же кислород расходуется не полностью и действительно уже попадает в ловушку, тогда количество H_2O_2 резко падает. Этот факт свидетельствует о том, что в образовании H_2O_2 на холодных стенках ловушки сам молекулярный кислород не принимает участия, более того, его присутствие уничтожает ту частицу, которая на холодной стенке принимает участие в образовании H_2O_2 . Увеличение концентрации O_2 приводит к тому, что все меньше этих частиц доходит до холодной стенки. Учитывая влияние поверхности на эту реакцию, а также тот факт, что большие концентрации O_2 приводят к уменьшению

O_2 , мы приходим к выводу, что за образование H_2O_2 ответственна реакция:



Ранее [9] нами было показано, что именно на холодной поверхности идет реакция образования H_2O_2 из атомов O и H_2O .

Поскольку образование атомов O зависит от состояния поверхности, столько и образование H_2O_2 зависит от поверхности. Уменьшение выхода H_2O_2 при больших концентрациях O_2 объясняется увеличением гити атомов O за счет реакции:

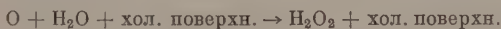


юда получается такое резкое уменьшение выхода H_2O_2 при увеличении концентрации O_2 . Опыты, проведенные во втором сосуде, где поверхность обработана продуктами из разряда в парах H_2O , показывают, что ценного образования воды, вместе с тем не образуются ни CH_2O при бавках этилена, ни перекись в соответствующих количествах. Значит, я того чтобы осуществлялась реакция:



обходима определенная обработка поверхности.

Можно было предположить, что H_2O_2 образуется при реакции двух H на холодной поверхности. Но опыты Гудсона и Фонера [2] показывают, что в том случае, когда обнаруживается OH , перекиси водорода получается. Кроме того, если бы H_2O_2 образовывалась из двух OH , не было бы никаких причин для уменьшения H_2O_2 с ростом O_2 при усвии, что общее давление почти не менялось. Так что для образования O_2 имеется только один путь, возможность которого доказана прямыми опытами, это путь

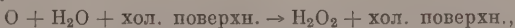


В заключение авторы выражают глубокую благодарность акад. Н. Семенову за дискуссию и ценные советы.

Выводы

1. Обнаружена элементарная реакция образования атомов кислорода обработанной поверхности стекла, при взаимодействии атомов H с молекулой кислорода при низких давлениях (5 мм рт. ст.) и низких температурах (до $200^\circ C$).

2. Показано, что на поверхности, охлаждаемой жидким азотом, имеет место реакция:



иводящая к образованию перекиси водорода.

Академия наук СССР
Институт физической химии
Москва

ЛИТЕРАТУРА

- В. В. Воеводский, А. Б. Налбандян, Механизм окисления и горения водорода, Изд-во АН СССР, 1949.
- S. N. Foner, R. L. Hudson, J. Chem. Phys., 23, 1974, 1955.
- P. A. Ciguere, K. B. Harvey, J. Chem. Phys., 25, 373, 1956.
- E. J. Babin, J. Amer. Chem. Soc., 70, 3651, 1948.
- P. Harteeck, V. Kopsch, Z. phys. Chem., 12, 327, 1931.

6. Л. И. Авраменко, Ж. физ. химии, 23, 790, 1949.
7. Г. К. Лавровская, В. Е. Скурят, Д. Г. Танцырев
В. Л. Тальрозе, Докл. АН СССР, 117, 64, 1957.
8. Л. И. Авраменко и Р. В. Колесников, Ж. физ. химии, 30, 58,
1956.
9. Л. И. Авраменко и Р. В. Колесников, Ж. физ. химии, 30, 763, 1956.

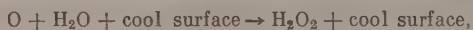
FORMATION OF OXYGEN ATOMS ON THE SURFACE OF GLASS

L. I. Avramenko and R. V. Kolesnikova (Moscow)

S u m m a r y

An elementary reaction in which oxygen atoms are formed on a treated glass surface owing to the interaction of H atoms with the oxygen molecule at low pressures (5mm Hg) and low temperatures (to 200° C) has been discovered.

It is shown that on a surface cooled by liquid nitrogen the following reaction occurs:



with the result that hydrogen peroxide is produced.

ИЗУЧЕНИЕ НЕКОТОРЫХ КАТАЛИТИЧЕСКИХ РЕАКЦИЙ НА ПОВЕРХНОСТИ ОКИСИ КАЛЬЦИЯ

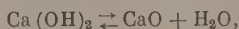
О. В. Крылов и Е. А. Фокина

Значительная часть материала по каталитическим свойствам окиси кальция опубликована в [1]. Поэтому в настоящей статье публикуются только сведения, не вошедшие в указанную статью.

Окись кальция получалась дегидратацией $\text{Ca}(\text{OH})_2$ при 600° в вакууме, а также в сосуде, в котором изучалась каталитическая реакция. Поверхность CaO по адсорбции *n*-гептана — $48,5 \text{ м}^2/\text{г}$.

Разложение изопропилового спирта. Разложение изопропилового спирта в адсорбированном слое проводилось по методике, описанной ранее [2]. Адсорбции водорода на CaO в условиях опыта не обнаружено (во всяком случае она меньше 0,1% заполнения поверхности), поэтому кинетику дегидрирования спирта можно было изучать по приросту давления продуктов реакции с вымораживанием чистым воздухом. Дополнительный анализ на H_2 проводился пропуском его через палладиевый капилляр.

На рис. 1 приведены кривые разложения изопропилового спирта при вымораживании продуктов реакции твердым *n*-пропиловым спиртом (16°); в газе остается в основном H_2 и продукт дегидратации — пропан. Содержание водорода в этой смеси составляло при 100° — 64,3%, при 150° — 74,6%, при 180° — 78,8–80,7%, при 200° — 84,0–86,3%. Расчет по стандартным таблицам [3] равновесия диссоциации гидроксида кальция:



показал возможность гидратации CaO при низких температурах 50° — 100° за счет воды, образующейся при разложении (дегидратации) изопропилового спирта, в соответствии с уравнением

$$\lg p_{\text{H}_2\text{O}} = -\frac{5704}{T} + 7,956 + F(T),$$

при 300° $p_{\text{H}_2\text{O}} = 6,05 \text{ мм рт. ст.}$, при 200° — $0,055 \text{ мм рт. ст.}$ и при 100° — $10^{-5} \text{ мм рт. ст.}$ На рис. 2 показана кинетика поглощения воды окисью кальция при начальном давлении $0,1 \text{ мм рт. ст.}$ в этих условиях. При 200° поглощенная вода в основном удаляется при откачке. Следует учесть, что равновесие на поверхности может не совпадать с объемным.

Энергия активации дегидрирования изменяется при низких температурах (100 – 150°) в зависимости от заполнения в пределах 21 – 36 ккал/моль ; при 180 – 200° — 32 – 36 ккал/моль (значения весьма приближенные в связи с непостоянством активности CaO). Возможно, что эти изменения энергии активации («неоднородность») связаны с протеканием дегидрирования на гидратированной поверхности при низких температурах и на чистой CaO при высоких. В пользу высказанного предположения говорят и «активации», увеличение скорости дегидрирования CaO при низких температурах. Величины E значительно превышают E дегидрирования $\text{C}_3\text{H}_7\text{OH}$ (12 – 16 ккал/моль), обнаруженную нами ранее при проведении реакции на CaO и $\text{Ca}(\text{OH})_2$ в струевых условиях, что, вероятно,

обусловлено добавлением при разложении в слое Q адсорбции к E дегидрирования.

Дегидрирование этана. Этан над окисью кальция при давлении 0,4 мм рт. ст. не испытывал никаких изменений вплоть до 600°.

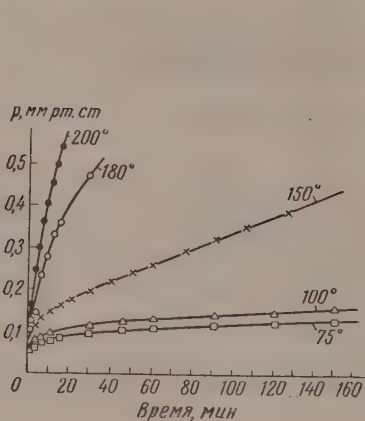


Рис. 1

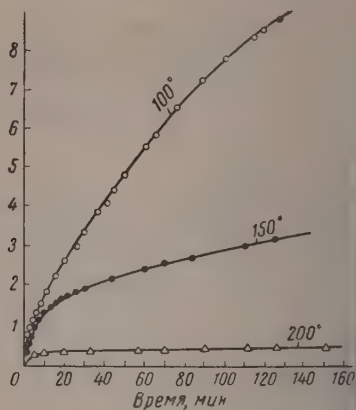


Рис. 2

Рис. 1. Кинетические кривые разложения изопропилового спирта в адсорбированном слое на СаО при 75–200°

Рис. 2. Кинетика поглощения воды окисью кальция при начальном давлении водяного пара 0,1 мм рт. ст. в координатах время—ммоль/г

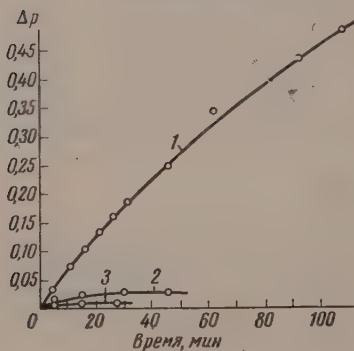


Рис. 3

Рис. 3. Кинетические кривые дегидрирования циклогексана на СаО при 400° и разных начальных давлениях: 1 — $p=1,25$ мм рт. ст.; 2 — $p=0,5$ мм рт. ст.; 3 — $p=0,1$ мм рт. ст.

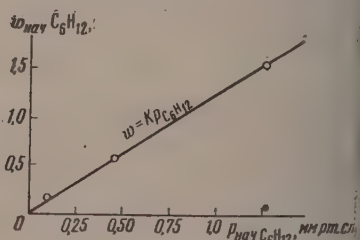


Рис. 4

Рис. 4. Зависимость начальной скорости дегидрирования циклогексана на СаО при 400° от давления циклогексана (мл/мин)

При 600° и выше наблюдалось очень медленное увеличение давления. В продуктах реакции обнаружено немного водорода.

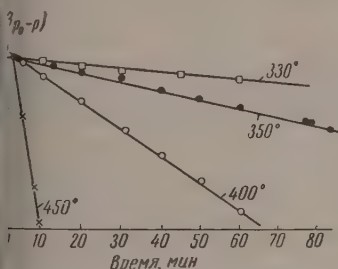
Дегидрирование циклогексана. Дегидрирование циклогексана изучалось в статистических условиях по изменению давления в объеме над катализатором. Циклогексан ($n_D^{20} = 1,427$) был безводно представлен нам Г. В. Исагуляном, которому мы выражаем признательность.

На рис. 3 приведены кинетические кривые разложения C_6H_{12} при 400° и различных начальных давлениях. Рис. 4 показывает, что зависимость начальной скорости реакции от давления циклогексана линейная.

При низких заполнениях адсорбция компонентов не препятствует кции, и кинетика ее подчиняется первому порядку. Как видно из 5, соотношение $w = kP_{C_6H_{12}}$ и в ходе реакции удовлетворительно получается.

Неконденсирующаяся в жидком воздухе фракция пропусканием через Pd-капилляр идентифицирована как водород. Состав органических продуктов реакции специально не исследовался. Количество их меньше, следует по стехиометрии образования бензола из циклогексана.

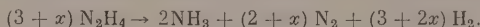
Энергия активации дегидрирования при 300—450° равна 30,5 ккал/моль, близко к значениям, найденным А. А. Баландиным и И. И. Брусом [4] и М. Я. Каганом и Р. М. Флидом [5] для дегидрирования циклогексана на Cr_2O_3 . На окисных катализаторах, в частности, возможно образование циклоолефинов и продуккрекинга. А. А. Баландин для



5. Кинетические кривые дегидрирования циклогексана на CaO в координатах $lg(3p_0 - p) - t$

ложения C_6H_{12} на окислах принимает так называемый «дублетный» анализ, т. е. двухточечную адсорбцию, в отличие от шеститочечной на аллах.

Разложение гидразина. Разложение гидразина представляет собой интересный пример реакции, протекающей по разным направлениям. Исследования, посвященные катализу разложения N_2H_4 их пор, однако, малочисленны [6]. Известно, что в растворах сильных кислот N_2H_4 разлагается по суммарному уравнению:



На металлах (Pt, Pd) по литературным данным [5] и на полупроводниках (Ge, GaAs и др.), по нашим данным [6], N_2H_4 разлагается с образованием только аммиака и азота по уравнению:



На окиси кальция разложение гидразина было изучено в адсорбированном слое. Для этого перед опытом на CaO адсорбировалось определенное количество гидразина (0,07—0,10 ммоль/г). Гидразин содержал около 1% H_2O . Продукты разложения откачивались в специальный объем, измерялось их давление.

На рис. 6 изображены кинетические кривые разложения гидразина в координатах $p - lg t$. Прямолинейная зависимость наблюдается при температурах 150—200° и не наблюдается при 50—100°. Возможно, что этот вид кинетических кривых разложения N_2H_4 на CaO при высоких и низких температурах вызван гидратацией поверхности CaO при низких температурах водой, которая была примесью к исходному гидразину.

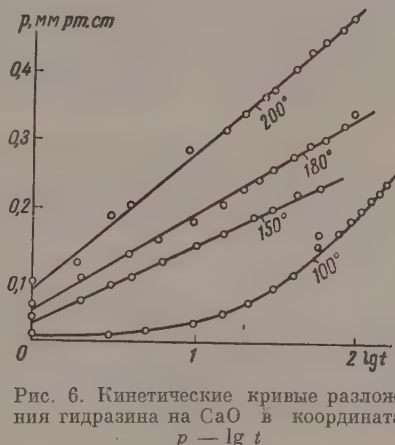


Рис. 6. Кинетические кривые разложения гидразина на CaO в координатах $p - lg t$

Разложение гидразина на CaO протекает с образованием преимущественно азота и водорода, т. е. по такому же уравнению, как и в растворе крепких щелочей, и отличается от разложения на металлах и полупроводниках, на которых не образуется водорода. Преимущественное направление:



Таким образом проведенное исследование показывает возможность проведения на CaO трех реакций отщепления водорода.

Кроме изучения каталитических свойств окиси кальция, были исследованы также адсорбционные свойства щелочной поверхности окиси кальция по адсорбции *n*-крезола и фенола, меченых C^{14} , дифференциально-изотопным методом. Данные по адсорбции *n*-крезола сообщались ранее [7]. Данные по адсорбции фенола, имевшего удельную радиоактивность 258 *имп./мин.мг*, показали, что с точностью до 2—3% от запятой поверхность CaO однородна по отношению к адсорбции слабых кислот.

Выводы

1. На поверхности окиси кальция изучены три реакции: разложение изопропилового спирта, разложение гидразина и дегидрирование циклогексана.

2. Обнаружено, что изопропиловый спирт разлагается при 100° и выше в направлении дегидрирования с образованием водорода и ацетона. В продуктах разложения гидразина обнаружены при 50—200° водород и азот, в продуктах дегидрирования циклогексана — водород.

Академия наук СССР
Институт физической химии
Москва

ЛИТЕРАТУРА

1. О. В. Крылов и Е. А. Фокина, Докл. АН СССР, **120**, 333, 1958.
2. О. В. Крылов, С. З. Рогинский и Е. А. Фокина, Изв. АН СССР Отд. хим. н., № 6, 668, 1956.
3. F. D. Rossini. Selected values of chemical thermodynamic properties, Washington, 1952.
4. А. А. Баландин, И. И. Брусов, Ж. общ. химии, **7**, 18, 1937.
5. М. Я. Каган, Р. М. Флид, Ж. общ. химии, **20**, 503, 1946.
6. Л. Одрит, О. Огг, Химия гидразина, ИИЛ, М., 1954.
7. О. В. Крылов и Е. А. Фокина, Проблемы кинетики и катализа, Изв. АН СССР, **9**, 304, 1957.

INVESTIGATION OF SOME CATALYTIC REACTIONS ON THE SURFACE OF CALCIUM OXIDE

O. V. Krylov and E. A. Fokina (Moscow)

Summary

Three reactions have been obtained on the surface of calcium oxide, viz., decomposition of isopropyl alcohol, decomposition of hydrazine, and dehydrogenation of cyclohexane.

As has been discovered, isopropyl alcohol is decomposed at 100° and more in a direction of dehydrogenation to form hydrogen and acetone. Among the products of hydrazine decomposition at 50 to 200° hydrogen and nitrogen were found, and hydrogen among the products of cyclohexane dehydrogenation.

ИССЛЕДОВАНИЕ ВЛИЯНИЯ ПАРОВ ВОДЫ НА АКТИВНОСТЬ И СТРУКТУРУ СКЕЛЕТНОГО НИКЕЛЕВОГО КАТАЛИЗАТОРА

В. Д. Крылов, Л. Х. Фрейдлин и И. Ф. Жукова

Ранее [1] было установлено, что термическая обработка скелетного никеля при температурах ниже 400° не изменяет его активности. В связи с этим было предположено, что физическая структура катализатора, несмотря на достаточно высокую температуру отжига, не претерпевает значительных изменений.

В работе [2] было показано, что скелетный никель состоит из высокоперспективных кристаллических блоков, в которых отсутствуют искажения кристаллической решетки, приводящие к размытию линий рентгенограмм. Было найдено также, что размеры кристаллических блоков скелетного никеля испытывали значительных изменений при термообработке последнего вплоть до 570° .

При обработке парами воды под давлением, даже при более низких температурах $200\text{--}300^{\circ}$, активность скелетного никелевого катализатора резко снижалась. Обработка закиси никеля парами воды под давлением приводит к снижению каталитической активности никеля, полученного восстановлением этой закиси. Высказано предположение, что низкая активность этого катализатора связана с рекристаллизацией как самой закиси, так и никеля, полученного из нее восстановлением [3]. Ввиду этого представлялось интересным исследовать тонкую кристаллическую структуру и каталитическую активность скелетного никеля, обработанного парами воды под давлением. Одновременно изучалась также структура и активность никеля, восстановленного из его закиси, и структура этой закиси.

Экспериментальная часть

Исследование тонкой кристаллической структуры образцов проводилось методом гармонического анализа интерференционных линий рентгенограмм и по интегральным полуширинам линий. Первый метод применялся для установления наличия искажений в кристаллических блоках [4, 5], второй — для подсчета величины неискаженных блоков, причем в этом случае съемка образцов производилась на рентгеновском диффрактометре УРС-50И. Применяемое излучение Cu монохроматизировалось с помощью плоской пластинки из NaCl , регистрировалась линия (111). Интегральная полуширина линий определялась делением площади (задавалась планиметром), заключенной между кривой интенсивности и осью, на высоту кривой. Размер блоков определялся по формуле Семякова-Эррера $D = \lambda/\beta \cos \theta$, где λ — длина волны рентгеновского излучения; β — интегральная полуширина линии в угловой мере; θ — вульф-брегговский угол.

Исследование показало, что размытие линий рентгенограммы образцов скелетного никеля происходит лишь за счет малой величины кристаллических блоков. В отличие от скелетного никеля, кристаллические блоки закиси никеля оказались подверженными искажениям.

Исследование каталитической активности структуры никеля, приготовленного восстановлением закиси никеля, обработанного парами воды. Закись никеля, полученная окислением скелетного никеля в струе воздуха в стеклянной трубке при 400° , обрабатывалась в автоклаве парами воды под давлением при температурах 250, 215, 200, 180 и 150° . Обработанная таким образом закись никеля восстанавливалась водородом при 350° в течение 2 час., после чего определялась активность восстановленного катализатора по скорости гидрирования 0,25 г винифенилового эфира в среде 96% этилового спирта при 20° .

В таблице приведены условия обработки закиси никеля парами воды.

Влияние обработки закиси никеля парами воды на активность никеля, полученного восстановлением этой закиси водородом в течение 2 час. при 350° показано на кривых рис. 1, на которых по оси абсцисс отложено время, а по оси ординат — скорость поглощения водорода в мл/мин. Катализатор, полученный из закиси никеля, обработанной парами воды при 250° , был совершенно неактивен. Активность катализатора, приготовленного из закиси никеля, обработанной в более мягких условиях (при 200° и 20 атм или же при 215° и 25 атм давления), составляла соответственно 50 и 25% первоначальной (рис. 1, кривые 4, 5). Обработка закиси парами воды при 180 и 150° не оказывала влияния на активность катализатора (рис. 1, кривые 2, 3). Кривая 1 — активность катализатора, полученного восстановлением закиси, не подвергавшейся обработке парами воды.

Температура, $^{\circ}\text{C}$	Продолжительность, часы	Давление паров воды, атм
250	2	30
215	2	25
200	2	20
180	2	12
150	2	6

Структура восстановленного никеля, как и самой закиси никеля, изучалась рентгенографически описанным ранее методом [2]. Данные рентгеновского анализа показали, что искажения в кристаллических блоках восстановленного никеля отсутствуют, а размеры блоков не зависят от условий обработки закиси никеля парами воды. Величина этих блоков оказалась одинаковой для всех образцов никеля и равной примерно 220 Å. В кристаллических блоках закиси никеля, в отличие от блоков восстановленного никеля, были обнаружены значительные искажения. Величина блоков закиси никеля и искажения в них оказали также не зависимость от условий обработки закиси парами воды.

Эти данные показывают, что обратимое снижение активности катализатора, приготовленного из закиси никеля после ее переработки парами воды, происходит не вследствие роста кристаллических блоков.

По-видимому, основной причиной падения активности никеля является агрегация блоков, что приводит к уменьшению активной поверхности катализатора.

Исследование влияния паров воды и азота на активность и структуру скелетного никелевого катализатора.

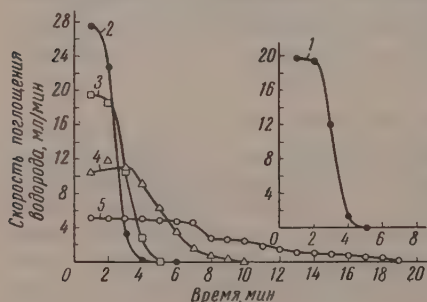


Рис. 1. Активность образцов скелетного никеля (1-я серия опытов). 1 — после окисления и последующего восстановления; 2 — приготовленного восстановлением закиси никеля, обработанной парами воды при 150° ; 3 — из закиси, обработанной парами воды при 180° ; 4 — из закиси, обработанной парами воды при 200° ; 5 — из закиси, обработанной парами воды при 215° .

з а т о р а. Скелетный никелевый катализатор обрабатывался парами в автоклаве в течение 2 час. при температурах 250; 200 и 150° и давлениях соответственно 46, 27 и 6 атм, после чего он восстанавливался парами водорода при 350° в течение 2 час., и испытывалась его активность, как описано выше. После обработки парами воды при 250° катализатор полностью дезактивировался. После обработки парами воды при 150 и 200° активность катализатора резко снизилась. Активность образца, обработанного парами воды при 200° (рис. 2, кривая 2), после восстановления водородом не изменилась (кривая 3), а образца, обработанного при

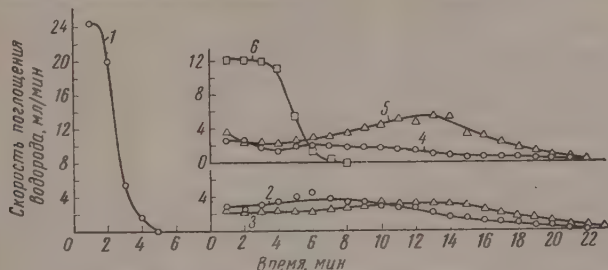


Рис. 2. Активность образцов скелетного никеля (II-ая серия опытов). 1 — для исходного образца; 2 — после обработки парами воды при 200°; 3 — после обработки при 200° и восстановления; 4 — после обработки парами воды при 150°; 5 — после обработки при 150° и восстановления; 6 — после обработки смесью паров воды и углекислоты и последующего восстановления

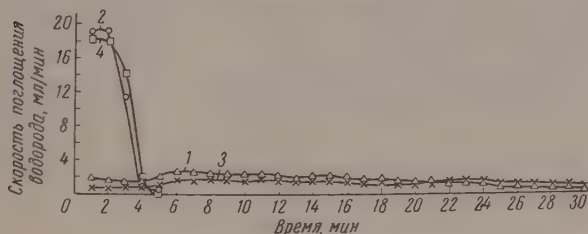


Рис. 3. Активность образцов скелетного никеля (III-я серия опытов). 1 — после обработки азотом при 23 атм.; 2 — после обработки водородом при 350°; 3 — после обработки азотом при 50 атм.; 4 — после обработки водородом при 350 атм

° (кривая 4), после восстановления несколько повысилась (кривая 5). Термограммы образцов скелетного никеля, обработанных подобным образом, указывают на сильный рост их кристаллических блоков вплоть до частичной рекристаллизации. Сам по себе интересный факт рекристаллизации никеля при обработке его парами воды при сравнительно низком давлении (150°) указывает на значительную роль в этом случае фактора давления. Роль этого фактора видна хотя бы из того, что скелетный никель, обработанный парами воды при атмосферном давлении и температурах до 200°, не снижает своей активности [3]. При обработке катализатора смесью углекислого газа и паров воды в аналогичных условиях роста блоков не наблюдалось, активность катализатора резко снизилась, но после обработки водородом в значительной степени восстановилась (рис. 2, кривая 6). Кривая 1 характеризует активность исходного никелевого катализатора.

Далее выяснялось влияние азота в отсутствие воды на активность и структуру скелетного никеля. При обработке последнего азотом под давлением также наблюдалось заметное увеличение размеров блоков, однако, значительно менее интенсивное, чем при обработке парами воды. Так,

при обработке скелетного никеля азотом при давлениях в 23 и 50 атм размер блоков увеличился с 130 до 210 и 260 Å соответственно.

Как видно из приведенных данных, размеры блоков скелетного никеля прямо зависят от давления азота в процессе обработки. При восстановлении указанных образцов в течение 2 час. водородом при 350° наблюдался дальнейший рост блоков до 305 Å. После обработки азотом при 23 и 50 атм активность скелетного никеля резко снизилась, примерно в 2 раз (рис. 3 кривые 1 и 3). Однако после обработки водородом в течение 2 час. при 350° активность катализатора почти полностью восстановилась (кривые 2 и 4). Повышение активности катализатора после его обработки водородом можно объяснить удалением сорбированного азота, а также донасыщением катализатора водородом.

С целью выяснения роли сорбированного водорода в процессе дезактивирования никеля при его обработке парами воды был проведен аналогичный опыт со скелетным никелем, предварительно обезводороженный при помощи бензохинона. Полученный результат указывает на большую роль сорбированного водорода в процессах изменения структуры и активности скелетного никеля. Так, обработка обезводороженного катализатора парами воды привела лишь к незначительному по сравнению с необезводороженным катализатором росту блоков (200 Å). После обработки катализатора водородом наблюдался дальнейший небольшой рост блоков, но активность катализатора полностью восстанавливалась. Обработка обезводороженного катализатора азотом в течение 2 час. при 210° и 38 атм давления не изменила размеры его блоков и активности, которые остались неизменными также и после обработки катализатора водородом при 350° в течение 2 час. Таким образом пары воды оказывают влияние на структуру и активность только необезводороженного никелевого катализатора. Только при наличии водорода в скелетном никелевом катализаторе действие паров воды является эффективным.

Можно предположить, что под давлением в присутствии паров воды сорбированный в катализаторе водород частично протонизируется, что наличие кислой среды на границах блоков благоприятствует их рекристаллизации. Однако, возможно также, что адсорбируясь на никеле, бензохинон предохраняет его от контакта с водой.

Выводы

1. Установлено, что каталитическая активность никеля, приготовленного восстановлением закиси никеля, обработанной парами воды под давлением, изменяется в зависимости от условий обработки. Кристаллическая структура закиси никеля и восстановленного из нее никеля в процессе подобной обработки не изменяется. Причиной снижения активности катализатора в этом случае является, по-видимому, не рекристаллизация его блоков, а их агрегация.

2. Показано, что обработка скелетного никелевого катализатора парами воды под давлением приводит к значительному росту его кристаллических блоков и к необратимой дезактивации катализатора.

3. При обработке катализатора смесью паров воды и углекислого газа рекристаллизация кристаллических блоков не наблюдается, и после обработки водородом активность катализатора в значительной степени восстанавливается.

4. Обработка скелетного никелевого катализатора азотом под давлением слабее увеличивает размеры блоков катализатора, и активность его после обработки водородом полностью восстанавливается.

Академия наук СССР
Институт органической химии
им. Н. Д. Зелинского

ЛИТЕРАТУРА

- Л. Х. Фрейдлин и К. Г. Руднева, Изв. АН СССР, Отд. хим. н., 1111, 1953.
В. Д. Крылов, Л. Х. Фрейдлин и К. Г. Руднева, Изв. АН СССР, Отд. хим. н. № 5, 546, 1957.
Л. Х. Фрейдлин, А. А. Баландин, Н. В. Борунова и А. Е. Агрономов. Изв. АН СССР, Отд. хим. н., № 8, 913, 1956.
A. Stacks. Proc. Phys. Soc. 56, 174, 1949.
B. Warren, B. Averbach. J. Appl. Phys., 21, 595, 1953; 23, 467, 1059, 1952.
-

INVESTIGATION OF THE EFFECT OF STEAM ON THE
ACTIVITY AND STRUCTURE OF SKELETED NICKEL CATALYST

V. D. Krylov, L. Kh. Freidlin and I. F. Zhukova (Moscow)

Summary

It has been established that the catalytic activity of nickel prepared by reduction of nickelous oxide treated with steam at high pressure may vary depending on the conditions of treatment. The crystal structure of the nickelous oxide and of nickel obtained by its reduction remain invariable in the course of such treatment. The reason for the reduction of the catalyst activity in this case seems to lie in the agglomeration of crystal blocks rather than in recrystallization.

As is shown, the treatment of the skeleton nickel catalyst with steam under high pressure results in a considerable growth of its crystal blocks and brings out an irreversible deactivation of the catalyst.

When the catalyst is treated with a mixture of steam and carbon dioxide no recrystallization of crystal blocks will be observed, and after hydrogen treatment the catalyst activity is substantially restored.

The nitrogen treatment of the skeleton nickel catalyst at high pressure gives a weaker growth of the crystal blocks and after treatment with hydrogen the catalyst activity is fully restored.

ИЗУЧЕНИЕ ПРОМЕЖУТОЧНЫХ ПРОДУКТОВ ГЕТЕРОГЕННО-КАТАЛИТИЧЕСКОЙ РЕАКЦИИ МЕТОДОМ ИЗМЕРЕНИЯ ЭЛЕКТРОПРОВОДНОСТИ

И. А. Мясников

Метод исследования электропроводности полупроводниковых контактов во время хемосорбции или каталитической реакции позволяет наблюдать при определенных условиях образование и исчезновение на поверхности полупроводниковых сорбентов промежуточных продуктов гетерогенной реакции в виде хемосорбированных атомов и радикалов.

Проведенное нами исследование электропроводности электронных полупроводников типа ZnO и TiO_2 в атмосфере газов и паров в широком интервале температур показало, что в ряде случаев хемосорбция сопровождается изменением электропроводности лишь выше некоторой температуры. Так, например, по данным Тейлора [1], хемосорбция водорода на окиси цинка наблюдается при достаточно низких температурах, а именно -80° и ниже, это — так называемая низкотемпературная хемосорбция. В то же время заметное изменение проводимости адсорбента, вызванное хемосорбцией водорода, имеет место лишь при температурах выше 780° .

С точки зрения современной теории хемосорбции и катализа на окисных адсорбентах [2] хемосорбированная молекула водорода распадается на атомы, которые удерживаются на поверхности либо без участия свободных электронов или дырок решетки, либо с их участием. Хемосорбция частиц на полупроводнике влечет за собой зарядку его поверхности и изменение проводимости только в том случае, согласно этой теории, когда имеет место «прочная» связь, т. е. когда в образовании связи участвуют свободные электроны или дырки. Следовательно, низкотемпературная хемосорбция водорода, протекающая без заметного изменения проводимости, связана, с этой точки зрения, с образованием «слабой» связи с поверхностью.

Однако совсем иная картина имеет место в случае хемосорбции атома водорода. Атомы водорода, попадая на поверхность полупроводника, как показывают наши опыты [3], практически полностью понижают с малой энергией активации (около 2 ккал). Изменение электропроводности в случае хемосорбции атомов H имеет место вплоть до -190° .

Хемосорбция атомов водорода на электронных полупроводниках приводит к резкому обратимому увеличению их проводимости. В решетке увеличивается концентрация свободных электронов, вследствие ионизации хемосорбированных атомов H, что сопровождается, естественно, увеличением проводимости полупроводника.

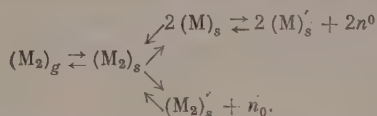
Полученные экспериментальные данные позволяют предполагать, что отсутствие влияния низкотемпературной хемосорбции водорода на электропроводность полупроводников связана не с тем, что атомы H не входят в состояние слабой связи с поверхностью, а с тем, что в этих условиях не имеет места диссоциация хемосорбированных молекул водорода.

атомы. Хемосорбированная молекула водорода может удерживаться поверхности, например, вследствие образования донорно-акцепторной язи, в которой донором пары электронов может быть молекула водорода, акцептором Zn^+ или катион посторонних атомов. Н. Д. Соколовым [4] было высказано предположение о возможности образования такого рода язи с процессом хемосорбции.

При повышении температуры имеет место, по-видимому, заметная диссоциация водорода на атомы, которые, согласно полученным нами результатам, легко ионизируются. Однако степень диссоциации водорода при определенной температуре остается все же небольшой.

В случае хемосорбции углеводородов мы имеем близкую картину. Изменение электропроводности полупроводников при хемосорбции молекул углеводородов крайне мало, по сравнению с тем, что имеет место, как показывает опыт в случае хемосорбции соответствующих радикалов. Это ясно, по-видимому, с тем, что лишь малая часть молекул на поверхности распадается с образованием промежуточных поверхностных радикалов. Следовательно, подавляющая часть хемосорбированных молекул распадается на части, а образует с поверхностью нестабильные соединения, в которых большую роль могут играть донорно-акцепторные язи. Последнее, однако, нуждается в экспериментальном доказательстве. При таком типе хемосорбции роль свободных электронов и дырок является мала.

По-видимому, хемосорбция — сложный химический процесс и для различных полупроводников в различных условиях может быть связан не свободными носителями тока, а с самыми различными центрами кристалла (катионами, анионами, примесными атомами). В общем случае в заданных условиях между адсорбентом и адсорбатом имеет место равновесие



между хемосорбированными молекулами, атомами, ионами и свободными носителями тока.

Если хемосорбция того или иного сорта молекул на том или ином адсорбенте в силу их химических и физических свойств не сопровождается заметным изменением концентрации свободных носителей тока, то естественно, что в этом случае электронный и дырочный газ лишь в слабой степени может влиять на величину хемосорбции.

При внесении посторонних примесных атомов в полупроводник его хемосорбционная емкость и каталитическая активность могут меняться, независимо от того, как будет изменяться концентрация электронного или дырочного газа, если эти атомы в решетке сами становятся центрами хемосорбции. С этим может быть связано в ряде случаев наблюдаемое на опыте несоответствие (с точки зрения электронных представлений в катализе) между изменением величины хемосорбции и электропроводности при внесении в адсорбент посторонних примесных атомов.

В заключение приведем несколько экспериментальных результатов по хемосорбции атомов и радикалов.

На рис. 1 показано изменение проводимости пленки ZnO в водороде и азоте (давление газов 1 атм) при облучении на γ -источнике при различных температурах опыта. По мере увеличения температуры прирост проводимости пленки ZnO за счет хемосорбции H-атомов падает. Этот эффект, по-видимому, связан с тем, что при повышении температуры концентрация хемосорбированных атомов уменьшается вследствие увеличения скорости их рекомбинации.

На рис. 2 показано изменение стационарного значения проводимости ZnO в водороде (давление газа 0,7 мм рт. ст.) при различных концентрациях атомов водорода, которые генерировались в потоке молекулярного водорода при помощи маломощной разрядной трубки. Из этого рисунка также видно, что при температурах опыта свыше 200° скорость рекомбинации хемосорбированных атомов становится большей, что приводит

$\Delta\sigma, \text{ом}^{-1} \cdot 10^2$

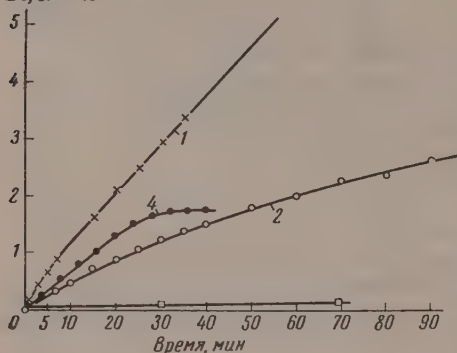


Рис. 1. Изменение проводимости ZnO при облучении на γ -источнике в водород: 1 — комнатная температура; 2— 200° ; 3— 350° и в азоте; 4 — 17° .

к уменьшению эффекта. Данные по кинетике изменения проводимости при хемосорбции атомов H и рекомбинации хемосорбированных атомов показывают, что энергия активации первого процесса составляет около 2 ккал, второго — около 35 ккал.

На рис. 3 показано изменение проводимости пленки ZnO , нагретой до различных температур, после впуска в реакционный сосуд малых количеств изопропилового спирта при начальном давлении 0,01 мм рт. ст. водорода. Количество впускного водорода подбиралось таким, какое образуется при дегидрировании всего количества спирта в опытах со спиртом. Видно, что проводимость пленки после впуска спирта сначала быстро растет, а затем падает. Образующийся ацетон при таких малых количествах практически совсем не изменяет проводимости. Сравнивая полученные осциллограммы в опытах со спиртом и водородом, легко видеть, что эффект «всплеска проводимости» при впуске паров спирта связан с образованием на поверхности полупроводника атомов водорода, присутствие которых моментально фиксируется изменением проводимости адсорбента вследствие малой энергии активации их ионизации до того, как они успеют рекомбинировать. Энергия активации рекомбинации хемосорбированных атомов, как было показано нами, значительно больше. Если рассчитать по подъему этих кривых энергию активации изменения проводимости, то она составляет около 45 ккал/моль, что соответствует энергии активации реакции дегидрирования изопропилового спирта на ZnO , найденной нами для этих же образцов окиси цинка ранее. Это и следовало ожидать, так как лимитирующей стадией изменения проводимости ZnO в присутствии паров спирта является распад самой молекулы спирта, а не хемосорбция образующихся атомов водорода и не десорбция водорода. Энергия активации спада проводимости в этих опытах близка к той, которая была получена в опытах с разрядом.

На рис. 4 показано изменение проводимости пленки ZnO при хемосорбции на его поверхности метильных радикалов, которые генериро-

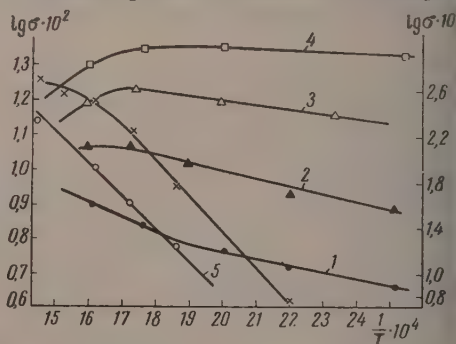


Рис. 2. Изменение стационарного значения проводимости ZnO в водород: 1 — без разряда; 2, 3, 4 — при различных интенсивностях разряда; 5, 6 — то же в азоте.

ис в реакционной ячейке в результате фотолиза паров ацетона. Хемсорбция метильных радикалов на электронном полупроводнике, в противоположность атомам водорода, сопровождается не увеличением, а

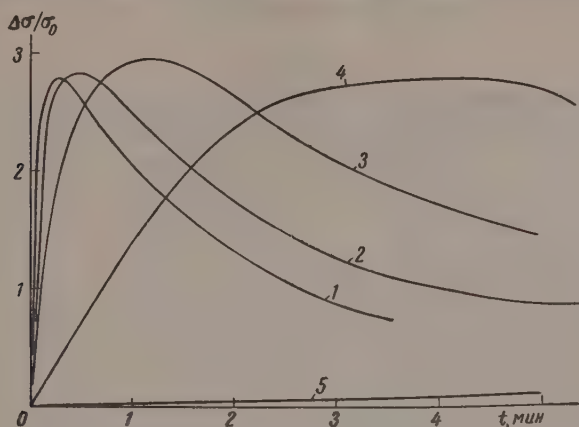
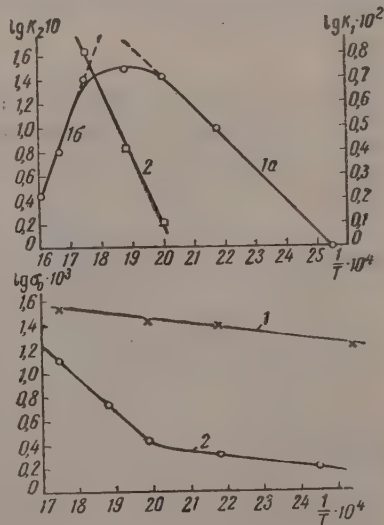


Рис. 3. Изменение проводимости пленки ZnO после выпуска в сосуд паров изопропилового спирта: 1—390°; 2—370°; 3—350°; 4—320°; 5—после выпуска H₂ при 390°

уменьшением его проводимости. Свыше некоторой температуры величина эффекта, как и в случае водорода, падает, что связано со значительным ростом скорости рекомбинации хемсорбированных радикалов с температурой.

Полученный экспериментальный материал показывает, что хемсорбция атомов и радикалов на полупроводниках сопровождается большим уменьшением проводимости с малой энергией активации по сравнению с изменением проводимости при хемсорбции молекул, которое протекает с большой энергией активации, связанной, по всей вероятности, с диссоциацией молекул на атомы.

На основании полученных данных открывается широкая возможность применения полупроводников для идентификации свободных радика-



4. Изменение проводимости пленки в парах ацетона: 1 — в отсутствие метильных радикалов; 2 — в присутствии метильных радикалов (нижний рис.). Зависимость кинетических постоянных проводимости от температуры: 1 — прямой процесс; 2 — обратный (верхний рис.).

и атомов в различных средах и исследования каталитических гетерогенных реакций, протекающих по радикальному механизму.

Недавно нами обнаружено, что для этих целей полупроводники могут быть использованы и в жидких средах при низких температурах, напри-

мер, при γ -облучении сжиженных углеводородов. Малогабаритные нестатистические индикаторы свободных атомов и радикалов могут быть, видимо, с успехом применены в самых различных условиях для решения многих задач, связанных с химией радикалов.

Выводы

1. Показано, что адсорбция атомов и радикалов на полупроводниковых пленках типа оксидов приводит к значительному изменению проводимости полупроводниковых пленок, чем это наблюдается при адсорбции соответствующих молекул. Это явление позволяет обнаруживать атомы и радикалы в различных средах и на поверхностях сорбентов или катализаторов и тем самым исследовать элементарные акты гетерогенных каталитических акций, протекающих по радикальному механизму.

2. Сильное изменение электронной структуры поверхностного слоя полупроводников под влиянием хемосорбированных атомов и радикалов приводит не только к резкому изменению электропроводности, но и к изменению работы выхода электронов, поскольку последняя связана и с величиной двойного электрического слоя у поверхности сорбента. На этом основании измерением работы выхода также можно идентифицировать атомы и радикалы в смеси их с соответствующими молекулами или на поверхности сорбентов.

Физико-химический институт
им. Л. Я. Карпова
Москва

ЛИТЕРАТУРА

1. H. S. Taylor, S. Liang, J. Amer. Chem. Soc., 69, 1306, 1947.
2. Ф. Ф. Волькенштейн, Проблемы кинетики и катализа, Изд-во АН СССР, 8, 79, 1955.
3. А. И. Мясников, Докл. АН СССР, 120, 1298, 1958.
4. Н. Д. Соколов, Проблемы кинетики и катализа, Изд-во АН СССР, 8, 141, 1955.

INVESTIGATION OF THE INTERMEDIATE PRODUCTS OF HETEROGENEOUS CATALYTIC REACTIONS BY ELECTRIC CONDUCTIVITY MEASUREMENTS

I. A. Miasnikov (Moscow)

Summary

As has been shown, the adsorption of atoms and radicals on oxide semi-conductors leads to a much greater variation in the conductivity of semi-conductor films as compared with the adsorption of the corresponding molecules. This makes it possible to identify atoms and radicals in different media and on the surfaces of sorbents or catalysts, and in this way to investigate the elementary atoms of heterogeneous catalytic reactions proceeding according to the radical mechanism.

Great changes in the electron structure at and near the surface of a semi-conductor under the influence of chemisorbed atoms and radicals result in a sharp variation not only of the electric conductivity but also of the work function of the electrons, because the latter is also related to the value of the electric double layer at the surface of the sorbent. Therefore, by measuring the work function it is also possible to identify atoms and radicals when mixed with the corresponding molecules or on the surface of sorbents.

КИНЕТИКА КАТАЛИТИЧЕСКОГО ГИДРИРОВАНИЯ СЕРОУГЛЕРОДА НА СУЛЬФИДАХ ЖЕЛЕЗА, НИКЕЛЯ И КОБАЛЬТА

Ф. П. Ивановский, В. А. Донцова и Г. С. Бескова

Исследования каталитической очистки газов от сероорганических соединений обычно сводятся к подбору катализаторов как в виде чистых сульфидов различных металлов, так и на носителях [1—9]. Имеются также описания схем очистки действующих установок [10—13].

Изучением кинетики гидрирования сероуглерода на субсульфиде никеля Ni_3S_2 занимались Гриффис и Хилл [14], Краулей и Гриффис [15]. Авторы проводили исследования в интервале температур 100—250° с концентрацией сероуглерода 280 и 730 мг/м³. Порядок реакции относительно CS_2 оказался равным единице. Было замечено, что с увеличением концентрации сероуглерода в исходном газе скорость реакции уменьшается. Исследователи нашли, что в результате реакции образуются меркаптан CH_3SH и сероводород. При этом первый появляется: а) при низких температурах, б) при высоких температурах с недостатком водорода и в) при высоких температурах с избытком водорода и больших объёмных скоростях. Описанные результаты привели на мысль, что реакция сероуглерода и водорода протекает по ступеням, приводя к образованию элмеркаптана в качестве одного из промежуточных продуктов.

Из изложенного видно, что кинетика каталитического гидрирования сероуглерода изучена недостаточно. Настоящая работа и посвящена более детальному изучению этого вопроса.

Экспериментальная часть

Сульфиды железа, никеля и кобальта готовили осаждением соответствующих азотнокислых солей раствором соды; осадки тщательно промывали водой, сушили до постоянного веса, растирали в ступке, таблетовали на прессе и сульфидировали в токе 8—10% H_2S при 450°. Химический и рентгеноструктурный анализы показали, что исходные образцы сульфидов железа представляют собой пирротины. Сульфид никеля представляет собой фазу β NiS состава $NiS_{1,21}$, т. е. твердый раствор никеля в моносulfиде никеля. Сульфид кобальта, как оказалось, состоял из чистой фазы Co_9S_8 (твёрдого раствора обнаружено не было).

Для изучения кинетики каталитического гидрирования сероуглерода на сульфиды металлов был выбран проточно-циркуляционный метод [17].

В циркуляционный контур непрерывно вводили небольшое количество водорода с дозированным количеством сероуглерода. Такое же количество продуктов реакции выводили из контура. Об установлении стационарного состояния судили по балансу серы на входе и выходе циркуляционного контура. Дозировку сернистых соединений осуществляли падением части водорода при 0° парами сероуглерода с последующим смешиванием газового потока.

Газ из баллона очищался от кислорода и влаги и затем делился на два потока: один подавали в насытитель с сероуглеродом, второй — непо-

Таблица 1

Влияние сероводорода на скорость реакции: $\text{CS}_2 + 4\text{H}_2 \rightarrow \text{CH}_4 + 2\text{H}_2\text{S}$

Катализатор	Температура, °C	Концентрация серы в исходном газе,		Концентрация серы в выходящем газе			Скорость реакции, г/м³·ч
		SCS_2 , г/м³	SH_2S , г/м³	SCS_2 , г/м³	SH_2S , г/м³	SH_2S (по реакции), г/м³	
Сульфид железа	350	100,2	—	57,0	—	43,1	8620
		100,1	14,1	58,0	56,2	42,1	8420
		107,5	46,3	69,2	84,6	38,3	7660
		100,0	92,5	56,7	136,6	43,2	8640
Сульфид никеля	280	136,0	—	82,4	—	51,4	4950
		136,1	13,9	86,1	64,7	50,8	4900
		119,3	62,5	69,3	112,9	50,4	4850
		123,3	70,4	76,3	120,4	50,9	4900
Сульфид кобальта	250	148,1	—	113,1	—	31,7	12950
		138,8	14,7	107,1	45,0	30,3	12120
		139,4	28,2	106,8	62,9	31,3	12500
		139,3	42,2	107,3	74,02	32,0	12800

Таблица 2

Влияние метана на скорость реакции $\text{CS}_2 + 4\text{H}_2 \rightarrow \text{CH}_4 + 2\text{H}_2\text{S}$

Катализатор	Температура, °C	Концентрация SCS_2 в исходном газе, г/м³	Концентрация метана в исходном газе, %	Концентрация серы в выходящем газе		Скорость реакции, г/м³·ч
				SCS_2 , г/м³	SH_2S , г/м³	
Сульфид железа	350	100,5	—	60,1	40,8	8150
		100,0	2,0	59,0	40,5	8100
		100,0	4,0	59,8	40,3	8100
		101,6	6,0	63,3	40,7	8140
Сульфид никеля	280	139,4	—	84,3	48,7	4690
		136,6	2,0	88,3	49,2	4725
		139,2	4,0	89,3	49,9	4800
		138,8	6,0	85,0	47,4	4600
Сульфид кобальта	250	148,1	—	113,1	31,7	12900
		133,7	1,0	101,7	32,0	12500
		140,0	3,4	106,6	34,1	14100
		141,9	5,0	113,4	31,4	13100

средственно в смеситель. После каждого реометра устанавливали ловушку для вымораживания влаги. Из смесителя часть газа поступала в циркуляционный контур, а оставшаяся — непосредственно в аналитическую систему.

Циркуляционный контур состоял из реакционной трубки, изгот. лленной из супримакса, циркуляционного насоса и печи, которая имеет механическое устройство для быстрого опускания и подъема ее, что позволяло производить закалывание катализатора по окончании работ. Температуру печи автоматически регулировали с точностью $\pm 1^\circ$.

В исходном газе определяли количество сероуглерода сжиганием в кварцевой трубке с большим избытком воздуха при $750-780^\circ$ с последующим улавливанием образующегося SO_2 3%-ным раствором перекиси водорода. В газе после катализатора определяли отдельно сероводород поглощением его ацетатом кадмия с последующим понометрическим ти-

ванием, и сумму сероводород + сероуглерод сжиганием в кварцевой трубке, как указано выше.

Применение проточно-циркуляционной схемы позволяло получать непосредственно значения скорости изучаемой реакции $\text{CS}_2 + 4\text{H}_2 \rightarrow \text{CH}_4 + 2\text{H}_2\text{S}$ по анализу выходящей газовой смеси [16]:

$$\omega = \frac{cu}{\varphi w},$$

ω — скорость реакции; c — концентрация продукта; u — объем газовой смеси, выпускаемой в единицу времени; w — количество катализатора; φ — свободный объем. Меняя исходный состав газовой смеси при постоянной температуре, определяли скорость реакции в зависимости от концентрации реагируемых компонентов.

Таблица 3

Удельные каталитические активности

Катализатор	Температура, °C	k	k_{280}
Сульфид железа	400	52,7	3,6
	350	20,6	
	300	6,1	
	400	52,0	
Сульфид никеля	280	35,0	34,0
	250	12,3	
	220	4,0	
	280	33,0	
Сульфид кобальта	290	86,2	63,1
	265	39,0	
	250	19,2	
	240	13,6	
	290	86,7	

Изучение кинетики гидрирования сероуглерода проводили на сульфидах железа, никеля, кобальта в интервале температур 220—400°, при концентрациях CS_2 30—150 г/м³, объемных скоростях 200—600 час⁻¹. В результате исследования были определены порядок реакции по сероуглероду, влияние продуктов реакции (табл. 1—2) и удельная каталитическая активность (табл. 3).

В случае гидрирования сероуглерода можно изменять концентрацию только CS_2 , водород находится

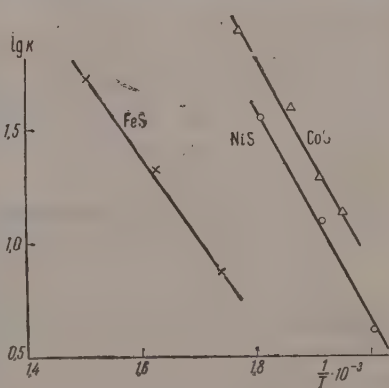
всегда в большом избытке, так как при недостатке последнего происходит зауглероживание катализатора.

Так как реакция необратима [16] и отсутствует влияние продуктов реакции (табл. 1—2), то можно написать уравнение скорости реакции для изучаемых катализаторов:

$$\omega = k c_{\text{CS}_2}^n$$

где n соответственно равно: для FeS — 0,50; для NiS — 0,50; для CoS — 0,60; k — константа скорости реакции, отнесенная к единице поверхности образцов (удельная каталитическая активность).

Отсюда были подсчитаны удельные каталитические активности для изучаемых катализаторов. Так как порядок реакции на исследуемых сульфидах металлов мало или совсем не отличается (см. выше) друг от друга, то можно провести сравнение каталитических активностей сульфидов железа, никеля и кобальта по общим константам скорости реакции. Из табл. 3 видно, что удельная каталитическая активность железа отличается на полтора порядка от удельной активности никеля и кобальта, активности двух последних близки между собой (табл. 3).



Зависимость константы скорости реакции от температуры: $E_{\text{FeS}} = 17,4$ ккал/моль; $E_{\text{NiS}} = 21,3$ ккал/моль; $E_{\text{CoS}} = 21,6$ ккал/моль

Рассчитанная энергия активации из температурной зависимости константы скорости реакции, как видно из графиков прилагаемого рисунка для всех образцов близка по величине ($\sim 20\,000$ кал/моль). Одинаковые формы кинетических уравнений и близкие значения энергии активации по-видимому, связаны с идентичностью механизма реакции гидрирования на всех исследуемых сульфидах.

Выводы

1. Изучена кинетика каталитического гидрирования сероуглерода сульфидах железа, никеля и кобальта. Работа проводилась с концентрацией сероуглерода от 1 до 5%, в интервале температур 220—400°C с объемными скоростями от 200 до 1000 час⁻¹.
2. На названных сульфидах определен порядок реакции относительно сероуглерода. Для сульфидов железа и никеля $n = 0,50$, для сульфида кобальта $n = 0,60$.
3. Выяснено, что продукты реакции (сероводород и метан) не влияют на ее скорость.
4. Установлено, что удельная каталитическая активность сульфидов никеля и кобальта на полтора порядка выше, чем у сульфида железа.
5. Энергия активации, определенная на изучавшихся катализаторах оказалась близкой по величине для всех сульфидов.

Государственный институт
азотной промышленности

ЛИТЕРАТУРА

1. R. Mazingo, D. E. Wole, S. O. Harris, K. Folkers, J. Am. Chem. Soc., **65**, 1013, 1943.
2. А. Н. Башкиров и Н. Л. Барабанов, Докл. АН СССР, **104**, 41, 1945.
3. A. E. Sands, H. W. Weinright, L. D. Schmidt, Industr. Engng Chem., **40**, № 4—6, 1948.
4. E. B. Maxted, J. Soc. Chem. Ind., **67**, 93, 1948.
5. J. H. Hall, M. C. Simmons, F. P. Whisenand, Industr. Engng Chem., **41**, 2703, 1949.
6. R. M. Cole, D. D. Davidson, Industr. and Engng Chem., **41**, 2711, 1949.
7. Е. П. Бабин, В. Г. Плюсин, Ж. прикл. химии, **19**, 1956.
8. E. B. Maxted, A. Marsden, J. Soc. Chem. Ind., **25**, № 1, 1946.
9. N. Funasaka, R. Fukushima, J. Soc. Chem. Ind., Japan, **50**, 122, 1947.
10. Chemical Age, **65**, 143, 1951.
11. E. B. Maxted, J. J. Priestley, Gas Journ., **247**, № 4322—4325, 471, 1949.
12. H. Hoog, Recueil trav. chim., **69**, 1289 (1950).
13. R. H. Griffith, Industr. and Engng Chem., **44**, 1011, 1952.
14. R. H. Griffith, S. G. Hill, J. Chem. Soc., 717, 1938.
15. B. Crawley, R. H. Griffith, J. Chem. Soc., 720, 1938.
16. М. И. Темкин, С. А. Киперман и Л. И. Лукьянова, Докл. АН СССР, **74**, 763, 1950.
17. К. Г. Боресков и М. Г. Слинько, Ж. прикл. химии, **18**, 1, 1955.

KINETICS OF CATALYTIC HYDROGENATION OF CARBON SULFIDE ON IRON, NICKEL, AND COBALT SULFIDES

F. P. Ivanovsky, V. A. Dontsova and G. S. Beskova (Moscow)

Summary

In studying the kinetics of the catalytic hydrogenation of carbon sulfide on iron, nickel, and cobalt sulfides the flow-circulation method was used. The experiments were conducted with 1 to 5 per cent concentrations of carbon sulfide at temperatures ranging from 200 to 400°C.

For the carrier sulfides the order of the reaction was determined with reference to carbon sulfide. It was found to be 0.5 for iron and nickel sulfides and 0.6 for cobalt sulfide. The products of the reaction (carbon sulfide and methane) have been found to produce no effect on the rate of reaction. It has been established also that the order of catalytic activity of nickel and cobalt sulfides is half as much again as in iron sulfide. The activation energy determined on the catalysts studied has been found to be of the same order of magnitude for all the sulfides.

МЕХАНИЗМ ГИДРИРОВАНИЯ БЕНЗОХИНОНА НА Pt, Pd/CaCO₃ И СКЕЛЕТНОМ Ni

Н. М. Попова и Д. В. Сокольский

Гидрирование бензохинона на Pt, Pd/CaCO₃ и скелетном Ni проводилось с целью выяснения механизма реакции и стабильности контактов. Основные результаты кинетики и потенциометрических измерений подробно изложены в ранее опубликованной статье [1].

Кинетика гидрирования

Гидрирование хинона проводилось в диоксане, бензоле, спирте, 0,1 N уксусной кислоте. На Pt, Pd/CaCO₃, приготовленных по известным методам [2], реакция протекает по нулевому порядку до поглощения одного моля H₂. Среда оказывает существенное влияние как на скорость процесса, так и на конечные продукты гидрирования. На Pt по скорости гидрирования растворители располагаются в ряд

диоксан > спирт > уксусная кислота.

На Pd/CaCO₃ наблюдается аналогичная закономерность. В кислой среде на Pt в отличие от Pd/CaCO₃ при обратимом водородном потенциале гидрируется бензолное кольцо до циклогексанола.

Потенциал катализаторов при внесении хинона падает на 680—700 mV обратимого водородного и остается почти постоянным до исчезновения хинона. После гидрирования хинона до гидрохинона потенциал возвращается к обратимому водородному.

Активность Pt и Pd/CaCO₃ после гидрирования хинона испытывалась скоростью гидрирования циклогексена. Было выяснено, что предварительное гидрирование хинона не снижает активности Pt и Pd/CaCO₃ по отношению к реакции гидрирования циклогексена. На эту особенность ни указывали ранее и другие авторы [3].

При гидрировании хинона на 1 г скелетного Ni скорость поглощения водорода не оставалась постоянной во время опыта, а быстро снижалась. Максимальная скорость поглощения убывала с увеличением навески; для 0,6 и 0,7 г хинона из газовой фазы поглощалось всего несколько миллилитров водорода; для 1 г хинона, несмотря на продолжительное встряхивание, водород вообще не поглощался.

Опыты обычно не доводились до конца, так как скорость поглощения водорода очень незначительна. Отдельные опыты при 60° показали, что хинон на скелетном Ni гидрируется с поглощением 4 молей водорода, т. е. до циклогександиола. Анализ полученного катализатора после опыта не проводился.

Потенциал катализатора при внесении хинона мгновенно сдвигался в одну область на величину тем большую, чем больше навеска хинона. После резкого падения потенциал скелетного Ni, в отличие от Pt и Pd/CaCO₃, не оставался постоянным до поглощения из газовой фазы H₂, необходимого для гидрирования хинона до гидрохинона, а возвращался к обратимому водородному с быстротой, обратно пропорциональной навеске хинона. Для 0,6 и 0,7 г хинона приходится часами ждать заполнения

ния поверхности водородом: для 1,0 г хинона возобновления водород не происходит, падение потенциала составляет 680—730 мВ.

Для выяснения истинного механизма этих видимых закономерностей был проведен химический анализ фильтратов в некоторых точках потенциальной кривой. Результаты анализа показали, что уже в первую минуту после добавления хинона он на 98—99% превращается в гидрохинон, который в соответствующих количествах обнаруживается в растворе. При возвращении потенциала к обратимому водородному, хинон в растворе отсутствует; исчезает и 30—40% гидрохинона, образовавшегося в начале реакции.

При сведении баланса по водороду в каждом опыте было видно, что гидрирование хинона на скелетном Ni происходит как за счет водородной газовой фазы, так и сорбированным водородом, извлекаемым из скелетного Ni. Депромоторивание особенно велико в первую минуту и увеличивается с ростом навески.

Для 1 г хинона (требуется 208 мл H_2) сорбированного 1 г скелетного Ni водорода оказывается недостаточным (в 1 г скелетного Ni содержится в диоксиде 135 мл H_2), и катализатор дезактивируется. Избыток хинона, вероятно, блокирует поверхность и препятствует активации и сорбции водорода.

После каждого опыта, при возвращении потенциала к обратимому водородному, испытывалась активность катализатора. Предварительно было показано, что продукты гидрирования хинона не снижают скорости гидрирования циклогексена. Затем проводился анализ фильтрата на содержание хинона и гидрохинона, и таким путем определялось количество извлеченного из катализатора водорода или количество оставшегося к моменту гидрирования циклогексена.

Сравнение скоростей гидрирования циклогексена и времени поглощения $\frac{1}{2}$ и $\frac{2}{3}$ теоретически необходимого H_2 после различных навесок хинона показало, что эти величины существенно зависят от количества извлеченного хиноном водорода. Скорости гидрирования циклогексена остаются достаточно высокими, а время поглощения $\frac{1}{2}$ и $\frac{2}{3}$ теоретически необходимого водорода малым для тех катализаторов, из 1 г которых выделяется не более 40 мл водорода.

Дальнейшее извлечение водорода при предварительном гидрировании хинона приводит к линейному снижению активности скелетного Ni. На это обратили внимание и другие исследователи [4, 5] при предварительном обезводородивании скелетного Ni как органическим веществом, так и откачкой в вакууме. Весьма вероятно, что понижение активности связано не только с удалением водорода, но и частичным окислением поверхности.

Механизм гидрирования хинона

В работах Л. В. Писаржевского [6] показано, что электроны металлов играют основную роль при адсорбции и служат регуляторами гетерогенных каталитических процессов. Рядом ученых [7—10] при измерении сопротивления пленок катализаторов в газовой фазе выяснено, что сопротивление металлов VIII группы сводится к принятию или отдаче электронов. Катализируемые вещества рассматриваются как доноры или акцепторы электронов. Штакельберг и Вебер [11] считают, что гидрирование органических соединений и в водных растворах осуществляется непосредственно не водородными атомами, а первичными электронами. Это было показано ими при электрогидрировании бензохинона, нитро- и нитрозобензола через палладиевую мембрану.

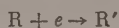
В наших опытах при добавлении хинона в раствор наблюдается сдвиг потенциала в положительную сторону от 0,6 до 0,7 В в зависимости от условий. Очевидно, падение потенциала связано со снятием с поверхности катализатора водорода и установлением потенциала, характерного для

системы хинон—гидрохинон. По литературным данным [12—14], нормальный окислительно-восстановительный потенциал этой системы лежит в пределах от 0,68 до 0,71 V. Изменение его при гидрировании не может быть значительным, так как изменение концентраций окисленной и восстановленной форм мало отражается на потенциале:

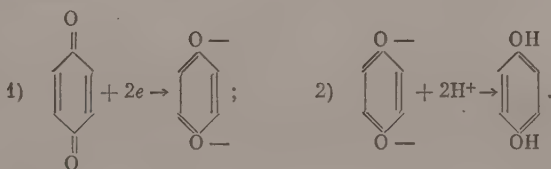
$$E_{\text{хинон-гидрохинон}} = E_0 \pm 0,06 \text{ V [15].}$$

Подтверждением такого объяснения сдвига потенциала в положительную сторону послужили анализы раствора в некоторых точках потенциальной кривой. Было выяснено, что падение потенциала составляет 0,6—0,7 V, пока в системе есть хинон. Как только хинон прогидрируется, катализатор вновь становится водородным электродом.

Известно, что падение потенциала для окислительно-восстановительных систем обратимого типа характеризует то среднее минимальное давление электронов, при котором возможен их переход. Потенциал определяет легкость восстановления органических соединений [16, 17]. Высокий окислительно-восстановительный потенциал хинона в наших опытах приводит к большой легкости восстановления. Рассчитанная нами кажущаяся энергия активации на Pt и Pd/CaCO₃ (численно совпадающая с работой извлечения электронов или снятия водорода с поверхности) составляет всего 1—2 ккал/моль. Гидрирование хинона при очень анодном потенциале с такой малой энергией активации можно объяснить только с точки зрения электронного механизма. Этот случай является существенным дополнением к одной из схем механизма каталитической гидрогенизации, предлагаемой Д. В. Сокольским [18], для которой лимитирующей стадией является присоединение электрона. Здесь для выяснения механизма необходимо рассматривать условия активации самого непредельного соединения, а не водородного атома. В электронном представлении активация будет связана с перетягиванием электрона решетки и образованием радикала органического соединения:



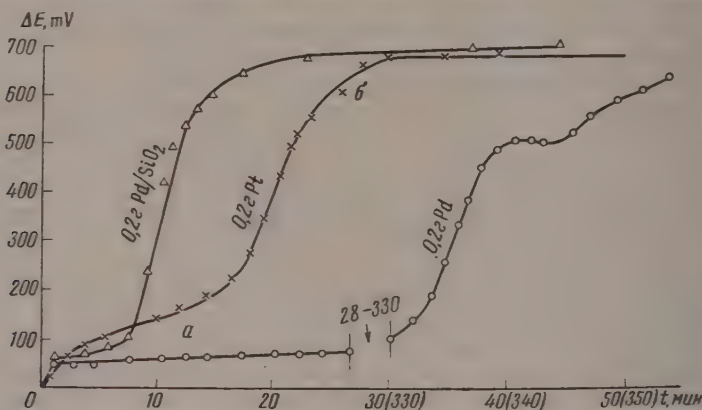
При этом решающее значение приобретает способность поверхности эмиссии электронов. При гидрировании хинона мы столкнулись с редким в органической химии случаем окислительно-восстановительной реакции обратимого типа, когда электрон полностью переходит к восстанавливаемому соединению. Как правило, такие реакции протекают быстро, без энергии активации. По-видимому, гидрирование хинона протекает в две стадии:



В первой стадии образуются семихиноны, устойчивость которых с полной очевидностью показана Рэмиком [15]. При этом происходит шаг потенциала порошка в положительную сторону.

Вторая стадия — гидрирование семихинонов водородными атомами, давшими при активации металлу в некоторой степени свой валентный электрон. Такое объяснение навело нас на мысль, что если упомянутый механизм верен, то хиноном можно снять кривую заряжения. На прилагаемом рисунке представлены равновесные кривые заряжения для Pt, Pd/SiO₂, полученные при равномерном прикапывании раствора хинона (0,00015 г/мин) к насыщенному водородом порошку катализатора

в 0,1 N H_2SO_4 в атмосфере азота при встряхивании [19]. В процессе опыта проводился отбор проб раствора, анализ которых показал, что гидрирование хинона возможно как в катодной (а), так и в анодной (б) области потенциалов. Эти опыты однозначно свидетельствуют о том, что так называемая центральная задержка на кривой заряжения связана с десорбцией сильно связанного с поверхностью водорода. На прямолинейном участке полученных кривых заряжения добавляемый хинон не гидрируется, хотя одновременно происходит перезарядка поверхности, которая является следствием извлечения электронов хиноном. При потенциалах



Кривые заряжения Pt, Pd и Pd SiO₂ при анодной поляризации бензохиноном (температура 20° С)

превышающих 0,50—0,55 V, хинон вновь начинает гидрироваться. При снятии кривых заряжения стадии гидрирования хинона оказались ограниченными условиями опыта.

Таким образом мы выяснили, что хинон выступает в качестве акцептора электрона. Присоединение электрона является первой стадией реакции. Присоединяются ли, кроме этого, протоны — зависит от pH раствора.

При обычном гидрировании хинон присутствует в избытке, и в катализаторе постоянно ощущается недостаток электронов. Это облегчает активацию водорода:



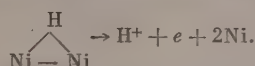
Катализатор при этом выступает, с одной стороны, как донор электронов (по отношению к хинону), а с другой стороны, как акцептор электронов (активация водорода). Такое же предположение делает А. И. Красилов [20] при изучении электровосстановления кислорода.

Может быть, отдача электронов происходит на одних участках поверхности, а их прием на других, как это схематично показано С. З. Рогинским [21] для гетерогенных окислительно-восстановительных реакций. Особенности механизма гидрирования хинона на скелетном никеле связаны с неустойчивостью сорбированного никелем водорода. В таблице приводятся сравнительные данные о десорбции водорода при избытке хинона в атмосфере азота и о поглощении его при обычном гидрировании из газовой фазы в диоксиде при 20° в начале опытов.

Из этих данных видно, что десорбция водорода на скелетном никеле (в отличие от его десорбции на Pt и Pd CaCO₃) путем обработки его хиноном значительно превышает адсорбцию его из газовой фазы. На Pt и Pd CaCO₃ потеря электронов при добавлении хинона успевает компенсироваться

Катализатор	Количество извлеченного H ₂ из катализатора, мл/мин	Количество погло- щенного H ₂ из газо- вой фазы, мл/мин
0,1 г Pt	7,2	22,0
0,2 г Pd/CaCO ₃	2,6	7,0
1,0 г скелетный Ni	126,0	10,0—0,2

туплением новых электронов за счет активации водорода. На скелетном никеле электроны черпаются в основном за счет выхода на поверхность адсорбированного водорода:



Как каталитическая активность скелетного никеля линейно зависит от содержания водорода, то катализатор дезактивируется. Наши результаты показали, что активность скелетного никеля при гидрировании циклогексана обусловлена не потенциалообразующим адсорбированным водородом. На это, между прочим, указывалось ранее [22]. Понижение скорости для больших навесок наблюдалось также для кислородных производных нитробензола [23, 24]. Авторы объясняли это явление селективностью процесса. Однако, как показали опыты с хиноном, кинетические кривые всегда соответствуют скорости гидрирования, а связаны, вследствие промотирования катализатора, с насыщением поверхности водородом. Представление об истинном механизме гидрирования может дать только совокупность данных кинетики, химического анализа и потенциометрических измерений.

Выводы

1. Изучена кинетика гидрирования бензохинона на платине, палладии, осажденном на углекислый кальций и скелетном никеле. На платине и палладии на углекислом кальции хинон гидрируется до гидрохинона (исходя из уксуснокислой среды на платине) по нулевому порядку при смещении потенциала в анодную область на 0,66—0,68 В. Смещение потенциала происходит за счет снятия с поверхности катализатора адсорбированного водорода и установления в системе окислительно-восстановительно-потенциала системы хинон — гидрохинон. После гидрирования хинона катализатор вновь становится водородным электродом. На скелетном никеле хинон гидрируется до циклогександиола.
2. Кажущаяся энергия активации гидрирования хинона на платине и палладии, осажденном на углекислом кальции, составляет 1—2 ккал/моль. Гидрирование хинона при высоком анодном потенциале катализатора большой энергией активации объясняется на основании данных химического анализа, кинетики и кривой заряжения с точки зрения электронного механизма. Изученные катализаторы выступают при гидрировании хинона, с одной стороны, как доноры электронов, а с другой стороны, как акцепторы электронов (активация водорода).
3. Найдено, что активность платины и палладия на углекислом кальции не снижается при повторном гидрировании хинона, в отличие от скелетного никеля, активность которого определяется количеством сорбированного в нем водорода. Особенности гидрирования хинона на скелетном никеле связаны с неустойчивостью и слабой воспроизводимостью сорбированного никелем водорода. Скорость десорбции водорода избытком хинона на скелетном никеле значительно превышает адсорбцию его из газовой фазы, в отличие от платины и палладия на углекислом кальции.

ЛИТЕРАТУРА

1. Н. М. Попова и Д. В. Сокольский, Тр. Ин-та хим. наук, т. II, 1952, Изд-во АН КазССР.
2. V. L. Trampton, V. D. Edwards, J. Amer. Chem. Soc., 73, 141, 1951.
3. Adams, R. Shriner, J. Amer. Chem. Soc., 45, 1071, 1925.
4. Л. Х. Фрейдлин, А. А. Баландин и К. Г. Руднева, Докл. АН СССР, 105, 1, 96, 1955.
5. Л. Х. Фрейдлин и Н. И. Зимина. Изв. АН СССР, 1953.
6. H. A. Smith, A. V. Schadwell, S. S. Kirsliis, J. Phys. Chem., 59, 820, 1955.
7. Л. В. Писаржевский, Электрон в химии. Избранные труды, Изд. АН УССР, Киев, 1956.
8. G. Rienäcker, N. Hansen, Z. anorgan. Chem., 284, 162, 1956.
9. G. Rienäcker, Abhandl. Dtsch. Akad. Wiss., No. 3, Berlin, 1955.
10. G.-M. Schwab, Angew. Chem., 67, 433, 1955.
11. D. D. Eley, Z. Elektrochem., 60, 797, 1956.
12. N. Stackelberg, P. Weber, Z. Elektrochem., 56, 806, 1952.
13. Г. Паркс и Г. Хаффман, Свободные энергии органических соединений, ОНТИ, 1936, стр. 137.
14. V. Simon, L. Lipka, Сборник чехословацких химических работ, 2, 327, 1956.
15. К. Миз, Теория фотографического процесса, Гостехтеоретиздат, М., 1949, стр. 19.
16. А. Ремик, Электронные представления в органической химии, ИИЛ, 1950, стр. 265.
17. М. И. Боброва, Ж. физ. химии, 26, 827, 1952.
18. В. В. Ипатьев, М. И. Левина и А. И. Карлблом, Успехи химии, 8, 4, 48, 1939.
19. Д. В. Сокольский, Вестн. АН КазССР, № 11, 1954.
20. Д. В. Сокольский и Н. М. Попова, Вестн. АН КазССР, № 1, 1955.
21. А. И. Красильщиков и А. Г. Антропов, Докл. АН СССР, 141, 2, 1953.
22. С. З. Рогинский, Проблемы кинетики и катализа, 8, 110, 1955.
23. Д. В. Сокольский, Вестн. АН КазССР, № 11, 1951.
24. Д. В. Сокольский и В. П. Шмоница, Докл. АН СССР, СХХV, 4, 1954.
25. В. П. Шмоница, Уч. зап. Казахск. ун-та, 2, 2, 1952.

THE MECHANISM OF HYDROGENATION OF BENZOQUINONE ON SKELETON NICKEL, PLATINUM, AND ON PALLADIUM CARRIED BY CALCIUM CARBONATE

N. M. Popova and D. V. Sokolsky (Alma-Ata)

Summary

Investigated was the hydrogenation of benzoquinone on various catalysts (platinum, skeleton nickel, and palladium carried by calcium carbonate) with a view to throw light on the stability of contacts and on the mechanism of this reaction. It has been discovered that the surrounding medium and temperature have a definite effect on the rate and order of the process. As is shown, the activity of platinum or palladium carried by calcium carbonate is not reduced in quinone hydrogenation, whereas the activity of skeleton nickel goes down as a result of depromotion. It has been found that the activity of a partially depromoted skeleton nickel is dependent on the amount of hydrogen sorbed in it. The mechanism of reaction is discussed by the authors in the light of the donor-acceptor theory of catalysis.

ВЛИЯНИЕ ДОБАВОК БРОМИСТОГО КАЛИЯ НА МЕХАНИЗМ КАТАЛИТИЧЕСКОГО ГИДРИРОВАНИЯ НЕКОТОРЫХ ОРГАНИЧЕСКИХ СОЕДИНЕНИЙ

Д. В. Сокольский и Г. Д. Закумбаева

Вопрос о влиянии добавок нейтральных электролитов на механизм каталитического гидрирования до сих пор мало изучен. Только в последнее время появились работы Эрдей-Груза и Циммера [1], а также Мията и Сино [2] по влиянию добавок галогенидов металлов на скорость и селективность гидрирования. Для выяснения вопроса о влиянии добавок нейтральных электролитов на процесс каталитического гидрирования

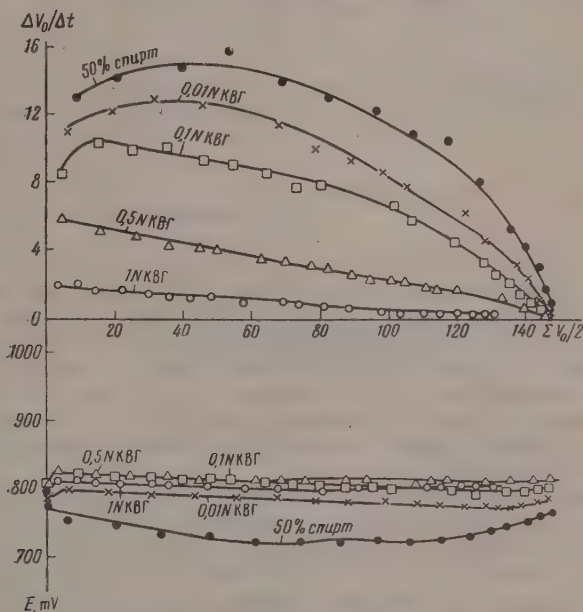


Рис. 1. Влияние бромистого калия на гидрирование циклогексена при 20° на «скелетном» никеле (0,3 г)

необходимо изучение механизма влияния добавок на строение двойного слоя и на соотношение концентрации реагирующих веществ на каталитической поверхности. Разработанный Д. В. Сокольским и В. А. Друзь [3] потенциометрический метод дает возможность таких исследований на поверхности порошкообразных катализаторов в присутствии добавок солей.

В качестве добавки был взят бромистый калий, так как исследования Н. Фрумкина [4] показали, что анион Br^- влияет на процессы восстановления на $Pt - H_2$ электроде. Исследования проводились на катализаторе «скелетный» никель — 0,3 г. В качестве объектов исследования были взя-

ты: циклогексен, аллиловый спирт, окись мезитила и *n*-нитрофенол. Исследования проводились в 50 %-ном этиловом спирте и в растворах 0,1 N, 0,01 N, 0,001 N бромистого калия в 50 %-ном спирте при 20, 30, 40°.

Непределённого вещества для каждого опыта бралось такое количество, чтобы на гидрирование шло 150 мл водорода при нормальных условиях (Н.Т.Д.). Воспроизводимость опытов хорошая.

На рис. 1 представлены кинетические и потенциальные кривые, полученные при гидрировании циклогексена при 20°. Из кривых видно,

Таблица 1

Гидрирование циклогексена на
«скелетном» никеле (0,3 г)

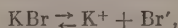
Концентрация в 50%-ном C ₂ H ₅ OH	t, °C	Константа скорости ги- дрирования (k) *	E ₀ , кал/моль
0	20	0,40	3600
0	30	0,50	
0,01 N	20	0,38	6500
0,01 N	30	0,55	
0,1 N	20	0,31	8100
0,1 N	30	0,50	
0,5 N	20	0,18	8400
0,5 N	30	0,30	
1 N	20	0,117	9300
1 N	30	0,20	

* k — тангенс угла наклона кинетической кривой.

Известно, что ион брома обладает большой адсорбционной способностью, как было показано А. Н. Фрумкин [4], хорошо адсорбируется на электродах металл-водородной природы. Поэтому мы полагаем, что анион брома адсорбируется на поверхности катализаторов, образуя пленку. Возникает дополнительный потенциальный барьер, который необходимо преодолеть циклогексену, чтобы вступить в реакцию.

Расчет энергии активации реакции в отсутствие бромистого калия показывает, что лимитирующей стадией гидрирования является активация циклогексена [5] (табл. 1).

С увеличением концентрации бромистого калия энергия активации гидрирования циклогексена растет и достигает 9300 кал/моль, т. е. гидрирование циклогексена все более затрудняется. Расчет показал, что самой малой концентрации (0,01 N KBr) достаточно для образования бимолекулярного слоя. Если предположить, что происходит полная диссоциация:



то в растворе 40 мл 0,01 N KBr может образоваться бимолекулярный слой анионов Br' на каталитической поверхности.

По-видимому, при больших концентрациях бромистого калия образуется полимолекулярный слой анионов Br' на поверхности катализатора, который сильно тормозит реакцию.

Далее изучалось гидрирование аллилового спирта, адсорбционная способность которого значительно больше, чем у циклогексена.

На рис. 2 и 3 представлены кинетические и потенциальные кривые гидрирования аллилового спирта при 20 и 30°.

Из рис. 3 видно, что при гидрировании аллилового спирта наблюдается большой сдвиг потенциала в анодную область, который в от-

с увеличением концентрации бромистого калия скорость гидрирования циклогексена падает. При больших концентрациях KBr реакция смешанная, а в 0,5 и 1 N KBr гидрирование циклогексена идет по первому порядку. Потенциальные кривые помогают понять, почему происходит. Если в 50 %-ном этиловом спирте потенциал в течение реакции падает до 90 mV от обратимого водородного, и только в конце гидрирования наблюдается сдвиг в анодную область, то в присутствии KBr гидрирование циклогексена идет почти при обратимом водородном потенциале, особенно, в области больших концентраций KBr.

Таким образом адсорбция циклогексена на каталитической поверхности в присутствии добавок уменьшается, и скорость гидрирования падает.

ие бромистого калия достигает при 30° — 430 мВ (при 20° $\Delta E = 150$ мВ). По-видимому, с повышением температуры связь водорода с поверхностью катализатора становится слабее, водород снимается и вытесняется аллиловым спиртом. Известно, что 0,30 г Ni-Ренея содержит около 1 мл водорода. При этом после поглощения 100 мл водорода из газовой

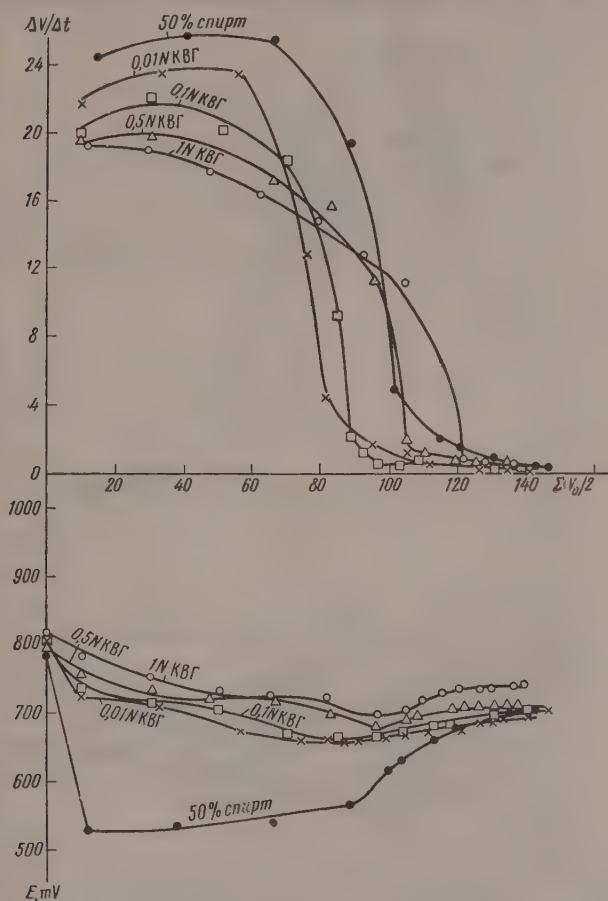


Рис. 2. Влияние бромистого калия на гидрирование [аллилового спирта при 20° на «скелетном» никеле (0,3 г)

ы аллиловый спирт оказывается почти полностью гидрированным, и в бнейшем с гораздо меньшей скоростью идет насыщение катализатора ородом, что сопровождается быстрым сдвигом потенциала в катодную асть.

Как видно из потенциальных кривых рис. 2, в присутствии бромисто- калия гидрирование проходит при более отрицательных потенциалах, в отсутствие солей. В то же время, как видно из кинетических кри- (рис. 3), с увеличением концентрации бромистого калия скорость лощения водорода из газовой фазы падает сравнительно мало, зато фак- еская скорость гидрирования уменьшается более резко, вследствие ышнения гидрирования аллилового спирта водородом, адсорбирован- м катализатором.

Так, например, при гидрировании аллилового спирта при 20° в 50%-ном рте максимальная скорость поглощения водорода из газовой фазы

27 мл с падением потенциала на 180 мВ, в то время как в растворе 1 N бромистого калия аллиловый спирт поглощает 20 мл водорода из газовой фазы при падении потенциала на 50 мВ. Как видно из потенциальных кривых рис. 2, 3, потенциал до насыщения катализатора водородом не достигает первоначального значения. По-видимому, это связано с необратимой адсорбцией продукта реакции на каталитической поверхности; соот-

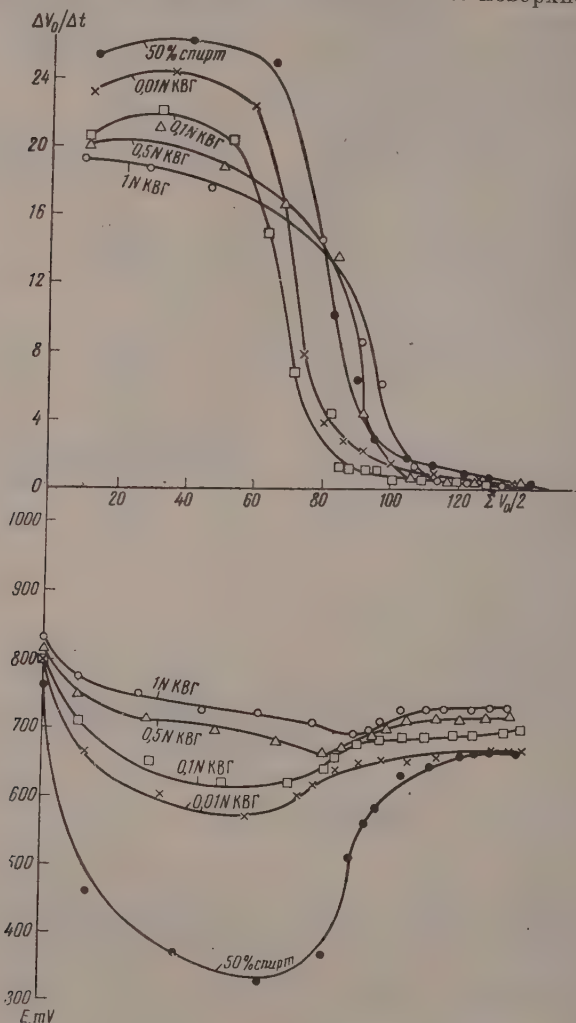


Рис. 3. Влияние бромистого калия на гидрирование аллилового спирта при 30° на «скелетном» никеле (0,3 г)

ственно количество водорода, ушедшего на гидрирование, немного меньше теоретически рассчитанного количества (150 мл).

При сравнении рис. 1 с рис. 3, т. е. кривых гидрирования циклогексана и аллилового спирта, видно, что в случае гидрирования аллилового спирта влияние бромистого калия оказывается меньше, чем для циклогексана: во-первых, скорость гидрирования аллилового спирта не так резко падает; во-вторых, аллиловый спирт в гораздо большей степени адсорбируется, снимая и вытесняя водород с каталитической поверхности, что видно

потенциальных кривых. Очевидно, природа гидрируемого соединения влияет на скорость проникновения через адсорбционную пленку ионов Br^- . На рис. 4 представлены кинетические и потенциальные кривые гидрирования окиси мезитила при 20° . Как видно из кинетических кривых, при внесении небольших добавок (0,01 и 0,1 N) KBr скорость гидрирования идет по сравнению со скоростью гидрирования в 50%-ном этиловом

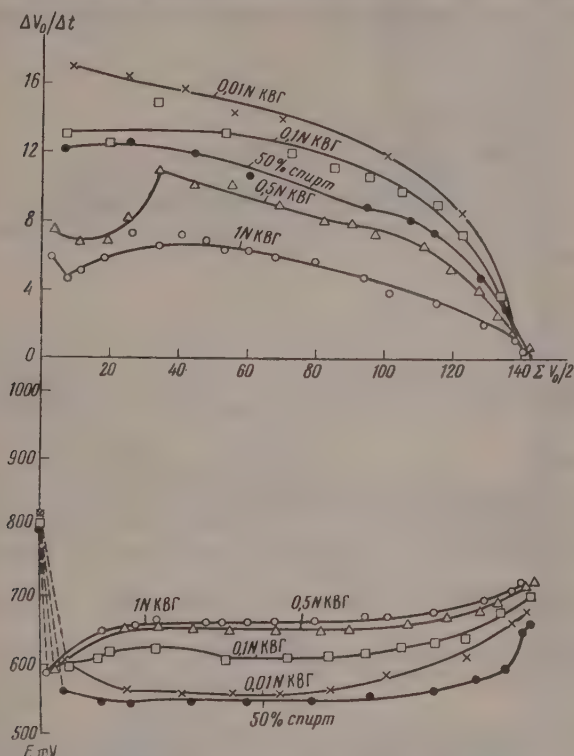


Рис. 4. Влияние бромистого калия на гидрирование окиси мезитила при 20° на «скелетном» никеле (0,3 г)

рете, т. е. небольшие добавки бромистого калия оказывают положительный эффект на реакцию гидрирования окиси мезитила. Наибольшая скорость наблюдается в 0,01 N KBr , а в 0,1 N KBr скорость гидрирования несколько меньше.

По-видимому, ускорение реакции связано со строением окиси мезитила. Известно, [6] что ненасыщенные кетоны, имеющие сопряженную двойную и карбонильную связь, представляют собой диполь, положительным концом которого является углерод при двойной связи, а отрицательным — карбонильный кислород. При наличии адсорбированного Br^- молекула окиси мезитила может подойти к поверхности катализатора только $-\text{C}=\text{C}-$ связью, так как отрицательная группа $\text{C}=\text{O}$ будет отталкиваться.

Двойная связь $-\text{C}=\text{C}-$ в этом случае будет гидрироваться с большей скоростью, так как карбонильная группа, обладающая большой адсорбционной способностью, но гидрирующаяся очень медленно (0,2—0,3 мл/мин.) не будет задерживать реакцию гидрирования. Анализ продукта гидрирования на содержание группы $\text{C}=\text{O}$ показал, что в 50%-ном этаноле без добавок реакция гидрирования идет селективно, а в присутствии бромистого калия карбонильная группа совсем не гидрируется.

С другой стороны, адсорбция анионов брома ослабляет связь водородом с поверхностью катализатора [4]. В присутствии добавок КВг обратный водородный потенциал катализатора достигается в несколько раз быстрее, чем в 50%-ном спирте без добавок. По-видимому, это связано с адсорбцией Br^- .

В растворе 0,5 и 1 N КВг скорость гидрирования окиси мезитила падает. В то же время потенциальные кривые сдвинуты в катодную область.

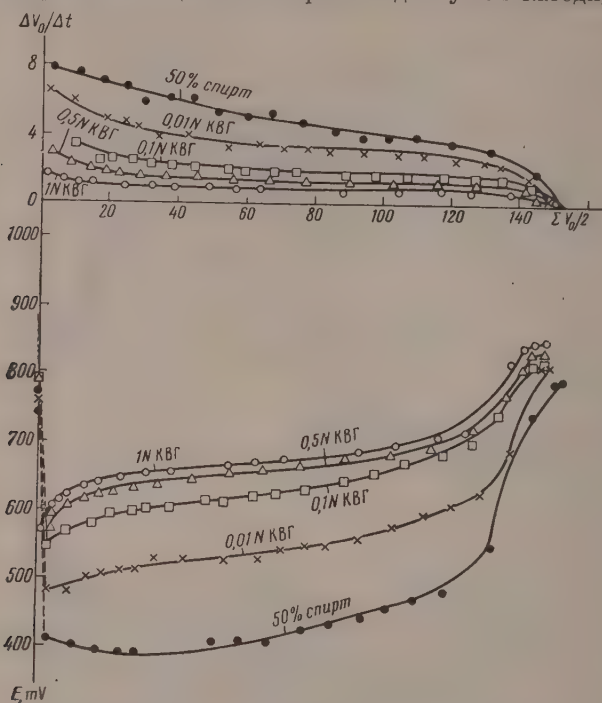


Рис. 5. Влияние бромистого калия на гидрирование *p*-нитрофенола при 20° на «скелетном» никеле (0,3 г)

на 100 мВ относительно потенциальной кривой гидрирования в 50%-ном спирте без добавок, что говорит об уменьшении адсорбции окиси мезитила на каталитической поверхности. Очевидно, в присутствии больших концентраций бромистого калия образуются полимолекулярные, плотные слои анионов Br^- , и проникновение молекулы окиси мезитила к катализатору затрудняется. Подсчет энергии активации показал, что реакция гидрирования лимитируется активацией окиси мезитила (табл. 2).

На рис. 5 приведены кинетические и потенциальные кривые гидрирования *p*-нитрофенола при 20°. Как видно из кинетических кривых, скорость гидрирования *p*-нитрофенола с увеличением концентрации бромистого калия резко падает. Наряду с этим реакция протекает при гораздо более отрицательных потенциалах, т. е. в присутствии КВг адсорбция *p*-нитрофенола на поверхности катализатора уменьшается довольно сильно. По-видимому, снижение скорости гидрирования в присутствии бромистого калия, связанное с уменьшением количества адсорбированного *p*-нитрофенола, объясняется образованием адсорбционной пленки анионов Br^- . Известно также [7], что *p*-нитрофенол представляет собой диполь и восстанавливаемая NO_2 -группа несет большой отрицательный заряд (5,2 D), поэтому проникновение NO_2 -группы к поверхности катализатора еще более затруднено.

Как показал А. Н. Фрумкин [4], адсорбция посторонних анионов, не имеющих видимого участия в реакции, в первую очередь задерживает

Таблица 2

Гидрирование окиси мезитила на «скелетном» никеле

Концентрация КВг в 50%-ном спирте	$t, ^\circ\text{C}$	Константа скорости гид- рирования (k)	$E, \text{кал/моль}$
0	20	0,31	5000
0	30	0,4	
0,01 N	20	0,35	3600
0,01 N	30	0,43	
0,1 N	20	0,33	5600
0,1 N	30	0,46	
0,5 N	20	0,30	5100
0,5 N	30	0,40	
1 N	20	0,30	5100
1 N	30	0,40	

ряд одноименно заряженных ионов на электродах. В связи с этим можно предполагать, что чем больше отрицательный дипольный момент гидрируемого соединения, тем хуже оно будет гидрироваться в присутствии аниона Br' .

Выводы

1. Адсорбция аниона брома на поверхности катализатора затрудняет каталитическое гидрирование.
2. Гидрируемые вещества по величине адсорбции можно расположить в ряд:
циклогексен < аллиловый спирт < окись мезитила < *n*-нитрофенол
3. В присутствии КВг изменяется соотношение реагирующих веществ на каталитической поверхности, что влечет за собой изменение энергии активации.
4. Адсорбция аниона Br' приводит к увеличению селективности гидрирования окиси мезитила вследствие ориентации диполя.

Академия наук КазССР

ЛИТЕРАТУРА

- Рудей-Груз и Циммер, РЖХим., 1957, 11, 37217.
 Росино и Мията, РЖХим., 1956, 23, 74840.
 В. Сокольский и В. А. Друзь. Ж. физ. химии, 26, 364, 1952.
 Н. Фрумкин, Успехи химии, 24, 8, 933, 1955; 4, 988, 1935.
 В. Сокольский, Вестн. АН КазССР, 8, 91, 1954.
 Я. Бунэ, Диссертация, 1953.
 К. Сыркин и М. Е. Дяткина, Химическая связь и строение молекул, 1946, стр. 263.
 А. Лошкарёв и А. А. Крюкова, Ж. физ. химии, 26, 5, 1952.

THE EFFECT OF POTASSIUM BROMIDE ADMIXTURES ON THE MECHANISM OF HYDROGENATION OF ORGANIC COMPOUNDS

D. V. Sokolsky and G. D. Zakumbaeva (Alma-Ata)

Summary

Investigated was the effect of potassium bromide on the rate of reaction and the cathode potential in the process of hydrogenation of cyclohexene, allyl alcohol, and mesityl oxide on skeleton nickel in the 50 per cent ethanol. It has been found that the adsorption of the bromine anion on the catalytic surface changes the ratio of the reactants on this surface with a result that the rate of hydrogenation undergoes a change.

НЕСТАЦИОНАРНЫЕ ЭЛЕКТРОДНЫЕ ПРОЦЕССЫ В ПЕРЕМЕШИВАЕМЫХ СРЕДАХ

1. ВОЛЬТАМПЕРОМЕТРИЯ ПРИ ПОСТОЯННОМ ПОТЕНЦИАЛЕ

Ю. Г. Сивер

Нестационарные электродные процессы являются объектом исследования как в вольтамперометрии при постоянном потенциале, так и в вольтамперометрии при постоянном токе.

Основной задачей вольтамперометрии при постоянном потенциале является, как известно, нахождение зависимости силы тока, протекающего через ячейку, от времени электролиза при постоянном потенциале polarizable электрода.

Для случая неподвижных растворов такая задача решена как для обратимых, так и необратимых процессов (работы А. И. Соколова [1], Сутека [2], Делахей [3] и др.). Для случая перемешиваемых сред получены лишь некоторые решения для обратимых процессов, справедливые в весьма ограниченной области [4, 5]. Ниже будут приведены не содержащие таких ограничений решения для случаев обратимых и необратимых процессов, а также для более общего случая, когда степень обратимости электродной реакции может быть любой. Решение дано в предположении, что а) в растворе имеется большой избыток индифферентного электролита; б) диффузия является линейной.

Общий случай. Для реакции первого порядка выражение плотности тока (i) можно написать в следующем виде:

$$i = nFk_{\text{ок}}^0 e^{-\frac{\alpha nF}{RT} \varphi} c_{\text{ок}}(0, t) - nFk_{\text{в}}^0 e^{\frac{(1-\alpha)nF}{RT} \varphi} c_{\text{в}}(0, t),$$

где $c_{\text{ок}}(0, t)$ и $c_{\text{в}}(0, t)$, соответственно — концентрации исходного и конечного продуктов реакции у поверхности электрода, $k_{\text{ок}}^0$ и $k_{\text{в}}^0$ — константы скорости прямой и обратной реакций, φ — потенциал электрода, α — коэффициент переноса, n — число электронов, участвующих в реакции, F — число Фарадея.

Величины $c_{\text{ок}}(0, t)$ и $c_{\text{в}}(0, t)$, зависящие от условий подачи вещества и характера кинетики реакции, можно строго определить, если написать выражения для истинного распределения концентраций в растворе — $c_{\text{ок}}(x, t)$ и $c_{\text{в}}(x, t)$ путем решения следующей краевой задачи, основанной на использовании принципов гидродинамики. Так, для ламинарного режима течения жидкости уравнения конвективной диффузии имеют вид:

$$\begin{aligned} \frac{\partial c_{\text{ок}}}{\partial t} &= D_{\text{ок}} \frac{\partial^2 c_{\text{ок}}}{\partial x^2} - v_x(x) \frac{\partial c_{\text{ок}}}{\partial x}; \\ \frac{\partial c_{\text{в}}}{\partial t} &= D_{\text{в}} \frac{\partial^2 c_{\text{в}}}{\partial x^2} - v_x(x) \frac{\partial c_{\text{в}}}{\partial x}. \end{aligned}$$

Начальными и граничными условиями, так же, как и в случае неподвижных сред, служат

$$\begin{aligned} \text{а) } c_{\text{ок}}(x, 0) &= c_{\text{ок}}^0, & \text{б) } c_{\text{в}}(x, 0) &= 0; \\ \text{а) } c_{\text{ок}}(x \rightarrow \infty, t) &= c_{\text{ок}}^0, & \text{б) } c_{\text{в}}(x \rightarrow \infty, t) &= 0; \end{aligned}$$

$$D_{\text{ок}} \left(\frac{\partial c_{\text{ок}}}{\partial x} \right)_{x=0} + D_{\text{в}} \left(\frac{\partial c_{\text{в}}}{\partial x} \right)_{x=0} = 0; \quad (6)$$

$$D_{\text{ок}} \left(\frac{\partial c_{\text{ок}}}{\partial x} \right)_{x=0} = k_{\text{ок}} c_{\text{ок}}(0, t) - k_{\text{в}} c_{\text{в}}(0, t), \quad (7)$$

$D_{\text{ок}}$ и $D_{\text{в}}$ — коэффициенты диффузии, соответственно, для окисленного и восстановленного вещества, $v_x(x)$ — скорость течения жидкости вдоль x , перпендикулярной к поверхности электрода, $c_{\text{ок}}^0$ — концентрация одного вещества в объеме раствора, $k_{\text{ок}}$ и $k_{\text{в}}$ — константы скорости реакции, определяемые следующими соотношениями:

$$k_{\text{ок}} = k_{\text{ок}}^0 e^{-\frac{\alpha n F}{RT} \varphi}, \quad (8)$$

$$k_{\text{в}} = k_{\text{в}}^0 e^{\frac{(1-\alpha) n F}{RT} \varphi}. \quad (9)$$

Однако, в связи с тем, что решение краевой задачи (2) — (7) наталкивается на весьма большие трудности, значения $c_{\text{ок}}(0, t)$ и $c_{\text{в}}(0, t)$ будут определены из выражений для $c_{\text{ок}}(x, t)$ и $c_{\text{в}}(x, t)$, найденных путем решения другой краевой задачи, основанной на использовании представления о диффузионном слое. А именно, в качестве исходных дифференциальных уравнений, вместо уравнений (2) и (3), мы возьмем уравнения:

$$\frac{\partial c_{\text{ок}}}{\partial t} = D_{\text{ок}} \frac{\partial^2 c_{\text{ок}}}{\partial x^2}, \quad 0 \leq x \leq \delta_{\text{ок}}; \quad (10)$$

$$\frac{\partial c_{\text{в}}}{\partial t} = D_{\text{в}} \frac{\partial^2 c_{\text{в}}}{\partial x^2}, \quad 0 \leq x \leq \delta_{\text{в}}; \quad (11)$$

а вместо граничных условий (5,а) и (5,б) напомним

$$\text{а) } c_{\text{ок}}(\delta_{\text{ок}}, t) = c_{\text{ок}}^0; \quad \text{б) } c_{\text{в}}(\delta_{\text{в}}, t) = 0, \quad (12)$$

$\delta_{\text{ок}}$ и $\delta_{\text{в}}$ — толщины диффузионных слоев для окисленного и восстановленного вещества. Остальные краевые условия в этой задаче [в дальнейшем называемой задачей (10) — (12)], те же, что и в задаче (2) — (7). Таким образом выражения для $c_{\text{ок}}(x, t)$ и $c_{\text{в}}(x, t)$ мы будем искать в виде решений, удовлетворяющих дифференциальным уравнениям (10) и (11) и краевым условиям (4,а), (4,б), (6), (7), (12,а) и (12,б). В отличие от задачи (2) — (7), в которой влияние конвекции на перенос вещества учитывается конвективными членами в исходных дифференциальных уравнениях (2) и (3), в задаче (10) — (12) конвективный перенос реагирующих веществ в объеме раствора учитывается величинами $\delta_{\text{ок}}$ и $\delta_{\text{в}}$ в граничных условиях (12,а) и (12,б).

Величина δ , которая характеризует толщину обедненного или обогащенного реагирующим веществом приэлектродного слоя раствора, для данной темы, достигшей стационарного состояния, определяется, как известно, следующим соотношением:

$$\delta = D n F \frac{c^0 - c(0, t)}{i_c}, \quad t \geq t_c, \quad (13)$$

i_c — стационарная плотность тока, t_c — время установления стационарного режима.

Значения δ могут быть найдены либо теоретически — из решения стационарной задачи, либо экспериментально — по величине предельного

тока $i_{\text{пр}}$, согласно известному соотношению

$$i_{\text{пр}} = DnF \frac{c^0}{\delta}.$$

Разумеется, в общем случае нестационарного состояния величина характеризующей толщину приэлектродного слоя, в котором локализовано основное изменение концентрации, является не δ , а расстояние от поверхности электрода до движущейся границы обедненного (или обогащенного) раствора — величина переменная, зависящая от времени электролиза. Однако, в связи с тем, что представление об этом слое нами в формулировке краевой задачи не используется, рассматривать вопросы, связанные с этим представлением, здесь нет непосредственной необходимости. Тем не менее, поскольку представление о таком слое, толщину которого мы в дальнейшем будем называть расстоянием до фронта диффузии, обладает достоинством наглядности, а соотношения, основанные на использовании этого представления, во многих случаях могут оказаться полезными, они будут рассмотрены в одном из последующих разделов. Вслед за решением задачи для $i = i(t)$.

Как будет далее строго доказано, выражения для $c_{\text{ок}}(0, t)$ и $c_{\text{в}}(0, t)$ а стало быть, и выражения для плотности тока $i(t)$, найденные путем решения задачи (10)—(12), полностью совпадают для больших и малых значений времени с соответствующими выражениями, полученными из того же решения задачи (2)—(7). Следовательно, для больших и малых значений t вычисленные значения i являются точными. Что касается средних значений i , то возможная погрешность в вычисленной величине i будет количественно оценена ниже. Однако уже предварительная, качественная оценка показывает, что заведомо допускаемое при формулировке задачи (10)—(12) некоторое упрощение реальной картины распределения концентраций для области x , близких к δ (в действительности границ диффузионного слоя несколько размыты), не может привести к сколь-нибудь существенному отклонению вычисленной величины тока от ее истинного значения. Две поправки, которые необходимо было бы ввести для получения точного значения плотности тока, а именно: 1) поправку на конвективный перенос внутри самого диффузионного слоя и 2) поправку на изменение концентрации в точке $x = \delta$, во-первых, сами по себе незначительны (это следует из того факта, что распределение концентрации в диффузионном слое близко к линейному), во-вторых, имеют разные знаки. Так, введение в уравнение (10) конвективного члена $v_x(x) \frac{\partial c}{\partial x}$ привело бы к некоторому увеличению вычисленной плотности тока, а замена (11) на условие $c_{\text{ок}}(\delta_{\text{ок}}, t) = f(t) < c_{\text{ок}}^0$ должна была бы привести к уменьшению плотности тока (аналогичные рассуждения можно применить и к обратной реакции). Очевидно поэтому, что указанные поправки, сами по себе малые по величине, будут взаимно компенсировать друг друга, в результате чего суммарная погрешность должна быть весьма мала и, в частности, может полностью отсутствовать.

Краевую задачу (10)—(12) удобно решать операционным методом.

Решения уравнений (10) и (11) для изображений при начальных условиях (4, а) и (4, б) имеют вид:

$$F_{\text{ок}}(x, s) = \frac{c_{\text{ок}}^0}{s} + A_1 \operatorname{sh} \sqrt{\frac{s}{D_{\text{ок}}}} x + B_1 \operatorname{ch} \sqrt{\frac{s}{D_{\text{ок}}}} x;$$

$$F_{\text{в}}(x, s) = A_2 \operatorname{sh} \sqrt{\frac{s}{D_{\text{в}}}} x + B_2 \operatorname{ch} \sqrt{\frac{s}{D_{\text{в}}}} x.$$

Постоянные A_1 , B_1 , A_2 и B_2 находим, применяя преобразование Лапласа к граничным условиям (12, а), (12, б) (6) и (7) и решая затем систему

четырёх уравнений. В результате, для $F_{\text{ок}}(x, s)$ и $F_{\text{в}}(x, s)$ получаем следующие выражения:

$$F_{\text{ок}}(x, s) = \quad (17)$$

$$\frac{c_{\text{ок}}^0}{s} - \frac{c_{\text{ок}}^0 \operatorname{sh} \sqrt{\frac{s}{D_{\text{ок}}}} (\delta_{\text{ок}} - x)}{s \left[\frac{D_{\text{ок}}}{k_{\text{ок}}} \sqrt{\frac{s}{D_{\text{ок}}}} + \operatorname{th} \sqrt{\frac{s}{D_{\text{ок}}}} \delta_{\text{ок}} + \frac{k_{\text{в}}}{k_{\text{ок}}} \sqrt{\frac{D_{\text{ок}}}{D_{\text{в}}}} \operatorname{th} \sqrt{\frac{s}{D_{\text{в}}}} \delta_{\text{в}} \right] \operatorname{ch} \sqrt{\frac{s}{D_{\text{ок}}}} \delta_{\text{ок}}};$$

$$F_{\text{в}}(x, s) = \left[\frac{c_{\text{ок}}^0}{s} - F_{\text{ок}}(x, s) \right] \frac{D_{\text{ок}}^{1/2}}{D_{\text{в}}^{1/2}}. \quad (18)$$

Поскольку коэффициенты диффузии $D_{\text{ок}}$ и $D_{\text{в}}$ обычно мало отличаются друг от друга, то можно принять (в случае полностью необратимых процессов необходимость в таком допущении, естественно, отпадает), что

$$\frac{\delta_{\text{ок}}}{D_{\text{ок}}^{1/2}} \approx \frac{\delta_{\text{в}}}{D_{\text{в}}^{1/2}}. \quad (19)$$

В этом условии вместо (17) получаем

$$F_{\text{ок}}(x, s) = \frac{c_{\text{ок}}^0}{s} - \frac{k_{\text{ок}} c_{\text{ок}}^0 \operatorname{sh} \sqrt{\frac{s}{D_{\text{ок}}}} (\delta_{\text{ок}} - x)}{s \sqrt{D_{\text{ок}}} \left[\sqrt{s} \operatorname{ch} \sqrt{\frac{s}{D_{\text{ок}}}} \delta_{\text{ок}} + Q \operatorname{sh} \sqrt{\frac{s}{D_{\text{ок}}}} \delta_{\text{ок}} \right]}, \quad (20)$$

$$Q = \frac{k_{\text{ок}}}{D_{\text{ок}}^{1/2}} + \frac{k_{\text{в}}}{D_{\text{в}}^{1/2}}. \quad (21)$$

С помощью теоремы разложения можно показать, что изображению (20) соответствует следующий оригинал:

$$c_{\text{ок}}(x, t) = c_{\text{ок}}^0 - \frac{k_{\text{ок}} c_{\text{ок}}^0}{Q \sqrt{D_{\text{ок}}}} \left(\frac{\delta_{\text{ок}} - x}{\sqrt{D_{\text{ок}}}} + \frac{\delta_{\text{ок}} - x}{Q} \right) +$$

$$+ \frac{k_{\text{ок}} c_{\text{ок}}^0}{Q \sqrt{D_{\text{ок}}}} \sum_{n=1}^{\infty} \frac{2 \sin \beta_n \cos \beta_n \left(1 - \frac{x}{\delta_{\text{ок}}} \right)}{\sin \beta_n \cos \beta_n - \beta_n} e^{-\frac{\beta_n^2 D_{\text{ок}}}{\delta_{\text{ок}}^2} t}, \quad (22)$$

β_n — корни характеристического уравнения:

$$\operatorname{tg} \beta + \frac{D_{\text{ок}}^{1/2}}{Q \delta_{\text{ок}}} \beta = 0. \quad (23)$$

Оригиналом изображения (18) является

$$c_{\text{в}}(x, t) = [c_{\text{ок}}^0 - c_{\text{ок}}(x, t)] \frac{D_{\text{ок}}^{1/2}}{D_{\text{в}}^{1/2}}. \quad (24)$$

Для концентраций у поверхности электрода получаем

$$c_{\text{ок}}(0, t) = c_{\text{ок}}^0 - \frac{k_{\text{ок}} c_{\text{ок}}^0}{Q \sqrt{D_{\text{ок}}}} \left(\frac{1}{1 + \frac{D_{\text{ок}}^{1/2}}{Q \delta_{\text{ок}}}} \right) +$$

$$+ \frac{k_{\text{OK}} c_{\text{OK}}^0}{Q \sqrt{D_{\text{OK}}}} \sum_{n=1}^{\infty} \frac{\sin 2\beta_n}{\frac{1}{2} \sin 2\beta_n - \beta_n} e^{-\frac{\beta_n^2 D_{\text{OK}}}{\delta_{\text{OK}}^2} t} \quad (5)$$

и

$$c_{\text{B}}(0, t) = [c_{\text{OK}}^0 - c_{\text{OK}}(0, t)] \frac{D_{\text{OK}}^{1/2}}{D_{\text{B}}^{1/2}} \quad (6)$$

Из уравнений (1), (25) и (26) находим следующее выражение плотности тока

$$i = n F k_{\text{OK}} c_{\text{OK}}^0 \left[\frac{1}{1 + \frac{Q \delta_{\text{OK}}}{\sqrt{D_{\text{OK}}}}} + \sum_{n=1}^{\infty} \frac{\sin 2\beta_n}{\frac{1}{2} \sin 2\beta_n - \beta_n} e^{-\frac{\beta_n^2 D_{\text{OK}}}{\delta_{\text{OK}}^2} t} \right] \quad (7)$$

Вместо этого уравнения, неудобного для вычислений при малых значениях t и больших значениях δ_{OK} (точнее, при малых значениях безразмерной величины $D_{\text{OK}} t / \delta_{\text{OK}}^2$), можно получить два уравнения, в совокупности эквивалентных уравнению (27); одно из этих двух уравнений применимо при малых значениях $D_{\text{OK}} t / \delta_{\text{OK}}^2$, а другое — при больших значениях. В самом деле, при малых $D_{\text{OK}} t / \delta_{\text{OK}}^2$ уравнение (17) принимает вид

$$F_{\text{OK}}(x, s) = \frac{c_{\text{OK}}^0}{s} - \frac{c_{\text{OK}}^0 e^{-\sqrt{\frac{s}{D_{\text{OK}}}} x}}{\frac{D_{\text{OK}}^{1/2}}{k_{\text{OK}}} s [\sqrt{s} + Q]} \quad (8)$$

Этому изображению при $x=0$ соответствует следующий оригинал функции

$$c_{\text{OK}}(0, t) = c_{\text{OK}}^0 - \frac{k_{\text{OK}} c_{\text{OK}}^0}{Q \sqrt{D_{\text{OK}}}} [1 - e^{Qt} \operatorname{erfc}(Q \sqrt{t})] \quad (9)$$

Решая совместно уравнения (1), (26) и (29), получаем для плотности тока i при малых значениях $D_{\text{OK}} t / \delta_{\text{OK}}^2$ следующее выражение:

$$i = n F k_{\text{OK}} c_{\text{OK}}^0 e^{Qt} \operatorname{erfc}(Q \sqrt{t}) \quad (10)$$

При больших значениях $D_{\text{OK}} t / \delta_{\text{OK}}^2$ ряд в правой части уравнения (1) быстро сходится, и можно ограничиться первым членом ряда. Поэтому при больших $D_{\text{OK}} t / \delta_{\text{OK}}^2$ имеем для i

$$i = n F k_{\text{OK}} c_{\text{OK}}^0 \left[\frac{1}{1 + \frac{Q \delta_{\text{OK}}}{\sqrt{D_{\text{OK}}}}} + H e^{-\frac{\gamma^2 D_{\text{OK}}}{\delta_{\text{OK}}^2} t} \right] \quad (11)$$

где $\gamma \equiv \beta_1$, а $H = \frac{\sin 2\gamma}{\frac{1}{2} \sin 2\gamma - \gamma}$, причем при любом значении $\frac{Q \delta_{\text{OK}}}{\sqrt{D_{\text{OK}}}}$ имеем место $\pi/2 \leq \gamma \leq \pi$.

Формулой (30) можно пользоваться при $t < 0,16 \pi^2 \delta_{\text{OK}}^2 / \gamma^2 D_{\text{OK}}$ или при $\delta_{\text{OK}} > 2,5 (\gamma/\pi) \sqrt{D_{\text{OK}} t}$, а формулой (31) — при $t > 0,16 \pi^2 \delta_{\text{OK}}^2 / \gamma^2 D_{\text{OK}}$ или при $\delta_{\text{OK}} < 2,5 (\gamma/\pi) \sqrt{D_{\text{OK}} t}$.

Значения коэффициента γ , удовлетворяющие уравнению (23), удобно определять графическим путем: γ равна абсциссе точки пересечения тангенсоиды $z_1 = \operatorname{tg} \beta$ с прямой $z_2 = -(\sqrt{D_{\text{OK}}} / Q \delta_{\text{OK}}) \beta$.

В помещенной ниже таблице приведены численные значения коэффициента γ для разных значений $Q\delta_{\text{ок}}/\sqrt{D_{\text{ок}}}$.

$\frac{Q\delta_{\text{ок}}}{\sqrt{D_{\text{ок}}}}$	γ	$\frac{Q\delta_{\text{ок}}}{\sqrt{D_{\text{ок}}}}$	γ	$\frac{Q\delta_{\text{ок}}}{\sqrt{D_{\text{ок}}}}$	γ
0	1,570	1,5	2,175	20	2,992
0,1	1,632	2,0	2,289	30	3,040
0,2	1,689	3,0	2,456	40	3,065
0,3	1,741	4,0	2,570	50	3,080
0,4	1,790	5,0	2,653	60	3,090
0,5	1,837	6,0	2,716	80	3,103
0,6	1,880	7,0	2,765	100	3,110
0,7	1,920	8,0	2,804	∞	3,141
0,8	1,960	9,0	2,836		
0,9	1,995	10,0	2,863		
1,0	2,029	15,0	2,947		

Уравнение (30) полностью совпадает с соответствующими уравнениями, введенными Смутесом [2] и другими [3,6] для случая неподвижных сред. Это и следовало ожидать, поскольку при малых t или больших δ влияние перемешивания на скорость процесса можно пренебречь.

Как видно из уравнения (30), начальная плотность тока $i_{\text{н}}(t=0)$, же как и в случае неподвижной среды, равна

$$i_{\text{н}} = nFk_{\text{ок}}c_{\text{ок}}^0. \quad (32)$$

Из уравнения (31) следует, что величина $i(t)$ при $t \rightarrow \infty$ не обращается в нуль, как это имеет место в случае неподвижных сред, а принимает стационарное значение, равное

$$i(t \rightarrow \infty) = nFk_{\text{ок}}c_{\text{ок}}^0 \frac{1}{1 + \frac{Q\delta_{\text{ок}}}{\sqrt{D_{\text{ок}}}}}. \quad (33)$$

Начальная плотность тока $i_{\text{н}}$ в отличие от $i(t \rightarrow \infty)$ не зависит от скорости обратной реакции вследствие того, что в начальный момент времени концентрация конечных продуктов на поверхности электрода равна нулю.

Полностью необратимые процессы. В предельном случае полностью необратимых процессов, когда перенапряжение, соответствующее данной плотности тока, достаточно велико ($> 0,12$ В), обратной реакцией можно пренебречь, и Q равно $k_{\text{ок}}/D_{\text{ок}}^{1/2}$. В этом случае уравнения (25), (30) и (31) принимают более простой вид. Так, из (25) получаем

$$c_{\text{ок}}^{\text{необр}}(0, t) = c_{\text{ок}}^0 - \frac{c_{\text{ок}}^0}{1 + \frac{D_{\text{ок}}}{\delta_{\text{ок}}k_{\text{ок}}}} + c_{\text{ок}}^0 \sum_{n=1}^{\infty} \frac{\sin 2\beta_n}{\frac{1}{2} \sin 2\beta_n - \beta_n} e^{-\frac{\beta_n^2 D_{\text{ок}}}{\delta_{\text{ок}}^2} t}. \quad (34)$$

Для плотности тока $i_{\text{необр}}$ из (27) находим

$$i_{\text{необр}} = nFk_{\text{ок}}c_{\text{ок}}^0 \left[\frac{1}{1 + \frac{k_{\text{ок}}\delta_{\text{ок}}}{D_{\text{ок}}}} + \sum_{n=1}^{\infty} \frac{\sin 2\beta_n}{\frac{1}{2} \sin 2\beta_n - \beta_n} e^{-\frac{\beta_n^2 D_{\text{ок}}}{\delta_{\text{ок}}^2} t} \right]; \quad (35)$$

для малых t или больших δ вместо (30) имеем

$$i_{\text{необр}} = nFk_{\text{ок}}c_{\text{ок}}^0 e^{\frac{k_{\text{ок}}^2}{D_{\text{ок}}} t} \operatorname{erfc}\left(\frac{k_{\text{ок}}}{D_{\text{ок}}^{1/2}} \sqrt{t}\right), \quad (31)$$

и, наконец, для больших t или малых δ из (31) получаем

$$i_{\text{необр}} = nFk_{\text{ок}}c_{\text{ок}}^0 \left[\frac{1}{1 + \frac{k_{\text{ок}}\delta_{\text{ок}}}{D_{\text{ок}}}} + He^{-\frac{\gamma^2 D_{\text{ок}}}{\delta_{\text{ок}}^2} t} \right]. \quad (32)$$

Из уравнения (34) вытекает, что при $t \rightarrow \infty$ величина $c_{\text{ок}}^{\text{необр}}(0, t)$ определяется следующим выражением

$$c_{\text{ок}}^{\text{необр}}(0, t \rightarrow \infty) = c_{\text{ок}}^0 - c_{\text{ок}}^0 \left(\frac{1}{1 + \frac{D_{\text{ок}}}{k_{\text{ок}}\delta_{\text{ок}}}} \right). \quad (33)$$

Аналогичным образом, для $i_{\text{необр}}(t \rightarrow \infty)$ из (37) находим

$$i_{\text{необр}}(t \rightarrow \infty) = nFc_{\text{ок}}^0 \frac{1}{\frac{1}{k_{\text{ок}}} + \frac{\delta_{\text{ок}}}{D_{\text{ок}}}}. \quad (34)$$

Для величины $i(t=0)$ в случае полностью необратимых процессов очевидно, остается справедливым то же выражение, что и для общего случая, т. е. соотношение (32).

Полностью обратимые процессы. Решение для $i(t)$ в этом случае, когда электродная реакция протекает совершенно обратимо, может быть найдено, если граничное условие (7) заменить условием:

$$\frac{c_{\text{ок}}(0, t)}{c_{\text{в}}(0, t)} = \theta, \quad (35)$$

где

$$\theta = \frac{k_{\text{в}}}{k_{\text{ок}}} = e^{-\frac{nF}{RT}(\varphi_0 - \varphi)}, \quad (36)$$

φ — потенциал электрода, а φ_0 — нормальный потенциал системы ок-в.

Решение уравнений (10), (11) с граничными условиями (4), (12), (13) и (40) дает для $c_{\text{ок}}(x, t)$ следующее выражение:

$$c_{\text{ок}}(x, t) = c_{\text{ок}}^0 - \frac{c_{\text{ок}}^0}{1 + \frac{D_{\text{ок}}^{1/2}}{D_{\text{в}}^{1/2}} \theta} \left[\frac{\delta_{\text{ок}} - x}{\delta_{\text{ок}}} + \sum_{n=1}^{\infty} \frac{2}{\pi n} \sin \frac{\pi n}{\delta_{\text{ок}}} x e^{-\frac{n^2 \pi^2 D_{\text{ок}}}{\delta_{\text{ок}}^2} t} \right]. \quad (37)$$

Для плотности тока $i_{\text{обр}}$ получаем уравнение

$$i_{\text{обр}} = \frac{D_{\text{ок}} n F c_{\text{ок}}^0}{\delta_{\text{ок}} \left(1 + \frac{D_{\text{ок}}^{1/2}}{D_{\text{в}}^{1/2}} \theta \right)} \left[1 + 2 \sum_{n=1}^{\infty} e^{-\frac{n^2 \pi^2 D_{\text{ок}}}{\delta_{\text{ок}}^2} t} \right]. \quad (38)$$

и $t < 0,16 \delta_{\text{ок}}^2 / D_{\text{ок}}$ или $\delta_{\text{ок}} > 2,5 \sqrt{D_{\text{ок}} t}$ уравнение (43) переходит в уравнение:

$$i_{\text{обр}} = \frac{n F D_{\text{ок}}^{1/2} c_{\text{ок}}^0}{\left(1 + \frac{D_{\text{ок}}^{1/2}}{D_{\text{в}}^{1/2}} \theta\right) \sqrt{\pi t}}. \quad (44)$$

и $t > 0,16 \delta_{\text{ок}}^2 / D_{\text{ок}}$ или $\delta_{\text{ок}} < 2,5 \sqrt{D_{\text{ок}} t}$ можно ограничиться первым членом ряда формулы (43) и поэтому

$$i_{\text{обр}} = \frac{D_{\text{ок}} n F c_{\text{ок}}^0}{\delta_{\text{ок}} \left(1 + \frac{D_{\text{ок}}^{1/2}}{D_{\text{в}}^{1/2}} \theta\right)} \left[1 + 2e^{-\frac{\pi^2 D_{\text{ок}}}{\delta_{\text{ок}}^2} t}\right]. \quad (45)$$

и $t \rightarrow \infty$ плотность тока достигает стационарного значения $i_{\text{с}}^{\text{обр}}$

$$i_{\text{с}}^{\text{обр}} = \frac{D_{\text{ок}} n F c_{\text{ок}}^0}{\delta_{\text{ок}} \left(1 + \frac{D_{\text{ок}}^{1/2}}{D_{\text{в}}^{1/2}} \theta\right)}. \quad (46)$$

Приведенные выше соотношения были выведены для случая, когда в электролите или материале электрода растворимы не только исходные реагирующие вещества, но и конечные продукты реакции. Для случая же обратимого выделения на электроде вещества, нерастворимого в электролите или материале электрода, распределение концентраций в растворе может быть найдено путем решения следующей краевой задачи

$$\frac{\partial c_{\text{ок}}}{\partial t} = D_{\text{ок}} \frac{\partial^2 c_{\text{ок}}}{\partial x^2}; \quad 0 \leq x \leq \delta_{\text{ок}}; \quad (47)$$

$$c_{\text{ок}}(x, 0) = c_{\text{ок}}^0; \quad (48)$$

$$c_{\text{ок}}(\delta_{\text{ок}}, t) = c_{\text{ок}}^0; \quad (49)$$

$$c_{\text{ок}}(0, t) = c_{\text{ок}}^0 \sigma, \quad (50)$$

$$\sigma = e^{-\frac{nF}{RT}(\varphi_r - \varphi)}, \quad (51)$$

φ_r — равновесный потенциал системы.

В результате решения этой задачи получаем для $c_{\text{ок}}(x, t)$ следующее выражение:

$$c_{\text{ок}}(x, t) = c_{\text{ок}}^0 \sigma + c_{\text{ок}}^0 \frac{x}{\delta_{\text{ок}}} (1 - \sigma) + c_{\text{ок}}^0 \left(1 - \sigma\right) \sum_{n=1}^{\infty} \frac{2}{\pi n} \sin \frac{n\pi}{\delta_{\text{ок}}} x e^{-\frac{n^2 \pi^2 D_{\text{ок}}}{\delta_{\text{ок}}^2} t}, \quad (52)$$

куда

$$\left(\frac{\partial c_{\text{ок}}}{\partial x}\right)_{x=0} = (1 - \sigma) \frac{c_{\text{ок}}^0}{\delta_{\text{ок}}} \left(1 + 2 \sum_{n=1}^{\infty} e^{-\frac{n^2 \pi^2 D_{\text{ок}}}{\delta_{\text{ок}}^2} t}\right). \quad (53)$$

Этому для плотности тока $i_{\text{обр}}$ имеем

$$i_{\text{обр}} = D_{\text{ок}} n F \frac{c_{\text{ок}}^0}{\delta_{\text{ок}}} (1 - \sigma) \left(1 + 2 \sum_{n=1}^{\infty} e^{-\frac{n^2 \pi^2 D_{\text{ок}}}{\delta_{\text{ок}}^2} t}\right). \quad (54)$$

Можно показать, что для малых t и больших δ уравнение (54) принимает следующий вид

$$i_{\text{обр}} = \frac{nFD_{\text{ок}}^{1/2}c_{\text{ок}}^0}{\sqrt{\pi t}}(1-\sigma), \quad (3)$$

и для больших t и малых δ

$$i_{\text{обр}} = \frac{D_{\text{ок}}nFc_{\text{ок}}^0}{\delta_{\text{ок}}}(1-\sigma) \left[1 + 2e^{-\frac{\pi^2 D_{\text{ок}}}{\delta_{\text{ок}}^2} t} \right]. \quad (5)$$

В частном случае, когда $\varphi \rightarrow \infty$ и, следовательно, $\sigma \rightarrow 0$ уравнение (5) так же как и уравнение (45) при $\theta \rightarrow 0$ становится тождественным уравнению (12) работы [5].

Стационарная задача. Краевая задача (2) — (7) может быть без особых затруднений решена, если ее сформулировать применительно к частному случаю стационарного состояния. Решение такой задачи представляет очевидный интерес в связи с тем, что выражения для $c_{\text{ок}}(x)$, $c_{\text{в}}(x)$, найденные в результате этого решения, дают истинные значения концентраций реагирующих веществ в любой точке раствора. Поэтому сопоставление значений $c_{\text{ок}}(0)$ и $c_{\text{в}}(0)$, полученных из указанных выражений для $c_{\text{ок}}(x)$ и $c_{\text{в}}(x)$ с величинами $c_{\text{ок}}(0, t \rightarrow \infty)$ и $c_{\text{в}}(0, t \rightarrow \infty)$ найденными путем решения задачи (10) — (12), позволяет судить о степени точности величин $c_{\text{ок}}(0, t \rightarrow \infty)$ и $c_{\text{в}}(0, t \rightarrow \infty)$, а следовательно и стационарной плотности тока $i(t \rightarrow \infty)$. Решение задачи (2) — (7) для стационарного случая представляет интерес еще и потому, что в результате решения этой задачи можно найти выражения, позволяющие теоретически вычислять толщину диффузионного слоя δ .

Как известно, задачи стационарной линейной конвективной диффузии фактически рассматривались В. Г. Левичем в связи с отысканием величины предельного тока к вращающемуся диску. Однако рассмотренные им задачи относятся лишь к двум предельным случаям: полностью обратимых полностью необратимых процессов. Задача, рассматриваемая ниже, относится к более общему случаю реакции с любой степенью обратимости.

Для случая стационарного состояния крайняя задача (2) — (7) принимает следующий вид:

$$D_{\text{ок}} \frac{d^2 c_{\text{ок}}}{dx^2} = v_x(x) \frac{dc_{\text{ок}}}{dx}; \quad (5)$$

$$D_{\text{в}} \frac{d^2 c_{\text{в}}}{dx^2} = v_x(x) \frac{dc_{\text{в}}}{dx}; \quad (5)$$

$$\text{а) } c_{\text{ок}}(x \rightarrow \infty) = c_{\text{ок}}^0, \quad \text{б) } c_{\text{в}}(x \rightarrow \infty) = 0; \quad (5)$$

$$D_{\text{ок}} \left(\frac{dc_{\text{ок}}}{dx} \right)_{x=0} + D_{\text{в}} \left(\frac{dc_{\text{в}}}{dx} \right)_{x=0} = 0; \quad (6)$$

$$D_{\text{ок}} \left(\frac{dc_{\text{ок}}}{dx} \right)_{x=0} = k_{\text{ок}} c_{\text{ок}}(0) - k_{\text{в}} c_{\text{в}}(0). \quad (6)$$

Интегрируя уравнения (57) и (58), получаем

$$\frac{dc_{\text{ок}}}{dx} = A_{\text{ок}} e^{\frac{1}{D_{\text{ок}}} \int_0^x v_x(z) dz}; \quad (6)$$

$$\frac{dc_{\text{в}}}{dx} = A_{\text{в}} e^{\frac{1}{D_{\text{в}}} \int_0^x v_x(z) dz}, \quad (6)$$

в результате интегрирования уравнений (62) и (63) находим

$$c_{\text{ок}}(x) = A_{\text{ок}} \int_0^x \frac{1}{D_{\text{ок}}} \int_0^u v_x(z) dz du + B_{\text{ок}}; \quad (64)$$

$$c_{\text{в}}(x) = A_{\text{в}} \int_0^x \frac{1}{D_{\text{в}}} \int_0^u v_x(z) dz du + B_{\text{в}}. \quad (65)$$

Из уравнений (62), (63), (64) и (65) непосредственно следует:

$$\left(\frac{dc_{\text{ок}}}{dx} \right)_{x=0} = A_{\text{ок}}; \quad (66)$$

$$\left(\frac{dc_{\text{в}}}{dx} \right)_{x=0} = A_{\text{в}}; \quad (67)$$

$$c_{\text{ок}}(0) = B_{\text{ок}}; \quad (68)$$

$$c_{\text{в}}(0) = B_{\text{в}}. \quad (69)$$

Постоянные $A_{\text{ок}}$, $B_{\text{ок}}$, $A_{\text{в}}$, $B_{\text{в}}$ определяются из граничных условий (60), (59, а) и (59, б).

Из условия (61) получаем

$$D_{\text{ок}} A_{\text{ок}} = k_{\text{ок}} B_{\text{ок}} - k_{\text{в}} B_{\text{в}}. \quad (70)$$

Из граничного условия (60) и соотношений (66) и (67) имеем

$$D_{\text{ок}} A_{\text{ок}} + D_{\text{в}} A_{\text{в}} = 0. \quad (71)$$

Наконец, используя граничные условия (59, а), (59, б) и соотношения (13), получаем, соответственно:

$$c_{\text{ок}}^0 = A_{\text{ок}} \delta_{\text{ок}} + B_{\text{ок}}; \quad (72)$$

$$0 = A_{\text{в}} \delta_{\text{в}} + B_{\text{в}}, \quad (73)$$

$\delta_{\text{ок}}$ и $\delta_{\text{в}}$ — толщины диффузионных слоев, определяемые следующими соотношениями:

$$\delta_{\text{ок}} = \int_0^{\infty} \exp \left\{ -\frac{1}{D_{\text{ок}}} \int_0^u v_x(z) dz \right\} du; \quad (74)$$

$$\delta_{\text{в}} = \int_0^{\infty} \exp \left\{ -\frac{1}{D_{\text{в}}} \int_0^u v_x(z) dz \right\} du. \quad (75)$$

Комбинируя уравнения (70), (71), (72) и (73) и учитывая значения $A_{\text{в}}$ и $B_{\text{в}}$ из (68) и (69), находим

$$c_{\text{ок}}(0) = c_{\text{ок}}^0 - \frac{k_{\text{ок}} c_{\text{ок}}^0 \delta_{\text{ок}}}{D_{\text{ок}} \left(1 + \frac{k_{\text{ок}} \delta_{\text{ок}}}{D_{\text{ок}}} + \frac{k_{\text{в}} \delta_{\text{в}}}{D_{\text{в}}} \right)}; \quad (76)$$

$$c_{\text{в}}(0) = [c_{\text{ок}}^0 - c_{\text{ок}}(0)] \frac{\delta_{\text{в}} D_{\text{ок}}}{\delta_{\text{ок}} D_{\text{в}}}. \quad (77)$$

Подобным образом, решая совместно уравнения (70), (74), (72) и (7) относительно A_{OK} и используя соотношение (66), получаем для $\left(\frac{dC_{\text{OK}}}{dx}\right)_{x=0}$

$$\left(\frac{dC_{\text{OK}}}{dx}\right)_{x=0} = \frac{k_{\text{OK}}c_{\text{OK}}^0}{D_{\text{OK}}\left(1 + \frac{k_{\text{OK}}\delta_{\text{OK}}}{D_{\text{OK}}} + \frac{k_{\text{B}}\delta_{\text{B}}}{D_{\text{B}}}\right)}. \quad (7)$$

Следовательно, для стационарной плотности тока i_c можно написать

$$i_c = \frac{nFk_{\text{OK}}c_{\text{OK}}^0}{1 + \frac{k_{\text{OK}}\delta_{\text{OK}}}{D_{\text{OK}}} + \frac{k_{\text{B}}\delta_{\text{B}}}{D_{\text{B}}}}. \quad (7)$$

Если учесть использованное нами при решении нестационарной задачи соотношение (19), то нетрудно видеть, что выражения (76), (77) и (79) для $c_{\text{OK}}(0)$, $c_{\text{B}}(0)$ и i_c полностью совпадают с соответствующими выражениями (25), (26) и (33) для $c_{\text{OK}}(0, t \rightarrow \infty)$, $c_{\text{B}}(0, t \rightarrow \infty)$ и $i(t \rightarrow \infty)$. Поскольку уравнения (76), (77) и (79) являются точными, то из этого совпадения следует, что решения нестационарной задачи (10) — (12) для достаточно больших t также являются точными и, следовательно, погрешность в величине тока, вычисленной по уравнению (27) для больших значений t , равна нулю.

В предельном случае полностью необратимых процессов, когда членами, содержащими k_{B} , можно пренебречь, уравнение (76) принимает вид

$$c_{\text{OK}}^{\text{необр}} = c_{\text{OK}}^0 - \frac{c_{\text{OK}}^0}{1 + \frac{k_{\text{OK}}\delta_{\text{OK}}}{D_{\text{OK}}}}. \quad (8)$$

С уравнением (80) полностью совпадает уравнение (38), полученное из решения нестационарной задачи для $t \rightarrow \infty$. Кроме того, легко заметить, что уравнение (38) полностью совпадает также с уравнением (12) работы [4] В. Г. Левича, выведенным непосредственно для случая стационарных полностью необратимых процессов на дисковом электроде.

Из приведенных выше уравнений (74) и (75) видно, что величины δ_{OK} и δ_{B} не зависят от характера кинетики реакции; в рассматриваемых нами случаях линейной диффузии характер кинетики реакции полностью учитывается величиной $c_{\text{OK}}(0)$, что для полностью необратимых реакций уже ранее было показано В. Г. Левичем.

Если в уравнение (79) подставить величину $i_{\text{пр}}$ из (14) и значения k_{OK} и k_{B} из следующих соотношений

$$k_{\text{OK}} = k_c \exp \left\{ \frac{\alpha n F}{RT} (\varphi_0 - \varphi) \right\}; \quad (9)$$

$$k_{\text{B}} = k_c \exp \left\{ - \frac{(1 - \alpha) n F}{RT} (\varphi_0 - \varphi) \right\}, \quad (10)$$

то после простых преобразований можно получить следующее выражение для зависимости между плотностью тока и потенциалом электрода, справедливое при любой степени обратимости реакции

$$\frac{i_{\text{пр}} - i}{i} = \frac{D_{\text{OK}}\delta_{\text{B}}}{D_{\text{B}}\delta_{\text{OK}}} e^{-\frac{nF}{RT}(\varphi_0 - \varphi)} + \frac{D_{\text{OK}}}{\delta_{\text{OK}}k_c} e^{-\frac{\alpha n F}{RT}(\varphi_0 - \varphi)}, \quad (11)$$

где k_c — константа скорости реакции.

Из уравнения (83) можно без труда получить известные выражения для двух предельных случаев: совершенно обратимых и полностью необратимых процессов.

Так, при достаточно малых значениях $D_{\text{ок}}/\delta_{\text{ок}} k_c$, когда второй член правой части уравнения (83) мал по сравнению с первым, им можно пренебречь, и уравнение (83) переходит в следующее, хорошо известное выражение для случая обратимых процессов:

$$\varphi = \varphi_0 + \frac{RT}{nF} \ln \frac{D_{\text{в}} \delta_{\text{ок}}}{D_{\text{ок}} \delta_{\text{в}}} + \frac{RT}{nF} \ln \left(\frac{i_{\text{пр}} - i}{i} \right). \quad (84)$$

При больших значениях $D_{\text{ок}}/\delta_{\text{ок}} k_c$ в условиях, когда первым членом уравнения можно пренебречь, уравнение (83) принимает вид следующего, уже известного выражения для случая полностью необратимых процессов

$$\varphi = \varphi_0 + \frac{RT}{\alpha n F} \ln \frac{k_c \delta_{\text{ок}}}{D_{\text{ок}}} + \frac{RT}{\alpha n F} \ln \left(\frac{i_{\text{пр}} - i}{i} \right). \quad (85)$$

Как и при ламинарном режиме течения жидкости справедливо соотношение

$$\frac{\delta_{\text{ок}}}{D_{\text{ок}}^{1/2}} = \frac{\delta_{\text{в}}}{D_{\text{в}}^{1/2}}, \quad (86)$$

уравнение (83) можно переписать в следующем виде:

$$\begin{aligned} \frac{i_{\text{пр}} - i}{i} = & \left(\frac{D_{\text{ок}}}{D_{\text{в}}} \right)^{1/2} \exp \left\{ - \frac{nF}{RT} (\varphi_0 - \varphi) \right\} + \\ & + \frac{D_{\text{ок}}}{\delta_{\text{ок}} k_c} \exp \left\{ - \frac{\alpha n F}{RT} (\varphi_0 - \varphi) \right\}. \end{aligned} \quad (87)$$

Аналогичным образом может быть преобразовано и уравнение (84) для обратимых процессов.

Некоторые общие соотношения и экспериментальное определение величин δ и k . Значения $\delta_{\text{ок}}$ и $\delta_{\text{в}}$, которыми необходимо располагать для вычисления величин $i = i(t)$ и $i_c = i_c(\varphi)$, будут найдены при помощи уравнений (74) и (75), если известно распределение скоростей движения жидкости вдоль оси, перпендикулярной к поверхности электрода $v_x = v_x(x)$. Однако во многих практических встречающихся случаях произвести такой теоретический расчет не представляется возможным, и величину δ приходится определять экспериментально. Обычно экспериментальное определение δ производится путем измерения величины предельного тока и последующего вычисления значения δ при помощи уравнения (14).

Определить значения δ из экспериментальных данных можно также прибегая к измерению величины δ . Так, в случае обратимых реакций определение δ может быть произведено на основании соотношения (46); для этого достаточно измерить стационарное значение плотности тока $i_{\text{пр}}$ при известном значении потенциала электрода.

Нетрудно показать, что для необратимых процессов также могут быть найдены общие соотношения, которые, подобно уравнению (46), пригодны для вычисления величины δ из данных, доступных непосредственному измерению. Комбинируя уравнения (32), (39) и (14), находим для полностью необратимых процессов следующее простое соотношение

$$\frac{1}{i_c} - \frac{1}{i_{\text{в}}} = \frac{1}{i_{\text{пр}}}. \quad (88)$$

Таким образом для определения $i_{\text{пр}}$, а следовательно и величины δ в этом случае необходимо найти величины начальной и стационарной плотностей тока при данном значении электродного потенциала.

Для общего случая реакций с любой степенью обратимости соответствующее соотношение может быть получено в результате совместного решения уравнений (14), (32), (79) и (86):

$$\varphi = \varphi_0 + \frac{RT}{nF} \ln \left(\frac{D_{\text{в}}}{D_{\text{ок}}} \right)^{2/3} + \frac{RT}{nF} \ln \left(\frac{i_{\text{пр}}}{i_{\text{с}}} - \frac{i_{\text{пр}}}{i_{\text{н}}} - 1 \right). \quad (87)$$

Из уравнения (89) видно, что в общем случае реакции с любой степенью обратимости для определения величины $i_{\text{пр}}$ достаточно измерить величины стационарной и начальной плотностей тока при известном значении потенциала электрода.

Соотношения (88) и (89), очевидно, могут представить интерес не только для вычисления δ , но и для определения других величин, входящих в эти уравнения, например, для определения начальной плотности тока $i_{\text{н}}$, а следовательно, и константы скорости реакций.

К р и т е р и й о б р а т и м о с т и. Анализ показывает, что плотность тока i , вычисленная по общей формуле (27), фактически становится равной $i_{\text{обр}}$ при

$$QVt \text{th} \sqrt{\frac{\delta^2}{Dt}} \gg 1. \quad (90)$$

Поэтому соотношение (90) можно рассматривать, как критерий обратимости для общего случая нестационарных процессов, протекающих в перемешиваемых средах.

В частном случае стационарного состояния, когда $t \rightarrow \infty$, условие (90) принимает вид

$$\frac{Q\delta}{\sqrt{D}} \gg 1. \quad (91)$$

Как видно из соотношений (8), (9) и (21), величина Q является функцией потенциала электрода. Поскольку для $\alpha = 0,5$ Q проходит через минимум [7] при $\varphi = \varphi_0$, то, учитывая соотношения (81) и (82), критерий обратимости для стационарных процессов в случае $D_{\text{ок}} \approx D_{\text{в}}$ можно написать в следующем виде

$$\frac{k_{\text{с}}\delta}{D} \gg 0,5. \quad (92)$$

При выполнении условия (92) скорости прямой и обратной реакции становятся настолько большими, что суммарная скорость процесса определяется не скоростью электродной реакции, а скоростью подачи вещества к электроду.

Р а с с т о я н и е д о ф р о н т а д и ф ф у з и и. Как уже говорилось, величиной, характеризующей толщину приэлектродного слоя, в котором локализовано основное изменение концентрации в случае нестационарных процессов, является расстояние до фронта диффузии. Эта величина, которую мы обозначим через χ , может быть определена, аналогично тому, как определяется величина δ , при помощи следующего соотношения

$$\chi = DnF \frac{c^0 - c(0, t)}{i(t)}. \quad (93)$$

Причем, так как $i(t \rightarrow \infty) = i_{\text{с}}$ и $c(0, t \rightarrow \infty) = c(0)$, то, очевидно, можно написать

$$\lim_{t \rightarrow \infty} \chi(t) = \delta. \quad (94)$$

В явном виде зависимость χ от t , а также связь между величинами δ могут быть получены при помощи приведенных выше соотношений $i(t)$ и $c(0, t)$. Так, для случая обратимых процессов из уравнений (93), (43) получаем

$$\chi_{\text{ок}} = \frac{\delta_{\text{ок}}}{1 + L_{\text{обр}}(t)}, \quad (95)$$

$$L_{\text{обр}} = 2 \sum_{n=1}^{\infty} e^{-\frac{n^2 \pi^2 D_{\text{ок}}}{\delta_{\text{ок}}^2} t}.$$

Для полностью необратимых процессов, решая совместно уравнения (34) и (35), находим

$$\chi_{\text{ок}} = \frac{\delta_{\text{ок}} + \frac{D_{\text{ок}}}{k_{\text{ок}}}}{1 + L_{\text{необр}}(t)} - \frac{D_{\text{ок}}}{k_{\text{ок}}}, \quad (96)$$

где $L_{\text{необр}}$ имеет вид:

$$L_{\text{необр}} = \left(1 + \frac{k_{\text{ок}} \delta_{\text{ок}}}{D_{\text{ок}}}\right) \sum_{n=1}^{\infty} \frac{\sin 2\beta_n}{\frac{1}{2} \sin 2\beta_n - \beta_n} e^{-\frac{\beta_n^2 D_{\text{ок}}}{\delta_{\text{ок}}^2} t}.$$

В более общем случае реакций с любой степенью обратимости выражение для χ принимает вид

$$\chi_{\text{ок}} = \frac{\delta_{\text{ок}} + \frac{D_{\text{ок}}^{1/2}}{Q}}{1 + L(t)} - \frac{D_{\text{ок}}^{1/2}}{Q}, \quad (97)$$

$$L = \left(1 + \frac{Q \delta_{\text{ок}}}{\sqrt{D_{\text{ок}}}}\right) \sum_{n=1}^{\infty} \frac{\sin 2\beta_n}{\frac{1}{2} \sin 2\beta_n - \beta_n} e^{-\frac{\beta_n^2 D_{\text{ок}}}{\delta_{\text{ок}}^2} t}.$$

Выражения для $L(t)$, а стало быть и для χ , могут быть существенно упрощены, если использовать в качестве выражений для $i(t)$ и $c_{\text{ок}}(0, t)$ соотношения, выведенные выше применительно к случаям больших и малых значений Dt/δ^2 .

Следует отметить, что, в отличие от величины δ , которая в условиях линейной диффузии не зависит от характера кинетики реакции, величина χ называется зависящей от скорости электродной реакции, а следовательно, и от потенциала электрода. Лишь в частном случае полностью обратимых процессов χ не зависит от потенциала электрода.

Оценка погрешности. В заключение произведем оценку возможной погрешности в вычисленной при помощи полученных нами уравнений величине $i(t)$. Обозначим суммарную ошибку в величине тока через $\Delta i(t)$. Из приведенных выше соображений следует, что

$$\Delta i(t) = |A(t)| - |B(t)|,$$

$A(t)$ — ошибка, связанная с заменой граничного условия: $c_{\text{ок}}(\delta_{\text{ок}}, t) = c_{\text{ок}}^0(t)$, где $f(t) < c_{\text{ок}}^0$ при $t > 0$ условием (12, а), $B(t)$ — ошибка, вызванная отсутствием конвективного члена в уравнении (10).

Из сделанного выше сопоставления уравнения (33) с уравнением (79), а также уравнения (38) с уравнением (12,5) работы [4] следует, что $\Delta i(\infty) = 0$. Отсюда $|A(\infty)| = |B(\infty)|$. Величина $|A(\infty)|$ равна $DnF(c^0 -$

$-c^*)/\delta$ где c^* — стационарная концентрация раствора в точке $x =$ поэтому $|B(\infty)|$, очевидно, также равно $DnF(c^0 - c^*)/\delta$.

Так как величины $A(t)$ и $B(t)$ являются монотонно, то можно написать

$$|A(0)| < |A(t)| < |A(\infty)| \text{ и } |B(0)| < |B(t)| < |B(\infty)|.$$

Наконец, учитывая, что $A(0)$ и $B(0)$ равны нулю, получаем

$$0 < |A(t)| < DnF \frac{c^0 - c^*}{\delta} \text{ и } 0 < |B(t)| < DnF \frac{c^0 - c^*}{\delta}.$$

Поскольку c^* мало отличается от c^0 , то величина $DnF \frac{c^0 - c^*}{\delta}$, а следовательно, и величины $|A(t)|$ и $|B(t)|$ невелики. Величина погрешности $\Delta i(t)$, равная $|A(t)| - |B(t)|$, должна быть поэтому весьма мала и, в частности, может быть равна нулю.

Справедливость приведенной оценки погрешности подтверждают имеющиеся в литературе опытными данными; во всех случаях, для которых вычисленные значения тока сопоставлялись с экспериментальными между указанными значениями наблюдалось хорошее согласие при всех значениях t . Таким образом погрешность в вычисленной величине тока либо равна нулю, либо, во всяком случае, лежит в пределах обычных ошибок измерений.

Выводы

1. Рассмотрены нестационарные задачи для электродных процессов протекающих в перемешиваемых средах. Задачи рассмотрены для случаев обратимых и полностью необратимых процессов, а также для общего случая, когда степень обратимости реакции может быть любой.

2. Получены уравнения зависимости плотности тока от времени электролиза при постоянном потенциале электрода.

3. Найдены соотношения, связывающие величины предельной, стационарной и начальной плотностей тока для реакции с любой степенью обратимости.

4. Выведено соотношение, являющееся критерием обратимости процессов, протекающих в перемешиваемых средах.

5. Выведены соотношения для величины, характеризующей в общем случае нестационарных процессов толщину обедненного реагирующего веществом приэлектродного слоя раствора.

Всесоюзный научно-исследовательский
институт источников тока

Поступила
8.IV.1958

ЛИТЕРАТУРА

1. А. И. Соколов, Тр. О-ва любит. естествозн. 3, 22, 1890.
2. K. Smutek, Chem. Listy, 45, 241, 1951.
3. P. Delahay, J. Amer. Chem. Soc., 75, 1430, 1953.
4. В. Г. Левич, Физ.-хим. гидродинамика. Изд-во АН СССР, 1952.
5. А. В. Городыский и Ю. К. Делимарский, Докл. АН СССР, 1261, 1957.
6. T. Kambara, S. Tachi, Bull. Chem. Soc. Japan, 25, 135, 1952.
7. И. Делакс, Новые приборы и методы в электрохимии, III, 1, 1957.

UNSTEADY ELECTRODE PROCESSES IN STIRRED MEDIA

I. G. Siver (Moscow)

Summary

Considered in the present paper are unsteady electrode processes at a constant potential in stirred media. Equations describing the dependence of current on the duration of electrolysis for reversible, partially reversible, and completely irreversible processes have been obtained. Ratios describing the relation between the values of the initial, steady, and limit current densities for irreversible processes have been found. A ratio serving as the criterion of reversibility for reactions taking place in stirred media has also been obtained.

ВЛИЯНИЕ АНГАРМОНИЧНОСТИ КОЛЕБАНИЙ ИОНОВ
НА ПОВЕРХНОСТНОЕ НАТЯЖЕНИЕ МЕТАЛЛОВ

С. Н. Задумкин

При высоких температурах $T > \theta_D$ начинает играть важную роль ангармоничность тепловых колебаний частиц. Как известно, многие свойства твердых тел обусловлены именно этим обстоятельством. Например, понижение (в сторону возрастания) величины теплоемкости от ее классического значения, тепловое расширение и тепловое сопротивление кристаллов и т. п. объясняются асимметрией межатомных сил. Как показывают произведенные нами приближенные расчеты, ангармоничность колебаний ионов также влияет заметным образом и на температурную зависимость поверхностного натяжения металлов.

Ангармоничность колебаний ионов и коэффициент расширения металла. Связь теплового коэффициента линейного расширения кристалла α_p с первым коэффициентом ангармоничности колебаний частиц β была найдена в [1—4]. Ниже мы примем один из возможных выводов формулы для нахождения связи α_p . Разложим потенциальную энергию взаимодействия ионов и электронов в ряд Тейлора по степеням отклонения ζ от положения равновесия $r = a$

$$U(r) = U(a) + \zeta \left(\frac{dU}{dr} \right)_{r=a} + \frac{\zeta^2}{2} \left(\frac{d^2U}{dr^2} \right)_{r=a} + \frac{\zeta^3}{3!} \left(\frac{d^3U}{dr^3} \right)_{r=a} + \dots, \quad (1)$$

$r = a + \zeta$, a — полупериод металлической решетки. Так как в положении равновесия $(dU/dr) = 0$, то

$$U(r) = U(a) + \frac{\zeta^2}{2} \left(\frac{d^2U}{dr^2} \right)_{r=a} + \frac{\zeta^3}{3!} \left(\frac{d^3U}{dr^3} \right)_{r=a} + \dots, \quad (2)$$

потенциальная энергия колебаний иона будет

$$\Delta U \equiv U(r) - U(a) = \frac{\zeta^2}{2} \left(\frac{d^2U}{dr^2} \right)_{r=a} + \frac{\zeta^3}{3!} \left(\frac{d^3U}{dr^3} \right)_{r=a} + \dots \quad (3)$$

Следовательно, с точностью до членов третьего порядка малости относительно ζ энергию колебаний ангармонического осциллятора можно разложить через смещение ζ следующей формулой

$$E(\zeta) = \frac{p^2}{2m} + \frac{\alpha \zeta^2}{2} - \frac{\beta \zeta^3}{3}, \quad (4)$$

$\alpha = (d^2U/dr^2)_{r=a}$ — коэффициент квазиупругой силы, $\beta = -1/2 (d^3U/dr^3)_{r=a}$ — первый коэффициент ангармоничности, p — импульс. Уравнение колебаний ангармонического осциллятора будет

$$\ddot{\zeta} + \omega^2 \zeta = \gamma \zeta^2, \quad (5)$$

где $\omega^2 = \alpha/m$ и $\gamma = \beta/m$.

Уравнение (5) является нелинейным уравнением ввиду того, что в нем содержится малый член с ζ^2 .

Решая это уравнение методом последовательных приближений (в первом приближении член с ζ^2 отбрасывается) и ограничиваясь вторым приближением, получим

$$\zeta \equiv \zeta^{(1)} + \zeta^{(2)} = A \cos(\omega t + \delta) + \frac{\gamma A^2}{6\omega^2} \cos(2\omega t + 2\delta) + \frac{\gamma A^2}{2\omega^2},$$

где A — амплитуда первого, гармонического, приближения. Из (6) найдем среднюю величину смещения $\bar{\zeta}$ ангармонического осциллятора положения равновесия

$$\bar{\zeta} = \frac{\gamma}{2\omega^2} \overline{A^2}.$$

Так как при высоких температурах $T > \theta_D$ в первом приближении средняя энергия линейного гармонического осциллятора $\alpha \overline{A^2}/2 = kT$, то

$$\bar{\zeta} = \frac{\gamma}{\alpha \omega^2} kT.$$

Деля обе части выражения (8) на αT , будем иметь

$$\alpha_p = \frac{k\gamma}{\alpha \omega^2 a} = \frac{k\beta}{a \alpha^2}.$$

Формула (9) показывает, что коэффициент теплового расширения α_p висит линейно от величины первого коэффициента ангармоничности тепловых колебаний частиц твердого тела.

Статистическая сумма и свободная энергия ангармонического осциллятора. Для вычисления свободной энергии F_v ангармонического осциллятора найдем статистическую сумму Z состояний в квазиклассическом приближении, оправдываемом при высоких температурах, когда ангармоничность колебаний только и имеет существенное значение.

Как известно [5], классическим аналогом суммы по состояниям является интеграл по всем координатам и импульсам, который в рассматриваемом случае представляет собой произведение интегралов, каждый из которых относится только к одному осциллятору:

$$Z = \prod_{i=1}^{3N} \frac{1}{h} \int_{-\infty}^{+\infty} \int_{-\infty}^{+\infty} \exp[-E_i(\zeta)/kT] dp_i d\zeta_i, \quad (10)$$

где $E_i(\zeta)$ определяется формулой (4).

Так как в выражении (4) член третьего порядка относительно ζ мал, то, очевидно, в (10) можно $\exp[\beta \zeta^3/3kT]$ разложить в ряд; после этого будем иметь

$$Z = \prod_{i=1}^{3N} \frac{1}{h} \int_{-\infty}^{+\infty} \int_{-\infty}^{+\infty} \exp\left[-\frac{1}{2kT} \left(\frac{p_i^2}{m} + m\omega_i^2 \zeta_i^2\right)\right] \times \\ \times \left\{1 + \frac{\beta \zeta_i^3}{3kT} + \frac{1}{2} \left(\frac{\beta \zeta_i^3}{3kT}\right)^2 + \dots\right\} dp_i d\zeta_i. \quad (11)$$

Ограничиваясь при вычислении Z только квадратичным членом относительно $1/T$, т. е. членом шестого порядка относительно ζ , получим

$$Z = \left[\frac{kT}{\hbar \omega} (1 + gT) \right]^{3N}, \quad (12)$$

где $g = 5k\beta^2/6m^3\omega^6$, или, ввиду того что $\beta = \frac{\alpha_p \alpha a}{k}$ и $\alpha = m\omega^2$, имеем

$$g = \frac{5}{6} \frac{m}{k} (\alpha_p \omega a)^2. \quad (13)$$

основании известной формулы:

$$F = -kT \ln Z \quad (14)$$

формулы (12) для статистической суммы совокупности трехмерных гармонических осцилляторов, находим выражение для свободной энергии одной колеблющейся частицы твердого тела при $kT \gg \hbar\omega$:

$$F_v = -3kT \ln \frac{kT}{\hbar\omega} - 3gkT^2 \left(1 + \frac{1}{2} gT\right) + E_0. \quad (15)$$

E_0 — свободная энергия при $T = 0$ на один атом металла. Пренебрегаем членом, квадратичным относительно g , окончательно полу-

$$F_v = -3kT \ln \frac{kT}{\hbar\omega} - 3gkT^2 + E_0. \quad (16)$$

Поверхностное натяжение металла при учете ангармоничности колебаний ионов. Коэффициент поверхностного натяжения σ согласно [6] определяется избыточной свободной энергией ницы поверхности металла на границе с вакуумом

$$\sigma = n_s (F_s - F_v), \quad (17)$$

n_s — число частиц на единице поверхности металла; F_v и F_s — свободная энергия одной частицы внутри и на поверхности металла.

Свободную энергию F_s колебаний иона на поверхности металла мы считываем так же, как в [6], поэтому

$$F_s = \frac{F_v}{f_{kv}} f_{ks} + \frac{2F'_v}{f_{kv}} \Delta f. \quad (18)$$

Здесь f_{kv} — координационное число внутри объема положительного иона относительно электрона (или наоборот) согласно принятой в [7] полярной модели металла, f_{ks} — координационное число иона относительно электрона (или наоборот) на плоской сетке, Δf — число недостающих связей противоположного знака у частицы на поверхности металла, F'_v — свободная энергия колебаний, которую имел бы ион внутри металла, если бы его средняя частота колебаний равнялась $\omega' = \omega / \sqrt{2}$. При $\hbar\omega' \gg kT$

$$F'_v = -3kT \ln \frac{kT}{\hbar\omega'} - 3g'kT^2 + E'_0. \quad (19)$$

Подставляя (16) и (19) в (18) и последнее в (17), получим

$$\sigma = -n_s \frac{\Delta f}{f_{kv}} [3kT \ln 2 + 6kT^2 (g' - g) - 2(E'_0 - E_0)]. \quad (20)$$

Постоянную $g' - g$ можно приближенно оценить следующим образом. Грюнвальд [14] показал, что между коэффициентом теплового расширения одноатомных кристаллов и их теплотой сублимации L_0 при $T = 0$ существует соотношение:

$$\alpha_p = \frac{\text{const}}{L_0} \cdot C_v, \quad (21)$$

где C_v — молярная теплоемкость.

Следовательно,

$$\alpha'_p = \frac{\text{const}}{L'_0} C_v,$$

$$\alpha'_p / \alpha_p = L_0 / L'_0,$$

так как при $T \gg \theta_D$ для всех металлов $C_v \approx 6$ кал/моль · град. Считая, как в [7], $L'_0 = L_0/2$, имеем

$$\alpha'_p / \alpha_p = 2. \quad (1)$$

Из (13) находим

$$g' - g = \frac{5}{6} \frac{m}{k} a^2 (\alpha_p'^2 \omega'^2 - \alpha_p^2 \omega^2) = \frac{5}{6} \frac{m}{k} (\alpha_p \omega a)^2 \left[\left(\frac{\alpha_p' \omega'}{\alpha_p \omega} \right) - 1 \right]$$

или, если принять во внимание (20) и $\omega' / \omega = 1 / \sqrt{2}$, получим

$$g' - g = \frac{5}{6} \frac{m}{k} (\alpha_p \omega a)^2. \quad (2)$$

Подставляя (23) в (20), получим

$$\sigma = -n_s \frac{\Delta f}{f_{kv}} [3kT \ln 2 + 5m (\alpha_p \omega a T)^2 - 2(E'_0 - E_0)]. \quad (3)$$

Полагая среднюю частоту колебаний частиц равной

$$\bar{\omega}^2 = \frac{\int_0^{\omega_{\max}} \omega^2 d\Omega}{\int_0^{\omega_{\max}} d\Omega},$$

где $d\Omega = BV\omega^2 d\omega$ — число колебаний в интервале частот ω , $\omega + \omega$, находим

$$\bar{\omega}^2 = \frac{3}{5} \left(\frac{k}{\hbar} \theta_D \right)^2. \quad (4)$$

Подставляя значение $\bar{\omega}^2$ в формулу (24) и принимая во внимание, согласно [7], $E'_0 - E_0 = L_0/2$, будем иметь:

$$\sigma = -\bar{n}_s \frac{\Delta f}{f_{kv}} \left[3kT \ln 2 + 3m \left(\frac{k}{\hbar} \alpha_p a \theta_D T \right)^2 - L_0 \right]. \quad (5)$$

Из этой формулы, пренебрегая зависимостью $\Delta f / f_{kv}$ от температуры, получим

$$\frac{d\sigma}{dT} = -n_s \frac{\Delta f}{f_{kv}} \left[3k \ln 2 + 6mT \left(\frac{k}{\hbar} \alpha_p a \theta_D \right)^2 \right] - 2\alpha_p \sigma. \quad (6)$$

Если принять во внимание естественную шероховатость кристаллической грани, то, как было показано в [7], формулу (27) и (28) следует записать в виде

$$\sigma = -\bar{n}_s \frac{\Delta f}{f_{kv}} \left[3kT \ln 2 + 3m \left(\frac{k}{\hbar} \alpha_p a \theta_D \cdot T \right)^2 - L_0 \right], \quad (7)$$

$$\frac{d\sigma}{dT} = -\bar{n}_s \frac{\Delta f}{f_{kv}} \left[3k \ln 2 + 6mT \left(\frac{k}{\hbar} \alpha_p a \theta_D \right)^2 \right] - 2\alpha_p \sigma, \quad (8)$$

где \bar{n}_s — среднее число частиц на единице поверхности металла, $\Delta f / f_{kv}$ — средние значения относительного числа недостающих соседей против ложного знака для частицы на поверхности металла. Например, для грани [001] кубической гранецентрированной решетки, согласно [7]

$$\bar{n}_s = 0,924n_{(001)} \quad \text{и} \quad \Delta f / f_{kv} = 0,201.$$

Как показывают формулы (29) и (30), ангармоничность колебаний ионов влияет на поверхностное натяжение двояким образом: во-первых, через изменение энергии колебаний иона и, во-вторых, посредством убыли при расширении кристалла. Необходимо, однако, отметить, что в связи с рядом сделанных нами упрощающих предположений при выводе гармонического члена, квадратичного относительно температуры в формуле (29) и соответствующего члена в (30), эти формулы позволяют ориентировочно оценить вклад ангармоничности тепловых колебаний частиц в величину поверхностного натяжения и его температурную зависимость.

В таблице мы приводим численную оценку отдельных членов в формулах (29) и (30) для некоторых металлов гранецентрированной кубической решетки. В таблице A, B, C и a, b, c обозначают соответственно первый, второй и третий члены в формулах (29) и (30).

Экспериментальные значения L_0 мы заимствуем из [8], а также для из [9], коэффициенты расширения взяты из [10], дебаевские температуры — из [11]. Опытные данные по поверхностному натяжению металлов навязаны из [12], как наиболее достоверные.

Металл	Т, °К	эрг·см ⁻²					эрг·см ⁻² град ⁻¹				
		A	B	C	$\sigma_{\text{выч.}}$	$\sigma_{\text{эксп.}}$	a	b	c	$\left(\frac{d\sigma}{dT}\right)_{\text{выч.}}$	$\left(\frac{d\sigma}{dT}\right)_{\text{эксп.}}$
Ag	1243	-74	-19	972	879	923	-0,059	-0,08	-0,031	-0,12	-0,13
Au	1473	-85	-17	1180	1078	1100	-0,058	-0,023	-0,030	-0,11	-0,10
Pb	623	-25	-7,5	495	462	453	-0,040	-0,024	-0,036	-0,10	-0,096

Как видно из таблицы, вклад ангармоничности колебаний в $d\sigma/dT$ является весьма существенным и составляет для Ag и Au почти 50%, а для Pb около 60%.

Следует заметить, что для Ag и Au эти данные являются несколько завышенными, так как из-за отсутствия опытных значений коэффициентов расширения в жидком состоянии для этих металлов, мы пользовались их значениями в твердом виде при 20° С.

В заключение укажем, что из формулы (27) следует $d^2\sigma/dT^2 < 0$, что вполне согласуется с данными экспериментальных измерений [13].

Выводы

1. Предложен простой вывод формулы, устанавливающей связь теплового коэффициента расширения металла с первым коэффициентом ангармоничности колебаний ионов.
2. Показано, что ангармоничность колебаний ионов металла при $T \gg \theta_D$ существенным образом влияет на температурную зависимость поверхностного натяжения металлов, причем этот эффект для Ag, Au и Pb составляет около 50—60% от $\frac{d\sigma}{dT}$.

Кабардино-Балкарский государственный
университет
Нальчик

Поступила
15.IV.1957

ЛИТЕРАТУРА

- Я. И. Френкель, Введение в теорию металлов, 1948.
Э. Ферми, Молекулы и кристаллы, 1947.
В. Л. Шмарц, Ж. эксперим. теор. физ. 27, 62, 1954.
Т. А. Канторова, Ж. техн. физики, 26, в. 9, 1956.
Дж. Майер, М. Гепперт-Майер, Статистическая механика, Изд-во, 1952.

6. С. Н. Задумкин, Докл. АН СССР, **101**, 507, 1955.
7. С. Н. Задумкин, Докл. АН СССР, **112**, 543, 1957.
8. E. Rabinowitsch, E. Thilo, Z. phys. Chem., **6**, 298, 1930.
9. Справочник химика, т. II, Изд-во, 1951.
10. H. M. Schadel, C. E. Birchall, J. Metals, **188**, 1134, 1950.
11. Ф. Зейтц, Современная теория твердого тела, Изд-во, 1949.
12. Л. Л. Кунин, Поверхностные явления в металлах, Изд-во, 1955.
13. П. П. Пугачевич, П. П. Алтынов, Докл. АН СССР, **86**, 1952.
14. E. Grüneisen, Verhandl. Dtsch., phys. Gess., **14**, 6, 322, 1912.

THE EFFECT OF THE NON-HARMONIC NATURE OF ION VIBRATIONS ON THE SURFACE TENSION OF METALS

S. N. Zadumkin (Moscow)

Summary

A simple formula is suggested which describes the relation between the coefficient of thermal expansion of metals and the first coefficient allowing for the non-harmonic nature of ion vibrations. It is shown that the non-harmonic nature of the vibrations of metal ions at $T \gg \theta_D$ exerts a considerable effect upon the variation of the surface tension of metals with temperature, this effect for Ag, Au, and Pb being equal to 50—60 per cent of $\frac{d\sigma}{dT}$.

ИЗМЕРЕНИЯ ПОТЕНЦИАЛОВ МЕТАЛЛОВ В СОЛЕВЫХ РАСПЛАВАХ

Е. И. Гурович и М. С. Матвеева

Электрохимическая теория коррозии металлов предусматривает наличие в системах металл — электролит анодных и катодных участков, из которых первые являются менее благородными, чем вторые; вследствие этого анодные участки подвергаются разрушению или растворению в электролите.

Исходя из этого основного положения, мы измерили э. д. с. в расплавленных солях различных металлов в паре с платиной, с целью сопоставления величин э. д. с. с коррозионными свойствами.

Многие авторы с различными целями проводили исследования по определению э. д. с. в системах, состоящих из двух металлов, помещенных в расплавленную соль или в расплав солевых смесей.

Так, например, Стерн и Карлтон [1] измерили потенциалы Ag, Cu, Ni, Co и W относительно золотого электрода в расплавленном едком натре при 340—600° в отсутствие кислорода воздуха (при пропускании в ячейку аргона). Лукс [2] проводил исследования по определению разности потенциалов между платиной и родием в расплавах Na_2SO_4 — K_2SO_4 (эвтектика) с добавками Na_2O ; Страуманис и Шлехтен [3] использовали ячейки Ti | расплавленная соль | Pt в расплавленных NaCl и KCl (в вакууме, в сухой среде или с доступом воздуха, кислорода или паров воды в качестве деполяризатора); Ференц [4] измерял электродные потенциалы в расплавленных хлоридах, платиновым электродом сравнения, и получил э.д.с. для Ag, Sn, Cu, Pb и Ti; Вебер [5] исследовал влияние газовой фазы на потенциал платины в различных расплавленных электролитах; А. В. Никольская и Я. И. Герасимов [6] изучали систему CdCl_2 — LiCl (эвтектика) | сплав Cd — Bi с добавками к электролиту CdCl_2 ; Пионери и Монтанелли [7] также проводили измерения э.д.с. между двумя электродами в расплавленных солях и т. д.

Экспериментальная часть

Измерения были проведены для металлов: Mo, W, Ta, Ag, Fe и Al.

В качестве расплавов были исследованы соли: NaNO_2 , NaNO_3 и эвтектическая смесь LiCl — KCl . Первые две соли были взяты для испытания потому, что они входят в состав теплоносителей, изучавшихся нами [8], а, кроме того, они являются окисляющими; эвтектическая смесь LiCl — KCl была взята как соль, не обладающая окисляющими свойствами.

Измерение разности потенциалов между платиной и металлами в расплавленных солях позволило нам в конечном итоге построить соответствующие электрохимические ряды металлов и сопоставить их с коррозионными данными.

На рис. 1 представлена схема ячейки для измерения э. д. с. между платиной и металлами в расплавленных солях. Вся ячейка была выполнена из кварца. Оба электрода в виде проволоки помещались в кварцевые трубки, с торцовым расширением на концах, погружаемых в расплав. Для предотвращения диффузии ионов в катодное или анодное пространство концы трубок, содержащих электроды, заполнялся толченым кварцем (зерно 0,5 до 1,0 мм диаметром) с последующим оплавлением краев. Стрелки на рисунке показывают направление движения газовой фазы (воздух или аргон).

Для испытаний были взяты металлы, 99,8—99,99%-ной чистоты.

Соли для исследования были химически чистые, а LiCl , кроме того, высушивался прокаливанием в смеси с NH_4Cl . Эвтектическая смесь $\text{LiCl} - \text{KCl}$ была заготовлена для всех предполагаемых испытаний и хранилась в эксикаторе.

Электрическая схема установки для измерения э. д. с. в наших исследованиях была обычная. В качестве измерительного прибора был применен потенциометр типа ППТВ-1, а зеркальный гальванометр, чувствительностью $7,6 \cdot 10^{-6} \text{ V}$ служил нуль-инструментом. Ячейка помещалась в тигельную печь с терморегулятором, дающим возможность регулирования температуры с точностью $\pm 10^\circ$. Температура контролировалась по показаниям градуированного милливольтметра с термопарой $\text{Pt} - \text{PtRh}$.

Значения э. д. с. в вольтах замерялись для каждого случая в течение 6 час. Первые 3 часа эти измерения производились через каждые 5 мин., а затем по мере достижения некоторого постоянного уровня — через каждый час.

Исследования проводились при пропускании расплава воздуха или аргона, которые подвергались очистке и сушке по схемам:

для воздуха: концентрированная $\text{H}_2\text{SO}_4 - \text{CaCl}_2 - \text{P}_2\text{O}_5 - \text{CaCl}_2$;

для аргона: раствор пирогаллола — концентрированная $\text{H}_2\text{SO}_4 - \text{CaCl}_2 - \text{P}_2\text{O}_5$ — стружки (при 600°) — CaCl_2 .

Скорость пропускания газов равнялась $\sim 10 \text{ см}^3/\text{мин}$, что вполне обеспечивало аэрацию $6-8 \text{ мин}$ расплавленной соли.

Испытуемые электроды перед погружением в электролит всякий раз механически зачищались грубым напильником.

В целях достижения воспроизводимости результатов опыты проводились по 2—3 раза.

Для каждого испытуемого металла было получено по шести кривых «э. д. с. — время»: 1) в NaOH (при пропускании воздуха, 360°); 2) то же (при пропускании аргона, 360°); 3) в NaNO_3 (при пропускании воздуха, 360°); 4) то же (при пропускании аргона, 360°); 5) в $\text{LiCl} - \text{KCl}$ (при пропускании воздуха, 630°) и 6) то же (при пропускании аргона, 630°).

Рис. 1. Ячейка для измерения э. д. с.

Характер полученных кривых дает некоторое основание для объяснения механизма поведения металла в процессе измерения.

При пропускании воздуха вначале образуется тонкая, окисная пленка, она растет в своей толщине, а затем либо более или менее прочно фиксируется на металлической поверхности, либо осыпается, после чего вновь начинает расти. Эти процессы можно наблюдать по ходу кривой э. д. с. Таким образом, в зависимости от характера металла и расплава, в котором он находится, образуются пленки рыхлые, осыпающиеся либо более или менее прочные.

При пропускании в расплав аргона (или другого инертного газа) пленки также образуются, очевидно, у нитрата и нитрита за счет разложения их и выделения свободного кислорода, а для смеси хлоридов — за счет образования хлористых соединений. В последнем случае возможно также участие в образовании и росте пленки и того кислорода, который обычно всегда находится на металлической поверхности в виде тонкой, стекающей, оксидной пленки.

При пропускании аргона, однако, эти пленки значительно тоньше, а процесс их роста несравнимо медленнее, чем в случае пропускания воздуха.

рода, что можно видеть как по характеру кривых э. д. с., так и непосредственно на металлической поверхности после испытания.

Рассмотрение отдельных кривых э. д. с. позволяет установить так-
то, что со временем, как правило, наступает равновесное состояние за-
мет стабилизации роста пленки, ее толщины и структуры.

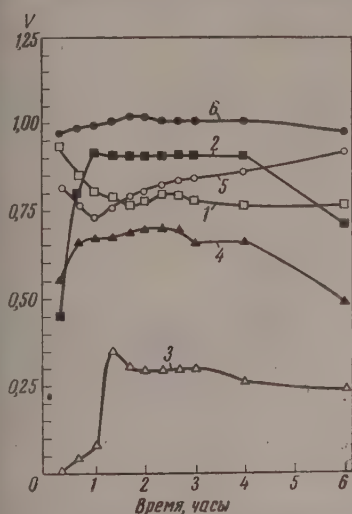


Рис. 2. Кривые э. д. с. для пары Pt — W

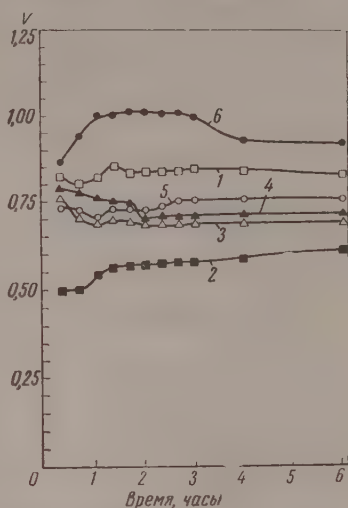


Рис. 3. Кривые э. д. с. для пары Pt — Mo

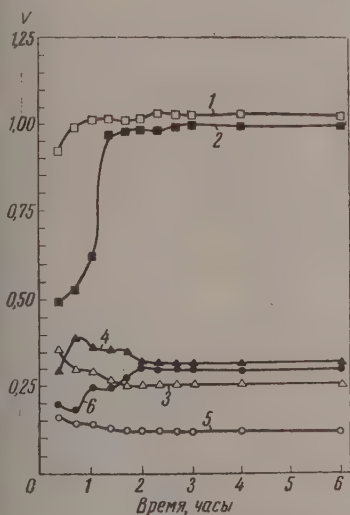


Рис. 4. Кривые э. д. с. для пары Pt — Ta

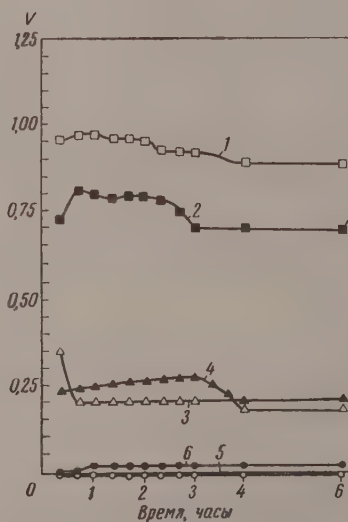


Рис. 5. Кривые э. д. с. для пары Pt — Ag

Опыты с аргоном, естественно, дают картину, более близкую к истинному значению э. д. с. для Pt — Me, так как поверхность металла здесь значительно меньше окислена, чем это имеет место при пропускании воздуха, когда поверхность металла всегда более или менее окислена.

На рис. 2—9 приведены кривые э. д. с. для гальванических пар Pt — W, Pt — Mo, Pt — Ta, Pt — Ag, Pt — Cu, Pt — Ni, Pt — Fe и Pt — Al, сгруппированные по признаку испытываемых металлов. Для каждого

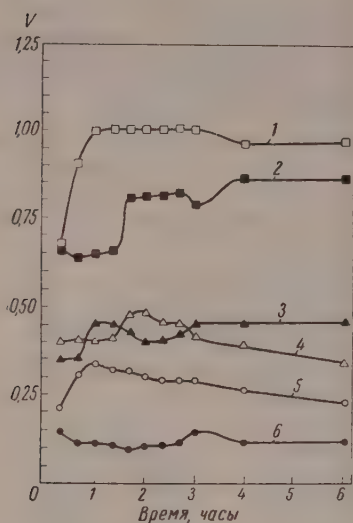


Рис. 6. Кривые э.д.с. для пары Pt — Cu

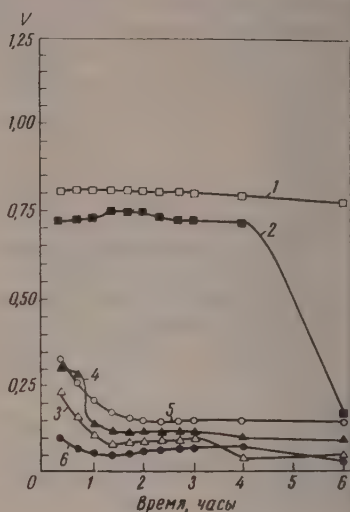


Рис. 7. Кривые э.д.с. для пары Pt — Ni

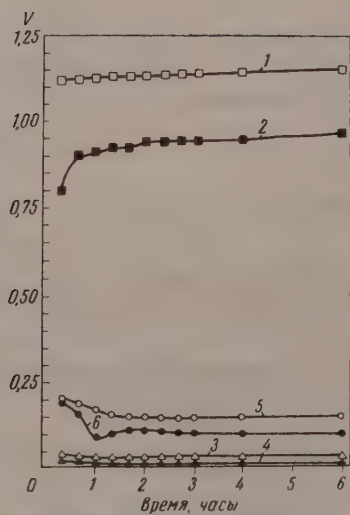


Рис. 8. Кривые э.д.с. для пары Pt — Fe

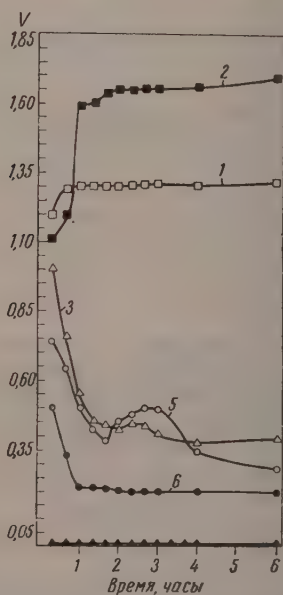


Рис. 9. Кривые э.д.с. для пары Pt — Al

металла здесь даны кривые э. д. с. в расплавах: NaNO_2 , NaNO_3 и эвтектической смеси $\text{LiCl}-\text{KCl}$, как при пропускании аргона, так и в присутствии кислорода воздуха.

При сопоставлении кривых э. д. с., относящихся к обработке расплава аргоном, с кривыми, характеризующими э. д. с. при пропускании воздуха, можно видеть, что в некоторых случаях первые располагаются на графиках выше, чем вторые, а в иных случаях, наоборот, вторые — выше первых. Указанные обстоятельства характеризуют тот или иной металл более или менее положительным для той или иной среды.

Для расплава NaNO_3 почти все металлы при пропускании воздуха имеют э. д. с. выше, чем при пропускании аргона, т. е. обработка расплава воздухом ведет к понижению благородных качеств испытуемого металла.

Для расплава NaNO_2 часть металлов, подвергшихся испытаниям, имеет менее благородный потенциал своей поверхности; другая же часть испытанных металлов, наоборот, оказалась более благородной в расплаве при пропускании воздуха, чем при пропускании аргона (кривые э. д. с. в этом случае с аргоном располагаются здесь выше кривых э. д. с., относящихся к испытаниям с пропусканием воздуха).

Что же касается расплава $\text{LiCl}-\text{KCl}$, то, за исключением W и Al , во всех случаях имеет место обратная картина по сравнению с NaNO_3 , т. е. кривые э. д. с. при пропускании аргона в расплав при испытаниях располагаются выше кривых, относящихся к испытаниям с пропусканием воздуха, что говорит об облагораживании металлических поверхностей при пропускании в расплав воздуха, тогда как обработка расплава аргоном снижает благородные качества поверхности металлов.

Все эти рассуждения и факты, естественно, связаны с пленкообразованием на металлических поверхностях, чем и объясняются явления облагораживания и, наоборот, активирования поверхностей металлов.

При внешнем осмотре металлов после их испытания в расплавах NaNO_3 и NaNO_2 можно установить, что некоторые металлы образуют указанные выше пленки. Характер этих пленок различен; так, например, Ni и Fe имеют пленки воронения, довольно плотные при пропускании в расплав аргона, но несколько рыхлые — при пропускании воздуха. Медь на своей поверхности образует толстую пленку окиси, зеленого цвета, а алюминий — тонкую серую рыхлую пленку своей окиси. Что же касается других испытанных нами металлов, то для указанных расплавов на их поверхности образуются очень тонкие, более или менее окрашенные пленки. Испытания металлов в смеси хлоридов показало также, что на поверхности металлов образуются пленки.

Из рассмотрения отдельных кривых на графиках можно видеть, что в начале измерений кривые либо возрастают, либо опускаются, однако в большинстве из них через некоторое время принимает направление, более или менее параллельное оси абсцисс, т. е. начальная поверхность металла в некоторых случаях является более благородной, чем это имеет место по истечении некоторого времени. В других же случаях, наоборот, начальная поверхность металла оказывается менее благородной, чем поверхность, обработанная расплавом в течение какого-либо времени. Иначе говоря, металлы могут иметь поверхность, более благородную, чем поверхность их окисных и другого рода пленок, и, наоборот, окисные пленки могут быть более благородными, чем их основа — металл.

Иногда кривая э. д. с. имеет вид синусоиды. Такие случаи возможны, когда пленка, образовавшаяся на поверхности металла, утолщаясь со временем, становится рыхлой, например, медь в NaNO_3 (воздух или аргон) или медь в хлоридах (воздух), наступает критический момент, когда рыхлая пленка осыпается, и тогда э. д. с. вновь приближается к своему первоначальному значению, затем пленка вновь начинает расти и т. д. Так как кривые э. д. с. почти не имеют резких изломов, то напраши-

вается вывод: состав оксидной или какой-либо иной пленки может меняться лишь постепенно.

На основании измеренных э. д. с. были построены ряды э. д. с. металлов для тех или иных расплавленных электролитов как при пропускании в них воздуха, так и при обработке их аргоном. Указанные электрохимические ряды металлов построены по убывающему значению потенциалов испытанных нами металлов, т. е. от более положительного значения потенциала к более отрицательному.

Электрохимические ряды металлов для различных расплавленных электролитов были построены рядом авторов. Ниже мы сопоставляем данные этих авторов с полученными нами результатами. При сравнении указанных электрохимических рядов следует учитывать: во-первых, что указанные авторы (см. табл. 1) применяли расплавленные среды несколько отличные от сред, исследованных нами, во-вторых, что методика измерений э. д. с. также была отличной от принятой нами — измерен-

Таблица

Расплав	Газ	t, °C	Ряды	Автор
NaNO ₃	Ар	360	Fe > Ni > Ag > W > Ta > Cu > Al > Mo	Наши данные [9]
Хлорид + KNO ₃	Возд.	360	Al > Fe > Ni > Ag > Ta > Cu > W > Mo	
	Возд.	340	Ni > Cu > Ag 0,94 ± 0,92	Наши данные [10]
LiCl — KCl	Ар	630	W > Ni > Mo > Ag > Cu > Ta > Fe > Al	
Индивиду. хлориды	Возд.	360	Ni > Mo > Ag > W > Cu > Fe > Ta > Al	[10]
	Возд.	500	Ag > Cu > Al	
NaCl — KCl — SrCl ₂	Возд.	700	Ag > Cu > Fe > Ni > Al	[10]
NaCl — AlCl ₃	Возд.	700	Ag > Ni > Cu > Al	
		700	Ni > Cu > Ag > Al	[10]
NaCl	Хлор	700	1,45 ± 1,46	
		880	Mo > Ni > Ta > Ag > W > Fe > Cu > Al	[11]

производились либо с хлорным электродом, либо со стеклянными перо-родками, либо данные получались путем измерения потенциалов разложения, и, наконец, в-третьих, построенные этими авторами ряды содержали лишь частично те металлы, которые были исследованы нами. Тем не менее, представленная ниже таблица ясно показывает почти полное совпадение сравниваемых рядов.

Сопоставление полученных электрохимических рядов с коррозионными данными также приводит к выводу о применимости электрохимических

Таблица 2

Среда	t, °C	Ряды или коррозионные данные, г/м ² час		
NaNO ₃ (воздух)	360	Al > Fe > Ni > Ag > Ta > Cu > W > Mo		
Коррозия	350	Fe > Дюраль > Ni > Ta > Cu > W > Mo + 1,2 — 0,64 — 0,08 — 3 — 7,2 — 800 — 1500		
LiCl — KCl (воздух)	630	Ni > Mo > Ag > W > Cu > Fe > Ta > Al		
Коррозия KCl	860	Ni	Углер. сталь	Cu
NaCl	880	2,1	5,2	5,8
		Ni	Углер. сталь	Cu
		3,1	4,1	13,4
LiCl	650	Ni	Углер. сталь	Cu
		8,7	14,2	21,0

их измерений для характеристики коррозионных процессов, протекающих в расплавленных солях на металлических поверхностях.

В табл. 2 приведены данные, характеризующие коррозию металлов в расплавах; рядом с этими данными для сопоставления указаны соответствующие электрохимические ряды. Коррозионные данные были получены нами ранее [12, 13], а сведения, относящиеся к коррозии тантала, вольфрама и молибдена в расплаве NaNO_3 ; были получены недавно еще не опубликованы.

Указанные сопоставления коррозионных данных и электрохимических рядов позволяют производить выбор и комбинировать металлы при конструировании различной аппаратуры для работы с различными расплавленными солями. Например, если требуется выбрать металл для аппаратуры, в которой будет обрабатываться расплавленный NaNO_3 , то выбор можно произвести по электрохимическому ряду в этой расплавленной соли, где видно, что наиболее устойчивым металлом при аэрации сплава воздухом является алюминий, затем железо и т. д. (табл. 3).

Таблица 3

Расплав	Газ	Ряды потенциалов
$\text{LiCl} - \text{KCl}$ (эвтектика)	Ar Возд.	$\text{W} > \text{Ni} > \text{Mo} > \text{Ag} > \text{Cu} > \text{Ta} > \text{Fe} > \text{Al}$ $\text{Ni} > \text{Mo} > \text{Ag} > \text{W} > \text{Cu} > \text{Fe} > \text{Ta} > \text{Al}$
NaNO_3	Ar Возд.	$\text{Fe} > \text{Ni} > \text{Ag} > \text{W} > \text{Ta} > \text{Cu} > \text{Al} > \text{Mo}$ $\text{Al} > \text{Fe} > \text{Ni} > \text{Ag} > \text{Ta} > \text{Cu} > \text{W} > \text{Mo}$
NaNO_2	Ar Возд.	$\text{Ag} > \text{Ni} > \text{Fe} > \text{Cu} > \text{Ta} > \text{Al} > \text{Mo} > \text{W}$ $\text{Ag} > \text{Ni} > \text{Fe} > \text{Cu} > \text{Al} > \text{Ta} > \text{Mo} > \text{W}$

В расплаве $\text{LiCl} - \text{KCl}$ при пропускании аргона можно комбинировать такие металлы, как W с Ni или Mo, но W с Cu уже не рекомендуется, вследствие относительно большой разности потенциалов, возникающей при подобной комбинации. В этом случае медь, являясь анодом, при вольтамовом катоде будет сильно корродировать. Подобные рассуждения можно вести при рассмотрении других комбинаций металлов в тех или иных расплавах.

Выводы

1. Изучены э. д. с. металлов Mo, W, Ta, Ag, Cu, Ni, Fe и Al в расплавленных NaNO_3 , NaNO_2 и эвтектической смеси $\text{LiCl} - \text{KCl}$ при пропускании в расплав аргона или воздуха.
2. Показано сходство электрохимических рядов с таковыми у других металлов.
3. Показана возможность изучения коррозионных процессов в расплавленных солях методами электрохимических измерений.
4. Построенные электрохимические ряды дают возможность выбирать и комбинировать металлы при конструировании аппаратуры для работы с различными расплавленными солями.

Академия наук СССР
Институт общей и неорганической
химии им. Н. С. Курнакова

Поступила
10.I.1958

ЛИТЕРАТУРА

- K. H. Stern a. J. K. Carlton, J. Phys. Chem., 54, 965, 1954.
H. Lux, Z. Elektrochem., 45, 303, 1939.
M. E. Straumanis a. A. W. Schlechten, J. Electrochem. Soc., 102, 131, 1955.
E. Ferenc, Magyar kem. folyóirat, 50, 113, 1944.

5. P. J. Vecino, An. Real soc. esp. fis. y quim., В 49, 501, 1953.
6. А. В. Никольская и Я. И. Герасимов, Ж. физ. химии, 28, 713, 1954.
7. R. Piontelli a. G. Montanelli, J. Chem. Phys., 22, 1781, 1954.
8. Е. И. Гурович и Г. П. Штокман, Ж. прикл. химии, 30, 1547, 1957.
9. Ю. К. Делимарский и И. Д. Панченко, Укр. хим. ж., 19, 47, 1955.
10. Ю. К. Делимарский, Ж. физ. химии, 29, 28, 1955.
11. Н. И. Тугаринов, Исследование коррозии металлов в расплавленных солях, Диссертация, Москва, 1953.
12. Е. И. Гурович, Ж. прикл. химии, 27, 425, 1954.
13. Е. И. Гурович, Ж. прикл. химии, 29, 1358, 1956.

MEASUREMENT OF THE POTENTIALS OF METALS IN SALT MELTS

E. I. Gurovich and S. M. Matveeva (Moscow)

Summary

The potentials of the metals Mo, W, Ta, Ag, Cu, Ni, Fe and Al with respect to the platinum electrode have been investigated in molten NaNO_3 , NaNO_2 and the eutectic mixture LiCl-KCl , argon or air being passed through the melt.

The electrochemical series obtained were shown to be similar to those of other authors. Corrosion processes were shown to be capable of investigation with the aid of electrochemical measurements. The electrochemical series set up enable one to select a suitable metal in designing apparatus dealing with various molten salts.

МЕТОДЫ И ТЕХНИКА ФИЗИКО-ХИМИЧЕСКОГО
ИССЛЕДОВАНИЯ

АДИАБАТИЧЕСКАЯ ОБОЛОЧКА КАЛОРИМЕТРА

Т. А. Колач и В. Б. Зенкевич

В калориметрической практике часто приходится учитывать теплообмен калориметра с окружающей средой. Для уменьшения поправки на теплообмен желательным является проведение опытов в калориметре с адиабатной оболочкой. Однако автоматическое поддержание равенства температур двух сред является довольно трудной задачей. При повышенных требованиях к точности эксперимента приходится применять устройства, изготовление и наладка которых довольно сложны [1—3]. Ниже приводится описание установки, изготовленной полностью на основе серийно выпускаемых приборов и позволяющей автоматически поддерживать адиабатические условия проведения опыта. Установка длительное время успешно использовалась в Московском энергетическом институте при изучении теплоемкости жидкости при атмосферном давлении в интервале температур 20—120° С.

Калориметр соответствующей конструкции K (см. рисунок) погружается в жидкую среду термостата типа ТС-24 производства завода «Платинприбор». Применялся калориметр емкостью 450 мл, аналогичный описанному в [4]. Выбор термостатной жидкости определяется температурным интервалом. В опытах применялось трансформаторное масло. Электрическая схема термостата ТС-24 была видоизменена. В цепь малого нагревателя термостата H_2 поставлен реостат R сопротивлением 300 Ω . Таким образом нагреватели термостата стали регулируемыми. Для включения малого нагревателя использовалось фотоэлектронное реле ФЭР-6 Ереванского завода «Точэлектроприбор».

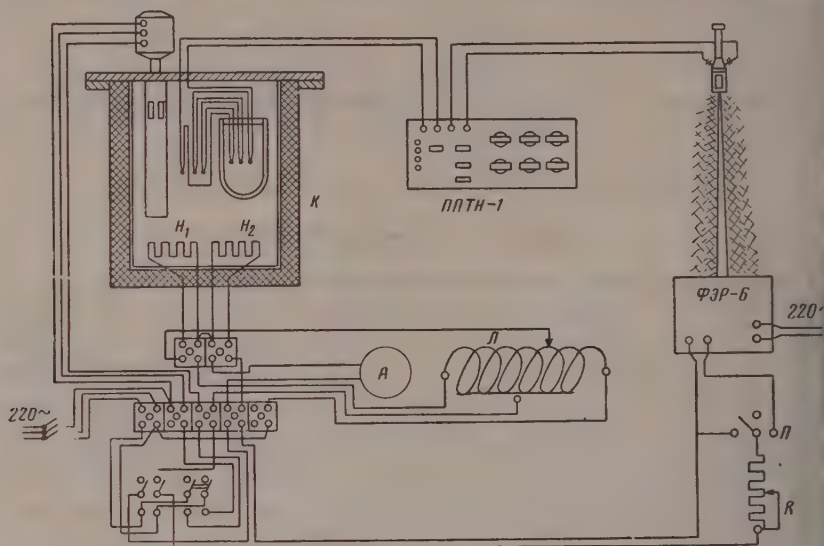
Контроль работы схемы осуществлялся при помощи амперметра A , поставленного на разрыв провода, ведущего от клеммы 7 к нагревателям. Остальные части схемы термостата остались без изменения. Срабатывание контактов фотореле происходит в зависимости от положения луча света, отраженного от зеркальца чувствительного гальванометра типа М25/3, связанного с трехспайной дифференциальной термопарой, одна группа спаев которой находится в термостате, другая — в калориметре.

В начальный период опыта мощность нагревателя H_1 термостата при помощи лабораторного автотрансформатора L подбирается такой, чтобы при выключенном втором нагревателе термостата H_2 разность температур между калориметром и термостатом медленно увеличивалась в сторону относительного повышения температуры калориметра. Затем, изменяя сопротивление R , подбирают мощность нагревателя термостата H_2 так, чтобы при совместной работе обоих нагревателей рост температуры термостата опережал температурный ход калориметра. Температуру в термостате направляют близкой к температуре калориметра и переключателем $П$ включают контакты фотореле.

Относительное повышение температуры в калориметре вызовет смещение светового луча гальванометра и включение нагревателя H_2 , который останется включенным до возвращения луча в прежнее положение. При соответствующем подборе сопротивления R и напряжения на автотрансформаторе отклонения луча будут значительно меньше ширины светового блика, поэтому включение контактов реле в обратную сторону не происходит. Если по условиям опыта темп повышения температуры калориметра в главном периоде высок, желательно с началом ввода тепла несколько увеличить мощность нагревателя термостата H_1 , но так, чтобы ход термостата с одним нагревателем H_1 был по-прежнему меньше температурного хода калориметра.

Наличие в схеме потенциометра ППТН-1 позволяет поддерживать не только разность температур калориметра и оболочки, но и любую заданную разность температур между ними. Это часто желательно с целью компенсации отвода тепла в окружающую среду за счет выступающих частей калориметра (термометр, провода и т. п.), напротив, для отвода тепла мешалки и других побочных процессов. В наших опытах, изменяя при помощи потенциометра задание, удавалось довольно быстро убрать такую разность температур, при которой ход калориметра в начальный период опыта отсутствовал (измерения велись с точностью 0,001° С). Отклонения от заданной разности температур даже в главном периоде были меньше $\pm 0,01^\circ \text{C}$. Ввиду того что с подъемом температуры в калориметре несколько возрастает отвод тепла по частям калориметра, выходящим из термостата, заданная разность тем-

ператур при помощи ППТН-1 изменялась равными долями за время опыта на 2—3% первоначальной величины. Это приводило к тому, что и в конечном периоде опыта температурный ход калориметрической системы не превышал 0,0002 град./мин. (в большинстве опытов вообще не наблюдался). Поправка на теплообмен [1] даже в наименее



благоприятных случаях не превышала 0,1% наблюдаемого изменения температуры, тогда как при работе с тем же калориметром по изотермическому методу [4] она доходила до 3%. Наличие охлаждающего змеевика в термостате ТС-24 позволяет работать и при температурах несколько ниже комнатной.

Аналогичная схема может быть применена и для поддержания постоянства температуры в термостате.

Московский
энергетический институт

Поступила
9.III.1958

ЛИТЕРАТУРА

1. М. М. Попов, Термометрия и калориметрия, 1954.
2. W. W. Cleland, R. S. Harding, Rev. Scient. Instrum., 28, № 9, 1957.
3. В. В. Ахачинский, В. П. Маширев, «Приборы и техника экспериментальной физики», № 5, 1958.
4. Т. А. Колач, В. В. Зенкевич, Изв. Высших учебных заведений, «Физическая химия», № 9, 1958.

ADIABATIC SHELL FOR CALORIMETERS

T. A. Kolach and V. B. Zenkevich (Moscow)

Summary

An arrangement for commercially produced instruments is described, which with an accuracy of 0.01°C maintain a required temperature difference between the thermostat and the calorimeter.

ЭЛЕКТРОННАЯ УСТАНОВКА ДЛЯ БЫСТРОГО СНЯТИЯ ПОЛЯРИЗАЦИОННЫХ КРИВЫХ

А. Т. Васько и Д. П. Зосимович

Исследование зависимости потенциал — плотность тока широко применяется для изучения электрохимических процессов. Однако, ввиду наличия недостатков методов и техники эксперимента, а также сложности самой природы электрохимического процесса установить точно зависимость между величиной поляризации и плотностью тока сложно. Поэтому экспериментальные данные различных авторов весьма противоречивы [1—3].

Ошибки, связанные с изменением поверхности электрода, могут быть устранены значительным увеличением скорости снятия поляризационных кривых. Однако

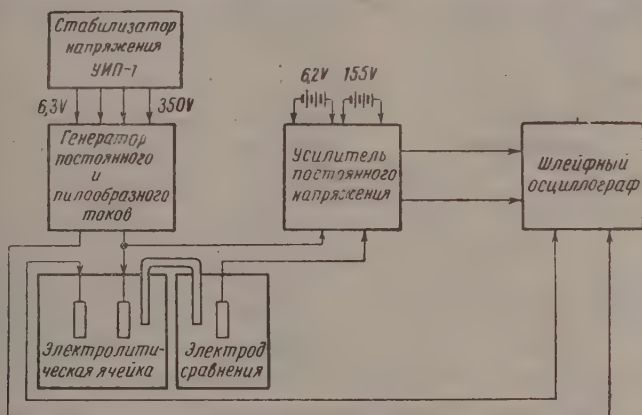


Рис. 1. Блок-схема установки для быстрого снятия поляризационных кривых

ма значительного увеличения скорости снятия указанных кривых следует избегать, так как некоторая часть тока, проходящего через электролитическую ячейку, тратится на зарядку двойного электродного слоя, причем эта часть тока увеличивается с уменьшением времени снятия кривой.

А. Т. Ваграмяном [4] была разработана установка для снятия поляризационных кривых с высокой скоростью. Принцип действия прибора основан на том, что исследуемый электрод поляризуется от электрохимической поляризующей установки, возрастание по определенному закону до некоторого значения, и на фотопленке одновременно фиксируется изменение поляризации.

В настоящей работе приводится описание схемы и конструкции оригинальной электронной установки для снятия поляризационных кривых.

Блок-схема установки изображена на рис. 1. Как видно из рисунка, на электролитическую ячейку подается от инфранизкочастотного генератора пилообразный ток. Разделение между исследуемым электродом и электродом сравнения усиливается с помощью усилителя постоянного напряжения и затем регистрируется шлейфовым осциллографом. При помощи последнего также записывается характер и величина являющегося тока. Генератор пилообразного тока и усилитель постоянного напряжения питаются от источников постоянного тока, которые описываются ниже.

Измерительная ячейка для быстрого снятия поляризационных кривых (рис. 2) представляет собой стеклянный сосуд 2, герметически закрытый крышкой 6. В крышке установлены катод 3 и термометр 7. Собственно катодом является торцевая часть платиновой проволоки, покрытой исследуемым материалом. Катодное пространство отделено от анодного перегородкой 4. В качестве анода используется платиновая проволока 10.

Образующиеся в процессе электролиза газы отводятся при помощи трубок 5. Для устранения деполяризации через трубку 7 подводится водород или инертный газ, которые распыляются стеклянным фильтром 11. Носик электролитического ключа 10 и каломельному электроду, подведен к катоду 3.

Как уже указывалось, на электролитическую ячейку подается ток от инфранизкочастотного генератора пилообразного тока. Схема электронной поляризующей цепи

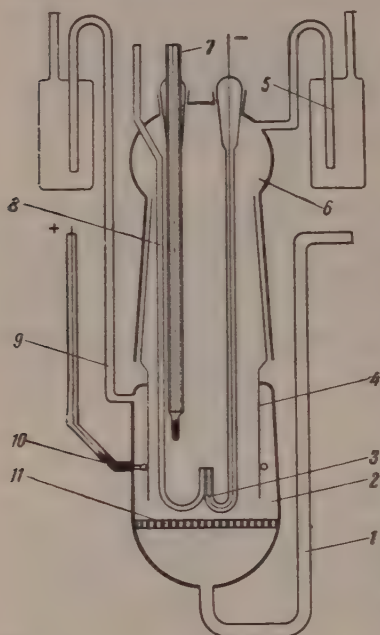


Рис. 2. Измерительная ячейка для быстрого снятия поляризационных кривых

обратной связи, схема мало чувствительна к смене ламп и изменению напряжений источников питания.

Понятно, что ток от генератора можно отбирать только после усиления. Последнее осуществляется при помощи усилителя постоянного тока, построенного по

новки основана на заряде конденсатора в идеальном случае, неизменным током одного направления (прямой ход развертки) и отря в идеальном случае, на мгновенном разряде этого конденсатора (обратный ход развертки) [5, 6].

На рис. 3 изображена принципиальная схема инфранизкочастотного генератора пилообразного тока. Как видно из схемы, генератор пилообразного тока состоит из двух каскадов. Первый каскад представляет собой генератор пилообразного напряжения. Второй каскад является усилителем тока и обратной связи.

Генератор пилообразного напряжения построен на линейаризирующем пентоде L_1 на тиратроне L_2 . Линейное изменение напряжения на конденсаторе C_1 , C_2 или C_3 происходит при заряде его через пентод L_1 . При включении схемы конденсатор начинает быстро заряжаться через пентод от источника питания. По мере увеличения напряжения на конденсаторе напряжение на тиратроне также возрастает. Когда напряжение на последнем становится равным напряжению зажигания тиратрона, цепь замыкается, и конденсатор разряжается через тиратрон. После этого конденсатор опять заряжается, тиратрон снова гаснет, и весь процесс повторяется снова. Изменением емкости конденсатора C_1 , C_2 или C_3 и величины сопротивления R_4 — можно управлять частотой генерируемого напряжения. При помощи сопротивлений R_9 и R_{10} задается напряжение смещения на сетке тиратрона L_2 . Благодаря включению сопротивлений $R_4 + R_5$ и наличию вследствие этого

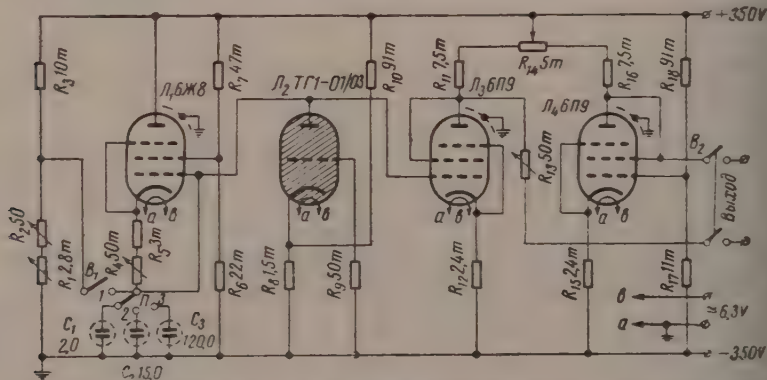


Рис. 3. Принципиальная схема инфранизкочастотного генератора пилообразного тока

мостовой схеме с параллельным питанием и анодной нагрузкой. Плечами моста являются два пентода L_3 и L_4 , работающих в триодном включении, и два сопротивления R_{11} и R_{16} . Так как нагрузочные сопротивления значительно больше сопротив-

измерительной ячейки, то выходной ток, изменяющийся по пилообразному ну, практически не зависит от изменения сопротивления ячейки. Разбалансируя при помощи переменного сопротивления R_{14} , можно перемещать развертку в любом направлении относительно оси абсцисс. От описываемого генератора можно также отбирать постоянный ток, что позволяет регистрировать кривые потенциал—время. Переключение работы генератора с постоянного тока, величина которого устанавливается переменными сопротивлениями R_1 и R_2 на пилообразный ток, осуществляется выключателем B_1 . Выключатель B_2 используется при снятии осциллограммы

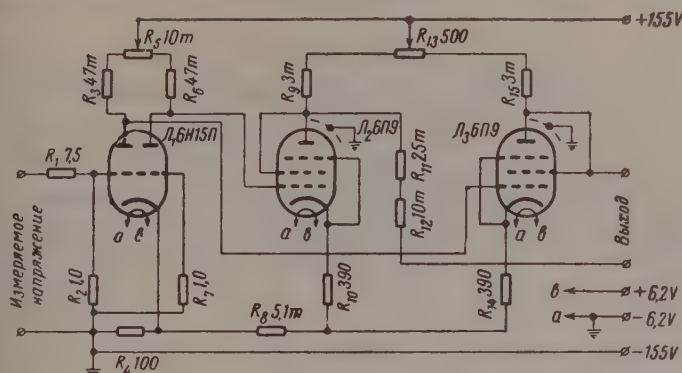


Рис. 4. Принципиальная схема усилителя постоянного напряжения

чения и выключения. Грубая установка частоты развертки осуществляется переключателем Π . При помощи переменного сопротивления R_4 частота развертки изменяется плавно. Амплитуда пилообразного тока изменяется сопротивлением R_{13} . Анодное и накальное напряжения подаются от стабилизатора типа УИП-1. Инфранизочастотный генератор дает возможность отбирать пилообразный ток с максимальной амплитудой тока в 6,3 мА. При помощи описанного генератора можно регистрировать поляризационные кривые с продолжительностью снятия кривой — 56 сек. Этой же установкой можно пользоваться как стабилизатором постоянного тока величиной до 6,3 мА.

Как уже указывалось, напряжение между исследуемым электродом и электродом сравнения усиливается при помощи усилителя напряжения. Прибор, схема которого приведена на рис. 4, состоит из двух каскадов, соединенных по мостовой схеме параллельного ба: первый — на двойном триоде L_1 ; второй — двух пентодах L_2 и L_3 в триодном включении. Подогревка первого каскада осуществляется при помощи переменного сопротивления R_5 , второго —

Анодное и накальное напряжения подаются от аккумуляторных или сухих батарей. Для питания анодных цепей может быть также использован электронный стабилизатор.

Регистрация усиленного напряжения осуществляется шлейфовым осциллографом типа МПО-2. Измерения указанного напряжения используются шлейф с максимально допустимым током в А. Шлейф на 10 мА применяется при записи характера подаваемого на ячейку тока. Для точного измерения частоты изменения пилообразного тока, подающего через электролитическую ячейку, на один из шлейфов подается известной частотой от генератора типа ЗГ-10. В качестве примера на рис. 5 приведена катодная поляризационная кривая, снятая на никелевом электроде в перекисно-кислом электролите [7] для получения никель-вольфрамовых сплавов. Состав электролита:

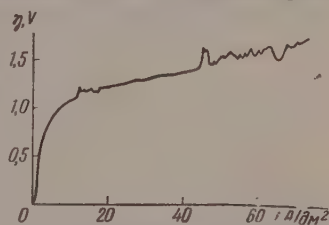


Рис. 5. Катодная поляризационная кривая, снятая на никелевом электроде при электроосаждении никель-вольфрамовых сплавов из перекисно-кислого электролита

никель в виде сульфата никеля
вольфрам в виде вольфрамата натрия
перекись водорода (30%)
серная кислота

87 г/л;
15 г/л;
— 7 мл/л;
до pH = 1,6.

длительность записи указанной кривой — 30 сек.

Как видно из рисунка, применение автоматически регистрирующей установки, быстро фиксирующей колебания потенциала, дает возможность установить действительный ход кривой, характеризующей зависимость потенциал — плотность тока, что было бы невозможно при использовании обычного компенсационного метода.

Авторы считают своей приятной обязанностью выразить благодарность Ю. И. Самойленко за ценные советы по разработке электронных схем.

Академия наук СССР
Институт общей и неорганической
химии
Киев

Поступило
19.III.1958

ЛИТЕРАТУРА

1. О. А. Есин, А. И. Левин, Ж. общ. химии, 5, 1302, 1936.
2. В. П. Машовец, Ж. прикл. химии, 23, 66, 1950.
3. С. В. Горбачев, А. Измайлов, Ж. физ. химии, 25, 1384, 1951.
4. А. Т. Ваграмян и З. А. Соловьева, Методы исследования процессов электроосаждения металлов, Изд-во АН СССР, М., 1955.
5. А. М. Бонч-Бруевич, Применение электронных ламп в экспериментальной физике, Гос. изд-во технико-теор. литерат., М., 1955.
6. А. Г. Соболевский, Электроннолучевой осциллограф, Госэнергоиздат, М.—Л., 1956.
7. А. Т. Васько и Д. П. Зосимович, Сов. авт. свид., № 112306, 1957; Бюл. изобр., № 4, 77, 1958.

ELECTRONIC INSTALLATION FOR RAPID PLOTTING OF POLARIZATION CURVES

A. T. Vasko and D. P. Zosimovich (Kiev)

Summary

Described in the present paper is an electronic installation intended for rapid plotting of polarization curves. The essence of its block diagram is that sawtooth current is applied to an electrolytic cell from an infra-low-frequency generator. The voltage between the electrode studied and a reference electrode is amplified by a constant voltage amplifier and then recorded by a bifilar oscillograph. The installation can also be used for plotting potential-time curves.

ДИСКУССИЯ

ОПРОСУ ОБ «АБСОЛЮТНЫХ» АДсорбЦИОННЫХ СВОЙСТВАХ
ПОВЕРХНОСТИ КРЕМНЕЗЕМА И СИЛИКАТОВ

В. Ф. Киселев и К. Г. Красильников

Используя известные представления о процессах конденсации кремневых кислот, мы [1, 2] приняли схему строения поверхности силикагеля, согласно которой каждый кремний на поверхности связан с одной ОН-группой *. Число ОН-групп, находящихся при этом на единицу поверхности, было вычислено в [3]. В случае кристаллического кварца соответствующие данные были получены из рассмотрения площадей различных его кристаллографических сечений [4, 5]. В работе [6] эти расчеты повторены и уточнены, причем оказалось, что площадки, приходящиеся на одну группу для аморфного кремнезема и кристаллического кварца, близки между собой. Эти представления нашли свое подтверждение в работах А. В. Киселева и сотрудников (свыше 20 работ), в которых было показано, что «абсолютные» изотермы адсорбции паров воды и метанола (в начальной части), а также теплоты смачивания этими жидкостями, совпадают для различных образцов кремнезема (кварц, силикагель). В этом оказалось, что теплота смачивания практически не зависит от содержания кремния на поверхности образцов [7, 8]. С другой стороны, из данных по понижению адсорбции паров воды и метанола [9, 10] при прокаливании образцов кремнезема следовало, что адсорбционными центрами в данном случае являются гидроксильные группы на поверхности. В связи с этим в работах [9, 14] было указано, что совпадение «абсолютных» изотерм (паров воды) может иметь место лишь в случае полностью гидратированной поверхности. Авторы [12, 9] считают, что «после адсорбции паров воды и последующей откачки при температуре не выше 200° поверхность различных образцов силикагелей и кварца оказывается гидратированной приблизительно в одинаковой степени, при этих условиях обработки «все выступающие на поверхности первичных углов и скелета силикагеля свободные углы кремнийкислородных тетраэдров еще захвачены гидроксильными» [9]. Исходя из своих представлений о строении поверхности кремнезема [2, 9] и данных по совпадению «абсолютных» изотерм на различных образцах,

Киселев приходит к вполне определенному выводу, что «различие в упаковке кремнийкислородных тетраэдров в аморфных частицах скелета силикагеля и в кристаллах кварца существенно не сказывается на адсорбционных свойствах» [12]. Однако эти положения А. В. Киселева и их экспериментальное обоснование вызывают ряд возражений. Прежде всего необходимо отметить, что непосредственных измерений степени гидратации поверхности силикагелей и кварца в большинстве работ А. В. Киселева вообще не проводилось. Процентное содержание структурной воды в силикагеле, приведенное, например, в работе [2], никак не характеризует степень гидратации поверхности, поскольку необходимых для этого измерений величины реальной поверхности не было сделано. Несмотря на встречающиеся (после [2]) указания на необходимость подобных измерений, эти данные отсутствуют даже в последних его работах [15], или же приводятся только для избранных образцов [9, 12]. Определение степени гидратации поверхности кварца из его кристаллографических сечений нельзя считать правильным, так как в процессе дробления кварца структура его поверхности может быть сильно искажена за счет частичной разрушения решетки и образования аморфного слоя [16]. Картина расположения кремнийкислородных тетраэдров, а следовательно, и гидратация поверхности реального кварца может существенно отличаться от полученной для идеальных его сечений. В случае силикагеля различие в расположении тетраэдров может возникнуть при его образовании, а также разрушения поверхности в результате частичного растворения. Например, обработки водой при высоких температурах и давлениях [17], или щелочными растворами. При термической дегидратации поверхности происходит существенная перестройка тетраэдров SiO_4 , с чем, по-видимому, связана наблюдавшаяся на [17] необратимость процесса регидратации поверхности образцов жидкой водой, и при термической обработке при всех изученных температурах. Увеличение или

* В последних работах [6, 9, 12] в соответствии с [13] допускалась также возможность связи атома кремния с двумя ОН-группами

уменьшение поверхности во всех случаях сопровождается качественным ее изменением [17]. Различная ориентация тетраэдров SiO_4 на поверхности может соответствовать различному числу ОН-групп, связанных с атомами кремния. Это обстоятельство приводит к тому, что полностью гидратированной поверхности, которую А. В. Киселев считает одинаковой для всех силикатов и кварца, в действительности быть соответствием различная степень ее гидратации. Непосредственными опытами не было установлено [17], что различные образцы кремнезема при любых, но одинаковых условиях обработки, обладают различной гидратацией поверхности. Необходимо отметить, что силикатов и порошки частично дегидратированного кристаллического кварца [16] являются неравномерными системами, состояние которых определяется их историей, т. е. условиями их получения и дальнейшей обработки. Очевидно, что сравнительное изучение особенностей структуры поверхности, вызванных процессом дегидратации, может быть выполнено при идентичной их подготовке. Приведенные в литературе немногочисленные данные по степени гидратации поверхности кремнезема, из-за различных условий подготовки образцов (температура и время обработки), не сопоставимы между собой. Свойства гидратированной поверхности могут также различаться в зависимости от числа ОН-групп, между которыми возникают подородные связи [17]. Представление о тождественности «абсолютных» свойств поверхности А. В. Киселев обобщает не только на различные модификации кремнезема, но даже на алюмосиликаты (с небольшим содержанием Al_2O_3), считая, что «физическая адсорбция паров метанола мало чувствительна к различиям под поверхностями гидроксильными группами и атомами кислорода и кремния или атомы алюминия» [18]. В [19] нами было показано, что такой вывод неверен. Наблюдавшиеся в работах А. В. Киселева совпадения обратимых изотерм и изотерм изотерм адсорбции паров воды [9, 12, 14], метанола [9, 15, 18] и бензола [17] на алюмосиликатах [18], силикатах [9, 12, 14, 15] и кварце [9, 12, 20] не подтверждаются [21] нашими измерениями [22], а также литературными данными: например, согласно данным А. В. Киселева [9] «абсолютная» адсорбция паров воды на кремнеземе составляет $4,6 \text{ мл/г}$ ($p_{\text{св}} = 0,1$), при тех же условиях автор [10] дает $8,8 \text{ мл/г}$. Таким образом из изложенного следует, что степень гидратации поверхности, а следовательно, и ее свойства для различных модификаций кремнезема (кварц, силикаты и алюмосиликаты), в противоположность точке зрения А. В. Киселева и сотрудников различны.

Объяснение причин систематического совпадения «абсолютных» изотерм и теплот адсорбции, приведенных в работах А. В. Киселева, если исключить возможность экспериментальных ошибок и некоторой предвзятости мнений авторов при изложении результатов, следует искать в методах определения удельной поверхности. Если последний определяется на изотерм адсорбции веществ, в той или иной степени избирательно адсорбирующихся на определенных центрах поверхности, например, на окислах, то полученные отсюда «абсолютные» изотермы и теплоты будут совпадать и совпадать даже для поверхностей, различающихся по степени гидратации и условиям, что энергия адсорбции остается неизменной. Избирательный характер адсорбции на неоднородной поверхности кремнезема наиболее ярко проявляется в случае адсорбции паров воды. Нельзя не согласиться с тем, что теория БЭТ дает для адсорбции воды и других веществ, способных вступать в водородную связь, на этой поверхности, а число активных центров» [11]. Деление экспериментальных величин на полученные таким образом величины удельных поверхностей приводит к порочному кругу — «абсолютные» изотермы и теплоты будут совпадать только потому, что при вычислении удельной поверхности качественно различие последней автоматически учитывается ее величиной.

Подводя итог изложенному выше, мы считаем, что продемонстрированные в работах А. В. Киселева случаи совпадения «абсолютных» изотерм адсорбции паров воды и метанола и теплот адсорбции этих веществ для широкого круга различных кремнеземов и алюмосиликатов недостаточно обоснованы с экспериментальной методической стороны. Попытки А. В. Киселева доказать таким путем тождественность свойств поверхности, с нашей точки зрения, не убедительны и бесперспективны. Гораздо более важным нам представляется исследование различий в свойствах поверхности адсорбционными методами, и выяснение причин этого различия, т. е. связи с объемной структурой, дефектами решетки, стехиометрическим составом силикатов и т. д. Особо отмечение при этом приобретает обоснование адсорбционных методов определения удельной поверхности. Мы считаем, что следует отказаться с большой осторожностью, и, возможно, полностью отказаться от использования для этих целей веществ, адсорбция которых носит резко выраженный избирательный характер. Во всяком случае необходимо критически пересмотреть применимость этих методов и внести необходимые поправки.

Московский Государственный
Университет
им. М. В. Ломоносова
физический факультет

ЛИТЕРАТУРА

2. K. Rideal, Trans. Faraday Soc., 32, 4, 1936.
А. В. Киселев, Коллоидн. ж. 2, 17, 1936.
K. Iler, The Colloid Chemistry of Silica and Silicates, N. Y., 1955.
I. Seifert, R. Buhe, K. F. Seifert, Kolloid-Z., 141, 146, 1955.
W. Stöber, Kolloid-Z., 145, 17, 1956.
Л. П. Жданов, А. В. Киселев, Ж. физ. химии 31, 2213, 1957.
И. Н. Микос, А. В. Киселев, М. А. Романчук, К. Д. Щербакова, Ж. физ. химии, 21, 1223, 1947.
А. В. Киселев, К. Г. Красильников, Н. Л. Покровский, И. Н. Авгуль, О. М. Джигит и К. Д. Щербакова, Ж. физ. химии 26, 986, 1952.
А. В. Киселев, Поверхностные химические соединения и их роль в явлениях адсорбции, 1957, стр. 90 и 199.
Л. П. Жданов, там же, 1957, стр. 129.
Н. Курбатов, там же, 1957, стр. 223.
А. В. Киселев, Г. Г. Муттик, Коллоидн. ж. 19, 562, 1957.
C. Sargant, Trans. Faraday Soc., 36, 964, 1940.
К. Д. Белякова, О. М. Джигит, А. В. Киселев, Ж. физ. химии, 1, 1577, 1957.
Н. Соболева, А. В. Киселев, Ж. физ. химии 32, 49, 1958.
G. Gibb, P. D. Ritchie, J. W. Shagre, J. Appl. Chem. 3, 213, 1953.
И. М. Егоров, К. Г. Красильников и В. Ф. Киселев, Ж. физ. химии, 32, 2448, 1958.
И. М. Камакин, А. В. Киселев, Докл. АН СССР, 80, 393, 1951.
И. М. Егоров, Ю. А. Зарифьянц, В. Ф. Киселев, К. Г. Красильников, Докл. АН СССР, 120, 326, 1958.
И. Н. Авгуль, О. М. Джигит, В. П. Древинг, М. В. Гурьев, А. В. Киселев, О. А. Лихачева, Докл. АН СССР, 77, 77, 1951.
А. А. Исирикян. Диссертация МГУ, 1957, стр. 180.
И. М. Егоров, Т. С. Егорова, В. Ф. Киселев, К. Г. Красильников, Ж. физ. химии 32, 2624, 1958.
-

ОТВЕТ НА СТАТЬЮ В. Ф. КИСЕЛЕВА И К. Г. КРАСИЛЬНИКОВА «К ВОПРОСУ ОБ «АБСОЛЮТНЫХ» АДсорбЦИОННЫХ СВОЙСТВАХ ПОВЕРХНОСТИ КРЕМНЕЗЕМА И СИЛИКАТОВ»

*Л. Д. Белякова, О. М. Джигит, А. В. Киселев,
Г. Г. Муттик и К. Д. Щербакова*

Ознакомившись со статьей В. Ф. Киселева и К. Г. Краси́льникова [1], а также с рядом статей этих авторов с сотрудниками, опубликованных в 1957—1958 гг., которые они ссылаются и которые содержат аналогичные положения, мы должны отметить, что эти авторы, во-первых, часто высказывают утверждения, которые уже опубликованы нами или другими авторами; во-вторых, по ряду вопросов не вполне освещают наши взгляды и, в-третьих, не рассматривают ряда работ других авторов, имеющих непосредственное отношение к затронутым вопросам.

Действительно, по основным вопросам адсорбции различных веществ на кремнеземах с разной степенью гидратации и с разной геометрической структурой авторы придерживаются взглядов, идентичных с высказанными нами ранее. Это видно из следующих примеров:

О роли гидратации поверхности и водородной связи

Наши работы:

1936 г. [2] «Все это указывает на решающую роль воды (структурной) в адсорбционной способности геля... Активная поверхность геля выполнена гидроксилами группами, связанными химически со скелетом SiO_2 -частицы».

С. П. Яданов 1949 г. [3]... «ОН-группы являются особыми местами поверхности на которых в первую очередь происходит адсорбция молекул воды».

1952 г. [4] «Усиление адсорбции воды и метилового спирта на гидратированной поверхности силикагеля, вероятно, связано с появлением возможности образования новых водородных связей».

1955 г. [5], стр. 110 «Адсорбционные свойства единицы поверхности силикагеля по отношению ко многим важным веществам, способным образовывать водородные связи с гидроксилами поверхности, зависят от степени ее гидратации».

1955 г. [5], стр. 117 «В случае адсорбции молекул воды основным видом взаимодействия является водородная связь».

1957 г. [6] «Молекулы воды связываются с поверхностными гидроксилами группами водородными связями и именно эти связи в основном определяют адсорбцию на гидратированной поверхности силикагелей и кварца».

Работы авторов [1]:

1957 г. [7] «Степень гидратации поверхности оказывает влияние на адсорбционное равновесие во всех случаях, когда адсорбция определяется преимущественно взаимодействием молекул адсорбата с гидроксилами поверхности».

1958 г. [8] «Адсорбционные свойства единицы поверхности кремнезема по отношению к веществам, способным образовывать водородные связи с гидроксилами поверхности, как показали наши исследования, существенно зависят от степени гидратации... (разрядка наша)».

1957 г. [7], 1958 г. [9] «Адсорбционными центрами в случае адсорбции молекул воды на прокаленных в воздухе образцах кремнезема являются гидроксильные группы [10], с которыми молекулы воды могут образовывать водородные связи».

О роли пористости силикагелей

Наши работы:

1955 г. [5], стр. 120) «...В случае небольших по размерам молекул азота это явление (адсорбционного потенциала в тонких порах) «весьма невелико». Оно незаметно в случае молекул воды, адсорбирующейся на гидратированном силикагеле в основном за счет образования водородных связей, действующих лишь на определенных, весьма коротких расстояниях».

Работы авторов [1]:

1957 г. [7], 1958 г. [9] «В случае адсорбции малых молекул воды, когда их взаимодействие в основном обусловлено проявлением водородной связи, действующей на весьма коротких расстояниях порядка 2,5—3 Å, влияние пористой структуры невидимому, еще меньше, чем при адсорбции молекул азота».

Таким образом, эти вопросы не являются дискуссионными, так как авторы [1] лишь повторяют выдвигавшиеся ранее положения, не ссылаясь на них.

В тех же случаях, где авторы [1] обращаются к нашим работам, они нередко допускают искажения и приписывают нам выводы, которых мы не делали, вплоть до прямо противоположных нашим. Приведем также несколько примеров.

1. Авторы [1] пишут, что причиной совпадения полученных нами абсолютных терм адсорбции, является использование величин удельной поверхности, определенных из тех же самых изотерм и говорят в этой связи о «порочном круге». В действительности же, сделанный нами вывод о близости адсорбционных свойств единицы поверхности непористых и крупнопористых кремнезёмов основан на практическом совпадении абсолютных изотерм адсорбции, для построения которых поверхность определялась независимо из низкотемпературной адсорбции пара азота* [16].

2. Авторы [1] приписывают нам выводу, что теплота смачивания не зависит от содержания гидроксидов на поверхности, тогда как уже в нашей работе 1936 г. [2] приведена таблица, иллюстрирующая влияние содержания гидроксидов (структурной воды силиката) на теплоту смачивания (см. табл. 1).

3. Авторы [1] пишут далее: «Разная ориентация тетраэдров на поверхности может соответствовать разному числу ОН-групп, связанных с ними кремния. Это обстоятельство приводит к тому, что полностью гидратированной поверхности, которую В. Киселов считает одинаковой для всех силикатов и кварца, в действительности не соответствует различная степень гидратации». Здесь авторы [1] сначала делают наши взгляды (отмечено разное), а затем противопоставляют им свои доводы, которые взяты из нашей работы [17], где написано: «Максимальная плотность расположения гидроксидов на поверхности кремнезёма может несколько зависеть от плотности упаковки кремнекислородных тетраэдров у поверхности». Сделанный же авторами [1] вывод об уменьшении максимальной степени гидратации поверхности кремнезёмов $\alpha_{\text{ОН}}$ с ростом удельной поверхности s нуждается в дальнейшей экспериментальной проверке. Это следует из рис. 1, где нами собраны соответствующие данные разных авторов [6, 16, 18–29]

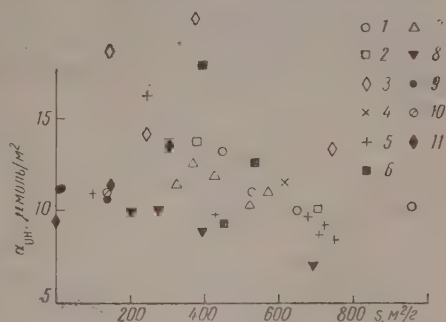


Рис. 1. Зависимость концентрации групп ОН на поверхности различных образцов кремнезёмов от величины удельной поверхности. Силикаты: 1 — [18, 19], 2 — [20], 3 — [21], 4 — [22], 5 — [23, 24], 6 — [25], 7 — наши данные [16], 8 — [25]; горный хрусталь, кварцевое стекло, аэросил: 9 — [27]; кремнезём, полученный сжиганием кремнийорганических соединений и гидратированный в воде: 10 — наши данные [6]; горный хрусталь, пористые стекла: 11 — [28, 29]

Температура обработки	120°	260°	360°	550°	800°	1100°
Содержание воды (структурной), %	5,11	4,60	3,93	2,56	1,3	—
Теплота смачивания, кал/г	21,5	20,15	19,50	15,60	10,0	0,1

силикатов (полученных из гидрогелей), пористых стекол, кварца, горного хрусталя и гидратированного кремнезёма, полученного сжиганием кремнийорганических соединений. Следует отметить, что в разных работах температура и продолжительность обработки образцов резко различались. Для правильного же сопоставления весьма не соблюдать условия, обеспечивающие удаление адсорбированной воды, но не затрагивающие гидроксильный покров**. Степень дисперсности кремнезёмов,

* В связи с этим следует напомнить, что абсолютными величинами адсорбции отличает от измеряемых на опыте относительных величин, зависящих от величины удельной поверхности адсорбента) мы назвали лишь величины, отнесенные к единице поверхности [11]. Переход к таким абсолютным величинам позволил сопоставить адсорбционные свойства кристаллических и аморфных адсорбентов, удельные поверхности которых часто отличаются на несколько порядков. Этим приемом теперь пользуются многие исследователи, в том числе и авторы [1]. Подобно тому как абсолютная температура давления пара жидкости зависит не только от ее природы, но и от состава, абсолютная величина адсорбции зависит от геометрической и химической структуры поверхности адсорбента.

** Вопрос о выборе таких условий давно уже дискутируется, причем большинство исследователей [16, 18, 21, 22, 28, 30] считают, что для обеспечения таких условий температура обработки кремнезёмов не должна превышать 100–200°. Авторы [1] в качестве стандартной температуры приняли 300°, что уже заведомо ведет к удалению части поверхностных групп ОН.

по-видимому, влияет на кинетику их дегидратации, причем уменьшение размер частиц должно облегчать протекание этой реакции [16]. Поэтому дегидратация высокодисперсных кремнезёмов должна проводиться особенно осторожно. Рост же дисперсности сам по себе должен быть связан не с уменьшением, а с ростом гидратации: предельно дисперсное состояние кремнекислоты — ее мономер $\text{Si}(\text{OH})_4$ — является наиболее гидратированным состоянием.

Рассмотрим теперь остальные замечания авторов [1].

1. Авторы [1] указывают на различное поведение кремнезёмов при гидратации. Однако мы также отмечали [6], что «в зависимости от происхождения кремнезёма гидратация его поверхности протекает по-разному как в отношении кинетики и необходимой для гидратации концентрации паров воды, так и в отношении предельного количества гидроксильных групп»...

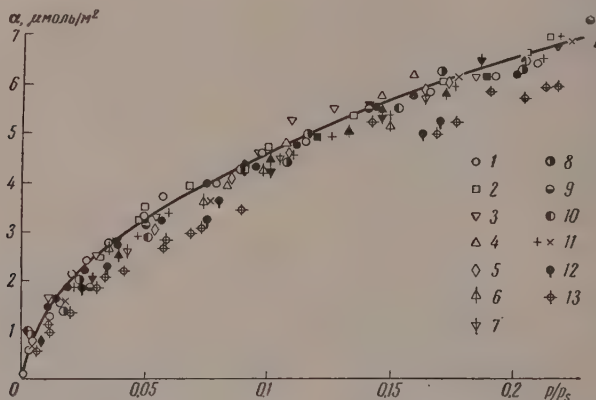


Рис. 2. Абсолютные изотермы обратимой адсорбции пара воды на кремнезёмах с гидратированной поверхностью: 1—5 — крупнопористые силикагели [16]; 6, 7 — крупнопористые силикагели [9]; 8—10 — крупнопористые пористые стекла [28]; 11 — горный хрусталь [31]; 12 — горный хрусталь [27]; 13 — кремнезём, полученный сжиганием кремнийорганических соединений [6]; черные точки — десорбция. Среднее значение $\alpha_{\text{ОН}} = 11 \pm 1 \mu\text{-моль/м}^2$ (в случае 9—11 эта величина не определялась)

2. Авторы [1] не согласны с нашим выводом о том, что «различие в упаковке кремнийкислородных тетраэдров в аморфных частицах скелета силикагеля и в кристаллах кварца существенно не сказывается на адсорбционных свойствах» (предел гидратированных поверхностей). Не соглашаясь с нами, сами авторы не приводят никаких-либо количественных данных о влиянии на адсорбцию этого фактора. Одна из рис. 2, на котором представлены абсолютные изотермы адсорбции пара воды на горном хрустале [27, 31], крупнопористых стеклах [28] и силикагелях [9, 16] и кремнезёме, полученном из кремнийорганических соединений [6], видно, что величины адсорбции мало отличаются друг от друга (в пределах $\pm 10\%$), в то время как удельные поверхности (определенные по адсорбции паров азота или аргона) изменяются до тысячи раз. Аналогичные результаты получены и для других паров [11—13, 17, 32—34]. Различные кристаллографические сечения, конечно, значительно отличаются как по концентрации поверхностных групп OH , так и по адсорбционным свойствам [27, 35]. Однако близость адсорбционных свойств аморфных кремнезёмов, дроблёного горного хрусталя не является неожиданной, если учесть, что кварц имеет заметной спайности, и при дроблении получают различные поверхности раскола. Разнообразное расположение тетраэдров у поверхности аморфных кремнезёмов не вызывает сомнений.

3. Авторы [1] утверждают, что их результаты [36] опровергают наш вывод [28] о том, что физическая адсорбция пара метанола мало чувствительна к тому, лежат ли под поверхностными гидроксильными группами и атомами кислорода атомы кремния или атомы алюминия. Однако этот наш вывод [37, 38] относится лишь к алюмосиликатам, содержащим менее 15—20% Al_2O_3 , тогда как авторы [36] исследовали алюмосиликаты, содержащие 15, 30 и даже 50% Al_2O_3 . Хорошо известно, что структура и адсорбционные свойства алюмосиликатов с большим содержанием окиси алюминия резко отличаются. Для образца же с 15% Al_2O_3 сами авторы [36] получили изотерму адсорбции метанола, близкую к соответствующей абсолютной изотерме д

силикатов. Отметим также, что удельные поверхности исследованных нами алюмосиликатов были стандартизированы по адсорбции азота [38, 39].

4. Что касается определения величин поверхностной концентрации гидроксильных групп α_{OH} , то эти величины надежны лишь в тех случаях, когда есть уверенность в том, что образцы являются однородно широкопористыми, и их внутреннюю поверхность можно надежно определить по азоту. При этом оказалось, что в случае максимумно гидратированного состояния поверхности этих силикатов величины α_{mOH} близки друг к другу [16], а также к величине, оцененной из вероятных сечений кристаллов β -кristобалита [10] и α -кварца [35]. Именно только в этих случаях полученные нами абсолютные изотермы обратной адсорбции пара воды на крупнопористых силикатах совпали между собой [16], а также с абсолютной изотермой адсорбции пара на ультрапористом образце горного хрусталя [31, 40]*. Близко расположены к нашей абсолютной изотерме адсорбции воды [16] и данные самих авторов [1, 9] для тех силикатов, которые по степени гидратации близки к нашим образцам. Для остальных образцов, примененных авторами [1, 9], степень гидратации которых существенно отличалась, и нельзя было ожидать совпадения абсолютных изотерм. Поэтому приво-дим работу [9] в качестве «проверочной» [1] результатов нашей работы [16] нельзя.

5. Что касается величин степени гидратации α_{OH} , полученных авторами для кварца [26], то С. П. Жданов показал [29, 31], что определение величины α_{OH} для кварца путем отнесения полной потери воды при прокаливании к единице поверхности найденной по адсорбции азота, может привести к ошибкам, потому что многие образцы являются ультрапористыми** из-за наличия микротрещин, не доступных парам, но вполне доступных для молекул азота.

6. Наконец, авторы [1] приходят к заключению, что надо полностью отказаться от использования для определения удельной поверхности «веществ, адсорбция которых носит резко выраженный избирательный характер», считая необходимым для этой цели применять лишь низкотемпературную адсорбцию азота [43]. Этот вывод неправилен. Это заставило бы отказаться от исследования структуры многих тонкопористых материалов, так как в настоящее время адсорбция пара воды является для этой цели единственным возможным способом: именно адсорбция воды, в отличие от азота, не испытывает заметного усиления при сужении пор. Если азот заполняет поры многих тонкопористых образцов силикатов уже в первичном адсорбционном процессе, то вода в этих случаях дает еще четкий капиллярно-конденсационный гистерезис, позволяющий исследовать структуру пор [34, 44]. Для изучения внутренней поверхности ультрапористых образцов ряда пористых стекол и кварцев [29, 31] адсорбция азота вообще неприменима. Кроме того, промышленные лаборатории нельзя ориентировать на определение поверхности только на основе адсорбции пара азота, тогда как быстрое определение на основе адсорбции паров воды, метанола, бензола и других сильно адсорбирующихся паров легко выполнимо и при условии соблюдения нужного режима подготовки образцов дает правильные результаты. Авторы исходят из того, что адсорбция пара азота не зависит от природы адсорбента [43]. Это неверно, так как адсорбция пара азота чувствительна не только к изменению дисперсионного, но и электростатического характера поверхности (молекула азота — квадруполь) [45, 46]. Кроме того, для исследования неоднородных и модифицированных поверхностей, так же как и смешанных катализаторов, особенно необходима как раз «резко избирательная адсорбция», т. е. новые хемосорбционные и изотопнообменные методы поочередного определения всех различных поверхностных функциональных групп, атомов, ионов.

Изложенное показывает, что авторы [1] не стремились объективно обсудить вопросы по природе адсорбции на кремнеземах, что не только не способствует выяснению принципиальных вопросов, но и мешает общей планомерной работе по проблемам адсорбции. Разделение труда между различными лабораториями и вместе с тем установление взаимного обмена объектами исследования, обмен новыми идеями, новыми методами работы — вот принцип, который должен быть руководящим в организации научной работы. Мы надеемся, что в дальнейшем авторы [1] будут придерживаться этого принципа.

Государственный университет
им. М. В. Ломоносова
Москва

Поступила
12.V.1959

* Совпадение абсолютных изотерм адсорбции паров воды на гидратированной поверхности разных образцов алюмосиликатов (независимо от их происхождения) отмечено де-Буром [41].

** Именно этим эффектом ультрапористости объясняется в основном и несовпадение изотерм адсорбции пара воды на тонкопористых силикатах [16, 32] и тонкопористых стеклах [42], если относить величину адсорбции к поверхности, определенной из адсорбции более крупных молекул (в частности, азота, метанола). Поэтому нельзя в качестве примера отклонения от нашей абсолютной изотермы приводить [1] величину адсорбции пара воды в $8,8 \mu\text{моль}/\text{м}^2$, полученную для весьма тонкопористого кварца [42].

ЛИТЕРАТУРА

1. В. Ф. Киселев, К. Г. Красильников, Ж. физ. химии, 33, 2629, 1959.
2. А. В. Киселев, Коллоидн. ж., 2, 17, 1936.
3. С. П. Жданов, Докл. АН СССР, 68, 99, 1949.
4. Н. Н. Авгуль, О. М. Джигит, А. В. Киселев, К. Д. Щербакова, Ж. физ. химии, 26, 977, 1952.
5. А. В. Киселев, Конференция по адсорбции, посвященная 200-летию М. В. Ломоносова, Сб. «Поверхностные химические соединения и их роль в явлениях адсорбции», Изд-во МГУ, стр. 90—128, 199—205, 365, 1957.
6. А. В. Киселев, Г. Г. Мутлик, Коллоидн. ж., 19, 570, 1957.
7. Б. В. Ильин, В. Ф. Киселев, К. Г. Красильников, Вестн. МГУ, № 6, 35, 1957.
8. В. Ф. Киселев, К. Г. Красильников, Тезисы докладов VIII Международного съезда, Изд-во АН СССР, стр. 127, 1958.
9. М. М. Егоров, Т. С. Егорова, К. Г. Красильников, В. Ф. Киселев, Ж. физ. химии, 32, 2624, 1958.
10. R. K. Iler, The Colloid Chemistry of Silica and Silicates, N. Y., 1955.
11. Н. Н. Авгуль, О. М. Джигит, В. П. Древинг, М. В. Гурьянов, А. В. Киселев, О. А. Лихачева, Докл. АН СССР, 77, 77, 1951.
12. Н. Н. Авгуль, О. М. Джигит, А. А. Исирикян, А. В. Киселев, К. Д. Щербакова, Докл. АН СССР, 77, 625, 1951.
13. А. В. Киселев, Ю. А. Эльтеков, Ж. физ. химии, 29, 904, 1955.
14. А. В. Киселев, Сб. «Труды Комиссии по аналитической химии», Изд-во АН СССР, 1955, т. 6, стр. 46.
15. А. В. Киселев, Ю. А. Эльтеков, Ж. физ. химии, 31, 250, 1957.
16. Л. Д. Белякова, О. М. Джигит, А. В. Киселев, Ж. физ. химии, 31, 1577, 1957.
17. А. В. Киселев, Успехи химии, 25, 705, 1956.
18. J. H. De Boer, M. E. A. Hermans, J. M. Vleeskens, Konink. akad. ned. nederl. Akademie van wetenschappen—Amsterdam, S. B. 60, 45, 1957.
19. J. H. De Boer, J. M. Vleeskens, Konink. nederl. Akademie van wetenschappen—Amsterdam, S. B. 60, 234; S. B. 61, 85, 1958.
20. S. Brinzaur, D. L. Kantro, C. H. Weise, Canad. J. Chem., 34, 1483, 1956.
21. S. A. Greenberg, Journ. Phys. Chem., 60, 325, 1956.
22. H. W. Kohlschütter, G. Kämpf, Z. anorg. allgem. Chem., 292, 298, 1956.
23. J. Bastick, Bull. Soc. chim. France, 437, 1953.
24. J. Bastick, Chimie et Industrie, 78, 9, 1957.
25. В. А. Дэвиско, А. А. Влшневская, В. С. Чесалова, Ж. физ. химии, 24, 1416, 1950.
26. М. М. Егоров, К. Г. Красильников, В. Ф. Киселев, Ж. физ. химии, 32, 2448, 1958.
27. W. Stöber, Kolloid-Z., 145, 17, 1956.
28. С. П. Жданов, Ж. физ. химии, 32, 699, 1958.
29. С. П. Жданов, Докл. АН СССР, 123, 716, 1958.
30. J. Sharipo, H. G. Weiss, J. Phys. Chem., 57, 219, 1953.
31. С. П. Жданов, Докл. АН СССР, 120, 103, 1958.
32. О. М. Джигит, Диссертация, МГУ, 1957.
33. А. А. Исирикян, А. В. Киселев, Докл. АН СССР, 119, 731, 1957.
34. А. П. Карнаухов, А. В. Киселев, Е. В. Храпова, Докл. АН СССР, 94, 915, 1954.
35. С. П. Жданов, А. В. Киселев, Ж. физ. химии, 31, 2213, 1957.
36. М. М. Егоров, Ю. А. Зарифьянц, В. Ф. Киселев, К. Г. Красильников, Докл. АН СССР, 120, 326, 1958.
37. Н. М. Камакин, А. В. Киселев, Докл. АН СССР, 80, 393, 1951.
38. А. В. Киселев, Сб. «Методы исследования структуры высокодисперсных и пористых тел», Изд-во АН СССР, 1953, стр. 86.
39. В. П. Древинг, А. В. Киселев, О. А. Лихачева, Докл. АН СССР, 82, 277, 1952.
40. А. В. Киселев, Сб. The Structure and Properties of Porous Materials, London, 1958, P. 195.
41. J. H. De Boer, C5. The Structure and Properties of Porous Materials, London, 1958, P. 242.
42. С. П. Жданов, Сб. «Поверхностные химические соединения и их роль в явлениях адсорбции», Изд-во МГУ, 1957, стр. 129.
43. К. Г. Красильников, В. Ф. Киселев, Н. В. Капитанова, Е. А. Сысоев, Ж. физ. химии, 31, 1448, 1957.
44. О. М. Джигит, А. В. Киселев, П. Е. Неймарк, Ж. физ. химии, 28, 1804, 1954.
45. А. В. Киселев, Е. В. Храпова, Коллоидн. ж., 19, 572, 1957.
46. G. L. Kingston, C5. The Structure and Properties of Porous Materials, London, 1958 P. 59.

ПИСЬМА В РЕДАКЦИЮ

О КИНЕТИКЕ ОБРАТИМОЙ АДсорбЦИИ КИСЛОРОДА
ПОВЕРХНОСТЬЮ НЕКОТОРЫХ МЕТАЛЛОВ

Н. К. Андрущенко и Н. А. Шишаков

При исследовании кинетики поглощения кислорода свежеконденсированными металлами при комнатной температуре методом натекания [1] нами было обращено внимание на то, что только в некоторых случаях процесс протекает с быстрым насыщением, вероятно, по логарифмическому закону. Примером могут служить исследования слоев алюминия, железа и магния [2]. В ряде случаев вслед за этой быстрой стадией процесса наблюдается также и медленная адсорбция кислорода. Например, в случае платины (рис. 1) эта медленная стадия продолжается даже через пять суток после начала взаимодействия с кислородом, при этом экспериментальную кривую ($Pt-I$) удается возможным разложить на экспоненциальную кривую ($a_1 = 2,36 \times 10^{15} (1 - e^{-t/12})$ мол/см² час) и на параболу ($a_2 = 0,17 \cdot 10^{15} \sqrt{t}$ мол/см² час). Было замечено также, что после продолжительной обезгаживания реакционного сосуда (3 суток) при комнатной температуре эта платина оказывается способной снова поглощать кислород, сначала сравнительно быстро, а затем примерно с той же скоростью, как и в медленную стадию в первый раз (кривая $Pt-II$).

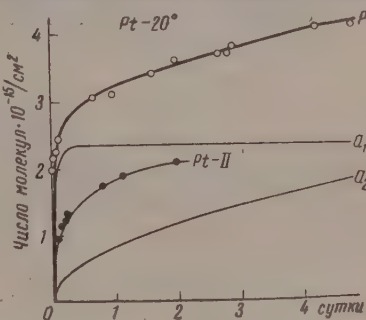


Рис. 1

Систематическое исследование этих явлений привело к заключению, что они имеют место и на других объектах — меди, серебре, германии и кремнии (также конденсиро-

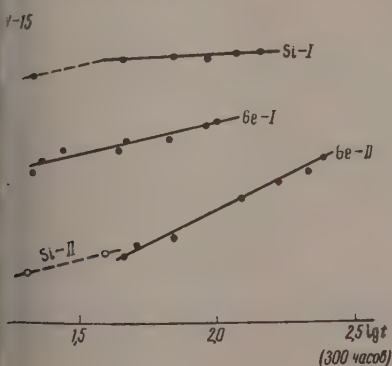


Рис. 2

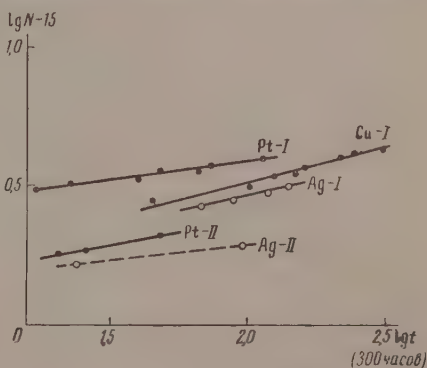


Рис. 3

ванных в вакууме на внутреннюю поверхность стеклянной колбы). Результаты исследования представлены на рис. 2 и 3, где римской цифрой 1 обозначена адсорбция свежеконденсированным слоем, а цифрой II — повторная адсорбция после 5—6-дневного обезгаживания при комнатной температуре. Рисунки показывают, что во всех этих случаях — в интервале времени от 20 до 300 час. — медленная стадия адсорбции под-

чиняется параболическому закону, что указывает на диффузионный характер явления происходящих на поверхности.

На существование таких поверхностных кислородных слоев, способных улетучиваться в вакууме, указывают и исследования других авторов. В работе Делла было показано, что кислород хорошо адсорбируется при 25° поверхностью пористого германия, очищенного от поверхностной окиси нагреванием в вакууме при 85° . Изначальная быстрая стадия адсорбции сменяется медленным процессом, причем даже после 5-часового взаимодействия еще наблюдалось захватывание кислорода. В пределах давлений 0.1—0.6 мм рт. ст. количество адсорбированного кислорода оказывается почти не зависящим от давления. Для первых двух часов взаимодействия Деллом была найдена логарифмическая зависимость адсорбции от времени, что противоречит нашим данным.

В работе Зеттлмайера с соавторами [4] также было замечено, что на никеле, бальте и меди кроме обычной хемосорбции и обычной физической адсорбции имеет место при -195° образование также и прочно связанных слоев кислорода, способных улетучиваться при размораживании. Можно предполагать, что этот вид адсорбции, который авторы называют прочной физической адсорбцией, является по своей природе сходным с наблюдавшейся нами адсорбцией.

Дополнительные сведения о природе этой обратимой адсорбции можно получить на основании оптических и электронографических исследований. Недавно нами было показано [5], что при атмосферном давлении кислорода толщина кислородных слоев, способных улетучиваться в вакууме, может достигать величины 25 Å и даже более. Было высказано предположение, что молекулы кислорода в таких слоях располагаются своими большими осями нормально к поверхности металла [5].

Поступила

18.II.1959

ЛИТЕРАТУРА

1. C. Zickermann, Z. Phys., 88, 43, 1934; С. М. Файнштейн, Ж. физ. химии, 21, 37, 1947; Н. К. Андрущенко и П. Д. Данков, Докл. АН СССР, 62, 353, 1948.
2. Н. К. Андрущенко и Н. А. Шишаков, Ж. физ. химии, 30, 1071, 1966, 1956.
3. R. M. Dell, J. Phys. Chem., 61, 1584, 1957.
4. A. C. Zettlemoyer, Y. F. Yu, J. J. Chessik, F. H. Healey, J. Phys. Chem., 61, 1319, 1957.
5. В. В. Андреева и Н. А. Шишаков, Ж. физ. химии, 32, 1671, 1958.
6. Н. А. Шишаков, Ж. физ. химии, 32, 1171, 1958; Н. А. Шишаков, В. В. Андреева, Н. К. Андрущенко. Строение и механизм образования окисных пленок на металлах. Изд-во АН СССР, М., 1959.

К ТЕОРИИ ГИДРАТАЦИИ ИОНОВ В ВОДНЫХ РАСТВОРАХ

(по поводу экспериментальных результатов работы
Конника и Поулсона)

О. Я. Самойлов

В связи с исследованием гидратации ионов в водных растворах большой интерес представляет работа Конника и Поулсона [1], посвященная определению метода ядерного магнитного резонанса скоростей обмена молекул воды, составляющих непосредственное окружение ряда катионов в водных растворах. В этой работе впервые в литературе приводятся оценки средних времен пребывания молекул воды в первой координационной (фере ионов (величин τ_i). Установлено, в частности, что при комнатной температуре для катиона Fe^{3+} $\tau_i \leq 9 \cdot 10^{-7}$ сек., а для катиона Mg^{2+} $\tau_i \leq 1 \cdot 10^{-7}$ сек.

Ранее нами [2, 3] в качестве количественных характеристик ближней гидратации ионов в водных растворах были предложены величины τ_i/τ и ΔE_i . Величина τ представляет обоим среднее время, проводимое молекулой воды в воде в одном из положений равновесия, а ΔE_i — различие энергии активации обмена молекул воды в первой координационной сферы ионов на другие молекулы воды раствора (τ и ΔE_i) и энергии активации обмена ближайших молекул в воде (E). Отношение τ_i и величины ΔE_i связаны соотношением

$$\frac{\tau_i}{\tau} \approx e^{\Delta E_i / RT}. \quad (1)$$

Запишем это приближенное соотношение более точно

$$\frac{\tau_i}{\tau} = \frac{\tau_{oi}}{\tau_0} e^{\Delta E_i / RT},$$

где τ_0 и τ_{oi} — предэкспоненциальные множители в выражениях, соответственно, для τ_i и τ_{oi} . Множитель τ_0 приближенно равен половине периода колебаний молекул воды вблизи положений равновесия в воде, множитель τ_{oi} — половине периода колебаний молекул в первой координационной (фере ионов. Для ионов вблизи границ между положительной и отрицательной гидратацией можно принять, что $\tau_{oi} = \tau_0$. Для ионов, которым свойственна положительная гидратация, $\tau_{oi} < \tau_0$, и поэтому для таких ионов соотношение (1) (так же как и результаты работы Конника и Поулсона) дает верхний предел величины τ_i .

Величина τ была определена из данных по спектрам комбинационного рассеяния света водой и по самодиффузии в воде. Было установлено, что при 25° $\tau = 1,7 \cdot 10^{-10}$ сек. [4]. Был разработан способ оценки значений ΔE_i для отдельных ионов в водных растворах по данным по самодиффузии в воде и по температурным коэффициентам подвижностей ионов в растворах [3, 4]. Из полученных значений ΔE_i для отдельных ионов следовало, что обмен ближайших к ионам молекул воды раствора на другие молекулы воды протекает весьма быстро. Из рассмотренных ионов наибольшее значение τ_i (соответственно катиону Mg^{2+} , но было найдено, что и для этого катиона верхний предел τ_i составляет всего лишь $1,5 \cdot 10^{-7}$ сек. ($\tau_i/\tau \leq 86,3$, $\Delta E_i \leq 2,61$ ккал/моль). Казалось бы, что столь большие скорости обмена ближайших к ионам молекул воды раствора противоречат весьма большим значениям энергий гидратации ионов. Было показано, что в действительности это не так [3, 4]. Однако температурных данных, с которыми можно было бы сопоставить полученные результаты (хотя бы по порядку величины), до настоящего времени не было. Первые такие данные приведены в работе Конника и Поулсона [1]. По результатам этой работы для катиона Mn^{2+} $\tau_i \leq 1 \cdot 10^{-7}$ сек., т. е. $\tau_i/\tau \leq 59$ и $\Delta E_i \leq 2,4$ ккал/моль.

Значения τ_i / τ зависят от радиуса иона (увеличиваются с уменьшением радиуса иона). Поскольку радиус иона Mg^{2+} составляет 0,74 Å, а Mn^{2+} — 0,91 Å [5], полученные в работе Конника и Поулсона значения верхнего предела величины τ_i для катиона Mn^{2+} можно рассматривать как экспериментальное подтверждение приводимых ранее количественных характеристик ближней гидратации ионов.

Оценки значений ΔE_i по имеющимся экспериментальным данным носят весьма приближенный характер. Вряд ли можно получить значения ΔE_i непосредственно из данных по самодиффузии воды в водных растворах электролитов (здесь имеется ряд осложняющих обстоятельств, на которые обращено внимание в работе Вая [6]). Поэтому представляет интерес полученное в последнее время [7] уравнение, связывающее величины ΔE_i с координационными числами ионов в водных растворах (средними числами постоянно сменяющихся молекул воды, составляющих непосредственное окружение ионов)

$$\frac{n_i}{4\pi R_i^2} = \frac{n}{4\pi R_0^2} \frac{j_0}{j_{oi}} e^{\Delta E_i / RT},$$

где n_i и R_i — координационное число и радиус первой координационной сферы иона в растворе, n и R_0 — соответствующие величины для молекул воды в воде, а j_0 и j_{oi} — предэкспоненциальные множители в выражениях для средних (за 1 секунду) чисел активированных скачков молекул воды в воде (j_0) и молекул воды из первой координационной сферы ионов (j_{oi}). Величины j_0 и j_{oi} связаны с частотами колебаний молекул во временных положениях равновесия (приблизительно равны удвоенным частотам). Поскольку величины n , R_0 и j_0 известны [4], уравнение (2) позволяет рассчитывать величины ΔE_i из значений n_i и R_i , определяемых, например, рентгенографически, если известны частоты колебаний молекул воды в первой координационной сфере иона. В ряде случаев (для ионов вблизи границы межположительной и отрицательной гидратаций) можно принять, что $j_0 / j_{oi} \approx 1$. Вместе с тем уравнение (2) может быть использовано и для оценки величин j_{oi} .

Академия наук СССР
Институт общей и неорганической
химии им. Н. С. Курнакова

Поступила
25.VI.1959

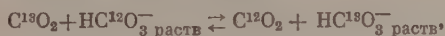
ЛИТЕРАТУРА

1. R. E. Connick, R. E. Poulson, J. Chem. Phys., 30, 759, 1959.
2. О. Я. Самойлов, Изв. АН СССР, Отд. хим. н., № 2, 242, 1953.
3. О. Я. Самойлов, Disc. Faraday Soc., № 24, 141, 1957.
4. О. Я. Самойлов, Структура водных растворов электролитов и гидратация ионов, Изд-во АН СССР, 1957.
5. Г. Б. Бокий, Введение в кристаллохимию, Изд-во МГУ, 1954.
6. J. H. Wain, J. Phys. Chem., 58, 686, 1954.
7. О. Я. Самойлов, Докл. АН СССР, 126, 330, 1959.

НОВОЕ В ИСПОЛЬЗОВАНИИ ИЗОТОПНОГО ОБМЕНА МЕЖДУ, CO_2 И CO_3^- ДЛЯ РАЗДЕЛЕНИЯ ИЗОТОПОВ УГЛЕРОДА И КИСЛОРОДА

И. А. Семиохин, Г. М. Панченков и Ю. А. Журов

В литературе [1, 2] известно, что разделение изотопов углерода бикарбонатным методом при атмосферном давлении малоэффективно вследствие малой растворимости в водных растворах солей. Так, в опытах Н. Н. Туницкого с сотрудниками [2] лучшей насадке в двухметровой колонке осуществлялось разделение эффективно примерно в три теоретических тарелки, т. е. высота, эквивалентная одной теоретической тарелке (ВЭТТ), составляла 62 см. Разделение изотопов углерода этим методом, т. е. с использованием обменной реакции:



идет при повышении давления в системе благодаря увеличению растворимости CO_2 [1—3]. Однако при этом значительно возрастает время достижения стационарного состояния [2] и возникают аппаратные трудности, связанные с применением повышенного давления.

Растворимость CO_2 можно увеличить, добавляя к водному раствору бикарбоната органические смешивающиеся с водой органические растворители, такие, как спирты, и др. Из литературы [4] известно, что растворимость CO_2 при 20° в 1 объеме растворителя составляет: в воде $l = 0,900$, в чистом метиловом спирте $l = 3,57$, а в смеси $l = 6,98$.

Этот принцип, т. е. использование смешанных растворителей, может быть применен и в других реакциях изотопного обмена, эффективность разделения изотопов определяется растворимостью реагентов (особенно газов).

Были проведены опыты с добавлением 5% метилового спирта и 5% ацетона по отношению к 20%-ному раствору бикарбоната калия. Для сравнения приведен опыт без добавок. В качестве насадки использовался синтетический алюмосиликатный катализатор в виде столбиков с содержанием Al_2O_3 16,0% и размерами столбиков $3,5 \times 5 = 6$ мм. При употреблении насадка промывалась теплым раствором соляной кислоты и дистиллированной водой. Колонка высотой 2 м и диаметром 16 мм во время опытов содержалась термостатированной водой до 20° . Скорость подачи раствора бикарбоната калия в колонку составляла $4,0 \pm 0,1$ мл/мин. Результаты опытов приведены на рисунке. Из рисунка видно, что добавка 5% метилового спирта практически не влияет на разделение изотопов углерода. В то же время добавка 5% ацетона приводит к увеличению общего коэффициента разделения от 1,044 (без добавок) до 1,100 через 24 работы колонки. Значение высоты эквивалентной теоретической тарелки уменьшается при этом от 53 до 25 см.

Можно предположить, что этот эффект обусловлен как увеличением растворимости в системе вода — ацетон, так и возможным проявлением другой конкурирующей обменной реакции типа:

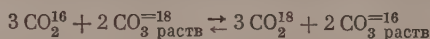


где А — ацетон.

Последнее предположение требует дополнительного исследования. Изотопный обмен в системе $\text{CO}_2 - \text{HCO}_3^- - \text{CO}_3^{2-}$ предлагается нами для концентрирования изотопа O^{18} . Поскольку вычисленная сотрудниками нашей лаборатории

В то же время Юри с сотрудниками [5] показал, что использование раствора в чистом ацетоне неэффективно по отношению к разделению изотопов углерода.

В. К. Коровкиным по методу Бигеляйзена [6] константа равновесия* реакции:



оказалась больше единицы ($K_{293} = 1,42$), можно было ожидать при концентрации O^{18} накопления его в газовой фазе. Поэтому при работе колонки обращение необходимо осуществлять в верхней части колонки, в абсорбере, а в качестве исходного вещества надо использовать двуокись углерода. В качестве насадок абсорбента при поглощении CO_2 раствором КОН нами применялись стеклянные кольца диаметром 2 мм. Абсорбер охлаждался водой до 20° .

Высота слоя насадки в абсорбере подбиралась опытным путем по измерению раствора, вытекающего из нижней части абсорбера. В верху абсорбера подава-

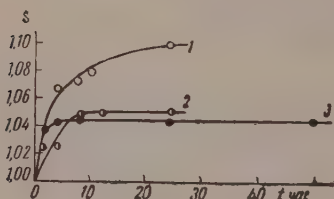


Рис. 1

Рис. 1. Зависимость общего коэффициента разделения от времени при использовании смешанных растворителей: 1—5% ацетона; 2—5% метилового спирта; 3—водный раствор без добавок

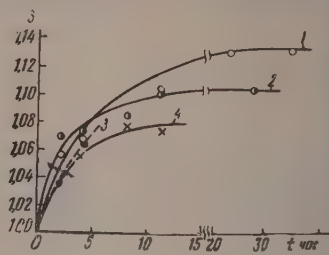


Рис. 2

Рис. 2. Зависимость общего коэффициента разделения от времени при использовании разных насадок: 1 — БАУ; 2 — нихромовые спиральки; 3 — глина Асканского месторождения; 4 — катализатор в виде шариков.

12,4%-ный раствор КОН, внизу — CO_2 с такой скоростью, которая отвечала 1 моль CO_2 на 1 или 2 моля КОН. Если подавали 1 моль CO_2 на 1 моль КОН, то даже высоте слоя насадки в 80 см значительная часть CO_2 не поглощалась щелочью и уходила из колонки. При этом pH раствора не был менее 9,6. При подаче 2 моль КОН на 1 моль CO_2 вся двуокись углерода поглощалась в абсорбере, причем pH = 12,4, т. е. отвечал pH раствора карбоната калия.

Опыты по разделению изотопов кислорода проводились при 20° в колонке высотой 2 м и диаметром 16 мм. В качестве насадок использовались синтетический алюмосиликатный катализатор в виде столбиков, синтетический шариковый алюмосиликатный катализатор ($d = 4$ мм) с содержанием 11,5% Al_2O_3 и 83,9% SiO_2 , глина Асканского месторождения, содержащая 16,5% Al_2O_3 и 75,4% SiO_2 , нихромовые спиральки ($d = 1,5$ мм; $l = 2,5$ мм) и активированный уголь (БАУ) ($\approx 1 \times 2 \times 3$ мм). Глина и алюмосиликат перед употреблением прокаливались в токе очищенного воздуха при 500° и промывались соляной кислотой до удаления следов железа. При использовании этих трех насадок скорость подачи CO_2 равнялась 8 л/час, щелочи — 4,8 мл/мин. В работе с последними насадками скорость подачи CO_2 составляла 6 л/час, щелочи — 3,5 мл/мин. Насадки, содержащие окись алюминия, оказались неактивными по отношению к разделению изотопов кислорода. Кроме того, из них постепенно вымывалась гидроокись алюминия, которая закупоривала колонку. Самой неустойчивой насадкой оказалась алюмосиликатный катализатор в виде столбиков, когда опыт пришлось прекратить через 1,5 часа. Колонка с глиной закупорилась через 4,5 часа, с шариковым катализатором — через 12 час. работы. На рис. 2 представлены результаты опытов по разделению изотопов кислорода. Как видно из рисунка, на лучшей из использованных насадок (БАУ) получен значительный коэффициент разделения $S = 1,135$. Поскольку в наших первых опытах CO_2^{18} не конвертировалась в H_2O и КОН, при осуществлении конверсии, по-видимому, получатся более высокие коэффициенты разделения. Нами проводится дальнейшее исследование влияния различных факторов на разделение изотопов углерода и кислорода по описанным выше методам.

Считаем своим долгом выразить благодарность Л. Н. Горохову за большую помощь при масс-спектрометрическом анализе.

Московский государственный университет им. М. В. Ломоносова

Поступила 9. VI. 1959

* Вычисленный по формуле А. И. Бродского [7] коэффициент однократного деления в этом случае оказывается равным

$$\alpha_{293} = \sqrt[6]{K_{293}} = 1,06.$$

ЛИТЕРАТУРА

- F. Reid, H. C. Urey, J. Chem. Phys., 11, 403, 1943.
- Н. Туницкий, Г. Г. Девятых, М. В. Тихомиров, А. Д. Зонин, Н. И. Николаева, Тр. Всесоюзной научно-технической конференции по применению радиоактивных и стабильных изотопов и излучений в народном хозяйстве и науке, Изд-во АН СССР, М., 1958, стр. 141.
- F. Reid, U. S. P. 2435796, CA 4; 22522; 1948 г.
- Seidell, Solubilities of Inorganic and Metal Organic Compounds, 3d ed., т. I, стр. 233, 1943.
- C. Urey, G. A. Mills, J. Roberts, H. G. Thode, J. R. Huffman, J. Chem. Phys., 7, 138, 1939.
- Bigeleisen, M. G. Mayer, J. Chem. Phys., 15, 261, 1947.
- И. Бродский, Химия изотопов, Изд-во АН СССР, М., 1957, стр. 348.
-

О КАРБАНИОННОМ МЕХАНИЗМЕ ПОЛИМЕРИЗАЦИИ
ПОД ДЕЙСТВИЕМ ГАММА-ЛУЧЕЙ

А. Д. Абкин, А. П. Шейнкер, Л. П. Межирова

Исследования в области радиационной полимеризации, выполненные ранее, приводили к выводу о радикальном механизме полимеризации под действием ядерных излучений. Однако литературные данные [1] о полимеризации изобутилена, а также данные о совместной полимеризации изобутилена с хлористым винилidenом и стирола с метилметакрилатом, полученные нами [2], указывают, что в определенных условиях, в частности, при низких температурах под влиянием ядерных излучений полимеризация протекает по карбанионному механизму. Карбанионный механизм полимеризации под действием ядерных излучений в литературе не был описан.

В настоящее время нами получены данные, свидетельствующие о возможности осуществления полимеризации под действием гамма-лучей не только по карбониевому, но и по карбанионному механизму. При этом было установлено, что способные к полимеризации по тому или иному механизму (карбониевый или карбанионный) определяется не только химическим строением мономера, но и природой среды, в которой проводится полимеризация. В таблице приведены данные о полимеризации в акриловой кислоты и стирола в различных растворителях при температуре -78°C под действием гамма-лучей (интенсивность 150 рентген/сек).

Мономер	Концентрация мономера моль/л	Скорость полимеризации (моль/л. сек. 10^6) в			
		хлористом этиле	диметил-формамиде	триэтил-амине	«массе»
Стирол	2,0	1,95	Не полимеризуется	—	—
Акрилонитрил	3,5	Не полимеризуется	0,97	0,67	0,21

Из табл. видно, что нитрил акриловой кислоты полимеризуется в растворителе с электронодонорными заместителями (триэтиламин, диметилформамид) и не полимеризуется в растворителе, обычно используемом при проведении карбониевой полимеризации (хлористом этиле), содержащем электрофильные группы. Наоборот, стирол полимеризуется лишь в хлористом этиле.

Эти данные уже могут указывать на то, что нитрил акриловой кислоты, молекулы которого содержит электроотрицательную группу, полимеризуется в выбранных условиях не по радикальному, а по карбанионному механизму. Особенно убедительные данные, подтверждающие карбанионный механизм полимеризации под действием гамма-лучей, получены нами при исследовании совместной полимеризации нитрила акриловой кислоты и стирола в растворе диметилформамида при -78°C . Так, совместные полимеры, полученные в этом случае, сильно обогащены нитрильным компонентом по сравнению с исходной смесью во всем интервале составов исходной смеси (данные инфракрасных спектров и элементарного анализа полимеров).

Как известно, в случае радикальной полимеризации для этой пары мономеров характерно образование азеотропа [3].

Подробные результаты выполненного исследования будут опубликованы дополнительно.

Авторы выражают благодарность академику С. С. Медведеву за интерес к работе.

ЛИТЕРАТУРА

- W. H. T. Davison, S. H. Pinner, R. Worrall, Chem. a. Ind., 1958, № 38, 1274. R. Worrall, A. Charlesby, Journ. Appl. Rad. a. Is. 4, 84, 1958. R. Worrall, S. H. Pinner, J. Pol. Sci. 34, № 127, 229, 1959.
- А. П. Шейнкер, М. К. Яковлева, Э. В. Кристаллин, А. Д. Абкин, ДАН СССР 124, № 3, 632, 1959.
- Абкин А. Д. Докторская диссертация. Физико-химический институт им. К. Л. Павлова, Москва, 1951 г.

СОДЕРЖАНИЕ

Материалы Всесоюзного совещания по термодинамике и строению растворов (Январь 1958 г.)

В. Ваталло. Применение вариационного метода для расчета функций распределения молекул в жидкости	2393
Е. Луцкий и Е. М. Обухова. Ассоциация и концентрационная зависимость физических свойств бинарных смесей	2397
Д. Щерба и А. М. Сухотин. Изучение гидратации ионов с помощью инфракрасных спектров поглощения	2401
М. Сухотин. Об ассоциации ионов в растворах	2405
А. Саржевский и А. Н. Севченко. Люминесцентный метод определения объемов сольватных оболочек молекул в растворах	2410
М. Рыжков и А. М. Сухотин. Электрохимическое исследование неводных растворов хлористого водорода	2414
Г. Микulin. Эффект диэлектрического насыщения растворителя в электростатической теории растворов	2419
Г. Микulin. Термодинамическая интерпретация гидратной теории растворов электролитов	2424
Ф. Лантратов и А. Ф. Алабышев. Исследование термодинамических свойств жидких металлических растворов калия с таллием, свинцом и висмутом	2429
Уард Гала. Равновесие жидкость — пар	2435

Материалы Конференции по физике и физико-химии катализа (Март 1958 г.)

М. Жаброва, В. И. Владимирова и Е. В. Егоров. Влияние сорбированных примесей на каталитические свойства окиси цинка	2442
А. Головина, М. М. Сахаров, С. З. Рогинский и Е. С. Докучкина. Изотопные данные о роли плоских цепей в синтезе углеводородов из окиси углерода и водорода	2451
М. Бродский, Р. А. Калинин, К. П. Лавровский и В. Б. Титов. О механизме высокотемпературного крекинга этана	2457
З. Рабовская. Применение ионообменных смол в качестве катализаторов в органическом синтезе	2467
А. Баландин, Е. И. Карпейская и А. А. Толстопятова. Принцип структурного соответствия и каталитические свойства рения	2471
А. Баландин, О. К. Богданова и А. П. Щеглова. Влияние строения молекул спиртов на кинетику их дегидрогенизации	2476
А. Баландин и Е. И. Клабуновский. Стереохимическое изучение механизма катализа	2480
А. Баландин, Л. Х. Фрейдли и Н. В. Пикифорова. Кинетика избирательного каталитического гидрирования бифункциональных перекизо- и гидроперекисей над никелем	2485
А. Баландин и Н. А. Васюнина. Гидрирование моносахаридов и многоатомных спиртов и мультиплетная теория катализа	2490
А. Баландин и Е. И. Клабуновский. Действие ферментов и оптически-активных катализаторов с точки зрения мультиплетной теории катализа	2492
Г. Добычин и Т. Ф. Целлигская. К вопросу о постоянстве каталитической активности единицы поверхности твердых катализаторов	2498
В. Агафонов, М. А. Калико, И. Э. Гельмс, М. Н. Первушина и З. И. Рабинович. Физико-химические свойства и каталитическая активность некоторых природных материалов, используемых для приготовления катализаторов крекинга	2504
С. Семенова и Л. И. Пигузова. Окисный алюмосиликат-молибденовый катализатор для процесса деструктивной гидрогенизации тяжелого нефтяного сырья	2509
С. Никитин. Исследование пористой структуры и каталитической активности шариковых алюмосиликатных катализаторов	2513

- М. А. Калико. Образование и природа активных центров алюмосиликатных катализаторов 21
- О. А. Стрельцов, М. Т. Русов и В. К. Скарченко. Влияние условий формирования на удельную активность аммиачного катализатора 21
- О. М. Полтораки. Термодинамика кристаллических катализаторов 21
- В. В. Болдырев. О применении электронной теории адсорбции к изучению кинетики и механизма топочимических реакций 21
- Л. Д. Кузнецов и С. С. Лачинов. О влиянии промоторов Al_2O_3 и K_2O на активность железного катализатора синтеза аммиака 21
- Л. И. Авраменко и Р. В. Колесникова. Элементарная реакция образования атомов кислорода на поверхности стекла 21
- О. В. Крылов и Е. А. Фокина. Изучение некоторых каталитических реакций на поверхности окиси кальция 21
- В. Д. Крылов, Л. Х. Фрейдлин и И. Ф. Жукова. Исследование влияния паров воды на активность и структуру скелетного никелевого катализатора 21
- И. А. Мясников. Изучение промежуточных продуктов гетерогенно-каталитической реакции методом измерения электропроводности 21
- Ф. П. Ивановский, В. А. Донцова и Г. С. Бескова. Кинетика каталитического гидрирования сероуглерода на сульфидах железа, никеля и кобальта 21
- Н. М. Попова и Д. В. Соколовский. Механизм гидрирования бензохинона на Pt, Pd $CaSO_3$ и скелетном Ni 21
- Д. В. Соколовский и Г. Д. Закумбаева. Влияние добавок бромистого калия на механизм каталитического гидрирования некоторых органических соединений 21
- Ю. Г. Сивер. Нестационарные электродные процессы в перемешиваемых средах. I 21
- С. Н. Задулкин. Влияние агармоничности колебаний ионов на поверхностное натяжение металлов 21
- Е. И. Гурович и М. С. Матвеева. Измерения потенциалов металлов в солевых расплавах 21

Методы и техника физико-химического исследования

- Т. А. Колач и В. Б. Зенкевич. Адиабатическая оболочка калориметра 25
- А. Т. Васько, Д. П. Зосимович. Электронная установка для быстрого снятия поляризационных кривых 27

Дискуссия

- В. Ф. Киселев и К. Г. Красильников. К вопросу об «абсолютных» адсорбционных свойствах поверхности кремнезема и силикатов 21
- Л. Д. Белякова, О. М. Джигит, А. В. Киселев, Г. Г. Муттик и К. Д. Шербакова. Ответ на статью В. Ф. Киселева и К. Г. Красильникова. К вопросу об «абсолютных» адсорбционных свойствах поверхности кремнезема и силикатов» 21

Письма в редакцию

- Н. К. Андрущенко и Н. А. Шишаков. О кинетике обратимой адсорбции кислорода поверхностью некоторых металлов 21
- О. Я. Самойлов. К теории гидратации ионов в водных растворах (по поводу экспериментальных результатов работы Ковиника и Поулсона) 21
- И. А. Семиохин, Г. М. Панченков и Ю. А. Журов. Новое в использовании изотопного обмена между CO_2 и CO_3 для разделения изотопов углерода и кислорода 21
- А. Д. Абкин, А. П. Шейнкер и Л. П. Межирова. О карбанионном механизме полимеризации под действием гамма-лучей 21

CONTENTS

Materials of the All-Union Conference on Thermodynamics and Structure of Solutions (January, 1958)

Vatollo. Use of the Variation Method in Calculating the Distribution Function of Molecules	2393
Lutskii and E. M. Obukhova. Association of Binary Mixtures and the Dependence of Their Physical Properties on the Concentration . . .	2397
Shcherba and A. M. Sukhotin. Studies of Ionic Hydration with the Aid of Infrared Absorption Spectra	2401
Sukhotin. On Association of Ions in Solutions	2405
Sarzhhevskii and A. N. Sevchenko. Luminiscence Method for Determining the Solvate Envelopes of Molecules in Solutions	2410
Ryzhkov, A. M. Sukhotin. Electrochemical Investigation of on-Aqueous Hydrogen Chloride Solutions	2414
Mikulin. The Effect of Dielectric Saturation of the Solvent in the Electro- static Theory of Solutions	2419
Mikulin. Thermodynamic Interpretation of the Hydrate Theory of Electrolyte Solutions	2424
Lantratov and A. F. Alabyshev. Investigation into the thermodynamic Properties of Liquid Metal Solutions of Potassium with Thal- ium, Lead, and Bismuth	2429
Hard Hala. Vapour-Liquid Equilibrium	2435

Materials of the Conference on Physics and Physical Chemistry of Catalysis (April, 1958)

Zhabrova, V. I. Vladimirova, and E. V. Egorov. The Effect of Sorbed Impurities on the Catalytic Properties of Zinc Oxide	2442
Golovina, M. M. Sakharov, S. Z. Roginsky, E. S. Do- ukina. Isotopic Data on the Part Played by Two-Dimensional Chains in the Synthesis of Hydrocarbons from Carbon Monoxide and Hydrogen. . . .	2451
Brodsky, P. A. Kalinenko, K. P. Lavrovsky, V. B. Ti- ov. On the Mechanism of the High Temperature Cracking of Ethane	2457
Rabovskaia. Ion-Exchanged Resins Used as Catalysts in Organic Synthesis	2467
Balandin, E. I. Karpeiskaia, A. A. Tolstopiatova. The Principle of Structural Correspondence and the Catalytic Properties of Platinum	2471
Balandin, O. K. Bogdanova, A. P. Shcheglova. The Effect of the Structure of Alcohol Molecules on the Kinetics of Alcohol Dehyd- rogenation	2476
Balandin and E. I. Klabunovskiy. Stereochemical Investiga- tion of the Mechanism of Catalysis	2480
Balandin, L. K. Freidlin, N. V. Nikiforova. The Kinetics of Selective Catalytic Hydrogenation of Bifunctional Peroxides and Hydroxides on Nickel. Reactions Predicted on the Basis of the Multiplet Theory	2485
Balandin, N. A. Vasiunina. Hydrogenation of Monosaccharides and Polyatomic Alcohols and the Multiplet Theory of Catalysis	2490
Balandin, E. I. Klabunovskiy. The Action of Enzymes and Optically Active Catalysts from the Viewpoint of the Multiplet Theory of Catalysis.	2492
Dobychin and T. F. Zellinskaia. On the Constancy of the Catalytic Activity of a Unit Surface in Solid Catalysts	2498
Agafonov, M. A. Kaliko, I. E. Gelm's. Physico-chemical Prop- erties and Catalytic Activity of a Number of Natural Materials Used in Pre- paring Cracking Catalysts	2504
Semenova and L. I. Piguzova. Aluminum Silicate Molybde- num Oxide Catalyst for the Process of Destructive Hydrogenation of Heavy Raw Petroleum	2509
Nikitin. Investigation of Porous Structure and Catalytic Activity of Ball-Shaped Aluminum Silicate Catalysts	2513

- M. A. Kaliko. Formation and Nature of Active Centres of Aluminum Silicate Catalysts
- O. A. Streltsov, M. G. Rusov, and V. K. Skarchenko. The Effect of the Conditions of Formation of Ammonia Catalyst on Its Specific Activity
- O. M. Poltorak. Thermodynamics of Crystal Catalysts
- V. V. Boldyrev. On the Application of the Electron Theory of Adsorption to the Study of the Kinetics and Mechanism of Topochemical Reactions
- L. D. Kuznetsov and S. S. Lachinov. On the Effect of Al_2O_3 and K_2O Promoters on the Activity of Iron Catalyst in the Synthesis of Ammonia
- L. I. Avramenko and R. V. Kolesnikova. Formation of Oxygen Atoms on the Surface of Glass
- O. V. Krylov and E. A. Fokina. Investigation of Some Catalytic Reactions on the Surface of Calcium Oxide
- V. D. Krylov, L. K. Freidlin, and I. F. Zhukova. Investigation of the Effect of Steam on the Activity and Structure of Skeleton Nickel Catalyst
- I. A. Miasnikov. Investigation of the Intermediate Products of Heterogeneous Catalytic Reactions by Electric Conductivity Measurements
- F. P. Ivanovsky, V. A. Dontsova, and G. S. Beskova. Kinetics of Catalytic Hydrogenation of Carbon Sulfide on Iron, Nickel, and Cobalt Sulfides
- N. M. Popova and D. V. Sokolsky. The Mechanism of Hydrogenation of Benzoquinone on Skeleton Nickel, Platinum, and on Palladium Carried by Calcium Carbonate
- D. V. Sokolsky and G. D. Zakumbaeva. The Effect of Potassium Bromide Admixtures on the Mechanism of Hydrogenation of Organic Compounds
- L. G. Siver. Unsteady Electrode Processes in Stirred Media
- S. N. Zadumkin. The Effect of the Non-Harmonic Nature of Ion Vibrations on the Surface Tension of Metals
- E. I. Gurovich and S. M. Matveeva. Measurements of the Potentials of Metals in Salt Melts

Experimental Methods and Techniques

- T. A. Kolach and V. B. Zenkevich. Adiabatic Shell for Commercially Manufactured Calorimeters
- A. T. Vasko and D. P. Zosimovich. Electronic Installation for Rapid Plotting of Polarization Curves

Discussion

- V. F. Kiselev and K. G. Krasil'nikov. On the Adsorption Properties of Unit Surface of Silica and Silicates
- L. D. Belyakova, O. M. Dzhit, A. V. Kiselev, G. G. Muttuk and K. D. Scherbakov. Reply to the Paper by V. F. Kiselev and K. G. Krasil'nikov. On the «Absolute» Adsorption Properties of Silica and Silicate Surfaces

Communications to the Editor

- N. K. Andrushchenko and N. A. Shishakov. On the Kinetics of Reversible Adsorption of Oxygen by the Surfaces of Some Metals
- O. I. Samoilov. On the Theory of Ion Hydration in Water Solutions (on the experimental results obtained by Connic and Paulson).
- I. A. Semiokhin, G. M. Panchenkov, and I. A. Zhurov. The Application of Mixed Solvents in the Separation of Carbon Isotopes by the Bicarbonate Method and the Use of Isotopic Exchange between CO_2 and CO_3 for the Separation of Oxygen Isotopes
- A. D. Abkin, A. D. Sheinker, and L. P. Mezhirova. On the Carbonium Mechanism of Polymerization by Gamma-Rays

Технический редактор *Н. А. Колзурина*

- 11360	Подписано к печати	19/XI-1959 г.	Печ. л. 21,23	Уч.-изд. л. 22,6
Формат бумаги	70×108 ¹ / ₁₆	Бум. л. 7 ³ / ₄	Зак. 2261	Тираж 3560 экз.

-я типография Издательства Академии наук СССР. Москва, Шубинский пер., 10

ОТКРЫТА ПОДПИСКА НА 1960 ГОД НА ЖУРНАЛЫ АКАДЕМИИ НАУК СССР

Названия журналов	Номеров в год	Подписная цена	
		годовая	полугодовая
ОБЩЕАКАДЕМИЧЕСКИЕ ЖУРНАЛЫ			
Вестник Академии наук СССР	12	96	48
Доклады Академии наук СССР (без лапок)	36	518—40	259—20
Доклады Академии наук СССР (с 6-ю колленкоровыми папками с тиснением)	36	542—40	271—20
Известия Карельского и Кольского филиалов АН СССР	4	28	14
Известия Сибирского отделения АН СССР	12	84	42
Природа	12	84	42
ФИЗИКО-МАТЕМАТИЧЕСКИЕ НАУКИ			
Акустический журнал	4	48	24
Астрономический журнал	6	99	49—50
Журнал технической физики	12	126	63
Журнал экспериментальной и теоретической физики	12	288	144
Известия Академии наук СССР, серия геофизическая	12	180	90
Известия Академии наук СССР, серия математическая	6	90	45
Известия Академии наук СССР, серия физическая	12	144	72
Кристаллография	6	90	45
Математический сборник	12	144	72
Оптика и спектроскопия	12	162	81
Приборы и техника эксперимента	6	90	45
Теория вероятностей и ее применения	4	45	22—50
Физика твердого тела	12	150	75
ХИМИЧЕСКИЕ НАУКИ			
Высокомолекулярные соединения	12	150	75
Геохимия	8	72	36
Журнал аналитической химии	6	72	36
Журнал научной и прикладной фотографии и кинематографии	6	45	22—50
Журнал неорганической химии	12	270	135
Журнал общей химии	12	330	165
Журнал прикладной химии	12	225	112—50
Журнал физической химии	12	270	135
Известия Академии наук СССР, Отделение химических наук	12	180	90
Коллоидный журнал	6	72	36
Радиохимия	6	72	36
Успехи химии	12	96	48
ТЕХНИЧЕСКИЕ НАУКИ			
Автоматика и телемеханика	12	135	67—50
Известия Академии наук СССР, Отделение технических наук. Металлургия и топливо	6	75	37—50
Известия Академии наук СССР, Отделение технических наук. Механика и машиностроение	6	75	37—50
Известия Академии наук СССР, Отделение технических наук. Энергетика и автоматика	6	75	37—50
Прикладная математика и механика	6	117	58—50
Радиотехника и электроника	12	165	82—50

ПОДПИСКА ПРИНИМАЕТСЯ в пунктах подписки Союзпечати, почтамтах, ко-
торах и отделениях связи, общественными уполномоченными на предприятиях
и учреждениях, в научно-исследовательских институтах и учебных заведениях.

Подписка принимается также магазинами «Академкнига» и конторой «Академ-
книга» по адресу:

Москва, К-12, Б. Черкасский пер., 2/10.

«АКАДЕМКНИГА»